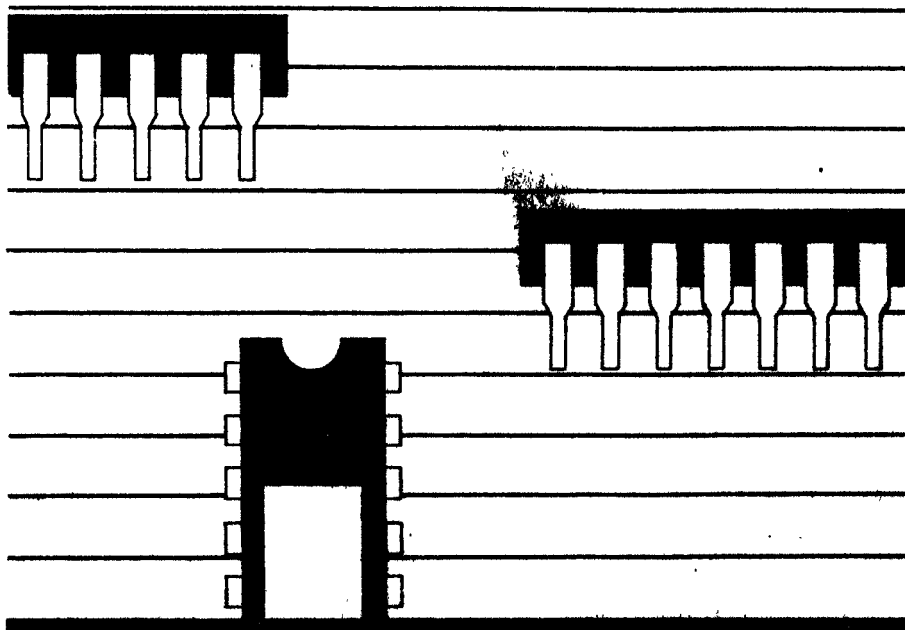


Д.И.Атаев В.А.Болотников

АНАЛОГОВЫЕ ИНТЕГРАЛЬНЫЕ МИКРОСХЕМЫ

**ДЛЯ БЫТОВОЙ
РАДИОАППАРАТУРЫ**



Издательство МЭИ

**Аналоговые интегральные микросхемы
для бытовой радиоаппаратуры**

Справочник

Издательство МЭИ

Москва 1991

Рецензент канд. техн. наук К. Э. Астратян
Научный редактор А. И. Гусев

Атаев Д. И. О., Болотников В. А.

Аналоговые интегральные микросхемы
92 для бытовой радиоаппаратуры: Справоч-
ник. — М.: Изд-во МЭИ, 1991. — 240 с., ил.

ISBN 5-7046-0028-X

Рассмотрены аналоговые интегральные микросхемы (ИМС) отечественного производства, применяемые в бытовой радиоаппаратуре. Приведены структурные и принципиальные схемы, схемы включения, электрические параметры, их зависимости от условий эксплуатации ИМС, чертежи корпусов, указаны назначение выводов и зарубежные аналоги.

Для инженерно-технических работников и радиолюбителей, занимающихся разработкой, эксплуатацией и ремонтом бытовой радиоаппаратуры.

2302030700 — 011

11 — 90

ББК 32.844

097(02) — 91

ISBN 5-7046-0028-X © Атаев Д.И.О., Болотников В.А., 1991

Со
ского
широ
микро
лий
венно
Ус
во т
парат
улучи
эстет
ными
време
очере
Пр
ной
верш
новы
руиро
радио
чески
ристи
требл
дежн
ное ф
возмо
как
прои
др.
Раз
схем,
парам
леник
бытов
задачу
тому
этой
можно
пускае
ральн
Цел
ознак
стов с
котор
приме
класса
Для к
нике
типова
преде
платат

Современный этап научно-технического прогресса характеризуется широким внедрением достижений микроэлектроники в создание изделий культурно-бытового и хозяйственного назначения.

Ускоренно развивается производство технически сложной бытовой аппаратуры длительного пользования с улучшенными потребительскими и эстетическими свойствами, полученными благодаря использованию современных компонентов и, в первую очередь, интегральных микросхем.

Применение современной элементной базы позволило не только усовершенствовать старые, но и создать новые методы проектирования, конструирования и производства бытовой радиоаппаратуры, улучшить ее технические и эксплуатационные характеристики. Малые габариты, масса, потребляемая мощность, высокая надежность, долговечность, многообразное функциональное назначение дали возможность создать такие устройства, как переносной микрокассетный проигрыватель, видеоманитофон и др.

Разнообразие интегральных микросхем, различающихся по назначению, параметрам, конструктивному оформлению ставит перед разработчиками бытовой радиоаппаратуры непростую задачу их оптимального выбора. Поэтому разработчики и ремонтники этой аппаратуры должны иметь как можно более полные сведения о выпускаемых промышленностью интегральных микросхемах.

Цель настоящего справочника — ознакомить широкий круг специалистов с интегральными микросхемами, которые нашли или могут найти применение в различных видах и классах бытовой радиоаппаратуры. Для каждой микросхемы в справочнике приведены структурная схема и типовая схема включения, условия и предельно допустимые режимы эксплуатации, электрические параметры

и зависимости параметров от режимов и условий применения.

Типовая схема включения с элементами, подключаемыми к микросхеме для нормального ее функционирования представляет собой один из вариантов ее применения. Электрические параметры микросхем измерены при включении их по типовой схеме в соответствии с ГОСТ 19799 — 74 "Микросхемы интегральные аналоговые. Методы измерения электрических параметров и определения характеристик".

В справочнике все микросхемы в соответствии с областью применения сгруппированы по функциональному назначению в трех разделах: используемые в звукотехнике (гл. 2), в магнитной записи (гл. 3), для радиоприема (гл. 4).

В главах микросхемы расположены в порядке возрастания номеров серий.

Для удобства пользования справочником описание микросхем унифицировано, в Приложении 1 приведены оцифрованные чертежи корпусов, а в соответствующих разделах указан тип корпуса и номер его чертежа.

В Приложении 2 перечислены все микросхемы, включенные в справочник в порядке возрастания их номеров, функциональное назначение каждой микросхемы, ее зарубежный аналог, номер чертежа корпуса и страница справочника, где описана данная микросхема.

Необходимо отметить, что справочник не заменяет ГОСТов, ТУ, паспортов и других документов, устанавливающих требования к интегральным микросхемам, поэтому в конкретных официальных разработках следует руководствоваться нормативными документами.

Предложения и замечания по содержанию справочника просим направлять по адресу: 105835, ГСП, Москва, Е-250, Красноказарменная ул., 14, Издательство МЭИ.

Глава 1

ОБЩИЕ СВЕДЕНИЯ ОБ АНАЛОГОВЫХ ИНТЕГРАЛЬНЫХ МИКРОСХЕМАХ

1.1. АНАЛОГОВАЯ ИНТЕГРАЛЬНАЯ МИКРОСХЕМА - ОСНОВА ЗАВЕРШЕННОГО ФУНКЦИОНАЛЬНОГО УЗЛА БЫТОВОЙ РАДИОЭЛЕКТРОННОЙ АППАРАТУРЫ

Аналоговые интегральные микросхемы (АИМС) предназначены для преобразования и обработки сигналов, изменяющихся непрерывно по уровню и во времени. Они находят широкое применение в аппаратуре звуковоспроизведения и звукоусиления, радиоприемниках и телевизорах, видеомагнитофонах и измерительных приборах, в аналоговых вычислительных машинах, технике связи и т. д.

АИМС - конструктивно завершенное устройство, которое в совокупности с ограниченным количеством внешних радиоэлементов позволяет создавать сложный завершенный функциональный узел (например, декодер ПАЛ-СЕКАМ, УПЧ изображения, видеоусилитель, генератор и т. п.).

Функциональный узел [1] - это группа радиоэлементов, объединенных конструктивно и технологически в сборочную единицу (модуль), предназначенную для создания некоторой законченной части радиоэлектронной аппаратуры (РЭА), например, усилителя, фильтра, источника питания и т. п.

Взамен традиционного метода изготовления функциональных узлов путем сборки их из готовых электрорадиоэлементов в модули с примени-

ем межсоединений и конструктивных элементов в АИМС процессы изготовления входящих в узел электрорадиоэлементов и объединения их в функциональную конструктивно завершенную структуру совмещаются. Эта технология носит название *интегральной* (от латинского *integre* - целый, неразрывно связанный). Функциональные узлы (ФУ) РЭА, изготавливаемые методом интегральной технологии называются интегральными микросхемами (ИМС). Характерная особенность интегральной технологии - высокий уровень миниатюризации (до 10^6 элементов в одном корпусе).

Для функциональных узлов радиоаппаратуры удобным показателем уровня миниатюризации является плотность упаковки, характеризующая отношением числа элементов, содержащихся в узле, к объему узла.

При сборке маломощных функциональных узлов из готовых радиоэлементов не удастся поднять плотность упаковки выше 2-3 элементов в кубическом сантиметре даже при использовании самых миниатюрных полупроводниковых приборов и пассивных элементов. Интегральная же технология позволяет достигать плотности упаковки $10^4 - 10^5$ элементов в 1 см^3 при невысокой стоимости, большой надежности ФУ. Эта особенность интегральной технологии, обеспечивающая большие возможности миниатюризации радиоэлектронных изделий, явилась причиной широкого

и
ми
I
пре
цио
рон
ном
ци
пар
вли
рад
их
ши
Сф
эле
реп
ни
дел
гии
I
ны
по
риз
ни
I
ци
сло
K=
ляе
лог
во
эти
пус
ше
10¹
т. д
вук
той
вы
I
ся
све
схе
(та
I
ше
СБ
зна
пок
рас
пре
уда
ны

и быстрого внедрения интегральных микросхем в РЭА.

Интегральная технология изменила представление об оптимальных функциональных структурах радиоэлектронных устройств и их функциональном базисе. Появились новые принципы и способы конструирования аппаратуры, оказывающие значительное влияние на все этапы изготовления радиоэлектронных устройств, способы их эксплуатации и существенно расширяющие сферу их применения. Сформировалась специальная отрасль электроники – микроэлектроника, решающая проблемы конструирования и производства электронных изделий на базе интегральной технологии.

В настоящее время стандартизованы количественные и качественные показатели сложности ИМС, характеризующиеся числом содержащихся в них элементов.

В ГОСТ 17021-75 степень интеграции ИМС определена как показатель сложности, выражаемый формулой $K = \lg N$, где K – коэффициент, округляемый до ближайшего большего целого числа, N – число элементов, входящих в ИМС. В соответствии с этим по числу содержащихся в корпусе ИМС элементов различают шесть степеней интеграции: от 1 до 10^1 (первая), от 10 до 10^2 (вторая) и т. д. В настоящее время уже существуют интегральные микросхемы шестой степени интеграции для цифровых униполярных ИМС.

По сложности ИМС подразделяются на малые, средние, большие и сверхбольшие интегральные микросхемы (МИС, СИС, БИС и СБИС) (табл. 1.1).

Интегральные микросхемы повышенного уровня интеграции (БИС, СБИС) имеют по сравнению с МИС значительно лучшие массогабаритные показатели, меньшую стоимость в расчете на один ФУ, а также другие преимущества, благодаря которым удается существенно улучшить основные технико-экономические характе-

Таблица 1.1

Наименование ИМС	Структура ИМС	Число элементов на кристалле
Малая интегральная (МИС)	Биполярная	1 – 30
Средняя интегральная (СИС)	Биполярная, униполярная	31 – 100
Большая интегральная (БИС)	Биполярная, униполярная	101 – 300
Сверхбольшая интегральная (СБИС)	Биполярная, униполярная	Более 300

ристики РЭА. Во-первых, значительно уменьшается число соединений в аппаратуре из-за большей функциональной сложности самих микросхем. Так как контактные соединения являются одной из основных причин отказов микроэлектронной аппаратуры, то использование микросхем повышенной степени интеграции позволяет улучшить надежность аппаратуры на один-два порядка по сравнению с аппаратурой на микросхемах малой интеграции. Во-вторых, сокращается суммарная длина соединительных линий между элементами, снижаются паразитные емкости нагрузок и, следовательно, повышается частотный диапазон аппаратуры. Создание аппаратуры, работающей в СВЧ диапазоне принципиально возможно на базе микросхем повышенного уровня интеграции, в которых длину отдельных соединений можно довести до 1 см, снизив тем самым задержку распространения сигналов между элементами до 0,05...0,1 нс.

Вместе с тем, микросхемы повышенного уровня интеграции обладают особенностями, осложняющими разработку аппаратуры на их основе, например, возрастание удельной рассеиваемой мощности при увеличении степени интеграции требует специальных мер по обеспечению теплоотвода, а при удельной мощности выше 2 Вт/см^2 – принудительного охлаждения. Меньшая универсальность

микросхемы повышенной степени интеграции ограничивает объем их выпуска, а следовательно, увеличивает их стоимость. При повышении плотности упаковки усиливается электромагнитная связь между элементами, что приводит к снижению устойчивости работы устройства.

Существенно ограничивают создание полупроводниковых интегральных схем повышенной степени интеграции трудности, возникающие при изготовлении малых по размерам корпусов ИМС с большим количеством выводов.

Тем не менее повышение уровня интеграции микросхем является прогрессивным направлением, которое помогает улучшить функциональные и эксплуатационные показатели РЭА.

С помощью интегральной технологии можно изготовить большинство маломощных функциональных узлов РЭА в виде микросхем. Однако промышленное производство микросхем определенного типа целесообразно лишь при их массовом применении. При малом объеме сбыта затраты на разработку и подготовку производства значительно повысят стоимость ИМС, и их применение окажется нецелесообразным, что приводит к необходимости ограничения номенклатуры микросхем.

Следует отметить, что АИМС относятся к комплектующим изделиям, не имеющим самостоятельного назначения, а применяемым лишь в совокупности с другими изделиями как составные части более сложных и различных по назначению устройств. Поэтому диапазон требований к микросхемам со стороны потребителей весьма высок и их удовлетворение — непростая задача. Для эффективного решения этой задачи установлено плановое развитие номенклатуры микросхем и их стандартизация.

1.2. КЛАССИФИКАЦИЯ АНАЛОГОВЫХ ИНТЕГРАЛЬНЫХ МИКРОСХЕМ

Интегральные микросхемы в зависимости от технологии изготовления

бывают полупроводниковыми, пленочными и гибридными.

В соответствии с ГОСТ 17021 – 75, полупроводниковыми ИМС называются такие, в которых все элементы и межэлементные соединения выполнены в объеме и на поверхности кристалла. Пленочными ИМС — в которых все элементы и межэлементные соединения выполнены в виде пленок, проводящих и диэлектрических материалов. Существует два варианта этих ИМС: тонкопленочные и толстопленочные. К первым относятся ИМС с толщиной пленок 1 мкм и менее, вторым — с толщиной пленок свыше 1 мкм. К гибридным относятся ИМС, содержащие кроме элементов интегрально выполненных в кристалле полупроводника, и отдельные компоненты, изготовленные самостоятельно (например, бескорпусной транзистор, керамический конденсатор и т. п.).

На практике одновременно с понятием БИС используется и понятие базовый комплект БИС — это минимальный состав совместимых по конструктивному исполнению и электрическим параметрам БИС, обеспечивающих построение законченной микроэлектронной аппаратуры.

Государственные стандарты определяют функциональную классификацию и типы ИМС, совокупность разрешенных значений основных параметров ИМС (параметрические ряды), габаритных и присоединительных размеров, типов и размеров корпусов (размерные ряды). Функциональная классификация ИМС определена ГОСТ 18682 – 73.

Интегральные микросхемы по выполняемым функциям разбиты на подгруппы (усилители, генераторы, фильтры и т. д.). В каждой из них ИМС подразделены по виду выполняемой функции (усилители промежуточной частоты, фильтры низкой частоты, преобразователи фазы и т. д.). В соответствии с функциональной классификацией микросхемы им присваивают определенные наименования.

При выборе микросхем для аппаратуры конкретного назначения необходимо руководствоваться не только функциональным назначением микросхемы, но и значениями параметров, характеризующих свойства ИМС и режимы работы. Обычно указываются функциональные параметры ИМС, характеризующие ее возможности; параметры рабочего режима, определяющие совокупность условий, необходимых для правильного функционирования ИМС; предельно допустимые уровни воздействий окружающей среды, не нарушающие нормального функционирования ИМС в пределах гарантированного ресурса; конструктивные параметры, характеризующие габаритные и присоединительные размеры.

1.3. СИСТЕМА УСЛОВНЫХ ОБОЗНАЧЕНИЙ АНАЛОГОВЫХ ИНТЕГРАЛЬНЫХ МИКРОСХЕМ

Разработка и изготовление аналоговых ИМС производится сериями. Каждая серия отличается степенью комплектности и содержит несколько микросхем, которые в свою очередь подразделяются на типонаминалы. Серия состоит из совокупности ИМС, выполняющих различные функции, имеющих единое конструктивно-технологическое исполнение и предназначенных для совместного применения (ГОСТ 17021-75). Интегральная микросхема, имеющая конкретное функциональное назначение и условное обозначение, называется типонаминалом.

Обозначение ИМС состоит из четырех элементов:

первый - цифра, соответствующая конструктивно-технологической группе (1, 5, 6, 7 - полупроводниковые ИМС (цифра 7 присвоена бескорпусным полупроводниковым ИМС); 2, 4, 8 - гибридные ИМС; 3 - прочие ИМС);

второй - две-три цифры, обозначающие порядковый номер разработки;

третий - две буквы, определяющие функциональное назначение (подгруппу) и вид ИМС (табл. 1.2);

четвертый - одна или несколько цифр, обозначающих порядковый номер разработки ИМС в данной серии.

Иногда в конце условного обозначения добавляется буква, определяющая

Таблица 1.2

Функциональное назначение (подгруппа)	Обозначение (функции)
Генераторы	
гармонических сигналов	ГС
прямоугольных сигналов	ГГ
линейно изменяющихся	
сигналов	ГЛ
сигналов специальной формы	ГФ
шума	ГМ
прочие	ГП
Детекторы	
амплитудные	ДА
импульсные	ДИ
частотные	ДС
фазовые	ДФ
прочие	ДП
Коммутаторы и ключи	
тока	КТ
напряжения	КН
прочие	КП
Многофункциональные ИМС	
аналоговые	ХА
цифровые	ХЛ
комбинированные	ХК
цифровые	ХМ
аналоговые матрицы	ХН
комбинированные (аналоговые и цифровые) матрицы	ХТ
прочие	ХП
Модуляторы	
амплитудные	МА
частотные	МС
фазовые	МФ
импульсные	МИ
прочие	МП

Функциональное назначение (подгруппа)	Обозначение (функции)
Наборы элементов	
диодов	НД
транзисторов	НТ
резисторов	НР
конденсаторов	НЕ
комбинированные	НК
функциональные	НФ
прочие	НП
Преобразователи сигналов	
частоты	ПС
длительности	ПД
напряжения (тока)	ПН
мощности	ПМ
уровня	ПУ
аналого-цифровые	ПА
цифроаналоговые	ПВ
синтезаторы частоты	ПЛ
делители частоты аналоговые	ПК
умножители частоты аналоговые	ПЕ
код-код	ПР
прочие	ПП
Схемы источников вторичного электропитания	
выпрямители	ЕВ
преобразователи	ЕМ
стабилизаторы напряжения непрерывные	ЕН
стабилизаторы тока	ЕТ
стабилизаторы напряжения импульсные	ЕК
схемы управления импульсными стабилизаторами	ЕУ
прочие	ЕП

Функциональное назначение (подгруппа)	Обозначение (функции)
Схемы задержки	
пассивные	БМ
активные	БР
прочие	БП
Схемы сравнения	
амплитудные (уровня сигнала)	СА
временные	СВ
частотные	СС
компараторы	СК
прочие	СП
Усилители	
высокой частоты	УВ
промежуточной частоты	УР
низкой частоты	УН
широкополосные напряжения импульсных сигналов	УК
повторители	УИ
считывания и воспроизведения	УЛ
индикации	УМ
постоянного тока	УТ
операционные	УД
дифференциальные	УС
прочие	УП
Фильтры	
верхних частот	ФВ
нижних частот	ФН
полосковые	ФЕ
режекторные	ФР
прочие	ФП

щая технологический разброс электрических параметров типономинала.

Для ИМС, используемых в устройствах широкого применения, в начале обозначения указывается буква К. Для характеристики материала и типа корпуса перед цифровым обозначением серии могут быть добавлены следующие буквы:

А - пластмассовый планарный корпус;

Б - ИС в бескорпусном варианте;

Е - металлополимерный корпус второго типа;

И - стеклокерамический планарный корпус;

М - керамический, металлокерамический и стеклокерамический корпус второго типа;

Р - пластмассовый корпус второго типа;

Ф - миниатюрный пластмассовый корпус.

Например, условное обозначение полупроводниковой ИМС широкого применения в пластмассовом корпусе предварительного усилителя записи воспроизведения в канале звука с п

рядковым номером серии 1005, номером разработки в данной серии по функциональному признаку 1 и технологическим разбросом А будет таким: КР1005УН1А.

1.4. ТИПОВЫЕ КОРПУСА АНАЛОГОВЫХ ИНТЕГРАЛЬНЫХ МИКРОСХЕМ

Корпус защищает элементы ИМС от влияния внешней среды, обеспечивает электрическую связь между элементами схемы и выводами, надежное механическое и электрическое соединение с другими элементами радиоэлектронного блока, а также отвод тепла от кристалла ИМС.

Одновременно корпус защищает кристалл ИМС от воздействия света, поглощает собственное излучение элементов схемы и служит экраном от внешних магнитных и электрических полей.

Наибольшее распространение получили пять видов конструктивно-технологического исполнения корпусов ИМС: металlostеклянные, металлополимерные, металлокерамические, керамические, пластмассовые.

Корпуса характеризуются габаритными и присоединительными размерами, числом выводов и расположением их относительно плоскости основания корпуса (планарные и штыревые).

В соответствии с ГОСТ 17467-79 "Микросхемы интегральные. Основные размеры" применяются корпуса пяти типов (табл. 1.3). Конструкция и основные размеры корпусов приведены на рис. 1.1-1.6, где:

- n - общее число выводов;
- $ПО$ - плоскость основания;
- $УП$ - установочная плоскость;
- A - расстояние от $УП$ до верхней точки ИМС;
- A_1 - расстояние между $УП$ и плоскостью основания ИМС;
- A_2 - расстояние от $ПО$ до верхней точки ИМС;
- E - ширина ИМС;
- D - длина ИМС;
- H_E - общая ширина ИМС;
- L, L_D, L_E - длина вывода, пригодная для монтажа;
- l - шаг выводов.

Заштрихованные области, условно показанные со стороны основания, предназначены для размещения ключа ИМС, показывающего позицию вывода после установки ИМС на плате.

Корпуса типа 1 подразделяются на четыре подтипа (см. рис. 1.1), отличающихся формой корпуса и порядком расположения выводов. Число выводов и основные размеры корпуса указаны в табл. 1.4.

Таблица 1.3

Корпус		Расположение выводов		Шаг, мм
тип	форма	на плоскости основания	относительно плоскости основания	
1	прямоугольный	в пределах проекции тела корпуса	перпендикулярное	2,5
2	прямоугольный	за пределами проекции тела корпуса	перпендикулярное	2,5
3	круглый	в пределах и за пределами проекции тела корпуса по окружности	перпендикулярное	1,25 под углом $360^\circ/n$
4	прямоугольный	за пределами проекции тела корпуса	параллельное	1,25 или 0,625
5	прямоугольный	в пределах проекции корпуса	без выводов	1,25

Таблица 1.4

Типоразмер	Число выводов ¹		Основные размеры, мм		
	n_D	n_E	D_{max}	E_{max}	A_{Lmax}
1101	7	1	19,5	4,5	20,0
1201	10	1	14,5	7,0	
1203	14	1	19,5	14,5	
1205	16	1	22,0	19,5	
1208	20	1	27,0	17,0	7,5
1210	28	1	37,0	27,0	
1212	40	1	52,0	37,0	
1213	46	1	59,0	39,5	
1218	24	1	32,0	7,0	20,0
1219	22	1	29,5	9,5	
1301	4	4	12,0	12,0	
1305	9	5	24,5	19,5	
1401	5	5	14,5	14,5	7,5
1407	22	14	57,0	37,0	

¹ n_D, n_E - число выводов по длине и ширине корпуса.

ния корпуса, но они отогнуты на различных расстояниях в шахматном порядке. Минимальное число выводов - 8, максимальное - 66.

В корпусах обоих подтипов выводы имеют прямоугольное сечение, расположены с шагом 2,5 мм (подтип 21) и 1,25 мм (подтип 22).

Корпуса типа 3 подразделяются на три подтипа (рис. 1.4). Возможное число выводов и большинство основных размеров указано в табл. 1.7 - 1.9. Угол β для типоразмеров 3101, 3103, 3105 равен 45°, 36° и 30° соответственно, β_{max} - 45° (для типоразмера 3201) и 36° (для 3204), β_{min} - 11°15'.

Корпуса подтипа 31 (рис. 1.4 а) имеют три типоразмера, отличающихся друг от друга в первую очередь числом выводов, выполнены в виде цилиндра высотой 4,7 или 6,6 мм, диаметром 5 мм. Корпуса подтипа 32 (рис. 1.4 б) выполняют с 8 и 10 выводами, имеют отверстия для крепления и характеризуются большей теплоотдачей.

Корпуса подтипа 33 (рис. 1.4 в) изготавливают с 36 выводами, выполнены в виде таблетки высотой 5 и диаметром 16,5 мм. Корпуса типа 4 под-

Таблица 1.5

Типоразмер	Число выводов n	Основные размеры, мм		
		D_{max}	E_{max}	A_{max}
2101	8	12,0	7,5	5,0
2104	18	24,5		
2105	14	19,5		
2109	24	32,0	10,0	5,0 (6,25)
2110	14	19,5		
2114	32	42,0		
2116	16	22,0	15,0	7,5
2123	40	52,0		
2127	14	19,5		
2134	48	62,0	20,0	7,5
2135	66	84,5		
2139	32	42,0		

Таблица 1.6

Типоразмер	Число выводов n	D_{max}	Основные размеры, мм				A_{max}
			E_{max}	$l_{ном}$	$l_{1 ном}$	$l_{2 ном}$	
2201	14	19,5	7,5	2,5	5,0	10,0	5,0
2203	40	28,2	22,5	1,25	20,0	25,0	6,25
2207	48	33,2	17,5	1,25	15,0	20,0	5,0
2209	64	45,7	25,0	1,25	22,5	27,5	5,0

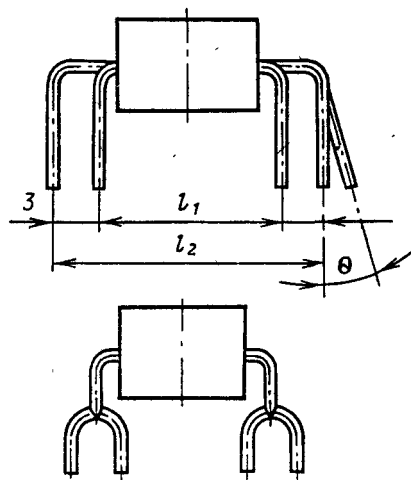


Рис. 1.3. Вариант формовки выводов для корпусов подтипа 22

Таблица 1.7

Типоразмер	Число выводов n	$A_2 \max$	$d_{\text{ном}}$	$b \max$	Основные размеры, мм			$L_1 \max$	$L_a \max$
					$D' \max$	$D_1 \max$	$L \max$		
3101	8	4,7	5,0	0,51	9,4	8,5	14,5	0,5	0,7
3103	12	4,7	5,0	0,51	9,4	8,5	14,5	0,5	0,7
3105	10	6,6	5,0	0,51	9,4	8,5	14,5	0,5	0,7

Таблица 1.8

Типоразмер	Число выводов n	$D_1 \max$	$A_2 \text{ ном}$	$D_1 \text{ ном}$	Основные размеры, мм			$L \max$	$L_1 \max$	$L_a \max$
					$A_2 \max$	$d \max$	$b \max$			
3201	8	40	27	16,5	15,0	12,5	1,0	9,2	2,0	1,5
3204	10	40	27	22,8	7,5	12,5	1,0	9,2	2,0	1,5

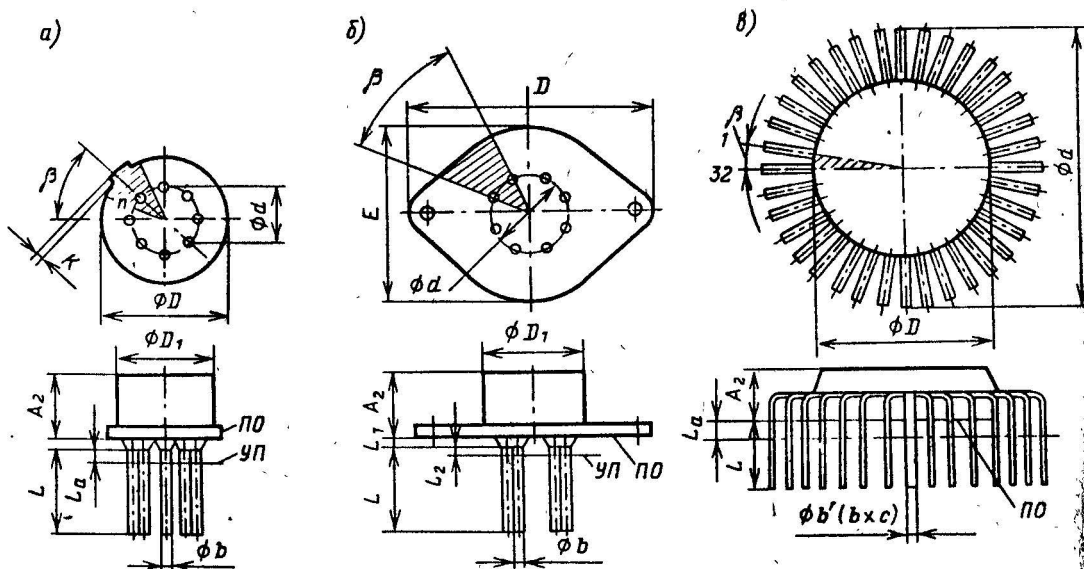


Рис. 1.4. Конструкция корпуса типа 3 и его модификации для микросхем

разделяются на два подтипа (рис. 1.5), отличающиеся расположением выводов. В корпусах подтипа 41 (см. рис. 1.5 а) они расположены вдоль двух сторон корпуса, в корпусах подтипа 42 (см. рис. 1.5 б) – вдоль четырех сторон. Размеры корпуса и число выводов приведены в табл. 1.10, 1.11. Для всех типоразмеров под-

Таблица 1.9

Типоразмер	Число выводов n	$D_1 \max$	Основные размеры, мм				L	L_a
			$A_2 \max$	$d_{\text{ном}}$	$b \max$	c		
3301	32	16,5	5,0	25,0	0,85	0,38	5,0	0,7



1.9

Là

В последние годы широко применяются безвыводные корпуса с

уменьшенными размерами или микрокорпуса (МК). Они позволяют не только увеличить плотность компоновки БИС, но и улучшить их электрические параметры, расширить возможности автоматизированного контроля и аттестации, а также уменьшить стоимость производства аппаратуры.

Наиболее очевидным преимуществом микрокорпусов по сравнению с традиционными корпусами ИМС является значительное уменьшение геометрических параметров – основных размеров, площади и объема конструкции, соответствующих одному и тому же кристаллу с одинаковым числом выводов. Так, размеры микрокорпуса с 64 выводами составляют $D \times E \times A = 18,62 \times 1,84 \times 3$ мм, $S = 3,47$ см² и $V = 1,04$ см³, а размеры корпуса

Таблица 1.10

Типо- размер	Число выво- дов n	Основные размеры, мм				
		D_{max}	$c_{E\ max}$	$H_{E\ max}$	A_{max}	
4101	6	4,50	5,0	22,50	2,5	
4102	14	9,50				
4106	16	10,75	7,5	25,00		
4108	16	10,75	11,25	28,75		
4110	24	15,75	13,75	36,25	5,0	
4116	18	12,00				
4118	24	15,75				
4122	40	25,75				
4124	16	10,75	15,00	38,50		
4128	40	25,75				
4130	48	30,75				
4135	61	40,75	20,00	42,50	7,5	
4138	42	27,00	26,75	53,75		
4142	48	30,75	28,75	56,25		
4146	70	44,50	41,25	68,75		
4147	16	5,175	8,75	21,25	2,5	
4149	16	5,175	11,25	23,75		

Таблица 1.11

Типоразмер	Число выводов		Основные размеры, мм										
	n_D	n_E	D_{max}	$l_{ном}$	E_{max}	$H_{D_{max}}$	$H_{E_{max}}$	A_{max}	b_{max}	L_D^c	L_E^{min}	L_p^{max}	Q_{max}
4201	9	4	12,5	1,25	6,25	35,0	32,0	5,0	0,54	0,2	5,3	0,7	2,3
4203	16	16	21,25	1,25	21,25	48,0	48,0	5,0	0,54	0,2	5,3	0,7	2,3

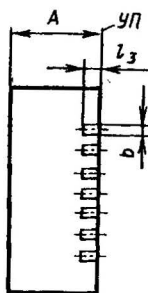
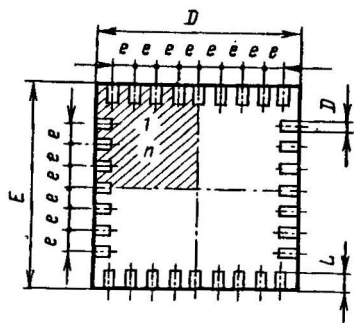


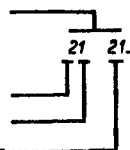
Рис. 1.6. Конструкция

корпуса типа 5

Типоразмер

Тип корпуса

Подтип корпуса

Порядковый номер
типоразмера

20 - 2

Порядковый номер
разработки

Число выводов

Рис. 1.7. Расшифровка

обозначения корпуса типа 2

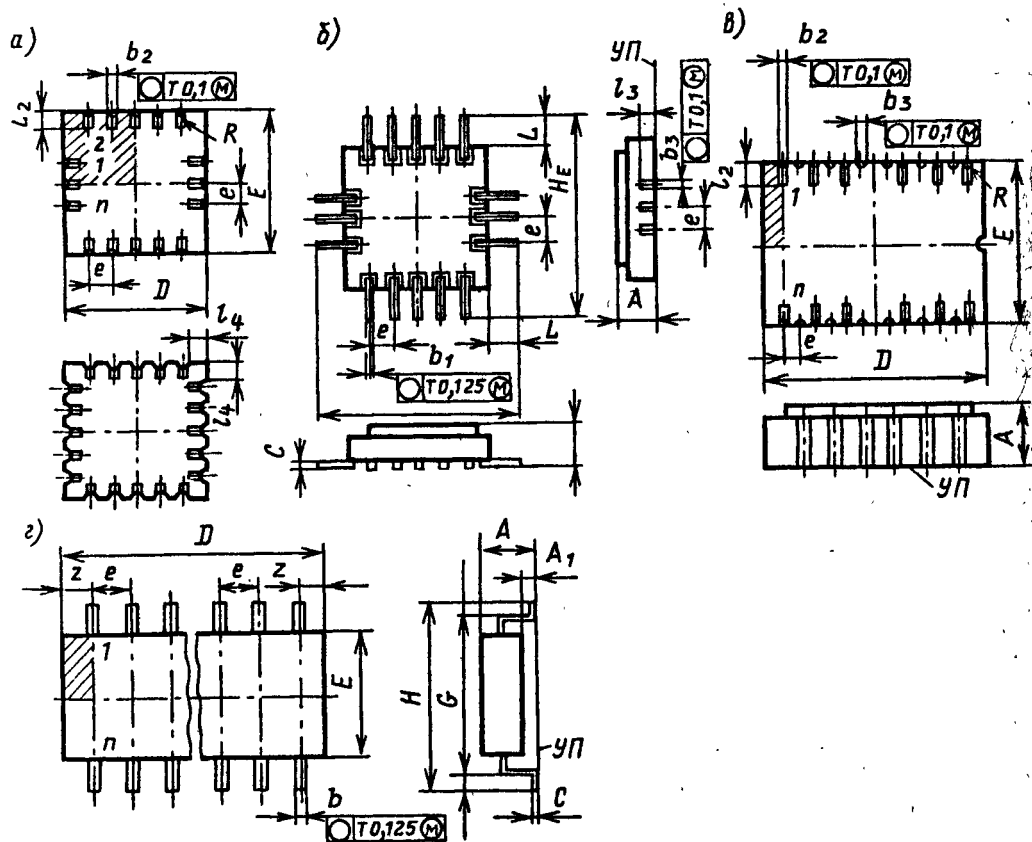


Рис. 1.8. Корпуса с выводными площадками (а, в), с выводами, применяемыми при отладке изделий (б) и сформированными для планарной установки на плате (г)

Таблица 1.12

Типоразмер	Число выводов			Основные размеры, мм				
	n	n_D	n_E	D_{max} E_{max}	A_2 max	b max	L_2 max L_3 max	l nom

5101	24	7	5	10,0				
5103	44	11	11	15,0	5,0	0,9	1,6	1,25
5105	52	13	13	20,0				

ИМС подтипа 21 с тем же числом выводов составляют $81,3 \times 20,3 \times 3,5$ мм, $S=16,5$ см² и $V=5,77$ см³. Следовательно, микрокорпус занимает на плате площадь в 4,8 раза и объем в 5,5 раза меньшие, чем обычный корпус ИМС.

Микрокорпуса более плотно располагаются на плате в гибридной ИМС или микросборке, а также на печатной плате, что дает возможность достижения более плотной компоновки ФУ.

Таблица 1.13

Типоразмер	Число выводов			Основные размеры*, мм			
	n	n_D	n_E	D_{max}	E_{max}	H_{min}	H_{max}

H01	14	3	4	6,80	-	-	
H02	16	5	3	6,80	12,80	15,20	
H08	24	12	0	12,20	18,20	20,60	
H10	28	7	7	9,60	-	-	
H14	40	10	10	12,49	-	-	
H16	42	12	12	14,52	-	-	
H19	64	17	15	18,62	24,62	27,00	
H20	84	21	21	23,76	-	-	

* Для всех типоразмеров $l=1$.

Конструкции основных типов МК приведены на рис. 1.8, а их размеры — в табл. 1.13 — 1.15.

Уменьшение размеров МК приводит к значительному сокращению расхода дорогостоящих материалов: золота, керамики, сокращается номенклатура технологической оснастки. При обнаружении и отбраковке дефектной микросхемы применение недорогого МК дает значительную экономию по сравнению с корпусной ИМС.

Использование микрокорпусов улучшает электрические параметры ИМС из-за укорочения токопроводящих дорожек, снижения сопротивления и уменьшения межвыводной емкости, что повышает быстродействие ИМС.

Микрокорпус является частью конструкции ИМС (БИС) и предназначен для защиты кристаллов от внешних воздействий и соединения их посредством выводных площадок (выводов) с внешними электрическими цепями аппаратуры.

Таблица 1.14

Типоразмер	Число выводов			Основные размеры, мм		
	n	n_D	n_E	l	D_{max}	E_{max}

H21	26	13	0	0,625	8,80	12,50
H22	52	26	0		17,60	12,50

Каждому выводу присваивается номер. Возможно отсутствие некоторых выводов, однако их номера сохраняются для соответствия контактным площадкам печатной платы. Вывод 1 отмечается ключом — точкой, размещенной в заштрихованной зоне (рис. 1.8).

Номера выводов возрастают по периметру МК против часовой стрелки (если смотреть сверху).

Таблица 1.15

Типо- размер	Число выво- дов, л	Основные размеры*, мм					
		D_{max}	$G_{тип}$	G_{max}	E_{max}	H_{min}	H_{max}
M03	8	5,0	4,00		5,20	5,70	6,30
M05	12	7,5					
M08	16	10,0	5,00		6,20	6,70	7,30

* Для всех размеров $l=1,25$.

1.5. УСЛОВИЯ ЭКСПЛУАТАЦИИ АНАЛОГОВЫХ ИНТЕГРАЛЬНЫХ МИКРОСХЕМ

Интегральные микросхемы для бытовой радиоэлектронной аппаратуры сохраняют свои параметры в

пределах норм, установленных техническими условиями на каждую конкретную микросхему, при воздействии и после воздействия различных эксплуатационных факторов.

В табл. 1.16 приводятся условия эксплуатации микросхем, включенных в справочник.

Для большинства ИМС, используемых в бытовой РЭА, техническими условиями установлена минимальная наработка на отказ не менее 10 000 или 15 000 ч, а в облегченных режимах 25 000 ч. Минимальная наработка на отказ конкретных микросхем указывается в ТУ.

В упаковке предприятия-изготовителя или в составе аппаратуры, а также в комплекте ЗИП микросхемы для бытовой РЭА могут храниться не менее шести лет.

Таблица 1.16

Серия	Степень интеграции (минимальное и макс- мальное количество элементов в корпусе ИМС)	Интервал рабочих температур, °C	Температура кон- денсации влаги при относительной влаж- ности воздуха, 98 %	Вибрационные нагрузки	
				диапазон частот, Гц	максимальное ускорение, м/с ²
K157	44...53	-25...+55	25	1...600	100
K171	14...27	-60...+125	35	1...5000	400
K174	41...501	-10...+60	25	1...600	100
K175	36...172	-25...+55	25	1...600	100
K525	30...62	-10...+70	35	1...600	100
K538	24...31	-10...+70	35	1...600	100
K548	40...62	-10...+70	35	1...600	100
KP1005	73...738	-10...+70	25	1...600 ^a	100
KP1015	830...2490	-10...+70	35	1...2000	100

ИНТЕГРАЛЬНЫЕ МИКРОСХЕМЫ ДЛЯ ЗВУКОВОСПРОИЗВОДЯЩЕЙ АППАРАТУРЫ

2.1. СЕРИЯ K174

Серия K174 представляет собой комплект аналоговых микросхем, предназначенный для высококачественной звуковоспроизводящей аппаратуры. Микросхемы выполнены на биполярных транзисторах с изоляцией *p-n* переходом.

Состав серии

ИМС K174УНЗ - предварительный усилитель низкой частоты

ИМС K174УН4А,Б - усилитель мощности с выходной мощностью 1,4 Вт

ИМС K174УН5 - усилитель мощности звуковой частоты мощностью 2 Вт на нагрузке 4 Ом

ИМС K174УН7 - усилитель мощности звуковой частоты с выходной мощностью 4,5 Вт

ИМС K174УН8 - усилитель мощности звуковой частоты с номинальной выходной мощностью 2 Вт при сопротивлении нагрузки 4 Ом

ИМС K174УН9А,Б - усилитель мощности звуковой частоты с выходной мощностью 5 Вт и защитой от перегрузок на выходе

ИМС K174УН10А,Б - двухканальный усилитель звуковой частоты с электронной регулировкой частотной характеристики

ИМС K174УН11 - усилитель мощности звуковой частоты с выходной мощностью 15 Вт и защитой от перегрузок на выходе

ИМС K174УН12 - двухканальное регулирование громкости и баланса

ИМС K174УН14А,Б - усилитель мощности звуковой частоты

ИМС K174УН15 - двухканальный усилитель мощности звуковой частоты с выходной мощностью на канал 9 Вт

ИМС KФ174УН17 - двухканальный усилитель звуковой частоты с выходом на стереотелефоны

ИМС K174УН18 - двухканальный усилитель мощности звуковой частоты для переносной аппаратуры

ИМС K174УН19 - усилитель мощности звуковой частоты с выходной мощностью 15 Вт.

ИМС K174КП1 - двухканальный переключатель низкочастотных сигналов

Номера чертежей корпусов и основные эксплуатационные характеристики микросхем приведены в табл. 2.1.

ИМС K174УНЗ (рис. 2.1) представляет собой предварительный усилитель звуковой частоты, используется в качестве микрофонных и телефонных усилителей в радиоприемной аппаратуре, а также для усиления слабых сигналов. Имеет коэффициент усиления более 600, малый коэффициент шума и хорошую линейность выходной характеристики. Состоит из двухкаскадного входного усилителя на транзисторах VT1, VT2 с внешними нагрузками и цепями смещения и двухкаскадного выходного усилителя на транзисторах VT3, VT4, VT9, который через транзистор VT4 можно охватить внешней обратной связью. Транзисторы VT5...VT8 в диодном включении согласуют уровень коллекторного напряжения транзистора VT3 и потенциал на базе выходного транзистора по постоянному току. Применяется с большим числом навесных компонентов, определяющих температурную стабильность усилителя, его

Микросхема	Напряжение питания, В	Рабочий диапазон температур, °C	Гарантированная наработка на отказ, ч	Гарантированный срок хранения, лет	Количество элементов в корпусе	Номер чертежа корпуса	Тип корпуса
K174УН3	+ 6,0±0,6	-25...+55	15 000	6	14	8	238.12 - 1
K174УН4А,Б	+ 9,0±0,9	-25...+55	15 000	6	31	1	201.9 - 1
K174УН5	+12,0±1,2	-25...+55	15 000	6	19	8	238.12 - 1
K174УН7	+15,0±1,5	-10...+60	15 000	10	41	2, 8	201.12 - 1, 238.12 - 1
K174УН8	+12,0±1,2	-25...+55	15 000	6	31	1	201.9 - 1
K174УН9А,Б	+18,0±1,8	-10...+55	15 000	10	140	24	2104.12 - 1
K174УН10А,Б	+15,0±1,5	-10...+55	15 000	10	204	9	238.16 - 1
K174УН11	+15,0±1,5	-10...+55	15 000	10	150	3	201.14 - 1
K174УН12	+15,0±1,5	-10...+55	15 000	10	215	9	238.16 - 1
K174УН14	+15,0±1,5	-10...+55	25 000	10	86	19	1501Ю.5 -
K174УН15	+15,0±1,5	-10...+55	25 000	12	172	20	1503Ю.11 -
K174УН17	+ 3,0±0,3	-25...+70	50 000	8	*	35	Ф08.16 - 1
K174УН18	+ 9,0±0,9	-25...+70	50 000	10	127	21	1505Ю.17 -
K174УН19	±15,0±1,5	-25...+70	50 000	10	*	19	1501.5 - 1
K174КП1	+15,0±1,5	-25...+55	20 000	15	193	9	238.16 - 1

* Данными авторы не располагают

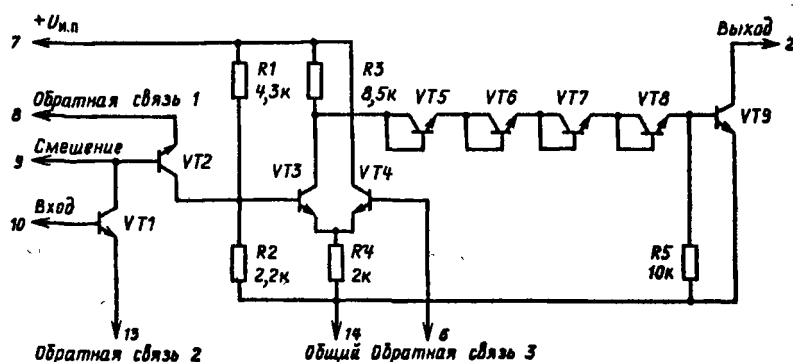


Рис. 2.1 а. Принципиальная схема ИМС K174УН3

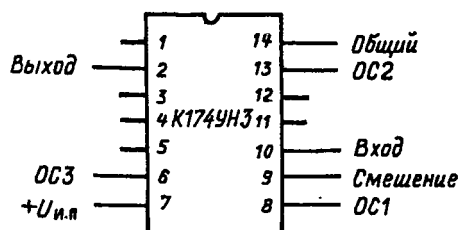


Рис. 2.1 б. Расположения и назначение выводов ИМС K174УН3

частотную характеристику и коэффициент усиления. При сопротивлении в цепи базы транзистора VT1 равно 1 кОм приведенное ко входу напряжение шумов усилителя составляет 2 мкВ в полосе частот 0...20 кГц.

Электрические параметры ИМС K174УН3 при $25 \pm 10^\circ\text{C}$ и $U_{и.п.ном} = 6$ В.

Ток потребления $I_{пот}$, мА, при $U_{вх} = 0$, не более

Коэффициент усиления по напряжению (K_{yU}) при $U_{BX}=0.1$ мВ, $f=1$ кГц.....	600...1400
Коэффициент гармоник (K_p), %, при $U_{BX}=0.5$ В, $f=1$ кГц, не более.....	1.2
Напряжение шумов, приведенное ко входу $U_{ш.вх}$, мкВ, в полосе 0...20 кГц и сопротивлении R_6 VT1=1 кОм, не более.....	2
Входное сопротивление R_{BX} , кОм, на частоте 1 кГц, не менее.....	10

Предельные эксплуатационные параметры ИМС K174УН3

Напряжение питания $U_{н.п.}$, В, не более.....	7
Минимальное сопротивление нагрузки $R_{н.мин.}$, кОм, не менее.....	10
Коэффициент усиления K_{yU} при температуре $-25...+55^\circ\text{C}$, не менее.....	400

ИМС K174Н4А, K174УН4Б (рис. 2.2) представляют собой усилители мощности звуковой частоты. Входной каскад усилителя построен по дифференциальной схеме на

транзисторах VT3, VT4. Постоянное смещение на базу транзистора VT3 подается через резистор R3. Транзисторами VT1, VT2 обеспечивается температурная стабилизация напряжения смещения. Выходной сигнал дифференциального каскада снимается через транзистор VT6, в коллекторную цепь которого включена термостабилизированная нагрузка на транзисторах VT7, VT8 и резисторе R8. Далее сигнал поступает в каскад на составном транзисторе VT9 VT10. Этот каскад выполняет функции преобразователя уровня.

Плечи выходного двухтактного каскада выполнены по схеме эмиттерных повторителей на составных транзисторах VT14 VT15 и VT11 VT12 VT16. Порог открывания эмиттерных повторителей определяется падением напряжения на резисторе R10. Отрицательная обратная связь с выхода усилителя через резистор R14 на базу транзистора VT4 уменьшает нелинейные искажения, связанные со ступенькой в выходном сигнале. Зависимости основных параметров ИМС от режимов эксплуатации приведены на рис. 2.3.

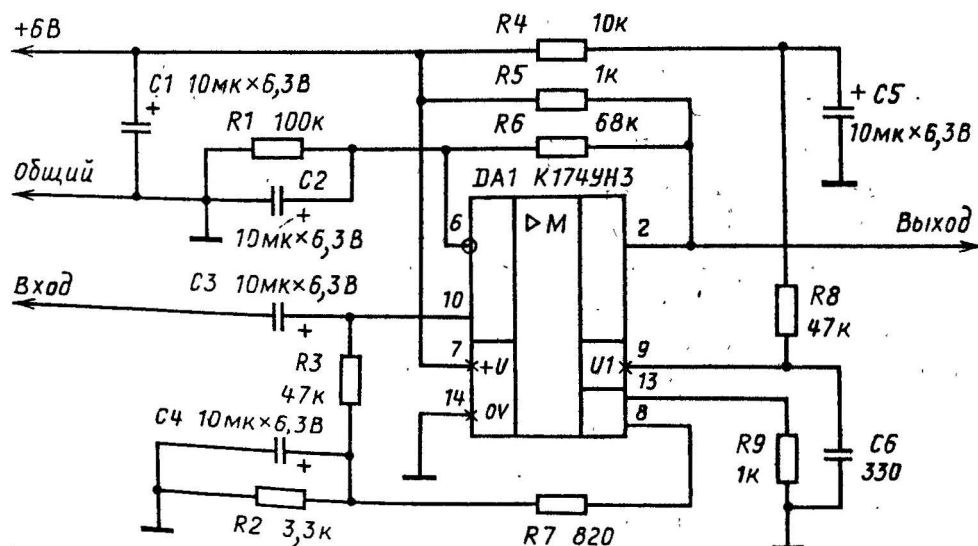


Рис. 2.1 в. Типовая схема включения ИМС K174УН3

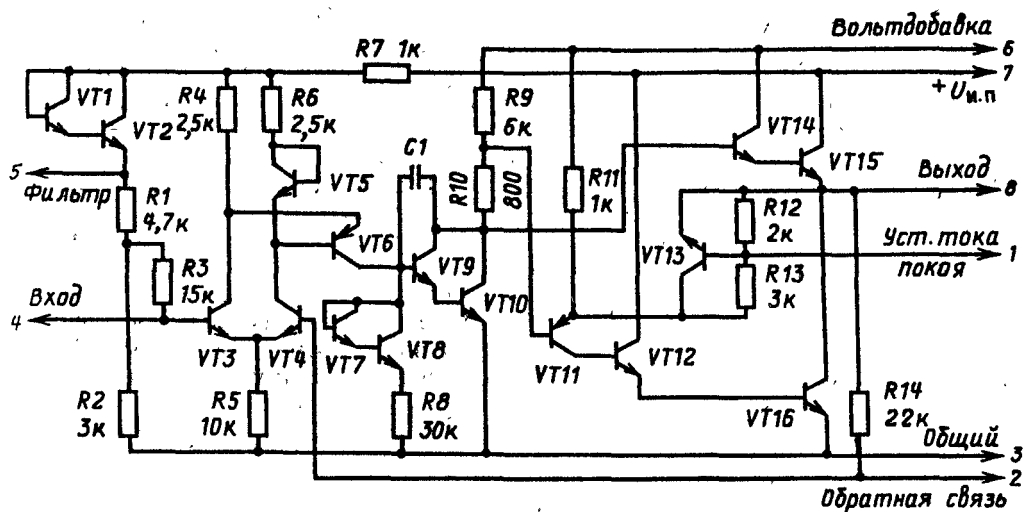


Рис. 2.2 а. Принципиальная схема ИМС К174УН4А,Б

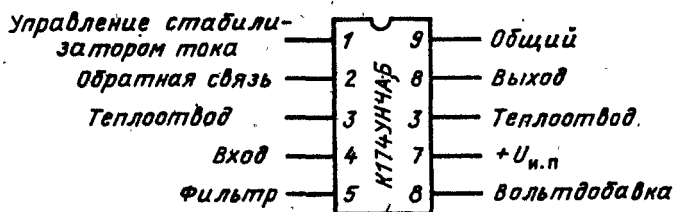


Рис. 2.2 б. Назначение выводов ИМС К174УН4А,Б

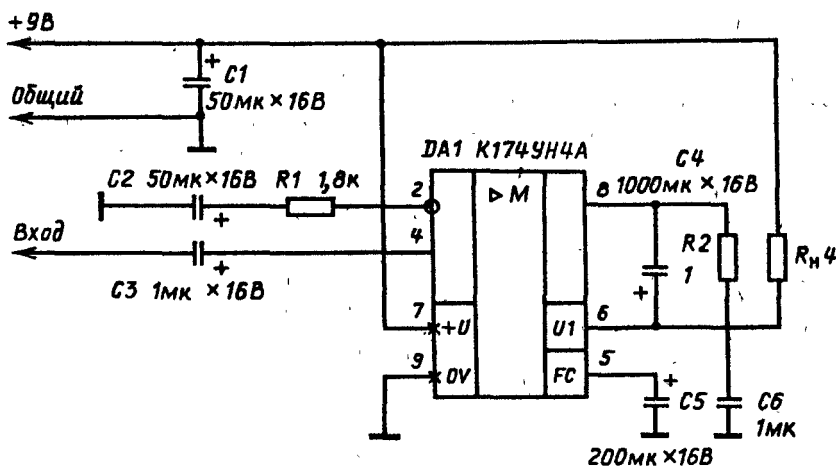


Рис. 2.2 в. Типовая схема включения ИМС К174УН4А,Б

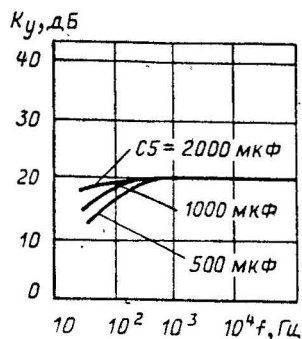


Рис. 2.3 а. Амплитудно-частотная характеристика ИМС К174УН4.Б

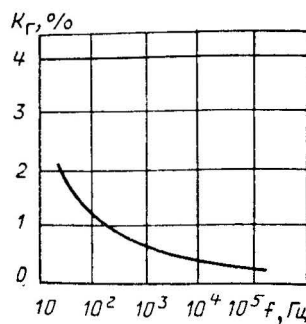


Рис. 2.3 в. Зависимость коэффициента гармоник от частоты для ИМС К174УН4.Б

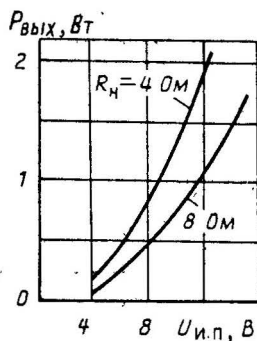


Рис. 2.3 б. Зависимость выходной мощности от напряжения питания для ИМС К174УН4.Б

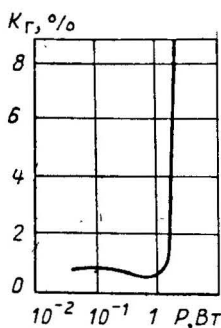


Рис. 2.3 г. Зависимость коэффициента гармоник от выходной мощности для ИМС К174УН4.Б

Электрические параметры ИМС К174УН4 при $(25 \pm 10)^\circ\text{C}$ и $U_{\text{и.п.ном}} = 9\text{ В}$

Нестабильность коэффициента усиления по напряжению, %, не более..... ± 20

КПД, %, при выходной мощности:
1 Вт (ИМС К174УН4А), не менее..... 50
0,7 Вт (ИМС К174УН4Б), не менее..... 35

Ток потребления $I_{\text{пот}}$, мА, при $U_{\text{вх}} = 0$, не более..... 10

Предельные эксплуатационные параметры микросхемы К174УН4

Напряжение питания $U_{\text{и.п}}$, В:
минимальное..... 5,4
максимальное..... 9,9

Номинальная выходная мощность $P_{\text{вых}}$, Вт, при $R_H = 4\text{ Ом}$:
ИМС К174УН4А..... 1
ИМС К174УН4Б..... 0,7
Номинальное сопротивление нагрузки R_H , Ом..... 4
Диапазон рабочих частот, кГц..... 0,03...20
Коэффициент усиления по напряжению K_u , при $f = 1\text{ кГц}$ 4...40
Коэффициент гармоник $K_Г$, %, при выходной мощности:
1 Вт (ИМС К174УН4А), не более..... 2
0,7 Вт (ИМС К174УН4Б), не более..... 2
Входное сопротивление $R_{\text{вх}}$, кОм, не менее..... 10

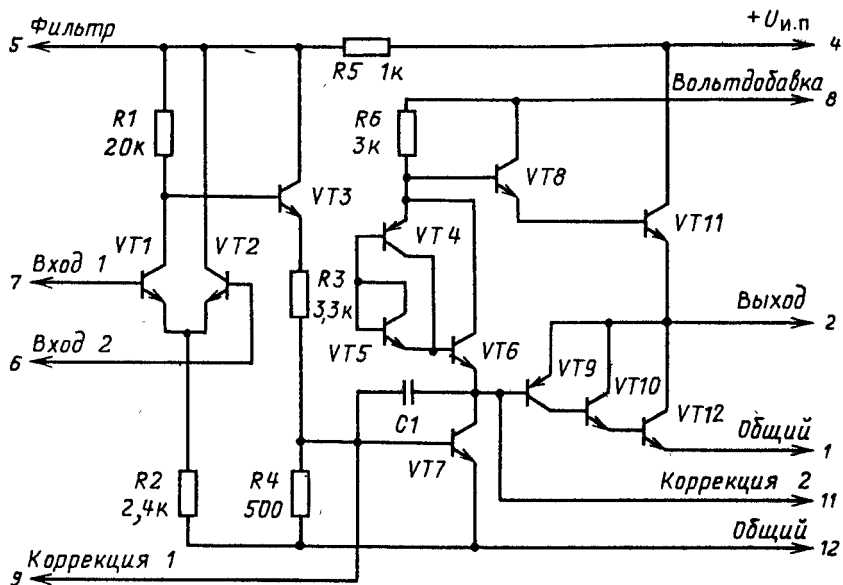


Рис. 2.4 а. Принципиальная схема ИМС К174УН5

Максимальное амплитудное значение

тока в нагрузке I_{HA} , мА

ИМС К174УН4А.....860

ИМС К174УН4Б.....600

Температура кристалла, °С, не

более.....125

Тепловое сопротивление на границе

кристалл-окружающая среда, °С, не

более.....135

Тепловое сопротивление на границе

кристалл-корпус, °С/Вт, не более.....60

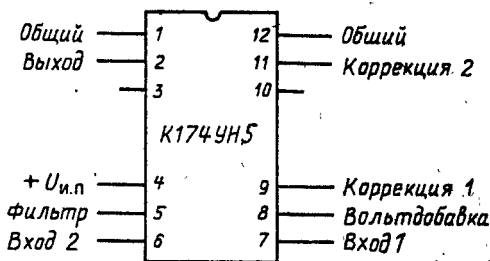


Рис. 2.4 б. Расположение и назначение выводов ИМС К174УН5

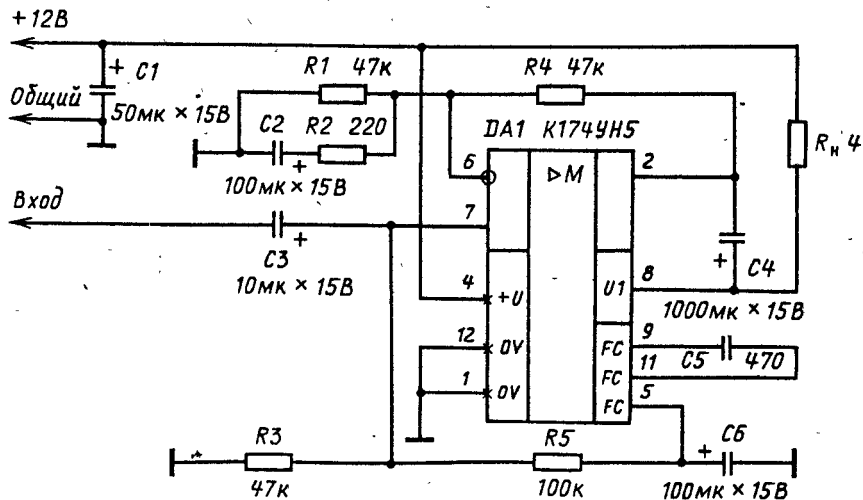


Рис. 2.4 в. Типовая схема включения ИМС К174УН5

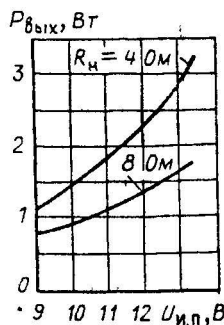


Рис. 2.5 а. Зависимость выходной мощности от напряжения питания при различных сопротивлениях нагрузки для ИМС К174УН5

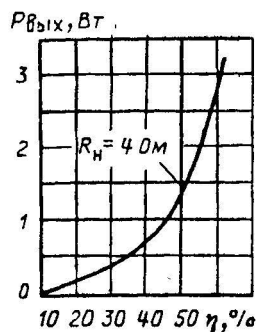


Рис. 2.5 б. Зависимость выходной мощности от КПД для ИМС К174УН5

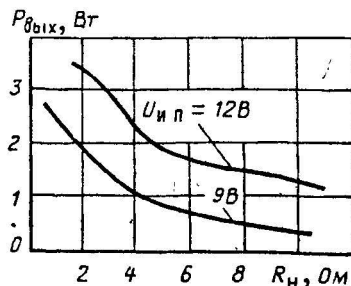


Рис. 2.5 в. Зависимость выходной мощности от сопротивления нагрузки при различных напряжениях питания для ИМС К174УН5

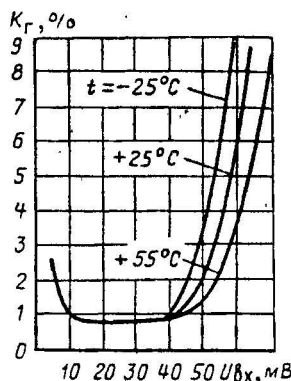


Рис. 2.6 а. Зависимость коэффициента гармоник от входного напряжения при различной температуре окружающей среды для ИМС К174УН5

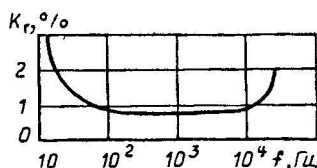


Рис. 2.6 б. Зависимость коэффициента гармоник от частоты входного сигнала для ИМС К174УН5

ИМС К174УН5 (рис. 2.4) представляет собой усилитель мощности низкой частоты с номинальной выходной мощностью 2 Вт на нагрузке 4 Ом. Состоит из входного каскада (на транзисторах VT1, VT2), согласующего каскада (VT3), каскада усиления напряжения (VT7) и выходного каскада (VT8...VT12). Входной каскад выполнен по схеме дифференциального усилителя с несимметричным выходом. С него сигнал через эмиттерный повторитель на транзисторе VT3 поступает на усилитель напряжения (VT7) и далее на квазикомплементарный выходной каскад, выполненный на составных транзисторах VT8VT11 и VT9VT10VT12. Начальное смещение на базах транзисторов выходного каскада для работы в режиме АВ задается транзисторам VT4...VT6. Применение ИМС без дополнительного теплоотвода не допускается. Напряжение питания можно снижать до +9 В, при этом выходная мощность усилителя уменьшается (см. рис. 2.5 а). Зависимости новых параметров ИМС от режима эксплуатации приведены на рис. 2.5 - 2.7.

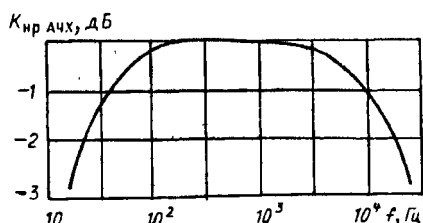


Рис. 2.7. Зависимость коэффициента неравномерности АЧХ от частоты входного сигнала для ИМС К174УН5

Электрические параметры ИМС К174УН5 при $25 \pm 10^\circ\text{C}$ и $U_{\text{и.п.ном}} = 12 \text{ В}$.

Ток потребления $I_{\text{пот}}$, мА, при $U_{\text{вх}} = 0$, не более.....	30
Коэффициент усиления по напряжению $K_{\text{у}}$, при $U_{\text{вх}} = 10 \text{ мВ}$	80...120
Нестабильность коэффициента усиления по напряжению $\Delta K_{\text{у}}$, %, не более.....	± 20
Коэффициент гармоник $K_{\text{г}}$, %, при $P_{\text{вых}} = 2 \text{ Вт}$ и $f = 1 \text{ кГц}$, не более.....	1
Входное сопротивление $R_{\text{вх}}$, кОм, при $f = 1 \text{ кГц}$, $U_{\text{вх}} = 1 \text{ В}$, не менее.....	10
Полоса воспроизводимых частот, Δf , кГц, при $U_{\text{вх}} = 10 \text{ мВ}$	0,03...20
Выходная мощность $P_{\text{вых}}$, Вт, при $f = 1 \text{ кГц}$ и $K_{\text{г}} \leq 1 \%$, не менее.....	2

Предельные эксплуатационные параметры ИМС К174УН5

Напряжение питания $U_{\text{и.п.}}$, В, не более.....	13,2
Входное напряжение $U_{\text{вх}}$, В, не более.....	1,5
Входное синфазное напряжение $U_{\text{оф.вх}}$, В, не более.....	5,5
Амплитудное значение тока в нагрузке (разового действия) $I_{\text{н.А.}}$, А, не более.....	1,45
Сопротивление нагрузки $R_{\text{н}}$, Ом, не менее.....	3,2
Температура кристалла, $^\circ\text{C}$, не более.....	125
Тепловое сопротивление на границе кристалл-окружающая среда, $^\circ\text{C}/\text{Вт}$, не более.....	1000
Тепловое сопротивление на границе кристалл-корпус, $^\circ\text{C}/\text{Вт}$, не более.....	20

ИМС К174УН7 (рис. 2.8) является усилителем мощности звуковой частоты. При сопротивлении нагрузки 4 Ом и напряжении источника питания 15 В его максимальная выходная мощность — 4,5 Вт.

Входной каскад усилителя построен на составном транзисторе VT1VT2, нагрузкой которого является VT3, включенный как генератор тока. С эмиттерного повторителя на VT7, нагрузкой которого служат резистор R9 и транзистор VT6, усиленный по току сигнал подается на VT8 и VT10. В качестве коллекторной нагрузки VT10 используется генератор тока на транзисторе VT9 и термостабилизирующий диод VD3.

Транзисторы VT4, VT5 с резисторами R3...R7 и диод VD2 в режиме покоя поддерживают выходное напряжение (на выводе 12) равным половине напряжения $U_{\text{и.п.}}$. Предоконечный фазоинверсный каскад выполнен на транзисторах VT14, VT11 разной структуры. Выходной каскад по двухтактной схеме на транзисторах VT16, VT17 одинаковой структуры.

Ток покоя этих транзисторов задают генераторы тока на транзисторах VT12, VT13 и диоды VD4, VD5. Транзистор VT15 выполняет функцию термостабилизатора выходного тока. К базе транзистора подключают внешнюю цепь, корректирующую амплитудно-частотную характеристику на высоких частотах, а к выводу 6 — цепь обратной связи, с помощью которой регулируют коэффициент усиления.

При работе ИМС в типовом включении (см. рис. 2.8 в) коэффициент гармоник $K_{\text{г}}$ составляет от 2 до 10 %. При включении микросхемы так, как показано на рис. 2.8 г можно заметить снизить коэффициент гармоник. Этом случае в зависимости от экземпляра ИМС коэффициент гармоник на частоте 1000 Гц имеет значение интервале от 0,03 до 0,06 %. Искажения снижены благодаря изменению глубины внешней отрицательной обратной связи. Чтобы уменьшить ко

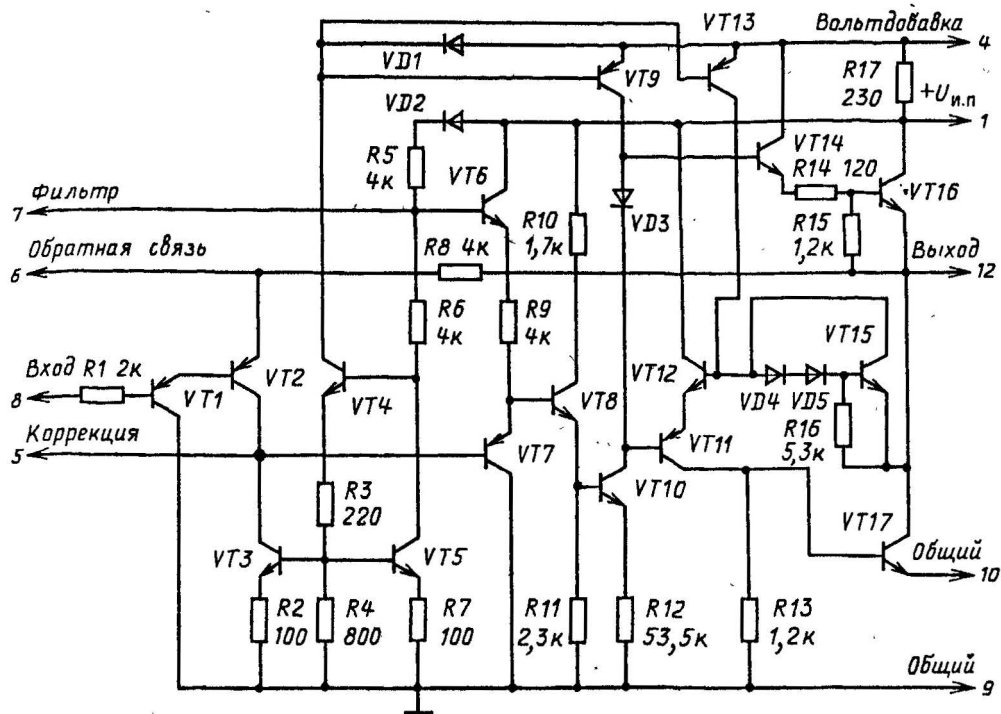


Рис. 2.8 а. Принципиальная схема ИМС К174УН7.

Рис. 2.8 б. Расположение и назначение выводов ИМС К174УН7

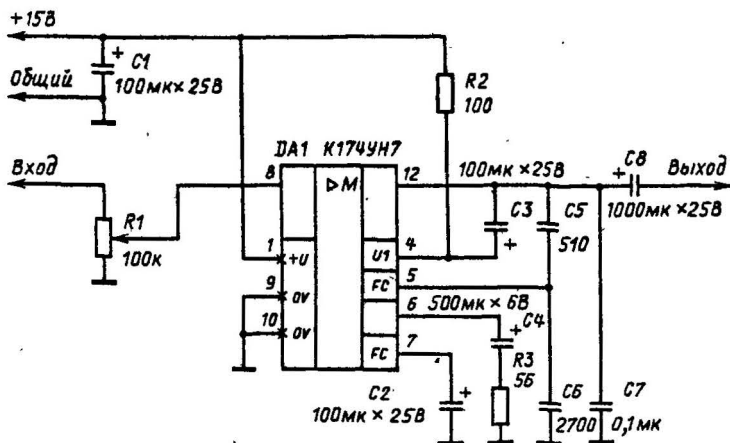
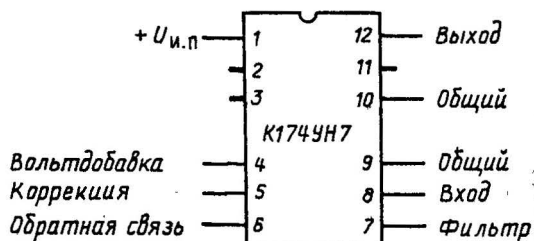


Рис. 2.8 в. Типовая схема включения ИМС К174УН7

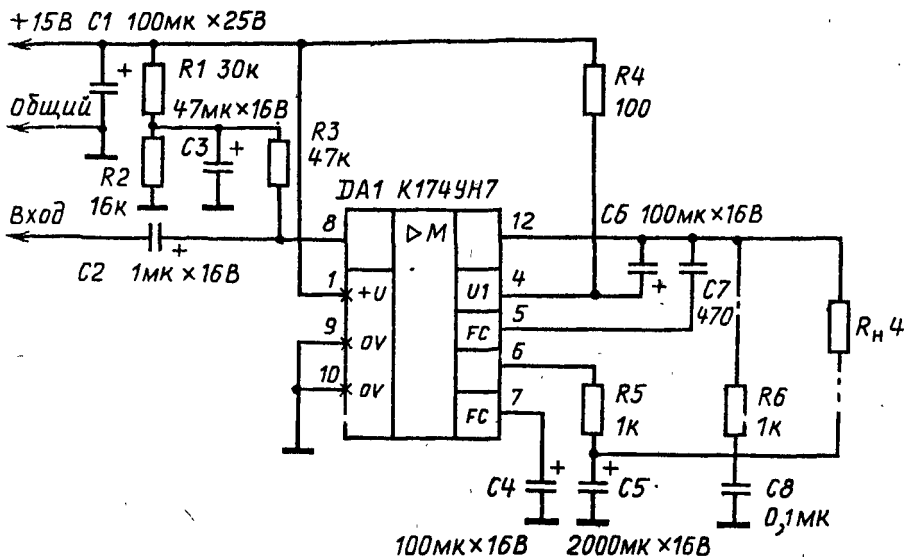


Рис. 2.8 г. Улучшенная схема включения ИМС K174УН7

эффицент гармоник на высоких частотах в несколько раз должна быть уменьшена емкость конденсатора между выводами 5, 12 и удален конденсатор, включенный между общим проводом и выводом 5. Однако это может привести к самовозбуждению отдельных ИМС. В этом случае следует пойти на компромисс, включив между общим проводом и выводом 5 конденсатор емкостью 330 пФ, что, естественно, несколько увеличит коэффициент гармоник. В новом варианте включения ИМС изменена также цепь нагрузки, что уменьшает число конденсаторов. Коэффициент гармоник на частоте 20 кГц в зависимости от экземпляра ИМС имеет значение в интервале от 0,1 до 0,2 %.

Зависимости основных параметров ИМС от режимов эксплуатации приведены на рис. 2.9.

Электрические параметры ИМС K174УН7 при $25 \pm 10^\circ\text{C}$ и $U_{\text{и.п.ном}} = 15\text{ В}$

Ток потребления $I_{\text{пот}}$, мА, при $U_{\text{вх}} = 0$, не более.....	20
Коэффициент гармоник K_r , %, при $f = 1\text{ кГц}$ и выходной мощности 0,05 и 2,5 Вт.....	2

Полоса воспроизводимых частот Δf , кГц.....	0,4...20
Входное сопротивление $R_{\text{вх}}$, кОм, при $f = 1\text{ кГц}$, не менее.....	50
КПД, %, при $f = 1\text{ кГц}$ и выходной мощности $P_{\text{вых}} = 4,5\text{ Вт}$, не менее.....	50

Предельные эксплуатационные параметры ИМС K174УН7

Напряжение питания $U_{\text{и.п}}$, В:	
минимальное.....	3
максимальное.....	18
Максимальное амплитудное значение тока нагрузки $I_{\text{н.А}}$, А, не более.....	1,8
Амплитудное значение входного напряжения $U_{\text{вх.А}}$, В, не более.....	2
Допустимое постоянное напряжение U , В, не более:	
на выводе 7.....	15
на выводе 8.....	-0,3...+2
Допустимая температура корпуса, $^\circ\text{C}$, при температуре окружающей среды $T_{\text{окр}} = 60^\circ\text{C}$, не более.....	85
Тепловое сопротивление на границе кристалл-окружающая среда, $^\circ\text{C}/\text{Вт}$, не более.....	100
Тепловое сопротивление на границе кристалл-корпус, $^\circ\text{C}/\text{Вт}$, не более.....	20

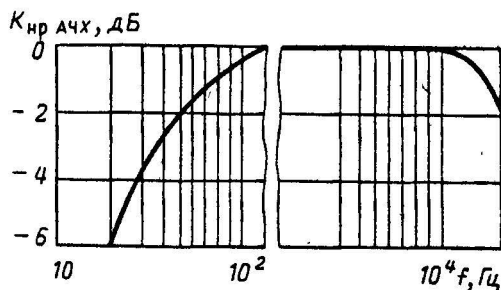


Рис. 2.9 а. Зависимость коэффициента неравномерности АЧХ от частоты входного сигнала для ИМС К174УН7

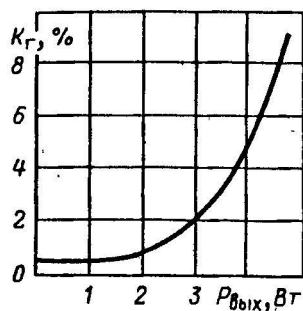


Рис. 2.9 б. Зависимость коэффициента гармоник от выходной мощности

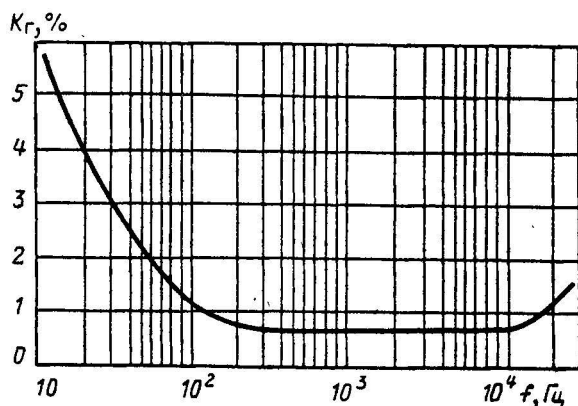


Рис. 2.9 в. Зависимость коэффициента гармоник от частоты входного сигнала в типовой схеме включения ИМС К174УН7

На выводы 5; 6; 12 запрещено подавать постоянное напряжение от внешнего источника. Не допускается применять ИМС без дополнительного теплоотвода при мощности в нагрузке более 0,27 Вт. ИМС устойчиво работает от источника сигнала с внутренним сопротивлением не более 15 кОм.

ИМС К174УН8 (рис. 2.10) представляет собой усилитель мощности звуковой частоты с номинальной выходной мощностью 2 Вт при сопротивлении нагрузки 4 Ом.

Входной каскад усилителя построен по дифференциальной схеме на транзисторах VT3, VT5. Смещение на базу транзистора подается через резистор R3. Транзисторы VT1, VT2 обеспечивают температурную стабилизацию напряжения смещения. Выходной сигнал дифференциального кас-

када через транзистор VT6, в коллекторную цепь которого включена термостабилизированная нагрузка, выполненная на транзисторах VT7, VT8 и резисторе R8, поступает в каскад на составном транзисторе VT8VT10.

Двухтактный выходной каскад выполнен на составных транзисторах VT14VT15, VT11VT12VT16, включенных по схеме эмиттерных повторителей. Начальное смещение в выходном каскаде определяется падением напряжения на резисторе R10. Отрицательная обратная связь с выходом усилителя через резистор R14 на базу транзистора VT5 уменьшает нелинейные искажения, связанные "ступенькой" в выходном сигнале.

Допускается включение нагрузки относительно общего провода так, как показано на рис. 2.10 г.

Регулировать коэффициент уси-

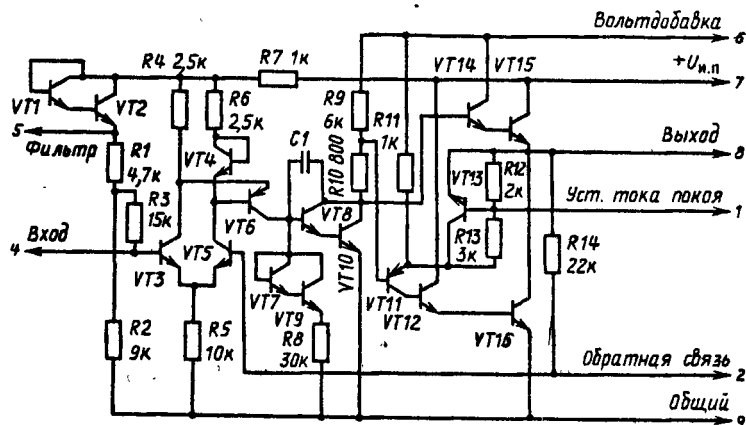


Рис. 2.10 а. Принципиальная схема ИМС К174УН8

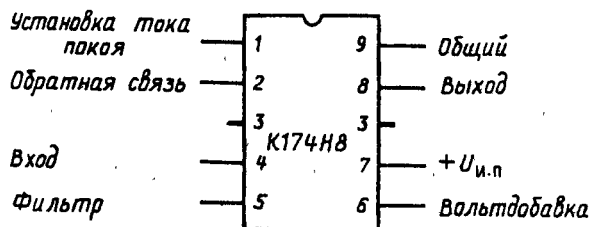


Рис. 2.10 б. Расположение и назначение выводов ИМС К174УН8

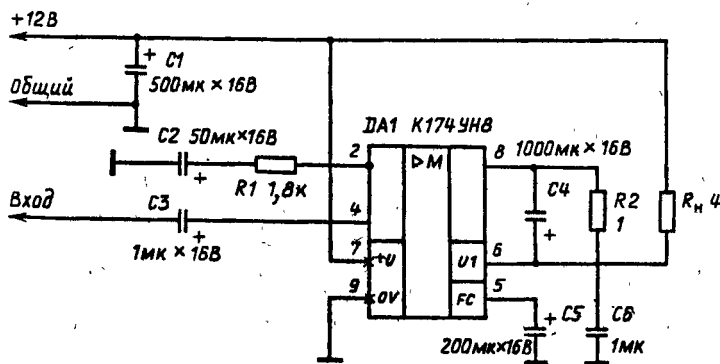


Рис. 2.10 в. Типовая схема включения ИМС К174УН8

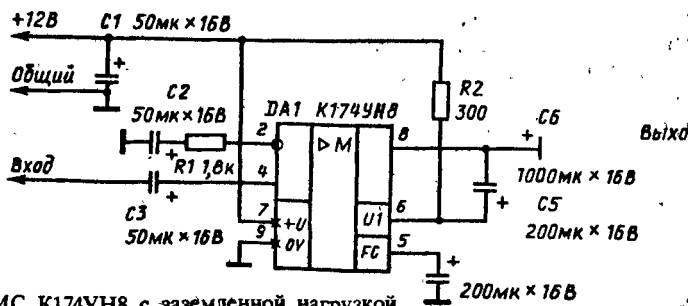


Рис. 2.10 г. Схема включения ИМС К174УН8 с заземленной нагрузкой

ния на низких частотах можно изменением емкости конденсаторов $C2$, $C5$, а во всей полосе пропускания — изменением глубины ООС резистором $R1$ и конденсатором $C2$ (см. рис. 2.10 в, г).

Электрические параметры ИМС К174УН8 при $25 \pm 10^\circ\text{C}$ и $U_{\text{н.п.ном}} = 12 \text{ В}$.

Ток потребления $I_{\text{пот}}$, мА, при $U_{\text{вх}} = 0$, не более.....	15
Коэффициент усиления по напряжению $K_{\text{У}}$ при $f = 1 \text{ кГц}$	4...40
Нестабильность коэффициента усиления по напряжению $\Delta K_{\text{У}}$, %, не более.....	± 20
Коэффициент гармоник $K_{\text{г}}$, %, при $f = 1 \text{ кГц}$ и выходной мощности 2 Вт, не более.....	2
Входное сопротивление $R_{\text{вх}}$, кОм, при $f = 1 \text{ кГц}$, не менее.....	10
Полоса воспроизводимых частот Δf , кГц.....	0,03...20
Выходная мощность $P_{\text{вых}}$, Вт, при $f = 1 \text{ кГц}$ и $K_{\text{г}} = 2$ %.....	2
КПД, %, при $f = 1 \text{ кГц}$ и $P_{\text{вых}} = 2 \text{ Вт}$	50

Предельные эксплуатационные параметры микросхемы К174УН8

Напряжение питания $U_{\text{н.п.}}$, В, не более.....	13,2
Максимальная выходная мощность $P_{\text{вых max}}$, Вт, при $f = 1 \text{ кГц}$ и $K_{\text{г}} = 10$ %.....	2,5
Амплитудное значение тока в нагрузке $I_{\text{на}}$, мА, не более.....	1090
Температура кристалла, $^\circ\text{C}$, не более.....	+125
Тепловое сопротивление на границе кристалл-окружающая среда, $^\circ\text{C}/\text{Вт}$, не более.....	135
Тепловое сопротивление на границе кристалл-корпус, $^\circ\text{C}/\text{Вт}$, не более.....	60

ИМС К174УН9А, К174УН9Б, К174УН9В (рис. 2.11) представляют собой усилители мощности звуковой частоты с номинальной выходной мощностью 5 Вт при сопротивлении нагрузки 4 Ом.

Входной каскад усилителя построен на составном транзисторе $VT1/VT2$, нагрузкой которого является транзистор $VT3$, включенный как генератор тока. Усилитель напряжения выполнен на транзисторе $VT8$, в качестве коллекторной нагрузки которого включен $VT11$ как генератор тока и термостабилизирующий $VT12$ в диодном включении.

В двухтактном выходном каскаде используются транзисторы $VT23$, $VT25$, образующие одно плечо, а $VT13$, $VT26$ — другое.

Стабилизатор устанавливает на выходе микросхемы постоянное напряжение, равное половине напряжения питания в диапазоне от 6 до 18 В. При коротком замыкании усилителя устройство защиты фиксирует ток выходного каскада на уровне 0,5 А. При нарушении теплового контакта между теплоотводом микросхемы и внешним резистором устройство тепловой защиты отключает предварительный усилитель.

Микросхема имеет встроенное устройство стабилизации тока покоя транзисторов выходного каскада, что обеспечивает высокую временную и температурную стабильность выходных параметров усилителя. Имеются также устройства защиты выходных транзисторов от короткого замыкания и защиты кристалла от термоперегрева, чем обеспечивается долговременная и высоконадежная работа ИМС. Хотя ИМС имеет внутренние узлы защиты от электрических и тепловых перегрузок, при построении конкретных УЗЧ на основе ИМС К174УН9 необходимо ограничить ток нагрузки значением 1,8 А. Если мощность, отдаваемая в нагрузку, превышает 300 мВт, ИМС следует снабдить дополнительным теплоотводом с эффективной поверхностью не менее 30 см².

В зависимости от коэффициента гармоник и полосы пропускания ИМС К174УН9 подразделяются на группы А, Б и В.

Допускается эксплуатация при напряжении питания менее 18 В. При

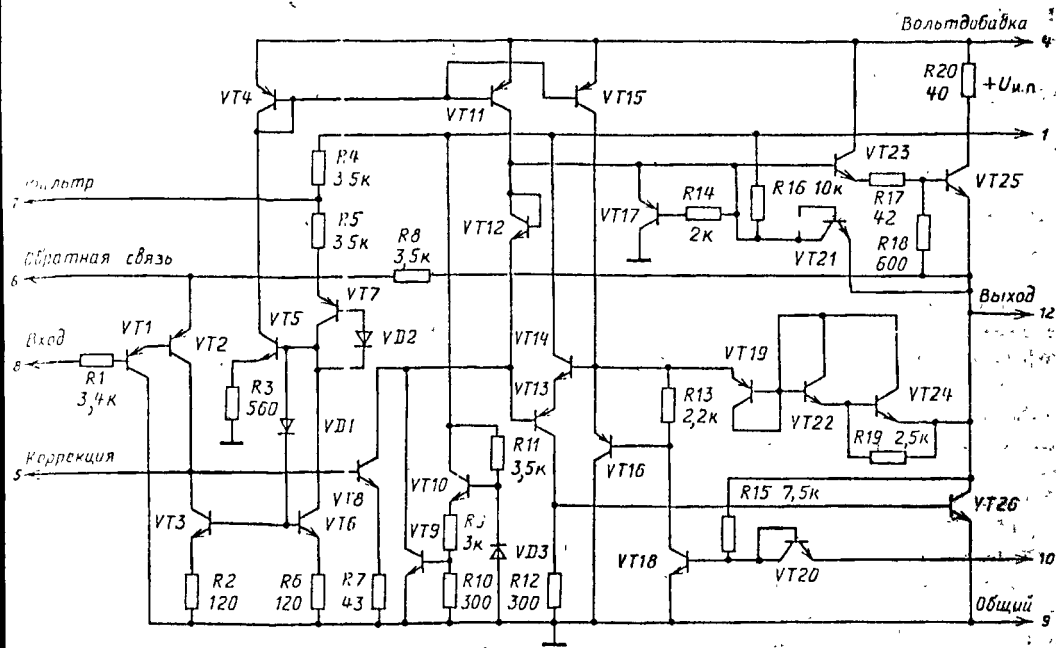


Рис. 2.11 а. Принципиальная схема ИМС К174УН9

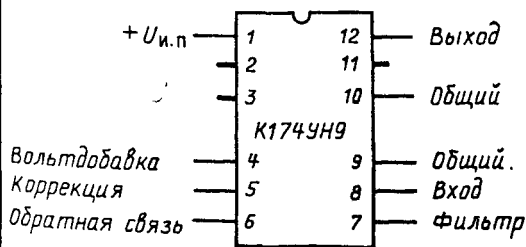


Рис. 2.11 б. Расположение и назначение выводов ИМС К174УН9

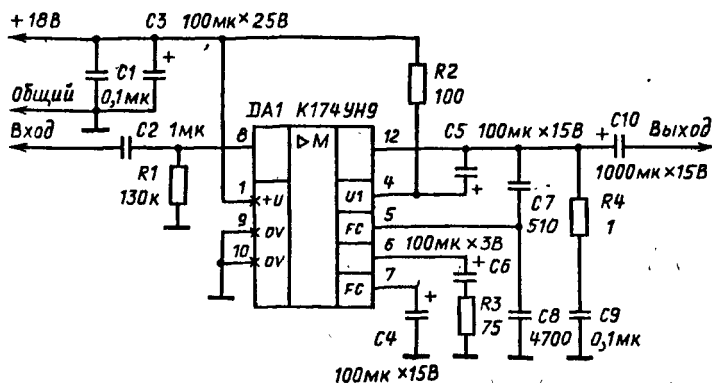


Рис. 2.11 в. Типовая схема включения ИМС К174УН9

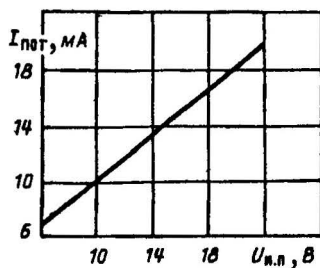


Рис. 2.12 а. Зависимость тока потребления от напряжения питания для ИМС К174УН9

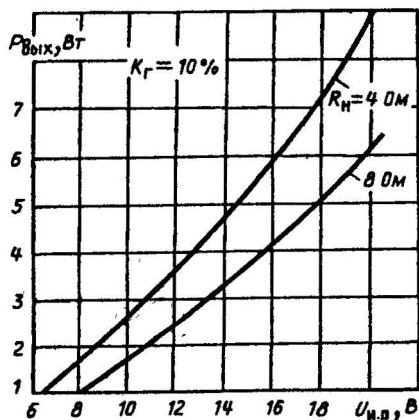


Рис. 2.12 б. Зависимость выходной мощности для ИМС К174УН9 от напряжения питания

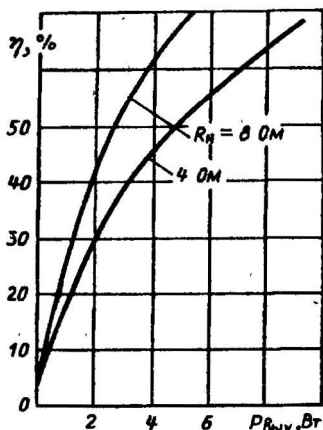


Рис. 2.12 в. Зависимость КПД от выходной мощности при различных значениях сопротивления нагрузки для ИМС К174УН9

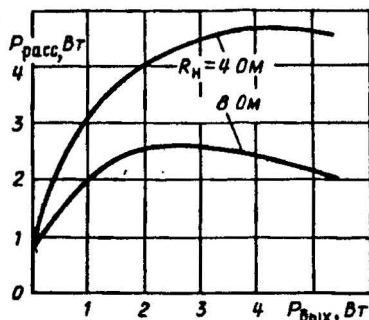


Рис. 2.12 г. Зависимость мощности, рассеяемой микросхемой, от выходной мощности при различных значениях сопротивления нагрузки для ИМС К174УН9

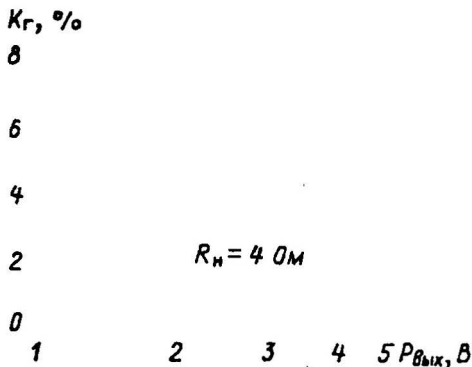


Рис. 2.12 д. Зависимость коэффициента gain от выходной мощности для ИМС К174УН9

понижении напряжения питания 5,4 В соответственно снижается потребляемый микросхемой, и выходная мощность (см. рис. 2.12 а, в). Зависимости основных параметров ИМС от режимов эксплуатации приведены на рис. 2.12.

Электрические параметры ИМС К174УН9А, Б
при $25 \pm 10^\circ\text{C}$ и $U_{п.п.ном} = 18 \text{ В}$

Ток потребления $I_{пот}$, мА, при $U_{вх} = 0$,
не более

ИМС К174УН9А, Б
ИМС К174УН9В
Входное напряжение $U_{вх}$, мВ, при вы-

ходной мощности $P_{вых} = 5 \text{ Вт}$ 50...

Рис. 2.13 а. Структурная схема ИМС К174УН10

коэффициент гармоник K_r , %, не более, при $f=1$ кГц и

$P_{\text{н.н.}}=0,05...5$ Вт (ИМС К174УН9А).....1

$P_{\text{вкл}} = 0,05 \dots 5$ Вт (ИМС К174УН9Б).....2

$$P_{\text{вкл}} = 0,05 \dots 4,5 \text{ Вт}$$

(ИМС К174УН9В) 10

апряжение шумов $U_{\text{ш}}$, мВ, на выходе при сопротивлении генератора 50 кОм (ИМС К174УН9А,Б), не более

олоса воспроизводимых частот Δf ,
кГц

ИМС К174УН9А.....0.04...20

ИМС К174УН9Б.В.....0.04...16

ходное сопротивление $R_{\text{вх}}$, кОм, при
 $f=1$ кГц.....100

Предельные эксплуатационные параметры ИМС К174УН9А,Б,В

напряжение питания $U_{н.п.}$, В, при

$U_{\text{вн}}=0$, не более 24

аксимальная выходная мощность

$P_{\text{вых макс}}$, Вт, при $K_r = 10\%$, не более

ИМС К174УН9А.Б.....7

ИМС К174УН9В.....45

При температуре корпуса ИМС более 55°C максимальную рассеиваемую мощность $P_{\text{расс max}}$ рассчитывают по формуле:

$$P_{\text{pass max}} = \frac{t_{\text{кр max}} - t_{\text{кор}}}{R} = \frac{150 - t_{\text{кор}}}{12},$$

де $t_{\text{кор}}$ – температура корпуса микросхемы, измеренная на теплоотводе МС у основания корпуса;

$t_{кр\ max}=150^{\circ}\text{C}$ – максимальная температура кристалла принята условно, при которой гарантируется надежная работа ИМС; $R=12^{\circ}\text{C}/\text{Вт}$ – тепловое сопротивление на границе кристалл-корпус.

ИМС K174УН10 (рис. 2.13) представляет собой двухканальный усилитель с электронной регулировкой частотной характеристики и предназначен для построения двухканального регулятора тембра. В состав ИМС входят четыре усилителя $A1...A4$, управляемых напряжением и два преобразователя напряжения $U1, U2$. Основой собственно регулятора служит каскадный усилитель (схема перемножителя Джилберта). Эта схема обеспечивает электронную регулировку частотной характеристики. Второй каскад выполнен на основе дифференциального усилителя. На входе регулятора установлены два последовательно включенных эмиттерных повторителя.

Преобразователь напряжения $U1(U2)$ выполнен по схеме дифференциального усилителя на транзисторах $VT1...VT6$. Электронная регулировка частотной характеристики осуществляется аналоговым перемножителем, выполненным на основе счетверенного дифференциального каскада с перекрестными связями на транзисторах $VT8, VT9$ ($VT34, VT35$) и $VT12, VT13$ ($VT39, VT40$). Сигнал с выхода аналогового перемножителя поступает на инвертирующий вход

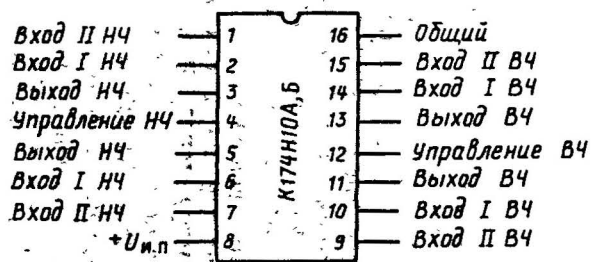
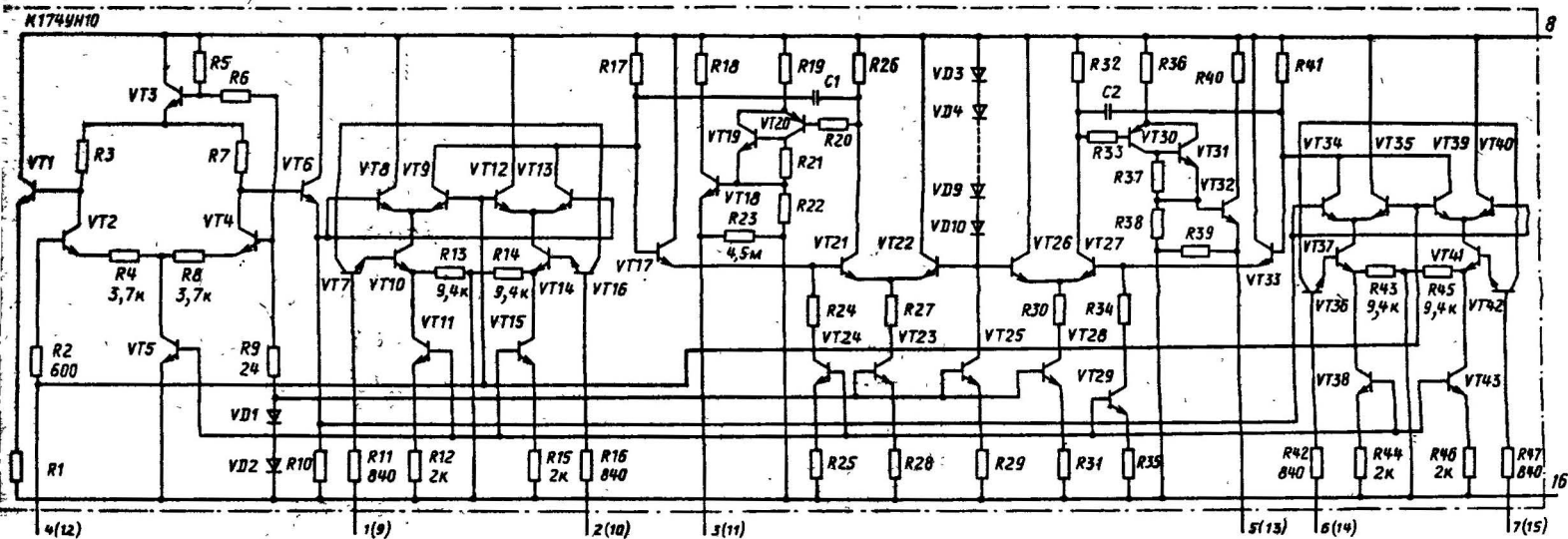


Рис. 2.13 б. Принципиальная схема ИМС К174УН10

Рис. 2.13 в. Расположение и назначение выводов ИМС К174УН10

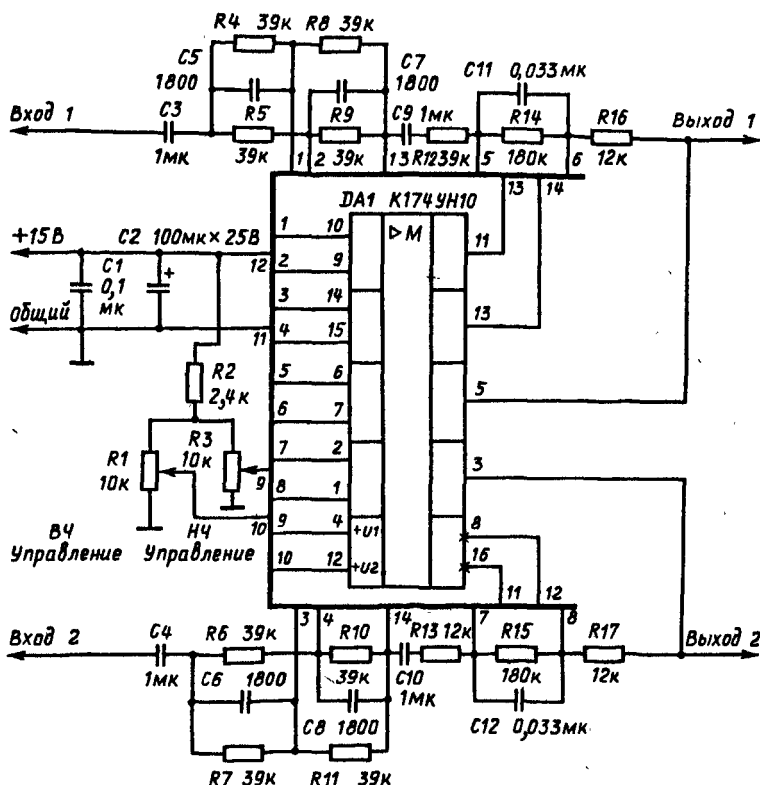


Рис. 2.13 г. Типовая схема включения ИМС К174УН10

операционного усилителя (ОУ) на транзисторах VT17...VT24 (VT26...VT33). Неинвертирующий вход ОУ базы транзисторов VT22, VT26 соединен с внутренним источником опорного напряжения на элементах VD3...VD10, VT25. Выходной сигнал ОУ снимается с двух последовательно включенных эмиттерных повторителей на транзисторах VT18, VT19 (VT31, VT32). В зависимости от коэффициента гармоник и уровня шума ИМС К174УН10 подразделяются на группы А и Б.

Переменными резисторами R9 регулируют высокочастотные составляющие, R16 - низкочастотные (см. рис. 2.13 г).

Зависимости ряда основных параметров от режимов эксплуатации приведены на рис. 2.14 - 2.15.

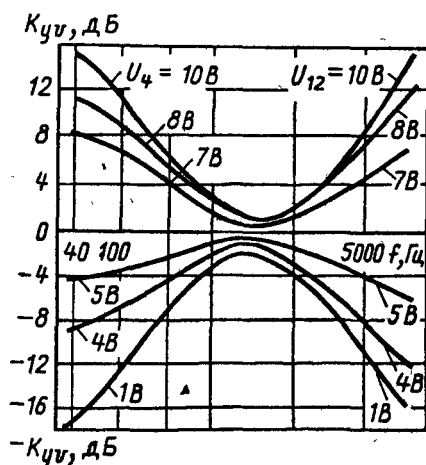


Рис. 2.14 а. Амплитудно-частотная характеристика при различных уровнях регулировки каждого из двух каналов для выводов 12, 4

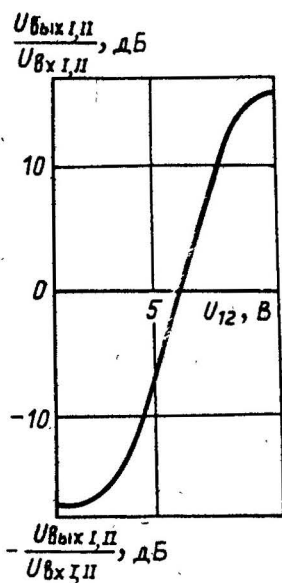


Рис. 2.14 б. Регулировочная характеристика каждого из двух каналов микросхемы на частоте 15 кГц

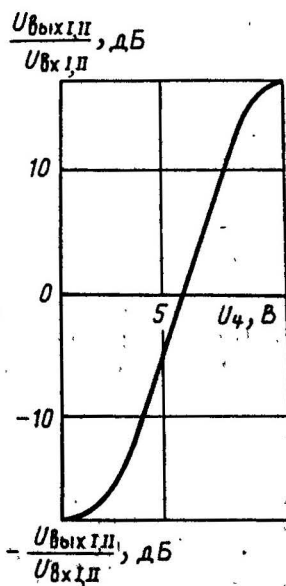


Рис. 2.14 в. Регулировочная характеристика каждого из двух каналов микросхемы на частоте 40 Гц

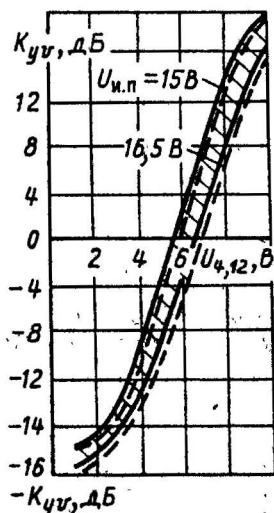


Рис. 2.14 г. Регулировочная характеристика каждого из четырех усилителей на частоте 1 кГц при различном напряжении питания

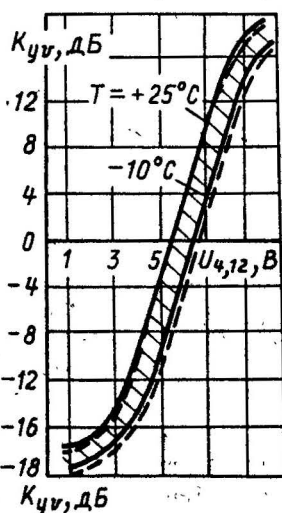


Рис. 2.14 д. Регулировочная характеристика каждого из четырех усилителей на частоте 1 кГц при различной температуре окружающей среды

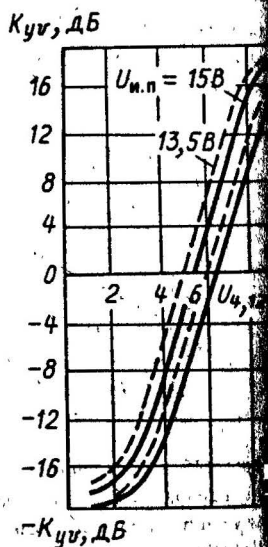


Рис. 2.14 е. Регулировочная характеристика каждого из четырех усилителей на частоте 1 кГц при различном напряжении питания

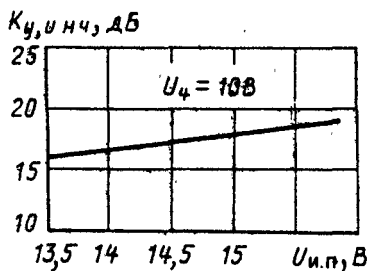


Рис. 2.15 а. Зависимость коэффициента усиления канала НЧ от напряжения питания при напряжении 10 В на выводе 4 для ИМС К174УН10

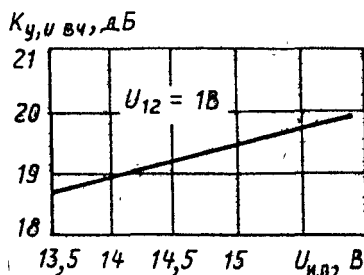


Рис. 2.15 г. Зависимость коэффициента усиления канала ВЧ от напряжения питания при напряжении 1 В на выводе 12 для ИМС К174УН10

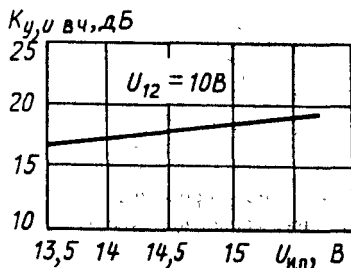


Рис. 2.15 б. Зависимость коэффициента усиления канала ВЧ от напряжения питания при напряжении 10 В на выводе 12 для ИМС К174УН10

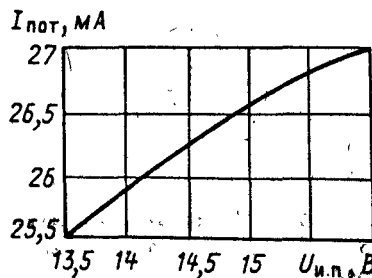


Рис. 2.15 д. Зависимость тока потребления от напряжения питания для ИМС К174УН10

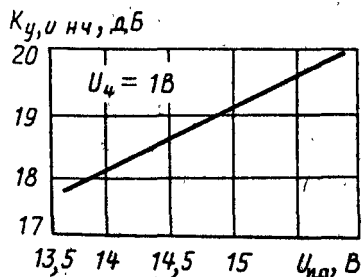


Рис. 2.15 в. Зависимость коэффициента усиления канала НЧ от напряжения питания при напряжении 1 В на выводе 4 для ИМС К174УН10

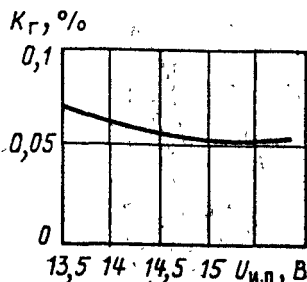


Рис. 2.15 е. Зависимость коэффициента гармоник от напряжения питания для ИМС К174УН10

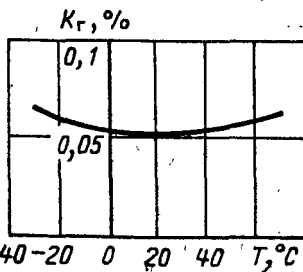


Рис. 2.15 ж. Зависимость коэффициента гармоник от температуры ИМС К174УН10

Электрические параметры ИМС К174УН10А,Б
при $25 \pm 10^\circ\text{C}$ и $U_{\text{н.п.ном}} = 15 \text{ В}$

Ток потребления $I_{\text{пот}}$, мА, не более.....	40
Коэффициент усиления по напряжению $K_{\text{УН}}$, не менее.....	15 дБ
Коэффициент ослабления по напряжению $K_{\text{УО}}$, не менее.....	15 дБ
Коэффициент гармоник $K_{\text{г}}$, %, не более.....	
ИМС К174УН10А.....	0,2
ИМС К174УН10Б.....	0,5
Напряжение шумов на выходе $U_{\text{ш}}$, мВ, не более.....	
ИМС К174УН10А.....	50
ИМС К174УН10Б.....	100
Отношение сигнал/шум $K_{\text{ш}}$, дБ, не менее.....	
ИМС К174УН10А.....	66
ИМС К174УН10Б.....	60
Выходное напряжение $U_{\text{вых}}$, В, при $U_{\text{вх}} = 100 \text{ мВ}$, $f = 1 \text{ кГц}$	
на выводах 3, 5.....	0,35...0,6
на выводах 11, 13.....	0,7...1,2

Предельные эксплуатационные параметры ИМС К174УН10А,Б

Напряжение питания $U_{\text{н.п.}}$, В.....	1,35...16,5
Управляющее напряжение (выводы 4, 12) $U_{4,12}$, В, не более.....	12
Напряжение U , В, на выводах 1, 2, 6, 7, 9, 10, 14, 15, не более.....	1
Сопротивление нагрузки $R_{\text{н}}$, кОм, не менее.....	5

ИМС К174УН11 (рис. 2.16) представляет собой усилитель мощности звуковой частоты. По структурной схеме напоминает ИМС К174УН. Однако вследствие применения дифференциального усилителя в качестве входного каскада УНЧ, двухтактного выходного усилителя и двухполярного напряжения питания ($\pm 15 \text{ В}$) характеристики УНЧ значительно улучшены. Например, обеспечена выходная мощность до 15 Вт на нагрузку сопротивлением 4 Ом, при этом коэффициент гармоник не превышает 1 %.

Входной каскад усилителя построен по дифференциальной схеме на транзисторах $VT7, VT9...VT11$, грузкой каскада являются транзисторы $VT14, VT15$, включенные как генераторы тока. Эмиттерные цепи $VT7, VT9$ питаются от источника тока на транзисторе $VT6$. Выходной сигнал дифференциального каскада поступает на каскад усиления по напряжению на транзисторах $VT23$, в качестве коллекторной нагрузки которого включен $VT16$ генератор тока.

В двухтактном выходном каскаде используются транзисторы $VT26$, образующие одно плечо, $VT30, VT31$ — другое. Начальное смещение выходного каскада и температурная стабилизация тока покоя выходных транзисторов обеспечиваются транзисторами $VT18...VT21$. И

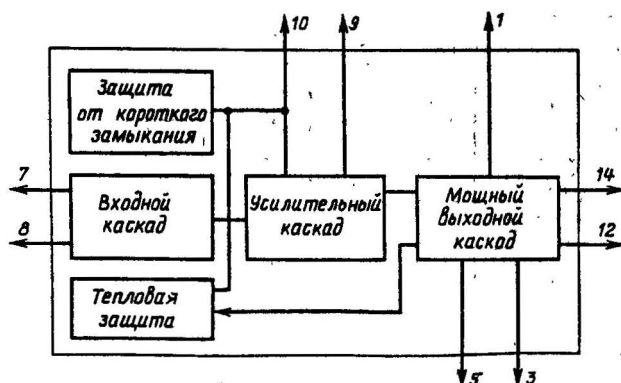


Рис. 2.16 а. Структурная схема ИМС К174УН11

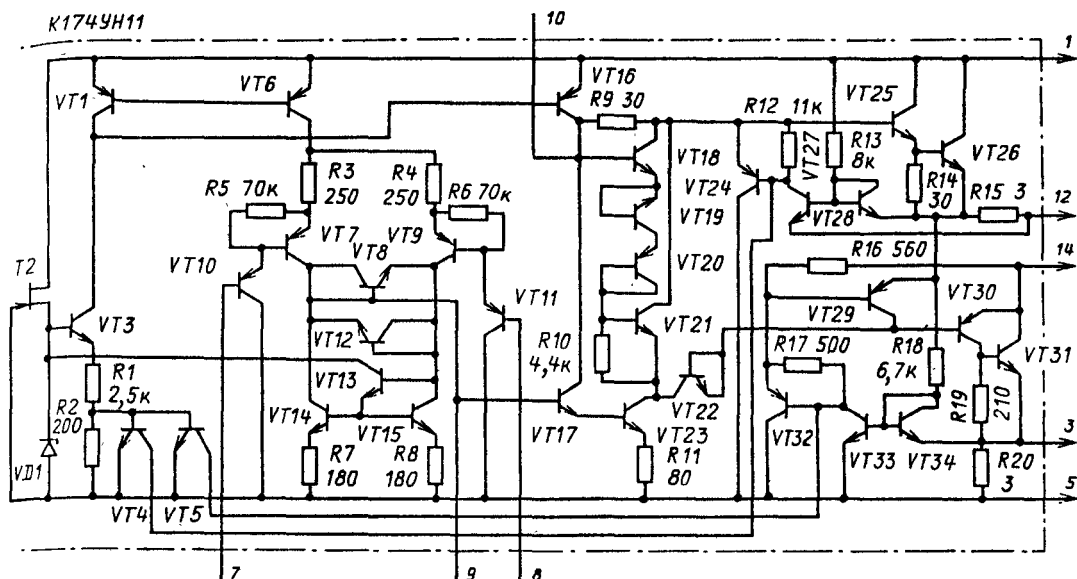


Рис. 2.16 б. Принципиальная схема ИМС К174УН11

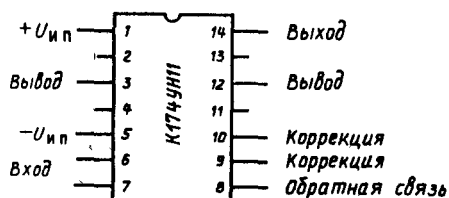


Рис. 2.16 в. Расположение и назначение выводов ИМС К174УН11

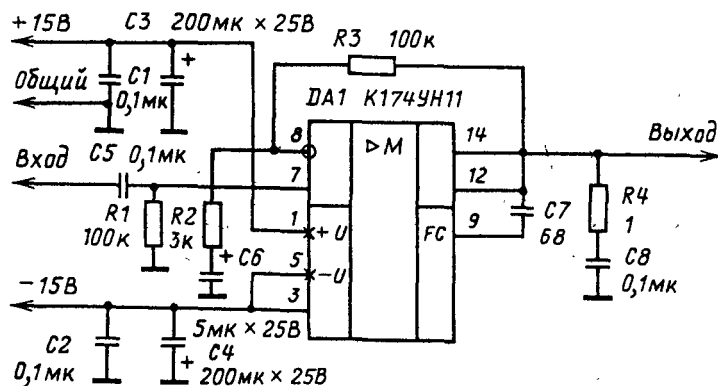


Рис. 2.16 г. Типовая схема включения ИМС К174УН11

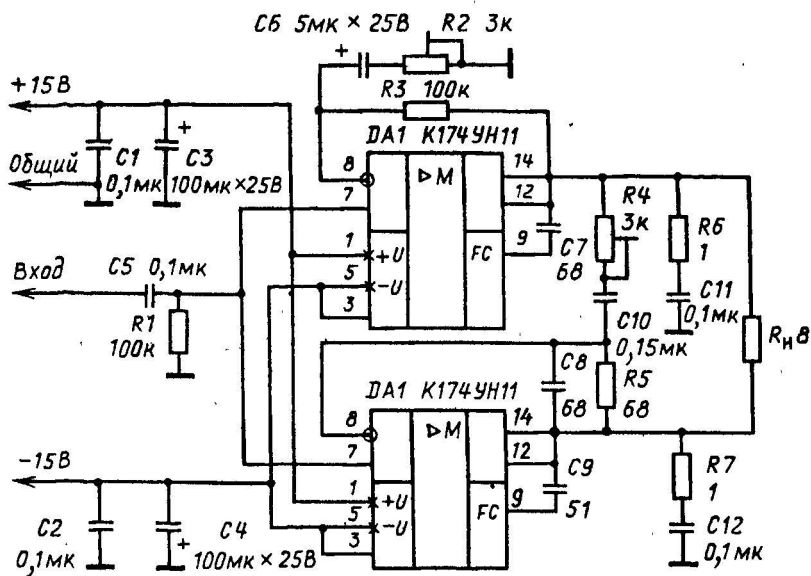


Рис. 2.16 д. Мостовая схема включения ИМС K174УН11

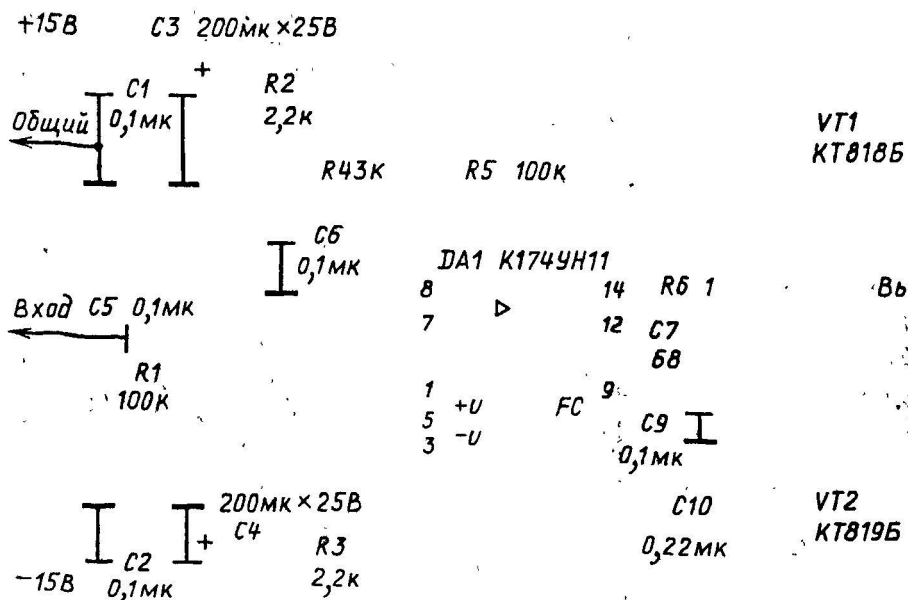


Рис. 2.16 е. Схема включения ИМС K174УН11 с увеличенной выходной мощностью

имеет устройства защиты выходных транзисторов от короткого замыкания в нагрузке и защиты кристалла от термоперегрева, чем обеспечивается ее долговременная и высоконадежная работа.

Хотя ИМС имеет внутренние узлы защиты от электрических и тепловых перегрузок, при построении конкретных УЗЧ на основе ИМС К174УН11 необходимо ограничить ток нагрузки значением 2,4 А. Микросхемы необходимо устанавливать на теплоотводе, если мощность, отдаваемая в нагрузку, превышает 300 мВт.

Эффективная поверхность пластин теплоотвода должна быть не менее 100 см².

Если использовать К174УН11 в качестве предоконечного каскада (см. рис. 2.16 е) и добавить оконечные транзисторы, можно построить усилитель звуковой частоты с выходной мощностью 25...35 Вт. Применяв две ИМС К174УН11, усилитель мощности звуковой частоты можно выполнить по мостовой схеме (см. рис. 2.16 д).

Зависимости основных параметров ИМС от режимов эксплуатации приведены на рис. 2.17.

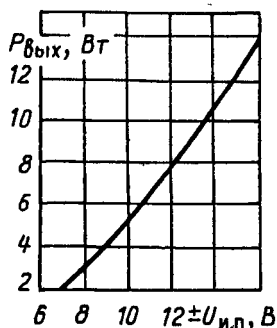


Рис. 2.17 а. Зависимость выходной мощности от напряжения питания при коэффициенте гармоник 1 %, коэффициенте усиления по напряжению 30 дБ, частоте 1 кГц, сопротивлении нагрузки 4 Ом, входном напряжении 0.250 мВ для ИМС К174УН11

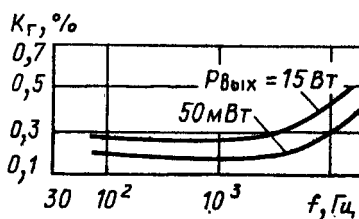


Рис. 2.17 в. Зависимость коэффициента гармоник от частоты при напряжении питания $\pm 17 В$, сопротивлении нагрузки 4 Ом, коэффициенте усиления по напряжению 30 дБ для ИМС К174УН11

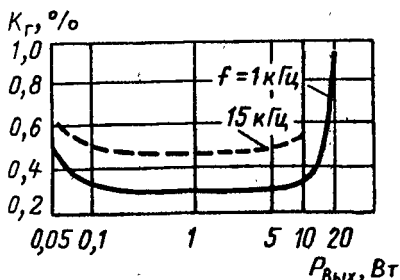


Рис. 2.17 б. Зависимость коэффициента гармоник от выходной мощности при напряжении питания $\pm 17 В$, сопротивлении нагрузки 4 Ом, коэффициенте усиления по напряжению 30 дБ, входном напряжении 0.250 мВ для ИМС К174УН11

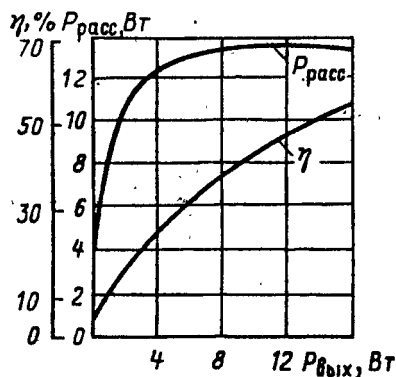


Рис. 2.17 г. Зависимость мощности рассеяния и КПД от выходной мощности при напряжении питания $\pm 17 В$, сопротивлении нагрузки 4 Ом, входном напряжении 0.250 мВ для ИМС К174УН11

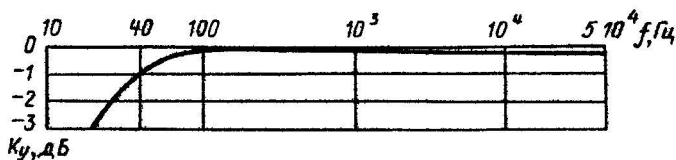


Рис. 2.17 д. Амплитудно-частотная характеристика ИМС К174УН11

Электрические параметры ИМС К174УН11
при $25 \pm 10^\circ\text{C}$ и $U_{\text{н.п.ном}} = \pm 15\text{ В}$

Ток потребления $I_{\text{пот}}$, мА, в режиме покоя, не более.....	100
Выходное напряжение $U_{\text{вых}}$, В.....	3...5
Напряжение смещения $U_{\text{см}}$, мВ, не более.....	100
Напряжение шумов на выходе $U_{\text{ш}}$, мВ, не более.....	1
Входное напряжение $U_{\text{вх}}$, мВ, при $P_{\text{вхх}} = 10\text{ Вт}$, не более.....	250
Коэффициент гармоник $K_{\text{г}}$, %, при $P_{\text{вхх}} = 0,15...10\text{ Вт}$, не более.....	1
Коэффициент подавления пульсаций $K_{\text{п}}$, дБ, при $f = 100\text{ Гц}$	45
Входное сопротивление $R_{\text{вх}}$, кОм.....	95
Тепловое сопротивление на границе кристалл-среда $R_{\text{к-с}}$, $^\circ\text{C}/\text{Вт}$	70
Полоса воспроизводимых частот Δf , кГц.....	0,02...20

Предельные эксплуатационные параметры ИМС К174УН11

Напряжение питания $U_{\text{н.п}}$, В.....	$\pm 5... \pm 18$
Максимальный ток нагрузки $I_{\text{н max}}$, А, при $R_{\text{н}} = 0,1\text{ Ом}$, не более.....	2,4
Максимальное входное напряжение $U_{\text{вх max}}$, В, не более.....	10
Входная мощность $P_{\text{вхх}}$, Вт, при $K_{\text{г}} = 1\%$ и $U_{\text{н.п}} = \pm 17\text{ В}$, не менее.....	15

ИМС К174УН12 (рис. 2.18) представляет собой двухканальный усилитель с электронной регулировкой уровня сигнала и предназначен для регулирования громкости и баланса в стереоаппаратуре.

Основу схемы составляют каскадные усилители, построенные по схеме Джилберта, аналогично использованным в ИМС К174УН10 и приспособ-

ленные для компенсированной регулировки уровней громкости и баланса каналов в стереофонической аппаратуре.

В состав схемы входят два преобразователя напряжения $U1, U2$, два управляемых напряжением регулятора уровня сигнала $A1, A2$ и два управляемых напряжением усилителя $A3, A4$.

С помощью потенциометра R регулируется баланс, а с помощью потенциометра $R18$ — громкость (см. рис. 2.18 в). Переключатель $SA1$ в положении 3 отключает тонкоррекцию, в положении 1 включает стандартную тонкоррекцию, в положении 2 — позволяет подобрать оптимальную тонкоррекцию для конкретного помещения и акустических систем.

Зависимости основных параметров ИМС от режимов эксплуатации приведены на рис. 2.19.

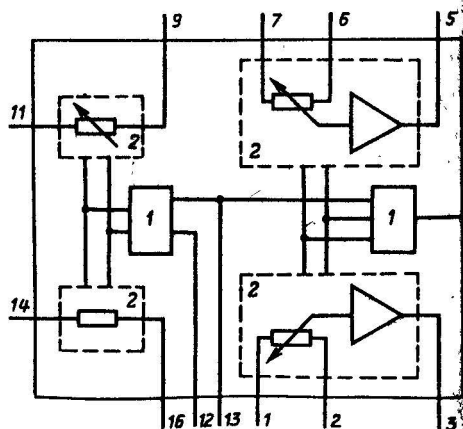


Рис. 2.18 а. Структурная схема ИМС К174УН12

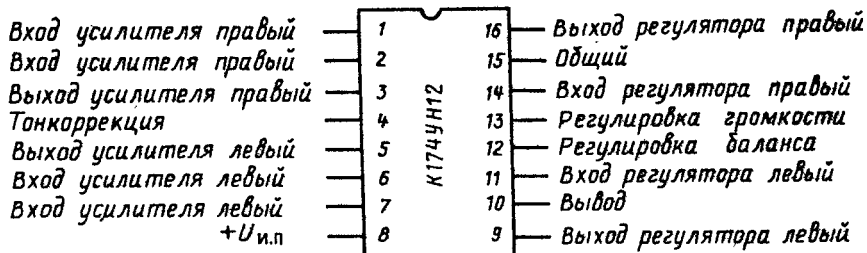


Рис. 2.18 б. Расположение и назначение выводов ИМС К174УН12

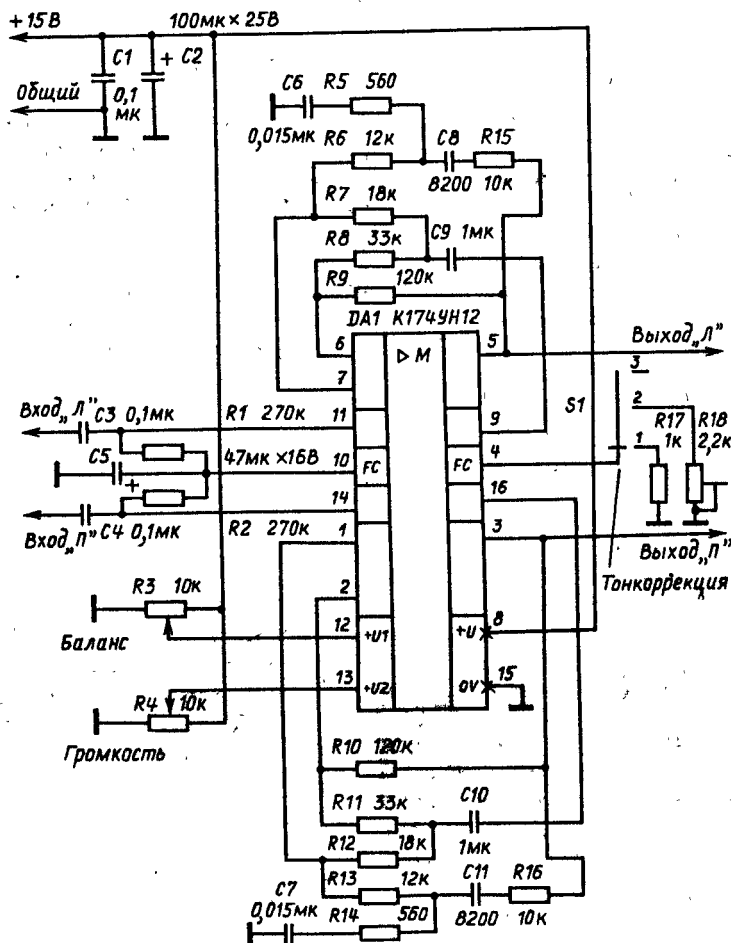


Рис. 2.18 в. Схема включения ИМС К174УН12

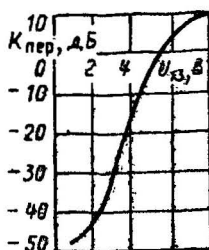


Рис. 2.19 а. Регулировочная характеристика ИМС K174YU12

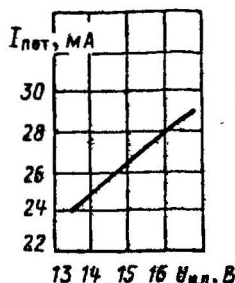


Рис. 2.19 б. Зависимость тока потребления от напряжения питания для ИМС K174YU12

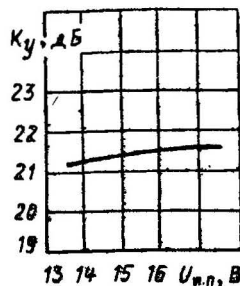


Рис. 2.19 в. Зависимость коэффициента усиления от напряжения питания

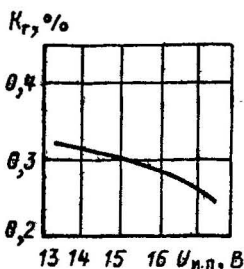


Рис. 2.19 г. Зависимость коэффициента гармоник от напряжения питания для ИМС K174YU12

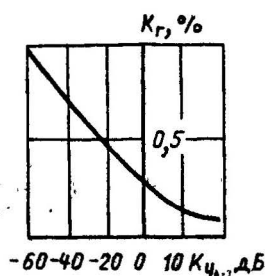


Рис. 2.19 д. Зависимость коэффициента гармоник от коэффициента усиления для ИМС K174YU12

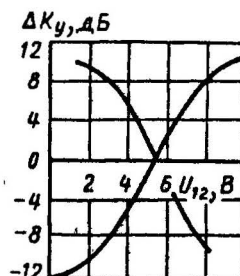


Рис. 2.19 е. Характеристика стереобаланса ИМС K174YU12

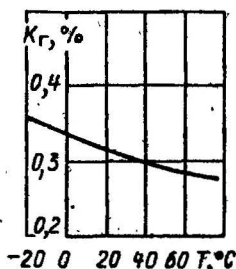


Рис. 2.19 ж. Зависимость коэффициента гармоник от температуры для ИМС K174YU12

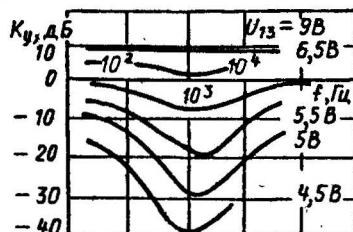


Рис. 2.19 з. Амплитудно-частотная характеристика при различных напряжениях на 13 ИМС K174YU12

Электрические параметры ИМС K174YU12
при $25 \pm 10^\circ\text{C}$ и $U_{н.п.ном} = 15\text{ В}$

Ток потребления $I_{пот}$, мА, не более.....40
Коэффициент усиления по напряжению
 K_y , дБ, не менее.....17
Диапазон регулировки выходных на-

пряжений баланса $K_{пер}$, дБ, не ме-
нее.....
Разность выходных напряжений балан-
са $\Delta U_{бал}$, дБ, не более.....
Отношение сигнал/шум $K_{ш}$, дБ, не
менее.....
Коэффициент гармоник K_g , %, не бо-
лее.....

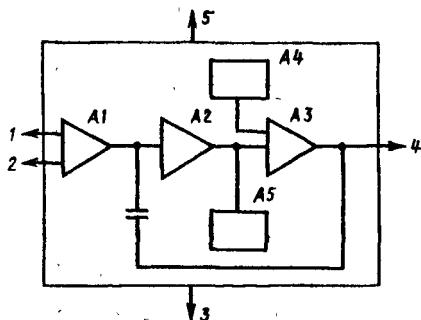


Рис. 2.20 а. Структурная схема ИМС К174УН14

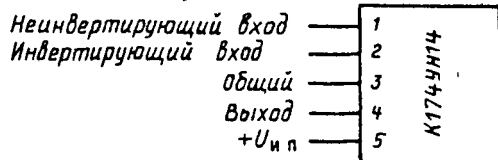


Рис. 2.20 б. Расположение и назначение выводов ИМС К174УН14

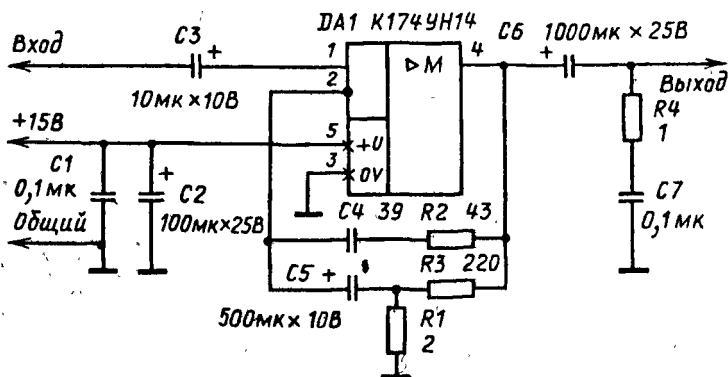


Рис. 2.20 в. Типовая схема включения ИМС К174УН14

Предельные эксплуатационные параметры ИМС К174УН12

Напряжение питания $U_{п.п.}$, В, не более.....	18
Управляющее напряжение (выводы 12, 1) $U_{12, 1}$, В, не более.....	12
Напряжение U , В, на выводах 1, 2, 6, 7, 11 не более.....	1
Сопротивление нагрузки R_n , кОм, не менее.....	5

ИМС К174УН14 (рис. 2.20) представляет собой усилитель мощности звуковой частоты с номинальной выходной мощностью 2,5 Вт при сопротивлении нагрузки 4 Ом.

В состав схемы входит дифференциальный усилитель А1 в качестве входного каскада УНЧ, управляющий каскад А2, двухтактный выходной каскад А3, устройство защиты выхода

от перегрузок А4 и тепловая защита А5.

Допускается эксплуатация при напряжении питания менее 15 В. При этом соответственно снижаются ток, потребляемый микросхемой (см. рис. 2.21 а), и выходная мощность (см. рис. 2.21 б). ИМС К174УН14 без дополнительного теплоотвода применять нельзя.

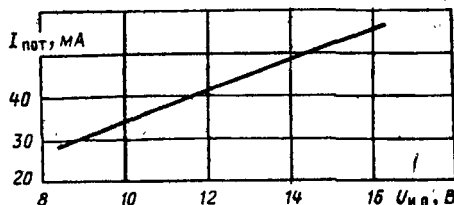


Рис. 2.21 а. Зависимость тока потребления от напряжения питания при температуре окружающей среды $(25 \pm 10)^\circ\text{C}$ для ИМС К174УН14

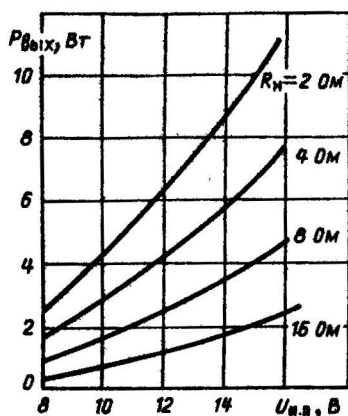


Рис. 2.21 б. Зависимость выходной мощности от напряжения питания при частоте сигнала 1 кГц, коэффициенте гармоник 10 %, температуре окружающей среды $25^{\circ}\text{C} \pm 10^{\circ}\text{C}$ и различном сопротивлении нагрузки для ИМС К174УН14

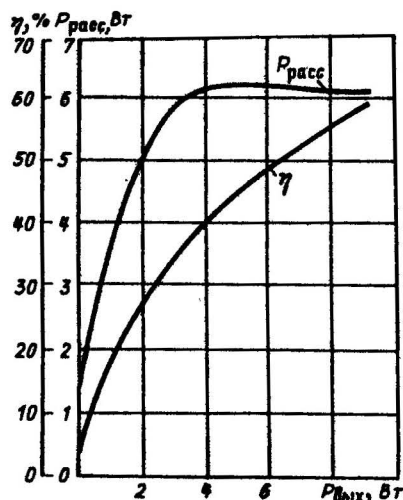


Рис. 2.21 в. Зависимость мощности рассеяния и КПД микросхемы от выходной мощности при напряжении питания 15 В, коэффициенте усиления напряжения 40 дБ, частоте входного сигнала 1 кГц, сопротивлении нагрузки 2 Ом для ИМС К174УН14

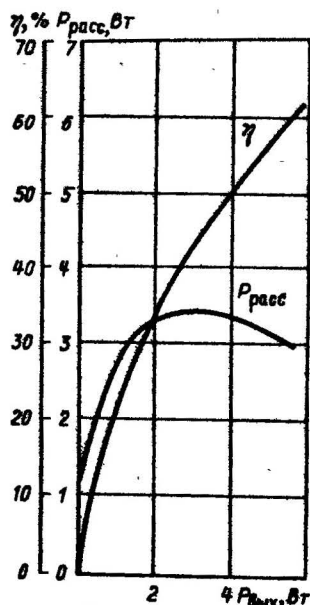


Рис. 2.21 г. Зависимость мощности рассеяния и КПД микросхемы от выходной мощности при напряжении 15 В, коэффициенте усиления напряжения 40 дБ, частоте входного сигнала 1 кГц, сопротивлении нагрузки 4 Ом для ИМС К174УН14

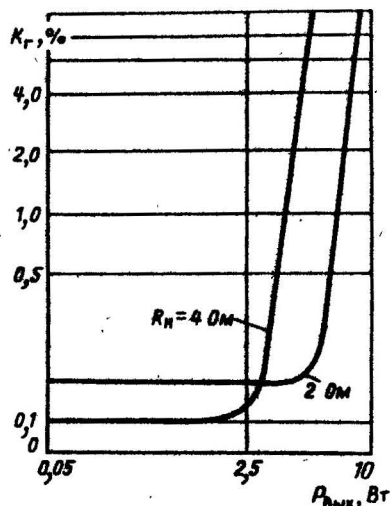


Рис. 2.21 д. Зависимость коэффициента гармоник микросхемы от выходной мощности напряжением питания 15 В, коэффициенте усиления напряжения 40 дБ, частоте входного сигнала 1 кГц для ИМС К174УН14

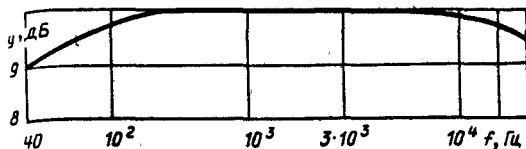


Рис. 2.21 е. Частотная зависимость коэффициента усиления при напряжении питания 15 В, выходной мощности 1 Вт и сопротивлении нагрузки 4 Ом для ИМС K174УН14

Микросхема может работать с сопротивлением нагрузки более 4 Ом с соответствующим уменьшением выходной мощности (см. рис. 2.21 б).

Зависимости основных параметров МС от режимов эксплуатации приведены на рис. 2.21.

Электрические параметры ИМС K174УН14 при $25 \pm 10^\circ\text{C}$ и $U_{\text{н.п.ном}} = 15 \text{ В}$

ок	потребления	$I_{\text{пот}}$	мА, при	
$U_{\text{вх}} = 0$	10...80		
коэффициент усиления по напряжению				
K_{vU} , дБ	39,5...40,5		
коэффициент гармоник K_g , %	при			
$P_{\text{вых}} = 0,05...2,5 \text{ Вт}$	$R_H = 4 \text{ Ом}$			
$f = 1 \text{ кГц}$, не более	0,5		

Предельные эксплуатационные параметры ИМС K174УН14

напряжение питания $U_{\text{н.п.}}$	В, не	
более	16,5
напряжение питания $U_{\text{н.п.}}$	В, при	
$U_{\text{вх}} = 0$, не более	18

Входное напряжение $U_{\text{вх}}$	мВ, не	
более	42
Максимальная выходная мощность		
$P_{\text{вых max}}$, Вт, при $K_g = 10 \%$	5,5
Сопротивление нагрузки R_H	Ом, не	
менее	2

ИМС K174УН15 (рис. 2.22) представляет собой двухканальный усилитель мощности звуковой частоты, предназначенный для использования в переносных стереофонических устройствах. Номинальная выходная мощность – 6 Вт при сопротивлении нагрузки 2 Ом.

В состав схемы входит дифференциальный входной усилитель A1 (A6), предвыходной каскад A2 (A7), двухтактный выходной усилитель мощности A5 (A10), устройство защиты выхода от перегрузок A4 (A8) и тепловая защита A3 (A9).

При питании напряжением менее 15 В снижаются ток, потребляемый ИМС (см. рис. 2.23 а), и выходная мощность (см. рис. 2.23 б).

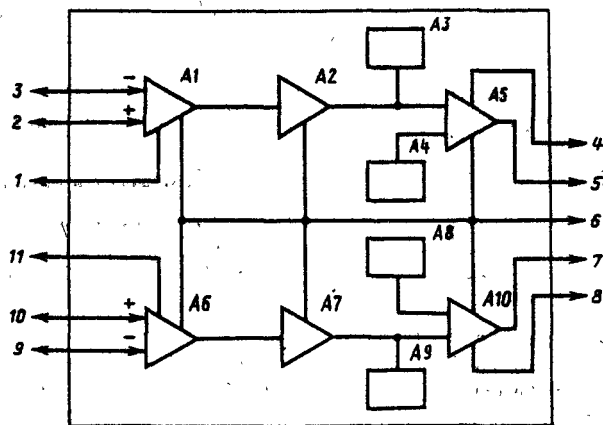


Рис. 2.22 а. Структурная схема ИМС K174УН15

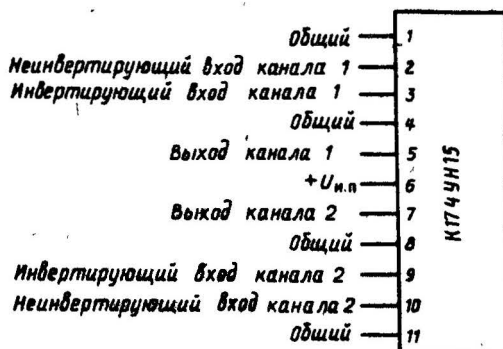


Рис. 2.22 б. Расположение и назначение выводов ИМС К174УН15

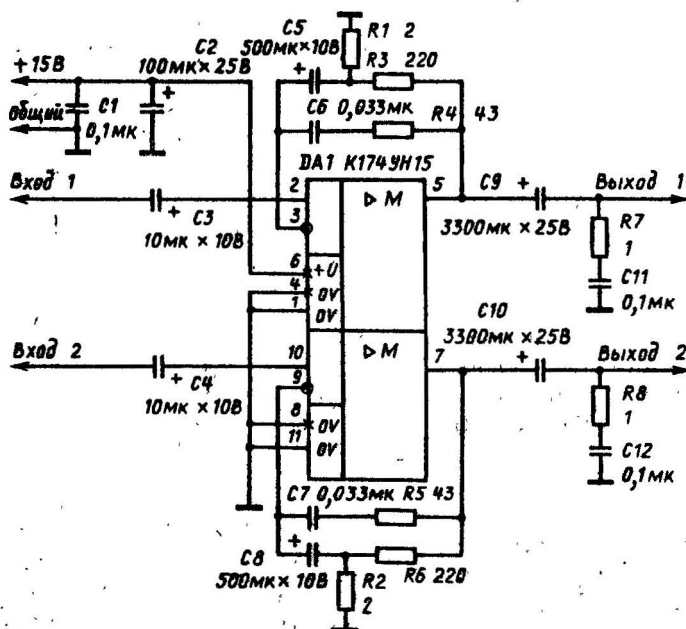


Рис. 2.22 в. Типовая схема включения ИМС К174УН15

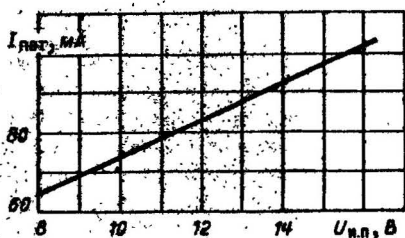


Рис. 2.23 а. Зависимость тока потребления от напряжения питания при температуре окружающей среды $+25^{\circ}\text{C}$ для ИМС К174УН15

Рис. 2.23 б. Зависимость максимальной выходной мощности от напряжения питания при коэффициенте гармоник 10 %, частоте входного сигнала 1 кГц, сопротивлении нагрузки 2, 4 Ом (1, 2 кривая соответственно), температуре окружающей среды 25°C для ИМС К174УН15

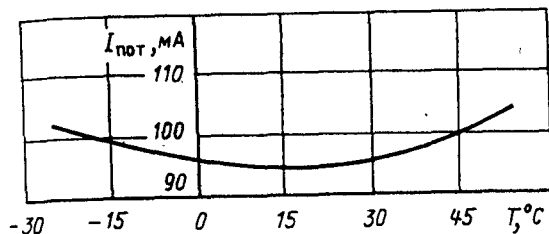


Рис. 2.23 г. Зависимость мощности рассеяния от выходной мощности при напряжении питания 15 В, частоте входного сигнала 1 кГц, сопротивлении нагрузки 2 Ом, температуре окружающей среды 25°C ИМС К174УН15

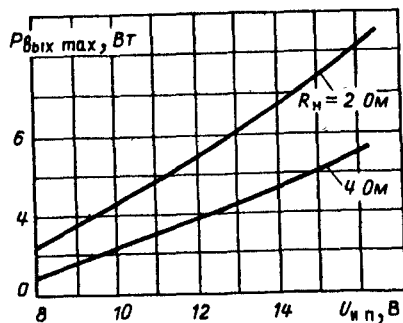


Рис. 2.23 в. Зависимость тока потребления от температуры окружающей среды при напряжении питания 15 В для ИМС К174УН15

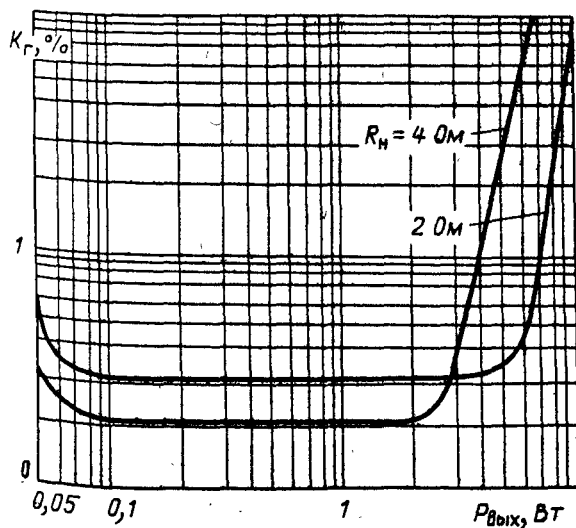
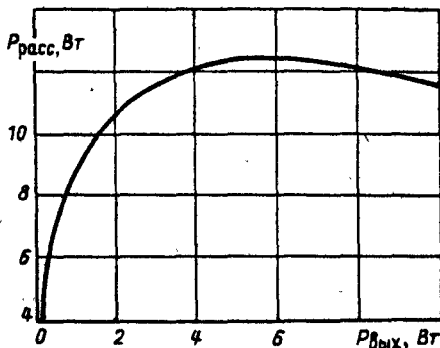


Рис. 2.23 д. Зависимость коэффициента гармоник от выходной мощности при напряжении питания 15 В, частоте входного сигнала 1 кГц, сопротивлении нагрузки $R_{н1}=2$ Ом, $R_{н2}=4$ Ом, температуре окружающей среды 25°C для ИМС К174УН15

Рис. 2.23 е. Зависимость коэффициента переходного затухания от частоты входного сигнала при напряжении питания 15 В, выходной мощности 6 Вт, сопротивлении нагрузки 2 Ом, коэффициенте усиления 40 дБ, температуре окружающей среды 25°C для ИМС К174УН15

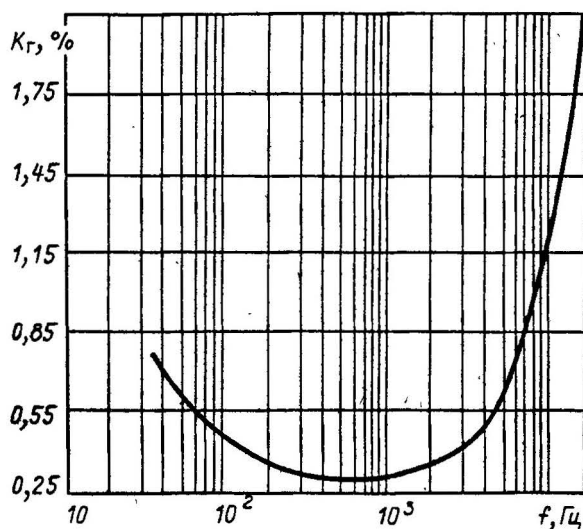
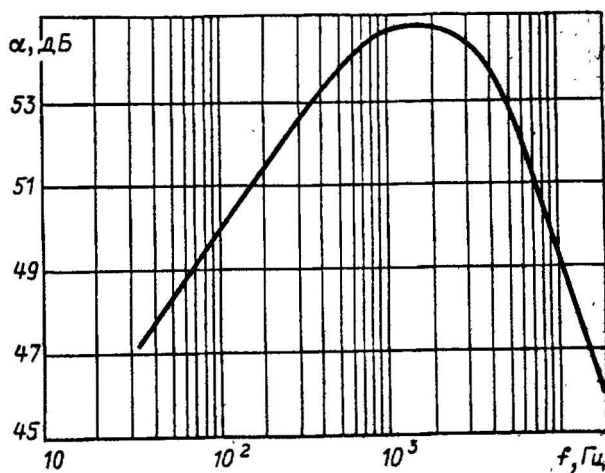
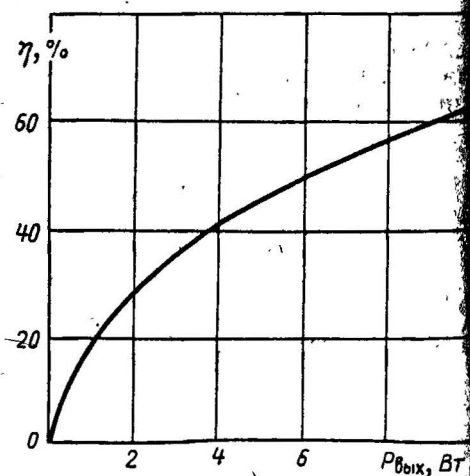


Рис. 2.23 з. Зависимость коэффициента полезного действия от выходной мощности при напряжении питания 15 В, частоте входного сигнала 1 кГц, сопротивлении нагрузки 2 Ом, температуре окружающей среды 25°C для ИМС К174УН15

Рис. 2.23 ж. Зависимость коэффициента гармоник от частоты входного сигнала при напряжении питания 15 В, выходной мощности 2,5 Вт, сопротивлении нагрузки 2 Ом, коэффициенте усиления напряжения 40 дБ, температуре окружающей среды 25°C для ИМС К174УН15



Зависимости основных параметров ИМС от режимов эксплуатации приведены на рис. 2.23.

Электрические параметры ИМС К174УН15
при $25 \pm 10^\circ\text{C}$ $U_{н.п.ном} = 15$ В, $R_n = 2$ Ом и
 $f_{вх} = 1$ кГц

Ток потребления $I_{пот}$, мА, при	
$U_{вх} = 0$	40...120
Коэффициент усиления по напряжению	
$K_{уу}$, дБ.....	40...44
Переходное затухание между каналами	
$K_{п}$, дБ, не менее.....	50
Приведенное ко входу напряжение шумов $U_{ш.вх}$, мкВ, не более.....	5
Полоса воспроизводимых частот Δf , кГц.....	0,03...20
Коэффициент гармоник K_g , %, при	
$P_{вых} = 0,1...6$ Вт, не более.....	1

Предельные эксплуатационные параметры ИМС К174УН15

Напряжение питания $U_{н.п}$, В, не более.....	16,5
Сопротивление нагрузки R_n , Ом, не менее.....	1,6
Напряжение входного сигнала $U_{вх}$, мВ, не более.....	38
Максимальная выходная мощность $P_{вых макс}$, Вт, при $K_g = 10$ %.....	9

Допускается увеличение напряжения входного сигнала при сопротивлении нагрузки более 1,6 Ом, при

этом выходная мощность не должна превышать 9 Вт.

ИМС КФ174УН17 (рис. 2.24) представляет собой двухканальный усилитель мощности звуковой частоты с номинальной выходной мощностью 10 мВт на сопротивлении нагрузки 40 Ом. ИМС предназначена для использования в переносной стереофонической аппаратуре в качестве усилителя головных стереотелефонов.

При напряжении питания ниже 3 В соответственно уменьшается выходная мощность (см. рис. 2.25 а) и незначительно изменяется ток потребления (см. рис. 2.25 б).

ИМС может работать на сопротивлении нагрузки менее 40 Ом, при этом выходная мощность возрастает (см. рис. 2.25 а).

Зависимости основных параметров ИМС от режимов эксплуатации приведены на рис. 2.25.

Электрические параметры ИМС КФ174Н17
при $25 \pm 10^\circ\text{C}$ и $U_{н.п.ном} = 3$ В

Ток потребления $I_{пот}$, мА, не более.....	5
Коэффициент усиления по напряжению $K_{уу}$, дБ, на частоте 1 кГц, не менее.....	20
Коэффициент рассогласования стереоканалов по усилению $K_{расс}$, дБ, не более.....	1
Напряжение шумов $U_{ш}$, мВ, не более.....	0,06
Коэффициент гармоник K_g , %, при $P_{вых} = 10$ мВт, $f = 1$ кГц, не более.....	1

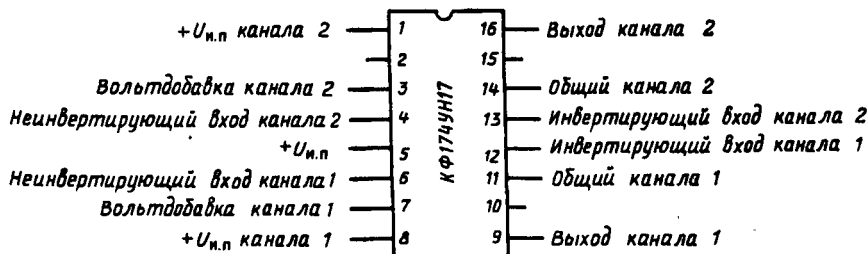


Рис. 2.24 а. Расположение и назначение выводов ИМС КФ174УН17

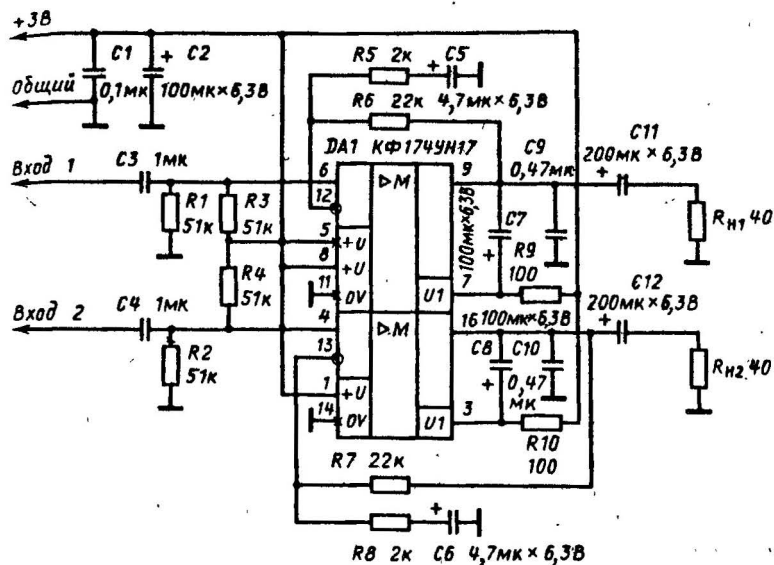


Рис. 2.24 б. Типовая схема включения ИМС КФ174УН17

Рис. 2.25 а. Зависимость максимальной выходной мощности от напряжения питания при коэффициенте гармоник 10 %, сопротивлении нагрузки 16 и 40 Ом для ИМС КФ174УН17

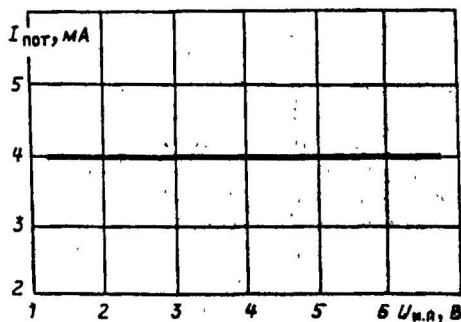
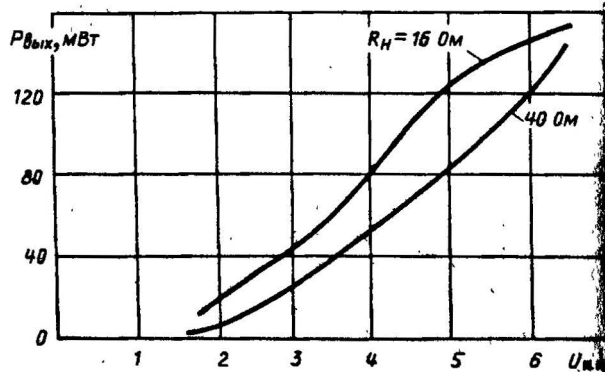


Рис. 2.25 б. Зависимость тока потребления от напряжения питания для ИМС КФ174УН17

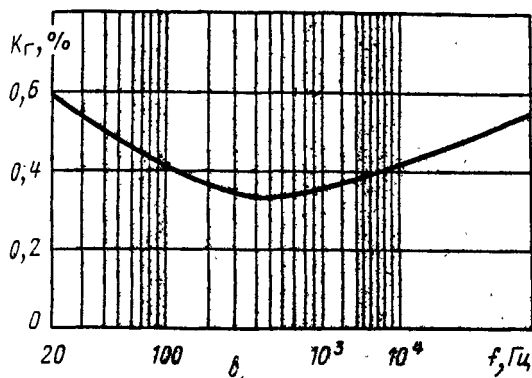
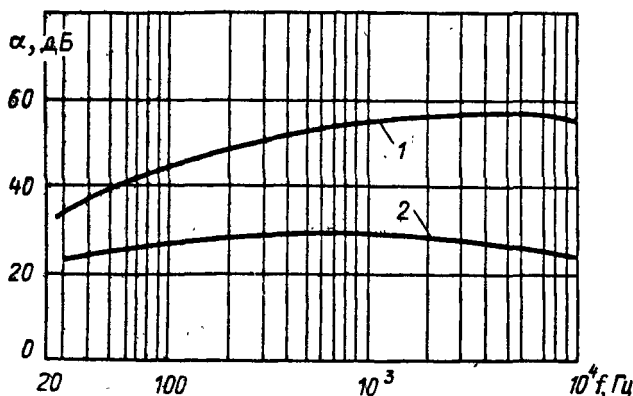


Рис. 2.25 в. Зависимость коэффициента гармоник от частоты при напряжении питания 3 В, выходной мощности 10 мВт и сопротивлении нагрузки 40 Ом для ИМС КФ174УН17

Рис. 2.25 г. Зависимость коэффициента ослабления входных напряжений между каналами от частоты при напряжении питания 3 В, выходной мощности 10 мВт и сопротивлении нагрузки 40 Ом для ИМС КФ174УН17: 1 - $R_T = 0$; 2 - $R_T = \infty$



$\frac{K_{u1}}{K_{u1кГц}}$, дБ

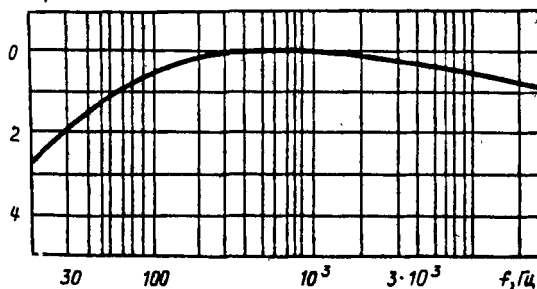


Рис. 2.25 д. Амплитудно-частотная характеристика при частоте 20 Гц...20 кГц, напряжении питания 3 В, выходной мощности 10 мВт для ИМС КФ174УН17

Предельные эксплуатационные параметры ИМС КФ174УН17

Напряжение питания $U_{н.п.}$, В.....	1,6...6,6
Входное напряжение $U_{вх.}$, мВ, не более.....	150
Сопротивление нагрузки R_H , Ом, не менее.....	30

тель мощности звуковой частоты с номинальной выходной мощностью 1 Вт при сопротивлении нагрузки 4 Ом. Предназначена для переносной стереофонической аппаратуры, устанавливается только на теплоотвод.

В состав схемы усилителя входят: предварительный усилитель канала А2(А4), управляющий каскад А3, предмощный управляющий каскад А5(А6), мощный каскад А11(А12),

ИМС К174УН18 (рис. 2.26) представляет собой двухканальный усили-

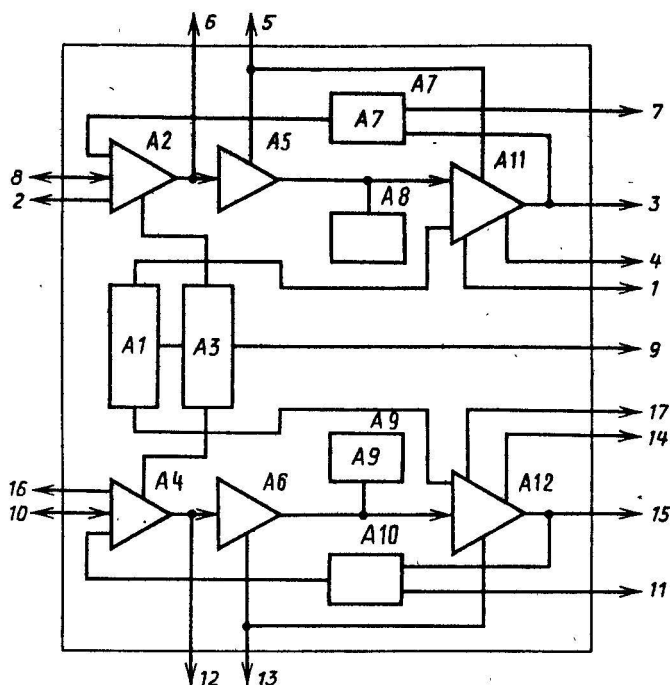


Рис. 2.26 а. Структурная схема ИМС К174УН18

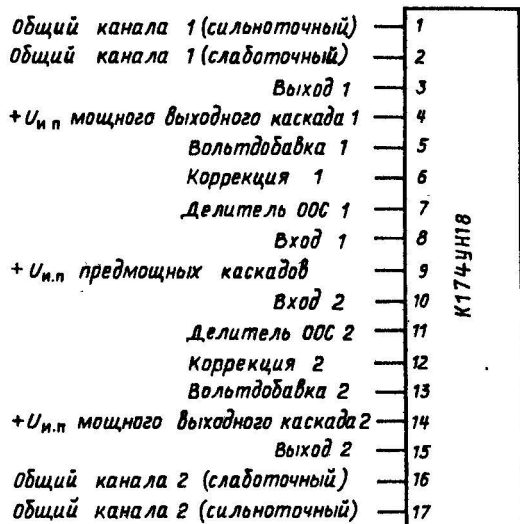


Рис. 2.26 б. Расположение и назначение выводов ИМС К174УН18

цепь отрицательной обратной связи А7(А10), защита выхода от перегрузок А8(А9) и тепловая защита А1.

Допускается эксплуатация при пониженном напряжении питания, при этом соответственно уменьшается выходная мощность (см. рис. 2.27 г).

Электрические параметры ИМС К174УН18
при $25 \pm 10^\circ\text{C}$ и $U_{н.п.ном} = 9\text{ В}$

Коэффициент усиления по напряжению $K_{уУ}$, дБ, на частоте $f=1\text{ кГц}$ 42
Коэффициент гармоник $K_{г}$, %, при $P_{вых}=1\text{ Вт}$ и $R_{н}=4\text{ Ом}$, не более
Коэффициент рассогласования стереоканалов по усилению $K_{расс}$, дБ, при $P_{вых}=1\text{ Вт}$, не более

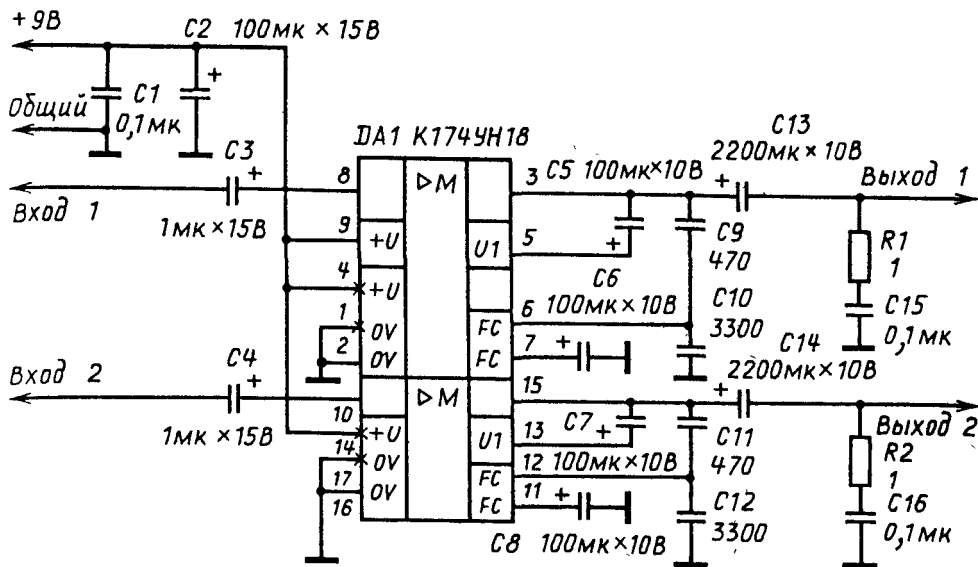


Рис. 2.26 в. Типовая схема включения ИМС K174YU18

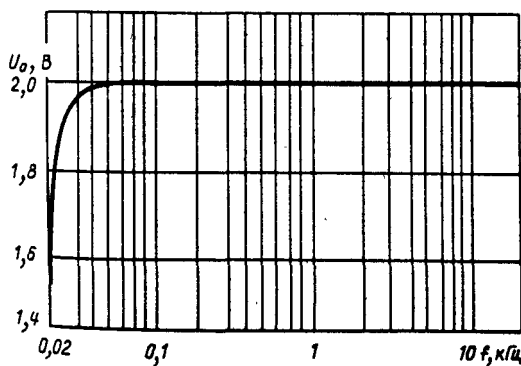


Рис. 2.27 а. Амплитудно-частотная характеристика при напряжении питания 9 В, входном напряжении 10 мВ и сопротивлении нагрузки 40 Ом для ИМС K174YU18

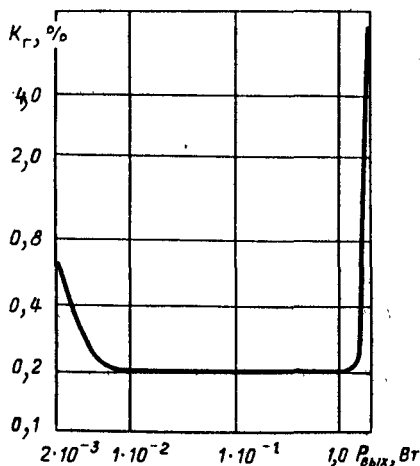


Рис. 2.27 б. Зависимость коэффициента гармоник от выходной мощности при напряжении питания 9 В, входной частоте 1 кГц, сопротивлении нагрузки 4 Ом для ИМС K174YU18

Предельные эксплуатационные параметры ИМС K174YU18

Напряжение питания $U_{и.п.}$, В	5..12
Ток потребления $I_{пот}$, мА, при $U_{вх}=0$, $U_{и.п}=12$ В, не более	25
Максимальная выходная мощность $P_{вых max}$, Вт	2
Коэффициент гармоник K_g , %, при $P_{вых max}=2$ Вт и $R_H=4$ Ом, не более	10

Напряжение шумов $U_{ш}$, мВ, при $U_{и.п}=12$ В, не более	5
Входное напряжение $U_{вх}$, мВ, не более	5
Сопротивление нагрузки R_H , Ом, не менее	3

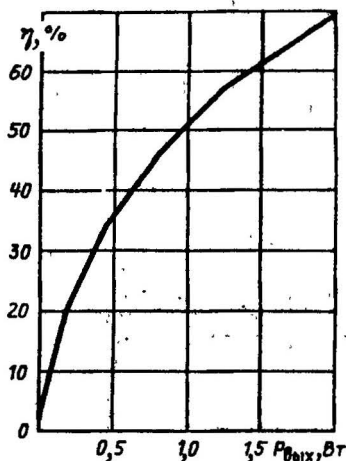


Рис. 2.27 в. Зависимость КПД от выходной мощности при напряжении питания 9 В, входной частоте 1 кГц, сопротивлении нагрузки 4 Ом для ИМС K174УН18

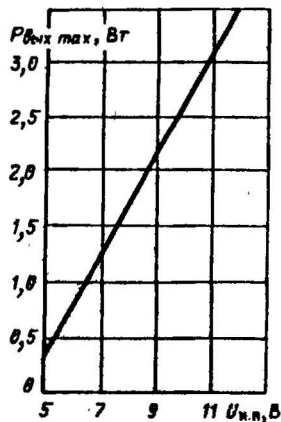


Рис. 2.27 г. Зависимость максимальной выходной мощности от напряжения питания при входной частоте 1 кГц и сопротивлении нагрузки 4 Ом для ИМС K174УН18

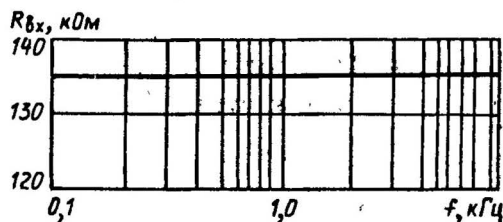


Рис. 2.27 д. Зависимость входного сопротивления от частоты входного сигнала при входном напряжении 10 мВ и напряжении питания 9 В для ИМС K174УН18

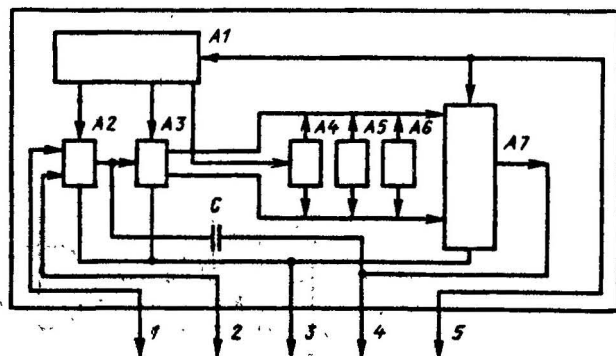


Рис. 2.28 а. Функциональная схема ИМС K174УН19

ИМС K174УН19 (рис. 2.28) представляет собой усилитель мощности звуковой частоты с номинальной выходной мощностью 15 Вт на нагрузке сопротивлением 4 Ом и предназначен для применения в высококачественной звуковоспроизводящей и телевизионной аппаратуре. ИМС содержит источник тока A1, входной дифференциальный каскад A2, фазоинверторный каскад A3, каскад тепловой защиты A4, каскад формиро-

ванной звуковоспроизводящей и телевизионной аппаратуре. ИМС содержит источник тока A1, входной дифференциальный каскад A2, фазоинверторный каскад A3, каскад тепловой защиты A4, каскад формиро-

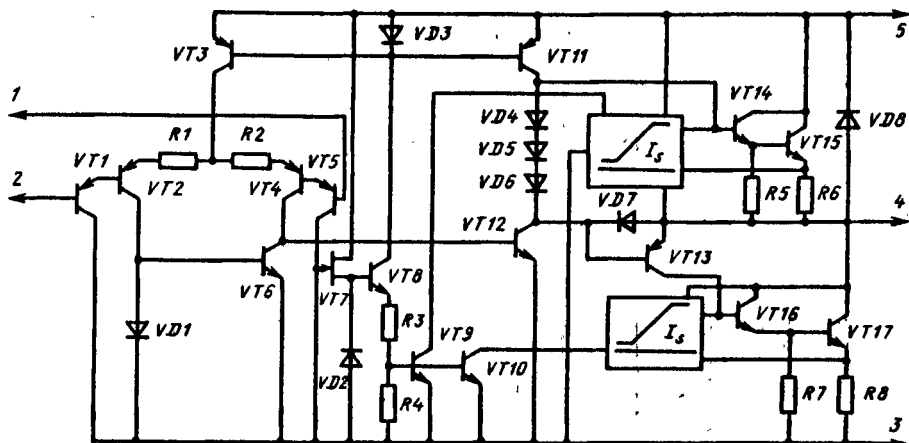


Рис. 2.28 б. Принципиальная схема ИМС К174УН19

Неинвертирующий вход
 Инвертирующий вход
 $-U_{и.п}$
 Выход
 $+U_{и.п}$

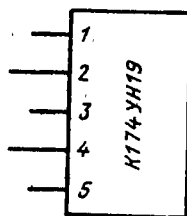


Рис. 2.28 в. Назначение выводов
 ИМС К174УН19

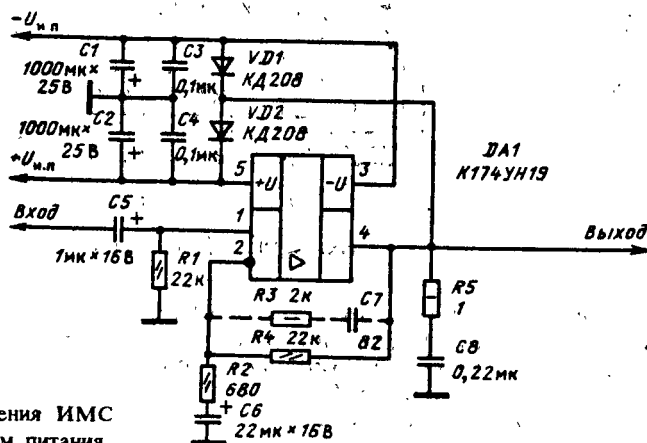


Рис. 2.28 г. Типовая схема включения ИМС К174УН19 с двухполярным источником питания

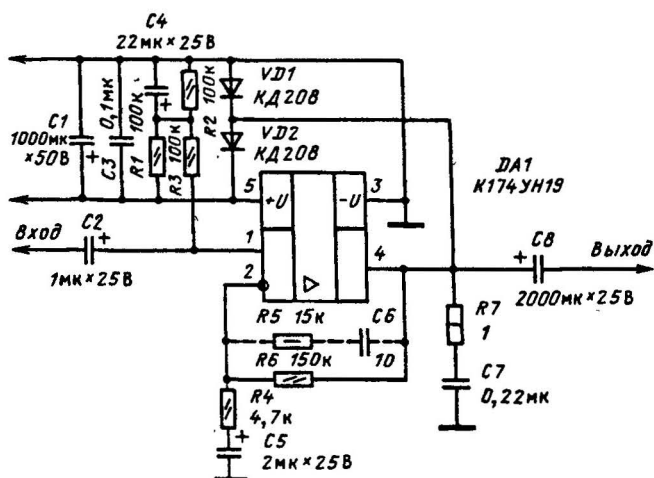


Рис. 2.28 д. Типовая схема включения ИМС К174УН19 с однополярным источником питания

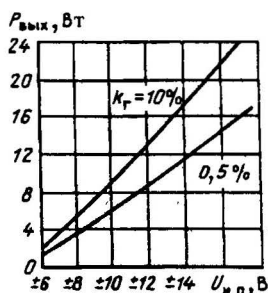


Рис. 2.29 а. Зависимость выходной мощности от напряжения питания при различных значениях коэффициента гармоник для ИМС К174УН19

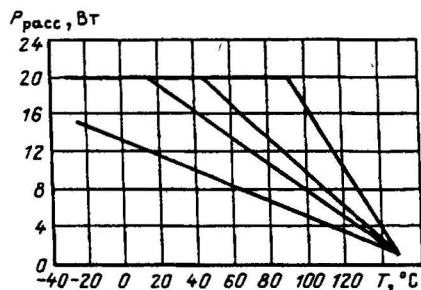


Рис. 2.29 б. Зависимость мощности рассеяния от температуры для ИМС К174УН19

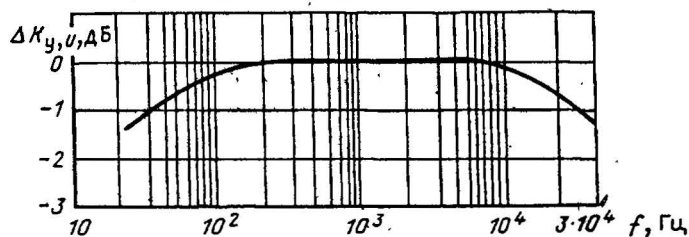


Рис. 2.29 в. Амплитудно-частотная характеристика ИМС К174УН19

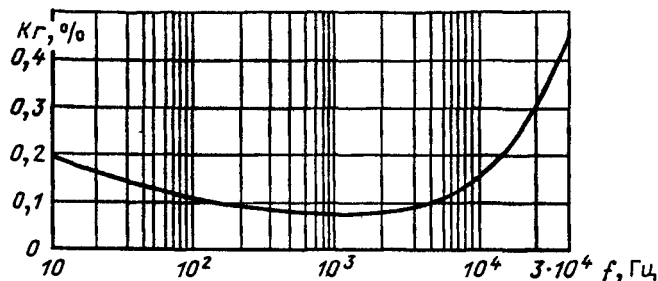


Рис. 2.29 г. Зависимость коэффициента гармоник от частоты для ИМС K174YU19

ния тока покоя A5, схему защиты от короткого замыкания A6, двухтактный выходной каскад A7.

ИМС устойчива при тепловых перегрузках и не выходит из строя при коротких замыканиях в нагрузке.

Зависимости основных параметров ИМС от режимов эксплуатации приведены на рис. 2.29.

Коэффициент подавления пульсаций источника питания $K_{\text{под}}$, дБ, при $K_{YU}=30$ дБ, $f=1$ кГц, $R_H=4$ Ом, не менее.....40

Входное сопротивление $R_{\text{вх}}$, кОм, при:
двухполярном напряжении источника питания ± 15 В.....20
однополярном +30 В.....150

Температура кристалла T_K , °C, при срабатывании схемы тепловой защиты.....+145

Электрические параметры ИМС K174YU19 при $25 \pm 10^\circ\text{C}$ и $U_{\text{н.п.ном}} = \pm 15$ В

Ток потребления $I_{\text{пот}}$, мА, при $R_H=4$ Ом, не более.....	65
Выходная мощность $P_{\text{вых}}$, Вт, при $R_H=4$ Ом, $K_{YU}=30$ дБ, $f=1$ кГц, $K_t=10\%$ не менее.....	15
типовое значение.....	18
Выходное напряжение $U_{\text{вых}}$, В, при $R_H=4$ Ом, $f=1$ кГц, $U_{\text{н.п}} = \pm 16,5$ В, $U_{\text{вх}} = 235$ мВ.....	7..7,9
$U_{\text{н.п}} = \pm 12$ В, $U_{\text{вх}} = 175$ мВ, $T = -10...+70^\circ\text{C}$	5..6
Выходное напряжение покоя $U_{\text{вых}}$, мВ, при $U_{\text{вх}}=0$, $R_H=4$ Ом, не более.....	± 20
Приведенное ко входу напряжение шумов $U_{\text{ш.вх}}$, мкВ, при $R_H=4$ Ом, не более.....	10
Коэффициент усиления напряжения K_{YU} , дБ, при $U_{\text{вх}}=200$ мВ, $f=1$ кГц, $R_H=4$ Ом.....	30
Коэффициент гармоник K_g , %, при $R_H=4$ Ом, $f=1$ кГц, не более: $U_{\text{вых}}=0,632$ В, $P_{\text{вых}}=0,1$ Вт.....	0,5
$U_{\text{вых}}=7,74$ В, $P_{\text{вых}}=15$ Вт.....	10

Предельные эксплуатационные параметры ИМС K174YU19

Напряжение питания $U_{\text{н.п}}$, В: двухполярное.....	$\pm 6... \pm 18$
однополярное.....	12..36
Максимальный выходной ток $I_{\text{вых}}$, А.....	3,5
Максимальное выходное напряжение $U_{\text{вых}}$, В.....	$\pm (U_{\text{н.п}} - 1,5)$
Минимальное сопротивление нагрузки R_H , Ом.....	32

ИМС K174KP1 (рис. 2.30) представляет собой двухканальный коммутатор аналоговых сигналов на четыре положения с электронным управлением, предназначенный для коммутации низкочастотных сигналов в стереофонической аппаратуре.

В состав схемы входят усилители входных сигналов A1...A8, электронные коммутаторы аналоговых сигналов S1, S2, общая схема управления их переключением A13, стабилизатор напряжения A11 и источник напряжения смещения A12.

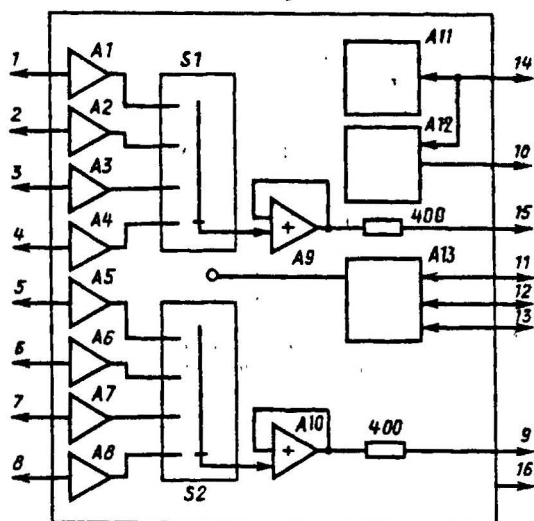


Рис. 2.30 а. Структурная схема ИМС К174КП1

Рис. 2.30 б. Расположение и назначение выводов ИМС К174КП1

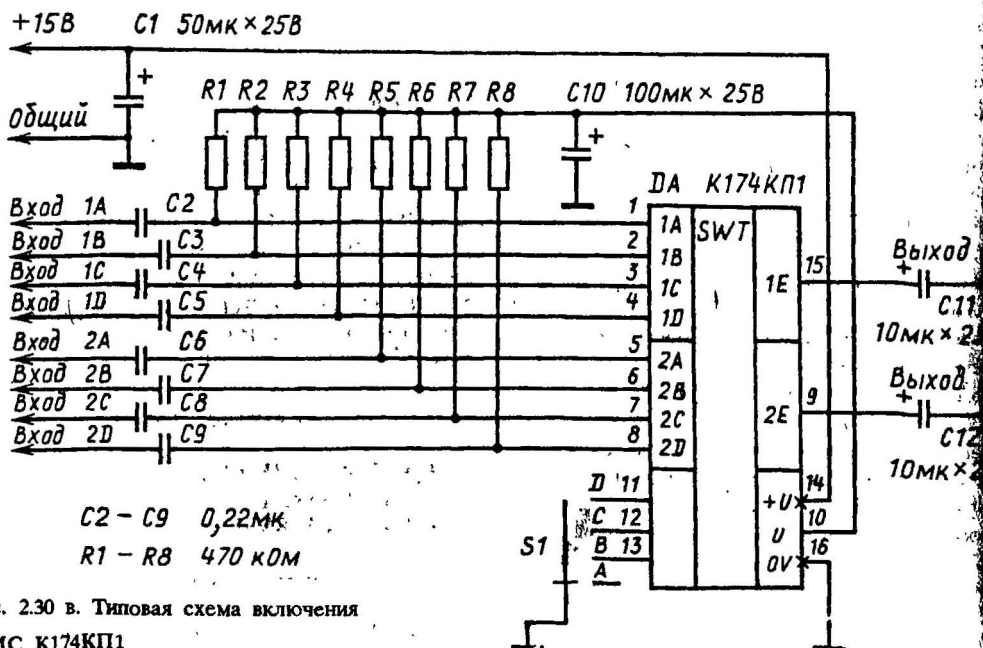
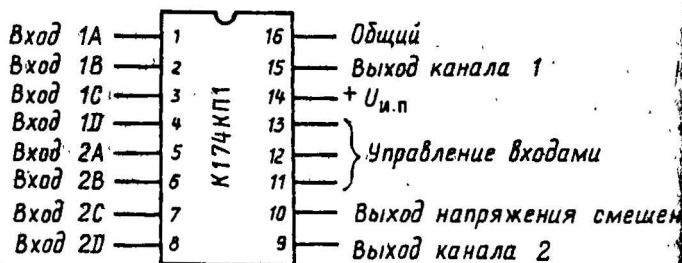


Рис. 2.30 в. Типовая схема включения ИМС К174КП1

Допускается эксплуатация ИМС при снижении напряжения питания до 6 В. При этом соответственно следует уменьшить амплитуду коммутируемых аналоговых сигналов.

Значение переключаемых аналоговых сигналов (двойная амплитуда) не должно превышать напряжения источника питания микросхемы. Для коммутации входных сигналов на управляющие выводы 11, 12, 13 необходимо подать напряжение в соответствии с табл. 2.2.

Переключатель $S1$ коммутирует входы каналов также соответственно данным табл. 2.2.

Электрические параметры ИМС К174КП1 при $25 \pm 10^\circ\text{C}$ и $U_{н.п.ном} = 15 \text{ В}$

Ток потребления $I_{пот}$, мА, не более.....	5
Коэффициент усиления по напряжению $K_{у\text{н}}$, дБ, не менее.....	-2,5
Коэффициент ослабления сигнала со смежного входа одного канала $K_{п.в\kappa'}$, дБ, при $f_{в\kappa} = 1 \text{ кГц}$, $R_{г} = 47 \text{ кОм}$, не менее.....	60
Коэффициент ослабления сигнала со смежного канала $K_{п.к'}$, дБ, при $f_{в\kappa} = 1 \text{ кГц}$, $R_{г} = 47 \text{ кОм}$, не менее.....	70
Коэффициент гармоник $K_{г}$, %, при $U_{в\kappa} = 3 \text{ В}$, $f_{в\kappa} = 1 \text{ кГц}$, не более.....	0,1
Отношение сигнал/шум, дБ, при $U_{в\kappa} = 1 \text{ В}$, $R_{г} = 47 \text{ кОм}$, не менее.....	97
Выходное напряжение шумов $U_{ш.в\kappa'}$, мкВ, при $R_{г} = 47 \text{ кОм}$, не более.....	5
Неравномерность АЧХ, дБ, при $f = 0,02...20 \text{ кГц}$, $U_{н.п} = 6...23 \text{ В}$, не более.....	0,2
Выходное сопротивление $R_{в\kappa'}$, Ом.....	350...450
Коэффициент ослабления сигнала со смежного входа одного канала $K_{п.в\kappa'}$, дБ, при $f_{в\kappa} = 10 \text{ кГц}$, $U_{н.п} = 6...23 \text{ В}$, $R_{г} = 47 \text{ кОм}$, не менее.....	46
Коэффициент ослабления сигнала со смежного канала $K_{п.к'}$, дБ, при $f = 10 \text{ кГц}$, $R_{г} = 47 \text{ кОм}$, не менее.....	66
Коэффициент усиления по напряжению $K_{у\text{н}}$, при $R_{г} \rightarrow 0$, $R_{н} \rightarrow \infty$	1
Коэффициент гармоник $K_{г}$, %, при $f = 0,02...20 \text{ кГц}$, $U_{н.п} = 6...23 \text{ В}$, не более.....	0,05

Состояние управляющих выводов			Подключенные входы	Коммутируемые выходы
11	12	13		
1	1	1	1A; 2A	1 - 15; 5 - 9
1	1	0	1B; 2B	2 - 15; 6 - 9
1	0	X	1C; 2C	3 - 15; 7 - 9
0	X	X	1; 2	4 - 15; 8 - 9

Примечание: Состоянию "0" соответствует напряжение 0...2 В,
 "1" - 3,3 В... $U_{н.п}$
 "X" - 0 В... $U_{н.п}$

Предельные эксплуатационные параметры ИМС К174КП1

Напряжение питания $U_{н.п}$, В.....	6...23
Предельное постоянное входное напряжение, $U_{вх.пред}$ на выводах 1...8.....	-0,5... $U_{н.п}$
Управляющее напряжение $U_{упр}$, В, на выводах 11, 12, 13.....	0...23
Сопrotивление нагрузки $R_{н}$, кОм (выводы 9, 15), не менее.....	4,7
Емкость нагрузки $C_{н}$, пФ, (выводы 9, 15), не более.....	100

2.2. СЕРИИ К538, КР538

Аналоговые интегральные микросхемы серий К538, КР538 предназначены для усиления малых электрических сигналов от генераторов с низким сопротивлением в радиоизмерительной, передающей, приемной и звукоусилительной аппаратуре. Микросхемы выполнены на биполярных транзисторах с изоляцией диэлектриком.

Состав серии

ИМС К538УН1А,Б } мало-
 ИМС К538УН3 } шумящий
 ИМС КР538УН3А,Б } усилитель

ИМС серии К538 выпускаются в круглых металлических корпусах 301.8 - 2 с перпендикулярным распо-

Таблица 2.

Микросхема	Напряжение питания, В	Рабочий диапазон температур, °С	Гарантированная наработка на отказ, ч	Гарантированный срок хранения, лет	Количество элементов в корпусе	Номер ч корпуса
K5381A,Б	+15,0±1,5	-40...+85	15 000	10	31	14
K538УНЗ	+ 6,0±0,6	-60...+85	15 000	10	24	14
KP538УНЗА,Б	+ 6,0±0,6	-10...+70	15 000	10	24	22

ложением выводов, серии KP538 – в прямоугольных полимерных корпусах 2101.8 – 1 с перпендикулярным расположением выводов.

Номера чертежей корпусов и основные эксплуатационные характеристики микросхем приведены в табл. 2.3.

ИМС K538УН1А, K538УН1Б (рис. 2.31) являются предварительными усилителями с улучшенными характеристиками. В зависимости от значения шума K538УН1 подразделяются на группы А и Б. Усилитель построен по двухкаскадной схеме, что позволило получить коэффициент усиления не менее 10^5 .

Входной каскад построен по дифференциальной схеме на транзисторах VT2, VT4. Питание на него поступает через эмиттерный повторитель VT1. Эмиттерный повторитель на составном транзисторе VT8VT9 служит для согласования входного и выходного каскадов. Ток этого эмиттерного повторителя определяется VT7. Транзистор VT12, активной нагрузкой которого являются VT10, VT11, инвертирует сигналы, поступающие с VT9.

Выходной каскад на транзисторах VT13, VT15 и VT16 обладает хорошей линейностью и позволяет получить коэффициент гармоник на превышающий 0,1 %. Транзистор VT14 служит для защиты выходного каскада от перегрузки по току. С помощью стабилизатора напряжения, определяющего всю работу ИМС по постоянному току и построенного на обратном смещенных диодах VD2, VD3, улучшается температурная ста-

бильность и уменьшается влияние напряжения питания. Кроме того эти диоды понижают напряжение коллектор-эмиттер транзисторов входного каскада. Корректирующий конденсатор C1 улучшает АЧХ ИМС. Частота единичного усиления И достигает 15 МГц, а приведенное входное сопротивление равно 1,2 кОм. Коэффициент усиления 500.

Для нормальной работы усилителя предусмотрена внешняя обратная связь с выхода ИМС на эмиттер входного каскада (вывод 5). Для повышения устойчивости работы усилителя, емкость внутреннего конденсатора обратной связи C1 можно увеличивать, подключая параллельно

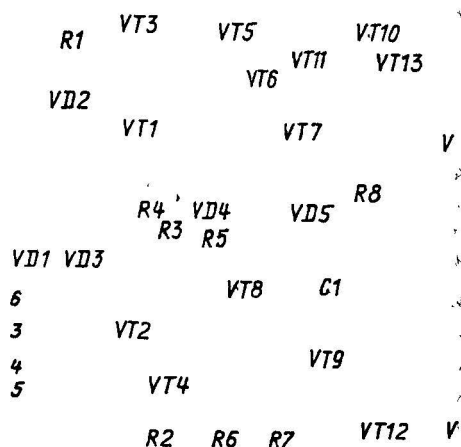


Рис. 2.31 а. Принципиальная схема ИМС K538УН1А,Б

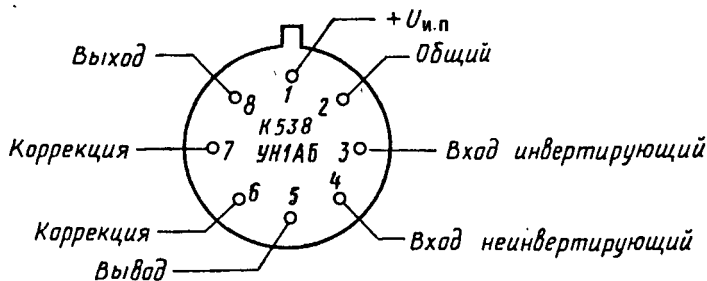


Рис. 2.31 б. Расположение и назначение выводов ИМС К538УН1А,Б

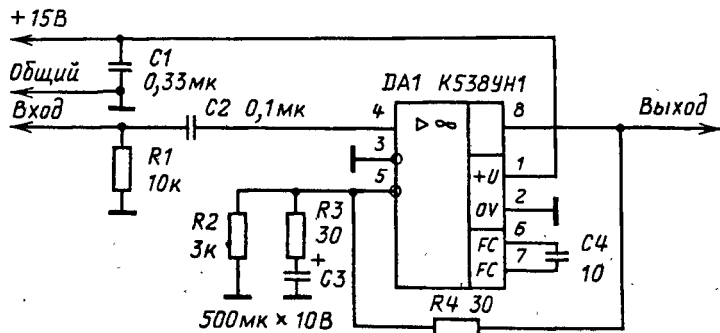


Рис. 2.31 в. Типовая схема включения ИМС К538УН1А,Б

внутренней ёмкости внешний конденсатор $C3$ (выводы 6 и 7).

Предельные эксплуатационные параметры ИМС К538УН1А,Б

Электрические параметры ИМС К538УН1А,Б при $25 \pm 10^\circ\text{C}$ и $U_{\text{н.п.ном}} = 15\text{ В}$

Максимальное напряжение питания $U_{\text{н.п. max}}$, В.....	18
Максимальный ток нагрузки $I_{\text{н max}}$, мА.....	1
Максимальная амплитуда выходного напряжения $U_{\text{вых max}}$, В, при $R_{\text{н}} = 10\text{ кОм}$, $f = 20\text{ Гц}$	$(U_{\text{н.п}} - 3)$
Максимальное входное напряжение $U_{\text{вх max}}$, В.....	0,3

Ток потребления $I_{\text{пот}}$, мА, не более.....8

Коэффициент усиления по напряжению

K_{yU} , при $R_{\text{н}} = 10\text{ кОм}$, $U_{\text{вых пост}} = 7\text{ В}$,

$U_{\text{вых А}} = 2\text{ В}$, $f = 20\text{ Гц}$, не

менее..... $10 \cdot 10^4$

Напряжение шумов $U_{\text{ш.шх}}$, мкВ, приведенное ко входу при $K_{yU} = 500$,

$R_{\text{г}} = 500\text{ Ом}$, $\Delta f = 0,1 \dots 10\text{ кГц}$,

$R_{\text{н}} = 10\text{ кОм}$, не более

К538УН1А.....1,2

К538УН1Б.....0,85

Частота единичного усиления $f_{\text{т}}$, МГц,

при $R_{\text{н}} = 10\text{ кОм}$, $U_{\text{вых пост}} = 5\text{ В}$, не

менее

К538УН1А.....15

К538УН1Б.....10

Коэффициент гармоник $K_{\text{г}}$, %, при

$U_{\text{вых А}} = 2\text{ В}$, $f = 1\text{ кГц}$, $K_{yU} = 50$, не

более.....0,1

ИМС К538УН3, КР538УН3А, КР538УН3Б (рис. 2.32) представляю собой малошумящий усилитель, рассчитанный на работу с низкоомным (сотни ом – единицы килоом) источниками сигнала. ИМС К538УН отличается от ИМС КР538УН3 типом корпуса и нумерацией выводов (для КР538УН3 на рис. 2.32 а они указаны в скобках).

Усилитель состоит из входного и предоконечного каскадов усилителя

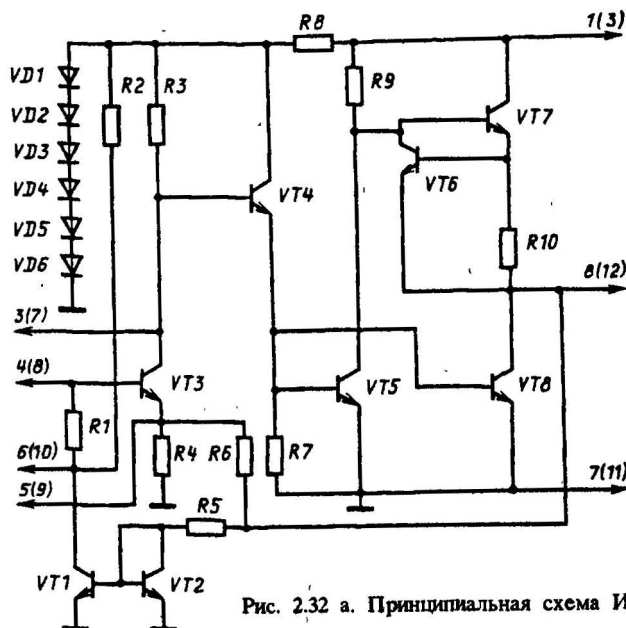


Рис. 2.32 а. Принципиальная схема ИМС К538УНЗ

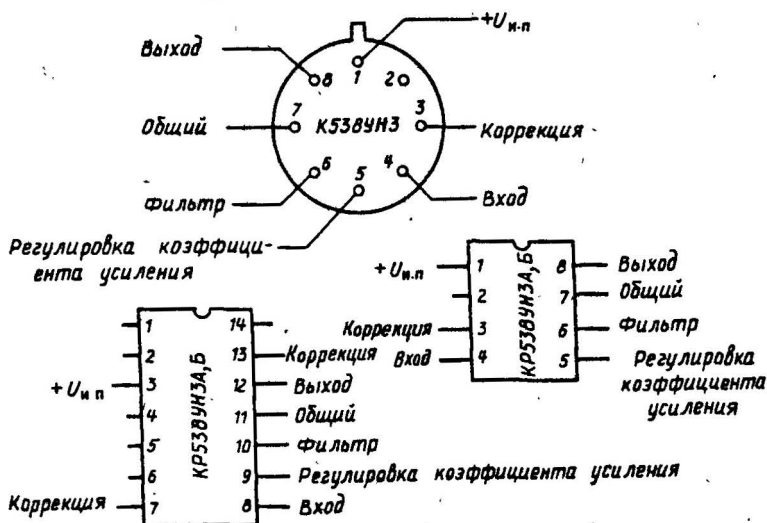


Рис. 2.32 б. Расположение и назначение выводов ИМС К538УНЗ, КР538УНЗА,Б

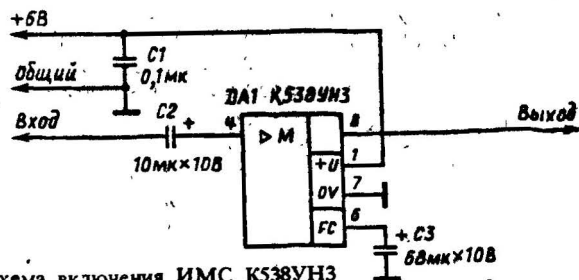


Рис. 2.32 в. Типовая схема включения ИМС К538УНЗ

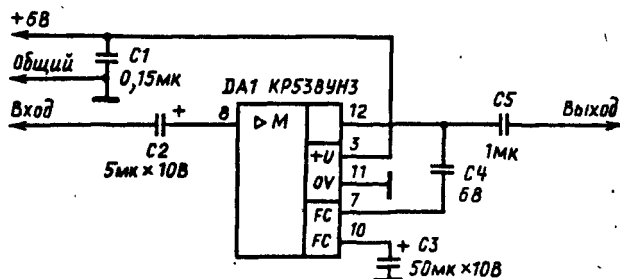


Рис. 2.32 г. Типовая схема включения ИМС KP538YU3

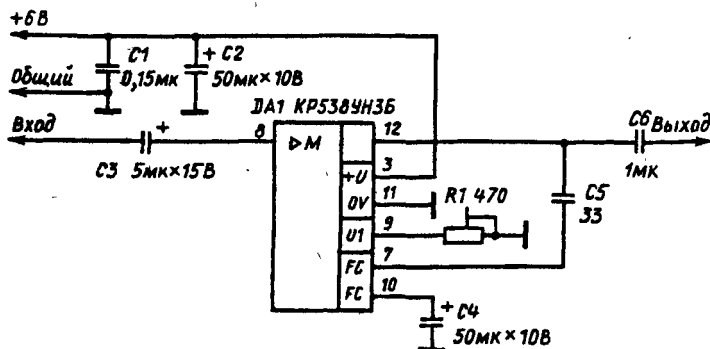


Рис. 2.32 д. Вариант включения ИМС KP538YU3

напряжения, выходного каскада усиления тока и стабилизатора напряжения питания усилителя.

Входной каскад выполнен на транзисторе VT_3 , включенном по схеме с общим эмиттером. Следующий каскад — эмиттерный повторитель на транзисторе VT_4 — позволяет сохранить высокое усиление входного каскада, так как не шунтирует его нагрузку. Далее, с нагрузки эмиттерного повторителя резистора R_7 , сигнал поступает на транзистор VT_5 , включенный по схеме с общим эмиттером. Резистор R_9 является его коллекторной нагрузкой. К ней подключен выходной каскад — эмиттерный повторитель на транзисторе VT_7 с активной нагрузкой на VT_8 . Транзистор VT_6 и резистор R_{10} служат для защиты усилителя от коротких замыканий.

Для питания входного каскада усилителя стабилизированным напряже-

нием используется внутренний стабилизатор (на диодах $VD1...VD_6$ и транзисторах VT_1, VT_2), питающий базовую и коллекторную цепь транзистора VT_3 . Коэффициент усиления (100...300 при полосе пропускания до 3 МГц) стабилизирован цепью внутренней ООС. При необходимости цепь ООС можно отключить, соединив выводы 5 (9) и 7 (11). В этом случае коэффициент усиления возрастает примерно до 3000, а полоса пропускания сузится до 200 кГц. Приведенное ко входу нормированное напряжение шума при сопротивлении источника сигнала 500 Ом — 2 нВ/Гц.

Линейный усилитель (см. рис. 2.32 д) может быть использован в качестве предварительного в различных радиотехнических устройствах. Диапазон его рабочих частот 0,01...100 кГц при неравномерности АЧХ на краях диапазона не более ± 1 дБ. Относи-

тельный уровень шумов превышает 78 дБ. Максимальное неискаженное выходное напряжение - не менее 1,6 В. Коэффициент гармоник при амплитуде выходного сигнала 1 В не превышает 0,2 %. Коэффициент усиления по напряжению можно регулировать в пределах 150...500 (при уменьшении сопротивления подстроечного резистора R_1 он возрастает, а при увеличении снижается). Емкость конденсатора C_5 выбирают в зависимости от требуемой полосы рабочих частот усилителя. Конденсаторы C_2 , C_3 устраняют паразитную связь по цепи питания и являются переходными.

Если объединить два таких устройства, получится стереофонический предварительный усилитель ЗЧ. Чтобы регулировать стереобаланс, между выводами 9 микросхем включают переменный резистор сопротивлением 470 Ом, движок которого соединяют с общим проводом.

Электрические параметры ИМС К538УНЗ, КР538УНЗА,Б при $25 \pm 10^\circ\text{C}$ и $U_{\text{и.п.ном}} = 6 \text{ В}$

Ток потребления $I_{\text{пот}}$, мА, не более.....5

Коэффициент усиления по напряжению

K_{yU} , при $R_{\text{н}} = 10 \text{ кОм}$, $f = 1 \text{ кГц}$,

$U_{\text{вх}} = 1 \text{ мВ}$, не менее

ИМС К538УНЗ.....50 000

ИМС КР538УНЗА.....200...300

ИМС КР538УНЗБ.....100...300

Напряжение шумов, приведенное ко

входу $U_{\text{ш.вх}}$, мВ/Гц, при $R_{\text{с}} = 500 \text{ Ом}$,

$R_{\text{н}} = 10 \text{ кОм}$, $U_{\text{вх}} = 1 \text{ мВ}$, не более.....5

Предельные эксплуатационные параметры

ИМС К538УНЗ, КР538УНЗА,Б

Напряжение питания $U_{\text{и.п}}$, В.....5...7,5

Входное напряжение $U_{\text{вх}}$, В, не

более.....0,2

Ток нагрузки $I_{\text{н}}$, мА, не более.....2

Максимальное выходное напряжение

$U_{\text{вых макс}}$, В, при $U_{\text{вх}} = 1 \text{ мВ}$,

$R_{\text{н}} = 2 \text{ кОм}$, $K_{\text{г}} = 10 \%$, не менее

ИМС К538УНЗ.....0,5

ИМС КР538УНЗА.....0,5

ИМС КР538УНЗБ.....0,3

2.3. СЕРИЯ К548

Серия К548 представляет собой комплект аналоговых ИМС, предназначенных для высококачественной низкочастотной студийной и бытовой радиоэлектронной аппаратуры, а также для усиления малых электрических сигналов от генераторов с низким выходным сопротивлением.

Микросхемы выполнены на биполярных транзисторах с изоляцией диэлектриком.

Состав серии

К548УН1А,Б,В - двухканальный малошумящий усилитель

К548УНЗ - малошумящий усилитель для слуховых аппаратов

ИМС К548УН1 выполнены в прямоугольном полимерном корпусе 201.14 - 1 с перпендикулярным расположением выводов, ИМС К548УНЗ - в прямоугольном полимерном корпусе 4153.12 - 1 с параллельным расположением выводов.

Номера чертежей корпусов и основные эксплуатационные характеристики микросхем рассматриваемых типов приведены в табл. 2.4.

ИМС К548УН1А, К548УН1Б, К548УН1В (рис. 2.33) представляют собой двухканальный малошумящий усилитель, предназначенный для усиления низкочастотных сигналов. Работают от однополярного источника питания напряжением от 9 до 30 В, имеют внутреннюю компенсацию защиты от короткого замыкания, зависимость от значения шума $K548УН1$ подразделяются на группы А, Б, В.

Оба предусилителя в схеме абсолютно идентичны, имеют внутреннюю прецизионный стабилизатор в цепи питания, уменьшающий влияние на стабильности источника питания 120 дБ и обеспечивающий разделение между каналами в 60 дБ. По сравнению с операционным усилителем ИМС, выполняющая функции пре-

Микросхема	Номинальное напряжение питания, В	Рабочий диапазон температур, °С	Гарантированная наработка на отказ, ч	Гарантированный срок хранения, лет	Количество элементов в корпусе	Номер чертежа корпуса
548УН1А	12	-45...+70	25 000	12	62	3
Р548УН3	1.3	-10...+70	15 000	10	40	33

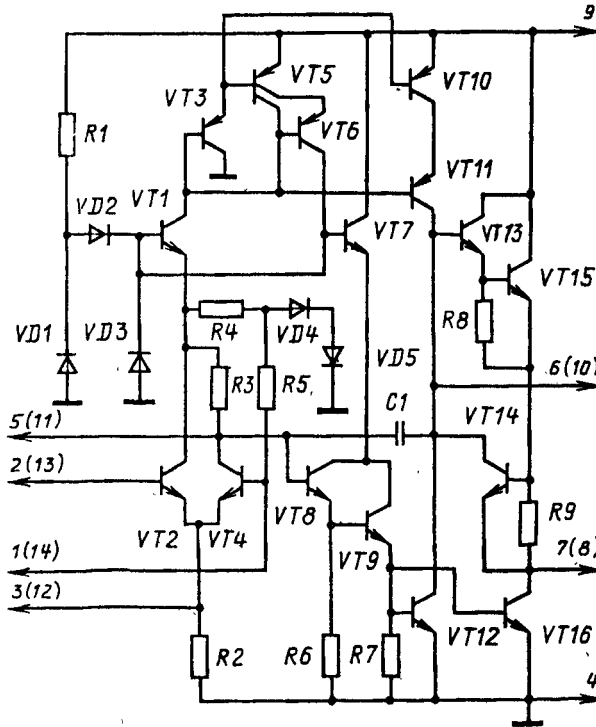


Рис. 2.33 а. Принципиальная схема ИМС К548УН1 (один канал)

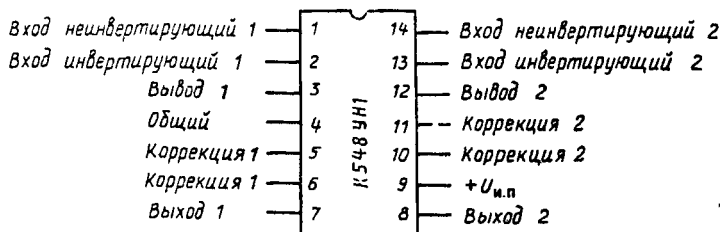


Рис. 2.33 б. Расположение и назначение выводов ИМС К548УН1

Рис. 2.33 в. Типовая схема включения ИМС К548УН1

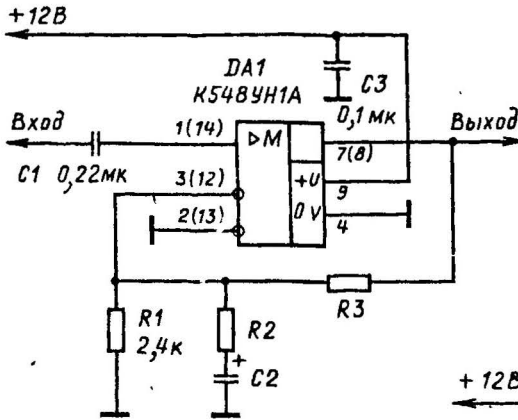


Рис. 2.33 г. Малошумящая схема включения ИМС К548УН1

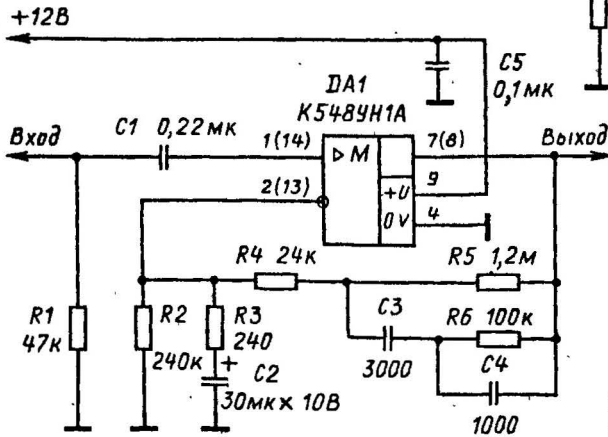


Рис. 2.33 д. Предусилитель-корректор для магнитной головки звукозаписывающего магнитофона на ИМС К548УН1

усилителя, имеет существенно меньший уровень шума, для ее питания требуется однополярный источник напряжением 9...30 В со значительно менее жесткими требованиями к стабильности напряжения и уровню его пульсаций. Кроме того, из-за внутренней коррекции, обеспечивается устойчивость работы усилителей при глубокой отрицательной обратной связи.

Принципиальная схема однонального усилителя (по схеме он аналогичен микросхеме К538УН1) показана на рис. 2.33 а. Он состоит из входного и предоконечного каскадов усиления напряжения, выходного каскада усиления тока и стабилизатора напряжения питания усилителя.

Входной каскад построен по дифференциальной схеме на транзисторах VT2, VT4, работающих при

+12В

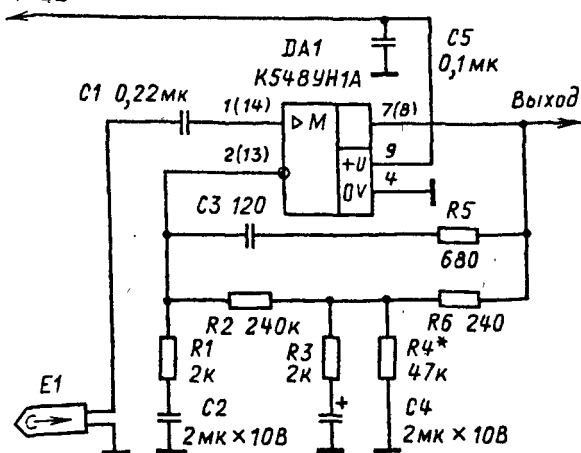
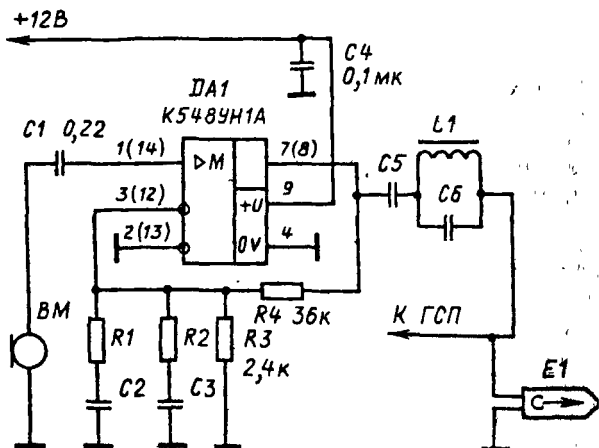


Рис. 2.33 е. Усилитель воспроизведения для магнитофона на ИМС K548YH1

Рис. 2.33 ж. Усилитель записи для магнитофона на ИМС K548YH1



лых коллекторных токах, а следовательно, и с минимальным коэффициентом шума. Причем, если требования к уровню шумов не очень жесткие, то транзисторы VT2, VT4 можно использовать в дифференциальном включении. В этом случае входной сигнал должен поступать на базу транзистора VT4, а сигнал обратной связи - на базу VT2. Если желательно иметь более низкий уровень шумов - сигнал обратной связи подают в цепь эмиттеров транзисторов VT2, VT4 (выводы 3, 12), а базу транзистора VT2 заземляют. При этом из общего уровня шума исключаются шумы этого транзистора.

Чтобы исключить шунтирование входного сигнала делителем $R4VD4VD5$, смещение на базу транзистора VT4 подают через высокоомный резистр R5. Шумы последующего каскада не влияют на коэффициент шума всего усилителя, если усиление первого каскада достаточно велико. Для этого в коллекторную цепь транзистора VT4 включена достаточно высокоомная нагрузка - резистор R3. Следующий каскад - составной эмиттерный повторитель на транзисторах VT8, VT9 - позволяет сохранить высокое усиление входного дифференциального каскада, так как не шунтирует его высокоомную нагрузку.

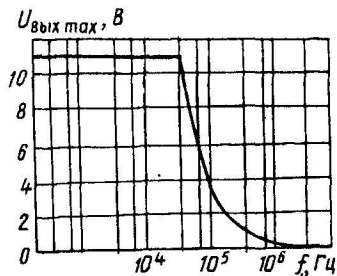


Рис. 2.34 а. Зависимость максимальной амплитуды выходного напряжения от частоты при напряжении питания 13 В и коэффициенте гармоник 10 % для ИМС K548YU1

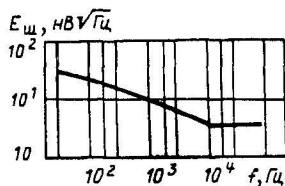


Рис. 2.34 в. Спектральная плотность напряжения собственных шумов усилителя для ИМС K548YU1

Далее, с нагрузки эмиттерного повторителя резистора $R7$, сигнал поступает на транзистор $VT12$, включенный по схеме с общим эмиттером. В его коллекторную цепь включена активная нагрузка, состоящая из транзисторов $VT10$, $VT11$. Между коллектором $VT12$ и базой $VT8$ включена небольшая корректирующая емкость $C1$, придающая устойчивость усилителю при охвате его глубокой ООС. К нагрузке транзистора $VT12$ подключен выходной каскад — составной эмиттерный повторитель на $VT13$, $VT15$ с активной нагрузкой на $VT16$. На транзисторе $VT14$ и резисторе $R9$ выполнен узел защиты усилителя от коротких замыканий в цепи нагрузки, ограничивающий выходной ток на уровне 12 мА.

Входные каскады усилителя питаются через внутренний стабилизатор, выполненный на стабилитроне $VD19$ и транзисторах $VT1$, $VT5...VT7$. Отличие этого стабилизатора от традиционного в том, что ток через стаби-

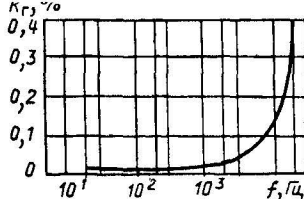


Рис. 2.34 б. Зависимость коэффициента гармонических искажений от частоты для ИМС K548YU1

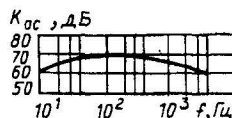


Рис. 2.34 г. Зависимость коэффициента ослабления соседнего канала от частоты для ИМС K548YU1

литрон $VD19$ задается не резистором, как обычно, а через источник тока на транзисторах $VT5$, $VT6$. Такое построение, благодаря большому отношению внутренних сопротивлений источника тока и стабилитрона, позволяет подавить пульсации напряжения питания на 120 дБ. Для дополнительной стабилизации напряжения смещения входного каскада в делитель включены диоды $VD20$, $VD21$.

Предусилитель может использоваться в двух вариантах включения с дифференциальным входом и одним заземленным входом.

В первом случае (рис. 2.33 в) режим работы входного каскада по постоянному току задается отрицательной обратной связью в виде резисторного делителя $R1/R3$, средняя точка которого подключена к неинвертирующему входу предусилителя (вывод 2 или 13). Чтобы обеспечить стабильность напряжения смещения тока через резистор $R1$ должен не менее чем в 10 раз превышать вход-

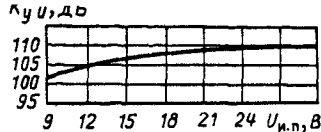


Рис. 2.34 д. Зависимость коэффициента усиления по напряжению от напряжения питания для ИМС К548УН1

ной ток $I_{вх}$, который приблизительно равен 0,5 мкА.

При использовании предусилителя с одним заземленным входом (рис. 2.33 г) инвертирующий вход (вывод 2 или 13) соединяют с общим проводом, а отрицательная обратная связь поступает на эмиттер входного транзистора (вывод 3 или 12). Чтобы в данном случае обеспечить стабильность напряжения смещения, ток через резисторный делитель должен, по крайней мере, в пять раз превышать ток из средней точки делителя в эмиттер входного транзистора $I_{ос}$ (ток в цепи обратной связи), который в наихудшем случае не превышает 100 мкА. Зависимости основных параметров ИМС от режимов эксплуатации приведены на рис. 2.34.

Электрические параметры ИМС К548УН1А,Б,В при $25 \pm 10^\circ\text{C}$ и $U_{и.п.ном} = 12\text{ В}$

Ток потребления $I_{пот}$, мА, не более.....15

Коэффициент усиления по напряжению K_{yU} при $R_H = 10\text{ кОм}$, $U_{вых} = 2\text{ В}$, $f_{вх} = 100\text{ Гц}$, не менее..... $5 \cdot 10^4$

Напряжение шумов, приведенное ко входу $U_{ш.вх}$, мкВ, при $R_H = 500\text{ Ом}$, $\Delta f = 0,02 \dots 10\text{ кГц}$, $R_H = 10\text{ кОм}$, не более

К548УН1А.....0,7
К548УН1Б.....1
К548УН1В.....1,6

Коэффициент гармоник K_g , %, при $K_{yU} = 50$, $U_{вых} = 2\text{ В}$, $R_H = 2\text{ кОм}$, $f_{вх} = 1\text{ кГц}$, не более.....0,1

Частота единичного усиления $F_{ед}$, МГц при $U_{вх} = 5\text{ мВ}$, $R_H = 10\text{ кОм}$, не менее.....20

Коэффициент ослабления сигнала соседнего канала $K_{ос.к}$, дБ, при

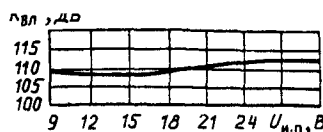


Рис. 2.34 е. Зависимость коэффициента влияния источника питания на выходное напряжение для ИМС К548УН1

$R_H = 10\text{ кОм}$, $K_{yU} = 1000$, $f_{вх} = 1\text{ кГц}$, не менее

К548УН1А.....60
К548УН1Б.....62
К548УН1В.....62

Коэффициент влияния неустойчивости источника питания на входной сигнал $K_{ос.и.п}$, дБ, при $f_{вх} = 1\text{ кГц}$, не менее

К548УН1А.....100
К548УН1Б.....110
К548УН1В.....110

Входное сопротивление $R_{вх}$, кОм (типичное значение).....250

Предельные эксплуатационные параметры ИМС К548УН1А,Б,В

Напряжение источника питания $U_{и.п}$, В, не более.....30

Входное напряжение $U_{вх}$, мВ, не более.....300

Максимальная амплитуда импульсов выходного напряжения $U_{вых\text{ ампл}}$, В, при $U_{и.п} = 12\text{ В}$, $U_{вых\text{ пост}} = 5\text{ В}$, $R_H = 5\text{ кОм}$, $f_{вх} \leq 100\text{ Гц}$, не менее..... $U_{и.п} - 3$

ИМС К548УН3 (рис. 2.35) представляет собой малошумящий усилитель звуковой частоты и предназначен для применения в миниатюрных слуховых аппаратах. В его состав входит предварительный усилитель А1 и выходной усилитель мощности А2. Предварительный усилитель выполнен на основе дифференциального усилителя, выходной усилитель мощности содержит двухтактный выходной каскад.

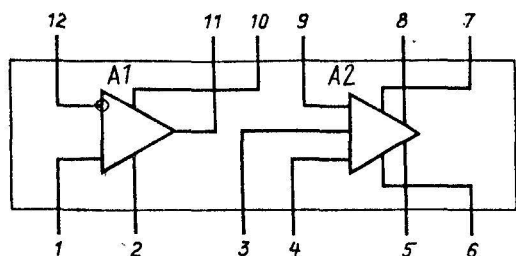


Рис. 2.35 а. Структурная схема ИМС К548УНЗ

Рис. 2.35 б. Расположение и назначение выводов ИМС К548УНЗ

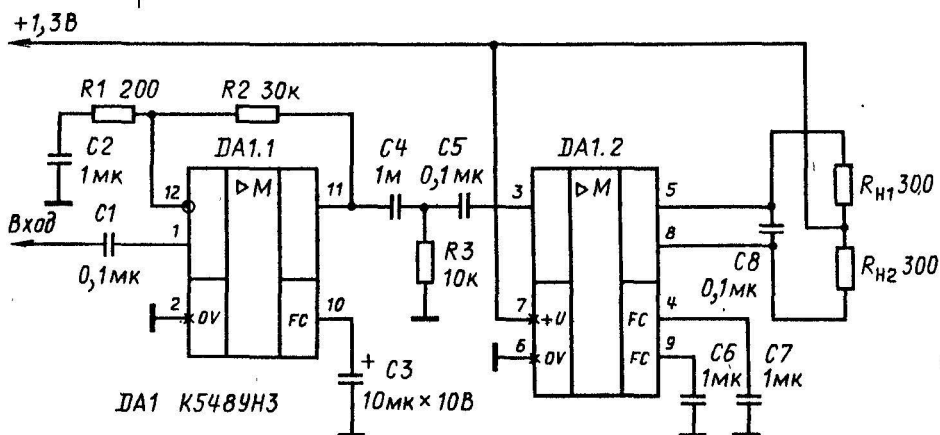
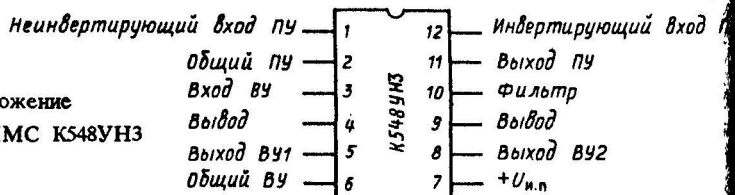


Рис. 2.35 в. Типовая схема включения ИМС К548УНЗ

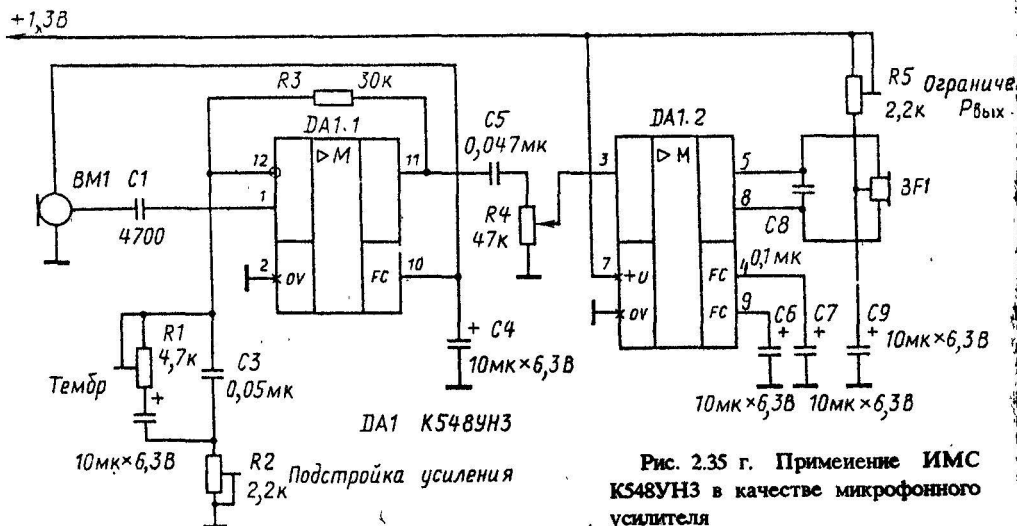


Рис. 2.35 г. Применение ИМС К548УНЗ в качестве микрофонного усилителя

ИМ Электрические параметры ИМС К548УНЗ при
 $25 \pm 10^\circ\text{C}$ и $U_{\text{и.п.ном}} = +1,3 \text{ В}$

Предельные эксплуатационные параметры
 ИМС К548УНЗ

Ток потребления $I_{\text{пот}}$, мА, при
 $R_{\text{н}} = 600 \text{ Ом}$, не более.....2
 Коэффициент усиления по напряжению
 $K_{\text{уу}}$ при $R_{\text{н}} = 600 \text{ Ом}$, $U_{\text{вых}} = 0,2 \text{ В}$, не
 менее.....4 · 10³
 Напряжение шумов предусилителя А1,
 приведенное ко входу $U_{\text{ш.вк}}$, мкВ,
 при $R_{\text{г}} = 2 \text{ кОм}$, $\Delta f = 0,1 \dots 5 \text{ кГц}$, не
 более.....1,5
 Коэффициент усиления по напряжению
 предусилителя А1 $K_{\text{уу}}$ при
 $R_{\text{н}} = 20 \text{ кОм}$ и $f = 1 \text{ кГц}$, не менее.....100
 Коэффициент усиления по напряжению
 выходного усилителя А2 $K_{\text{уу}2}$ при
 $R_{\text{н}} = 600 \text{ Ом}$ и $f = 1 \text{ кГц}$50...150

Напряжение питания $U_{\text{и.п.}}$, В.....1,1...1
 Максимальное выходное напряжение
 $U_{\text{вых}}$, В, предусилителя А1 при
 $U_{\text{и.п.}} = 1,3 \text{ В}$, $R_{\text{н}} = 20 \text{ кОм}$, $f = 1 \text{ кГц}$, не
 более.....0
 Коэффициент гармоник $K_{\text{г1}}$, %, пред-
 усилителя А1 при $U_{\text{вых max 1}}$, не бо-
 лее.....
 Максимальное выходное напряжение
 $U_{\text{вых max 2}}$, В, выходного усилителя
 А2 при $U_{\text{и.п.}} = 1,3 \text{ В}$, $R_{\text{н}} = 600 \text{ Ом}$,
 $f = 1 \text{ кГц}$, не менее.....0
 Коэффициент гармоник $K_{\text{г2}}$, %, выход-
 ного усилителя при $U_{\text{вых max}}$, не бо-
 лее.....

Глава 3

ИНТЕГРАЛЬНЫЕ МИКРОСХЕМЫ ДЛЯ АППАРАТУРЫ МАГНИТНОЙ ЗАПИСИ

3.1. СЕРИЯ К157

Серия К157 представляет собой комплект функционально сопряженных микросхем, разработанных для стереофонических катушечных и кассетных магнитофонов, но их можно применять и в других устройствах РЭА. Микросхемы выполнены на биполярных транзисторах с изоляцией p-n - переходом.

Состав серии

ИМС К157УД1 - операционный усилитель средней мощности
 ИМС К157УД2 - двухканальный операционный усилитель
 ИМС К157УЛ1А,Б - двухканальный предварительный усилитель воспроизведения
 ИМС К157УП1А,Б - двухканальный микрофонный усилитель с двухканальным предварительным усилителем записи

ИМС К157УП2А,Б - двухканальный микрофонный усилитель с двухканальным предварительным усилителем записи
 ИМС К157УН1А,Б - усилитель низкой частоты
 ИМС К157ДА1 - двухканальный двухполупериодный выпрямитель среднего значения сигналов
 ИМС К157ХП1 - двухканальное пороговое устройство управления приборами индикации уровней записи с выпрямителем для систем АРУЗ
 ИМС К157ХП2 - стабилизатор напряжения с электронным управлением; генератор тока стирания и подмагничивания
 ИМС К157ХП3 - динамический шумопонижающий фильтр.

Микросхемы выпускаются в прямоугольных полимерных корпусах

Микросхема	Напряжение питания, В	Диапазон рабочих температур, °С	Гарантированная наработка на отказ, ч	Гарантированный срок хранения, лет	Количество элементов в корпусе	Тип корпуса	Ном. чертеж корпуса
K157УД1	$\pm 15 \pm 1,5$	-25...+70	10 000	6	44	201.9 - 1	1
K157УД2	$\pm 15 \pm 1,5$	-25...+70	15 000	10	53	201.14 - 1	3
K157УЛ1А,Б	$+ 9 \pm 0,9$	-25...+70	15 000	10	52	201.14 - 1	3
K157УП1А,Б	$+ 12 \pm 1,2$	-25...+70	15 000	10	63	201.14 - 1	3
K157УП2А,Б	$+ 12 \pm 1,2$	-25...+70	15 000	10	63	201.14 - 1	3
K157УН1А,Б	$+ 12 \pm 1,2$	-25...+70	15 000	10	23	201.14 - 1	3
K157ДА1	$\pm 15 \pm 1,5$	-25...+70	15 000	10	63	201.14 - 1	3
K157ХП1	$+ 15 \pm 1,5$	-25...+70	15 000	10	89	201.14 - 1	3
K157ХП2	-	-25...+70	15 000	10	52	201.14 - 1	3
K157ХП3	$\pm 15 \pm 1,5$	-25...+70	15 000	10	*)	2120.24 - 3	28

* Данными авторы не располагают

перпендикулярным расположением выводов.

Номера чертежей корпусов и основные эксплуатационные характеристики микросхем приведены в табл. 3.1.

ИМС K157УД1 (рис. 3.1) представляет собой универсальный операционный усилитель (ОУ) средней мощности с максимальным выходным током 300 мА, разработанный для аппаратуры магнитной записи и воспроизведения звука. Применение ряда конструктивно-технических и схемотехнических приемов позволило отодвинуть верхнюю частоту эффективной работы этого ОУ до 100 кГц, а отсутствие внутренней коррекции - расширить область применения.

В дифференциальном усилителе для уменьшения входных токов использовано составное включение транзисторов (VT1, VT3 и VT9, VT7). Высокое усиление каскада обеспечивается динамической нагрузкой на транзисторах VT4, VT6. Благодаря применению во входном каскаде транзисторов структуры p-n-p нет необходимости принимать специальные меры по защите входа от высоких уровней входных дифференциальных напряжений в режиме перегрузки (соизмеримых с напряжением питания).

Коллекторные токи транзисторов VT3, VT7 равны 150 мкА и задаются генератором тока на VT5. Ток смещения транзисторов VT1, VT9 равен примерно 11 мкА.

Промежуточный каскад - усилитель напряжения - выполнен в транзисторах VT15, VT17, включенных соответственно по схеме с общим коллектором и общим эмиттером с динамической нагрузкой, образующей генератором тока на VT18. Режим работы эмиттерного повторителя (VT15) выбран таким, чтобы нагрузка обоих плеч дифференциальной нагрузки усилителя была одинаковой.

Усилитель мощности - двухтактный. Сигналы положительной полярности усиливаются по току транзисторами VT19, VT25, VT27, включенными по схеме эмиттерного повторителя, отрицательной полярности - транзисторами VT22, VT26, VT28, включенными по схеме эмиттерного повторителя.

Высокая линейность каскада усиления малых уровней выходного сигнала достигнута подачей начального смещения, выделяющегося в эмиттерных переходах транзисторов VT19, VT20, VT21 и резисторе между базами транзисторов усилителя мощности. Начальный ток через выходные транзисторы VT27, VT28 при выбранной площади эмиттера

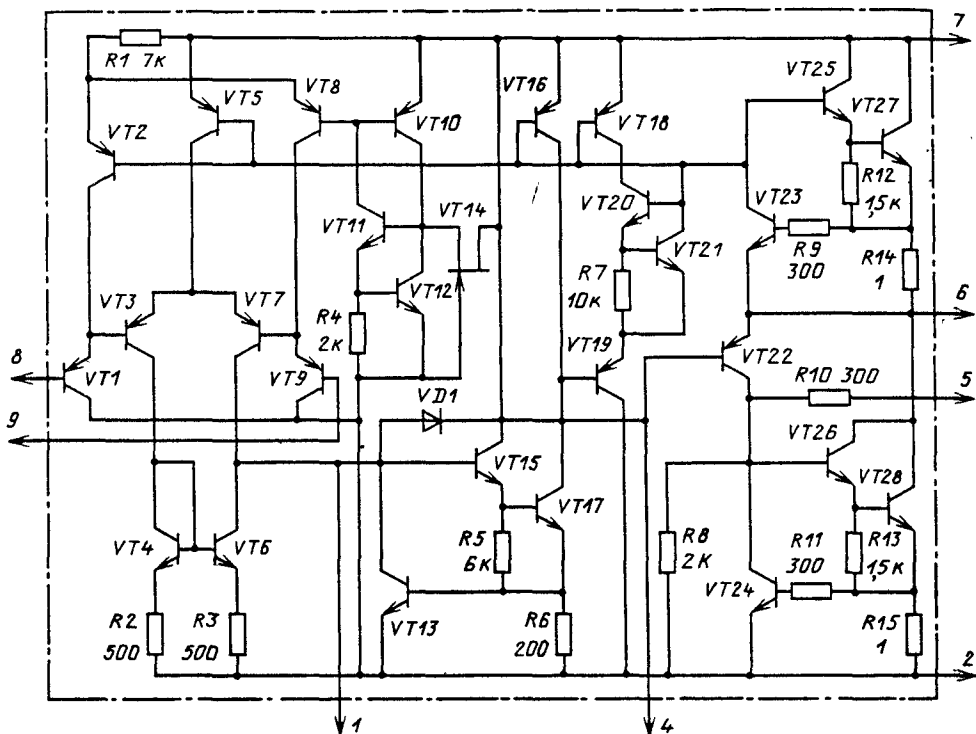


Рис. 3.1 а. Принципиальная схема ИМС К157УД1

Рис. 3.1 б. Назначение выводов ИМС К157УД1

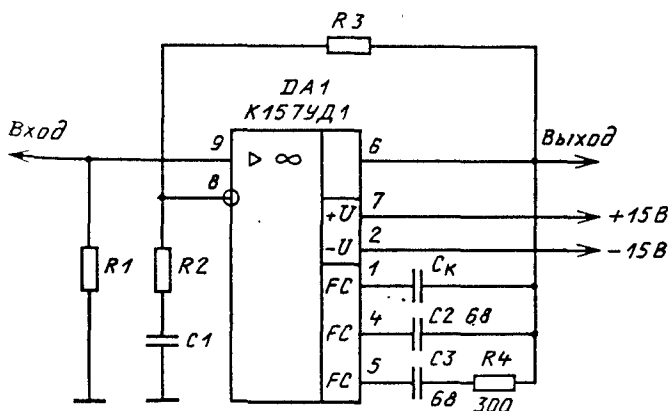
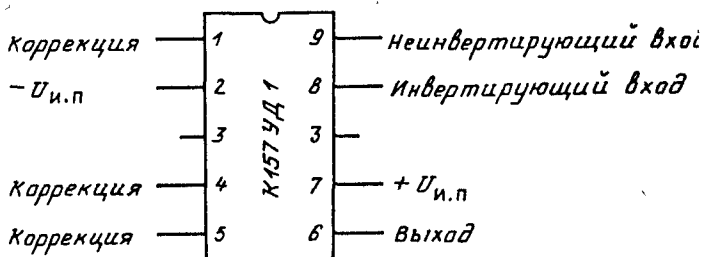


Рис. 3.1 в. Типовая схема включения ИМС К157УД1

транзисторов микросхемы определяется резисторами $R12, R13$.

Чтобы предотвратить выход ИМС из строя при переходных процессах или кратковременном коротком замыкании на выходе, в ОУ предусмотрено ограничение максимального импульса тока на уровне $0,4...1$ А. Это достигнуто шунтированием базовой цепи транзистора $VT25$ переходом коллектор-эмиттер транзистора $VT23$, который открывается при падении напряжения на резисторе $R14$ выше допустимого. Аналогично происходит и ограничение импульса тока отрицательной полярности.

При падении напряжения на резисторе $R15$ достаточным для открывания транзистора $VT24$, последний шунтирует базовую цепь транзистора $VT26$. Ток, протекающий через $VT24$, определяется транзистором $VT22$, коэффициент усиления которого резко уменьшается при больших коллекторных токах, что также способствует ограничению импульса тока на выходе ОУ. Резисторы $R9, R11$ предотвращают самовозбуждение ОУ в режиме ограничения на частотах УКВ диапазона.

Транзистор $VT13$ также является защитным: при чрезмерном увеличении падения напряжения на резисто-

ре $R6$ он открывается и шунтирует вход транзистора $VT15$, предотвращая перегрузку $VT15$ и $VT17$. Диод $VD1$ устраняет насыщение транзистора $VT17$, улучшая работу каскада на высоких частотах при максимальном выходном напряжении.

Генераторы тока на транзисторах $VT2, VT5, VT8, VT16, VT18$ получают смещение от $VT10$ в диодном включении, который возбуждается стабилизированным током, задаваемым транзисторами $VT11, VT12, VT14$ и резистором $R4$.

Чтобы повысить устойчивость ИМС при работе с различными нагрузками рекомендуется, кроме основной коррекции, подключать между выводами 1-4 или 1-5, и соединения выводов 2 и 7 через конденсаторы вблизи корпуса микросхемы с общим проводом устройства, подключать дополнительную RC-цепь между выводами 4 и 5.

Операционный усилитель можно использовать в самых разнообразных узлах радиоэлектронной аппаратуры: предварительных усилителях мощности, усилителях ЗЧ для стереотелефонов, генераторах с рабочей частотой до 100 кГц, всевозможных исполнительных устройствах.

Зависимости основных параметров

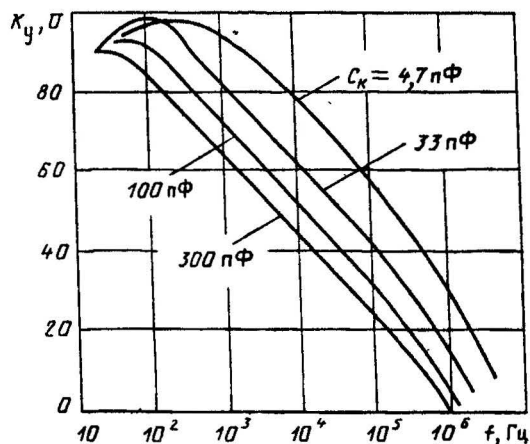


Рис. 3.2 а. Зависимость коэффициента усиления от частоты усиливаемого сигнала для ИМС K157УД1

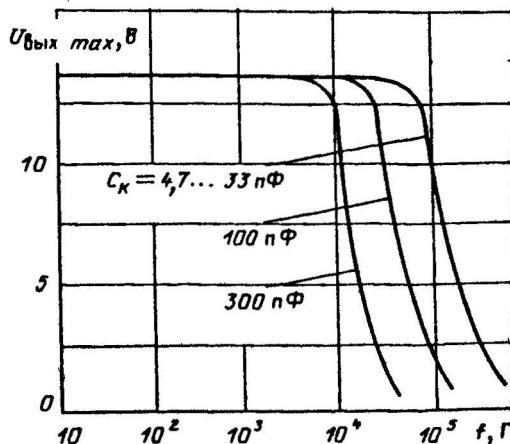


Рис. 3.2 б. Зависимость максимальной амплитуды выходного напряжения от частоты усиливаемого сигнала для ИМС K157УД1

ИМС от режимов эксплуатации приведены на рис. 3.2.

Электрические параметры ИМС К157УД1 при $25 \pm 10^\circ\text{C}$ и $U_{\text{и.п.ном}} = \pm 15 \text{ В}$

Коэффициент усиления по напряжению $K_{\text{УУ}}$ при $R_{\text{н}} = 200 \text{ Ом}$ и $f = 0 \dots 50 \text{ Гц}$, не менее	50 000
Максимальное выходное напряжение $U_{\text{вых max}}$, В, не менее	± 12
Напряжение смещения $U_{\text{см}}$, мВ, не более	± 5
Входной ток $I_{\text{вх}}$, нА, не более	500
Коэффициент ослабления синфазного входного напряжения $K_{\text{ос.сф}}$, дБ, не менее	70
Частота среза $f_{\text{ср}}$, МГц, не менее	0,5
Скорость нарастания выходного напряжения $V_{\text{Uвых}}$, В/мкс, не менее	0,5
Температурный дрейф $\alpha U_{\text{вых}}$, мВ/ $^\circ\text{C}$, не более	± 50

Предельные эксплуатационные параметры ИМС К157УД1

Напряжение питания $U_{\text{и.п.}}$, В, при $R_{\text{н}} = 200 \text{ Ом}$	
минимальное	± 3
максимальное	± 20
Ток потребления $I_{\text{потр}}$, мА, при $R_{\text{н}} = 200 \text{ Ом}$, $U_{\text{и.п.}} = \pm 18 \text{ В}$, не более	10
Ток короткого замыкания $I_{\text{к.з.}}$, мА, при $R_{\text{н}} = 0$, $U_{\text{и.п.}} = \pm 5 \text{ В}$	400...1000
Максимальное выходное напряжение $U_{\text{вых max}}$, В, не менее, при $U_{\text{и.п.}} \pm 18$	± 15
± 3	$\pm 1,2$
Синфазное входное напряжение $U_{\text{сф}}$, В, не более	± 20
Выходной ток $I_{\text{вых}}$, мА, не более	300
Рассеиваемая мощность $P_{\text{расс}}$, Вт, при $t_{\text{окр.ср}} = -25 \dots +25^\circ\text{C}$, без теплоотвода, не более	0,5

При температуре окружающей среды выше $+25^\circ\text{C}$ рассеиваемую мощность рассчитывают по формулам: если ИМС не имеет внешнего теплоотвода

$$P_{\text{расс}} = \frac{125 - t_{\text{окр.ср}}}{200},$$

если есть внешний теплоотвод и температура теплоотводящих выводов $t_{\text{Т}}$

$$P_{\text{расс}} = \frac{125 - t_{\text{окр.ср}}}{250} + \frac{125 - t_{\text{Т}}}{150}.$$

ИМС К157УД2 (рис. 3.3) представляет собой двухканальный ОУ универсального назначения, обладающий низким уровнем собственных шумов (типовое значение напряжения шумов, приведенных ко входу ОУ, составляет 1,6 мкВ в полосе частот $20 \dots 20\,000 \text{ Гц}$ при сопротивлении источника сигнала равном 0. Операционный усилитель допускает большой диапазон входных дифференциальных напряжений, имеет защиту от коротких замыканий на выходе.

Входной каскад выполнен по дифференциальной схеме на транзисторах $VT6$, $VT15$ ($VT7$, $VT16$) с горизонтальной $p-n-p$ структурой. Чтобы получить максимальное усиление, использована динамическая нагрузка в виде отражателя тока на $VT8$, $VT13$ ($VT9$, $VT14$) обеспечивающая также переход к несимметричной нагрузке. Коллекторные токи $VT6$, $VT15$ ($VT7$, $VT16$) $10 \dots 12 \text{ мкА}$ заданы генератором тока на транзисторе $VT11$ ($VT12$) и резисторе $R2$ ($R3$).

Промежуточный каскад - усилитель напряжения - выполнен на транзисторах $VT19$, $VT21$ ($VT20$, $VT22$), включенных соответственно по схеме с общим коллектором и общим эмиттером. Здесь также используется динамическая нагрузка, образованная транзистором $VT23$ ($VT24$). Режим работы эмиттерного повторителя на транзисторе $VT19$ ($VT20$) выбран таким, чтобы нагрузка обоих плеч дифференциального усилителя была примерно одинаковой.

Усилитель мощности - двухтактный. Сигнал положительной полярности поступает на выход ОУ через $VT26$, $VT37$ ($VT31$, $VT40$), отрицательный - через $VT27$, $VT38$ ($VT29$, $VT39$), включенные по схеме эмит-

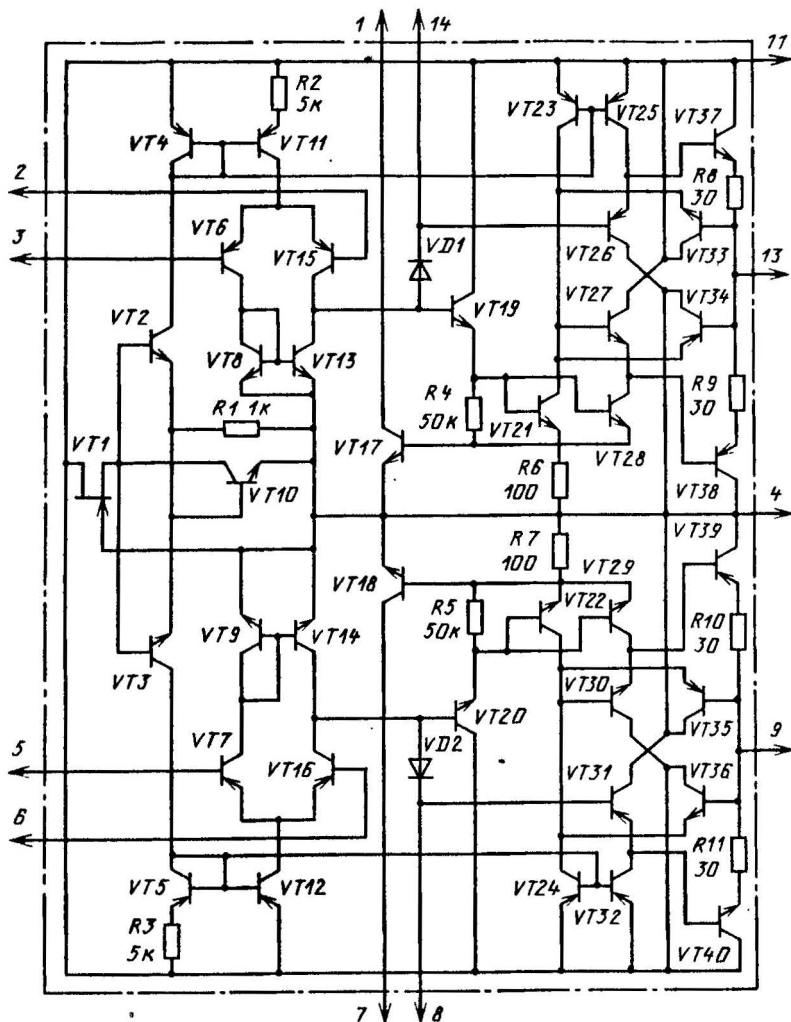


Рис. 3.3 а. Принципиальная схема ИМС К157УД2



Рис. 3.3 б. Назначение выводов ИМС К157УД2

терного повторителя. Начальное напряжение смещения, необходимое для уменьшения переходных искажений, выделяется на эмиттерном переходе транзисторов VT26 (VT31) и VT27 (VT30).

В усилителе мощности предусмотрена защита от короткого замыкания на выходе как при положительной, так и отрицательной полярности выходного сигнала. При возрастании выходного тока увеличивается падение напряжения на резисторах R8 (R11) и R9 (R10), из-за чего выход усилителя напряжения - коллектор транзистора VT21 (VT22) - шунтируется низким сопротивлением открытых VT34 (VT35) при сигнале положительной полярности или VT33 (VT36) при сигнале отрицательной полярности, а следовательно, и ограничивается ток.

Транзистор VT17 (VT18) предотвращает перегрузку VT19, VT21, VT27, VT28 (VT20, VT22, VT29, VT30) при большом уровне входного сигнала. Этот транзистор открывается при увеличении падения напряжения на резисторе R6 (R7) и шунтирует вход транзистора VT19 (VT20). Диод VD1 (VD2) устраняет насыщение транзистора VT21 (VT22) и улучшает работу каскада на высоких частотах при

максимальном выходном напряжении (особенно в начальной области режима ограничения).

Режим работы ОУ по постоянному току определяется генераторами тока на VT11, VT23, VT25, (VT12, VT2 VT32), управляемых через VT4 (VT в диодном включении током транзистора VT2 (VT3), который, в свою очередь, возбуждается от общего диода обоих каналов устройства стабилизации режима, выполненного на транзисторах VT1, VT10 и резисторе R1.

Чтобы каждый из ОУ с замкнутыми петлями ООС работал устойчиво, к соответствующим выводам (1, 14 и 7, 8) ИМС подключают корректирующие конденсаторы. Емкость конденсатора зависит от глубины обратной связи. Допускается подключать корректирующие конденсаторы также между другими выводами, например между 1 и 13 (7 и 9) или выводами 1 (7) и общим проводом двухполярного источника питания. При значительной длине проводов, подводящих напряжение питания к выводам 11, 4, следует устанавливать дополнительный блокирующий конденсатор. ИМС можно использовать в самых разнообразных устройствах низкочастотной стереофонической аппаратуры.

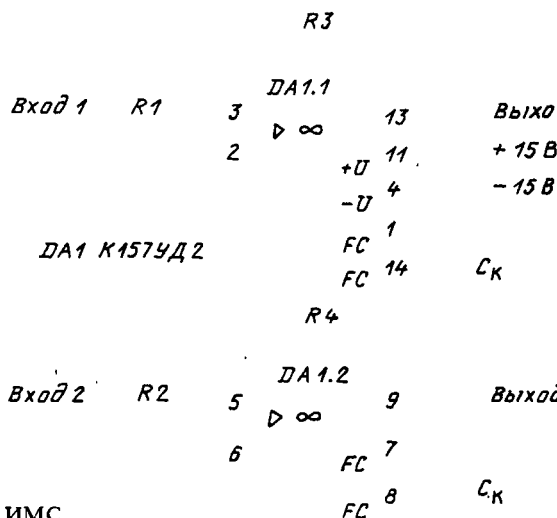


Рис. 3.3 в. Типовая схема включения ИМС K157UD2

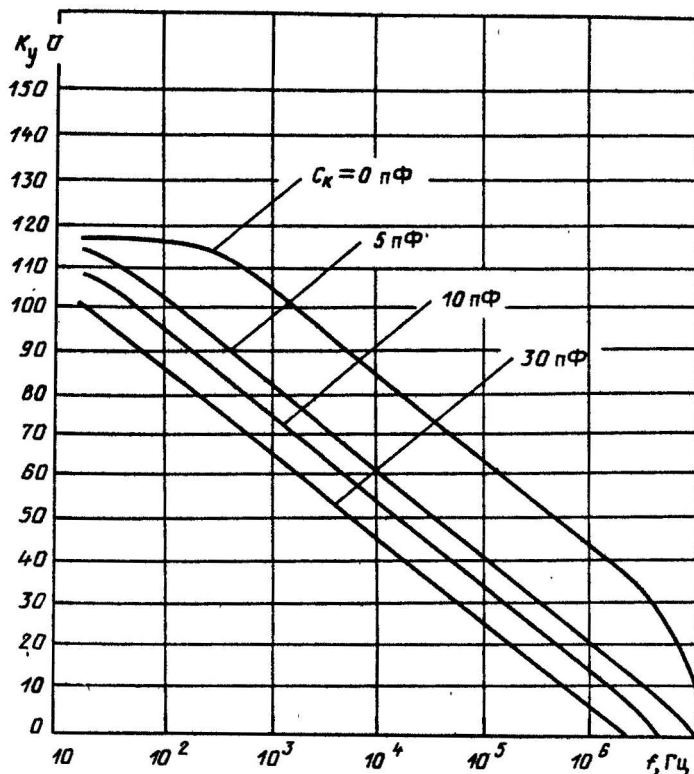


Рис. 3.4 а. Зависимость коэффициента усиления от частоты усиливаемого сигнала для ИМС K157UD2

Зависимости основных параметров ИМС от режимов эксплуатации приведены на рис. 3.4.

Электрические параметры ИМС K157UD2 при $25 \pm 10^\circ\text{C}$ и $U_{\text{н.п.ном}} = \pm 15\text{ В}$

Ток потребления $I_{\text{пот}}$, мА, не более	7
Коэффициент усиления по напряжению $K_{U\text{н}}$ при $R_{\text{н}} = 200\text{ Ом}$, не менее, при частоте:	
0...50 Гц	50 000
20 кГц	300...800
Максимальное выходное напряжение $U_{\text{вых max}}$, В, не менее	± 13
Напряжение смещения $U_{\text{см}}$, мВ, не более	± 10
Входной ток $I_{\text{вх}}$, нА, не более	500
Коэффициент ослабления синфазного входного напряжения $K_{\text{ос.сф}}$ дБ, не менее	70

Частота среза $f_{\text{ср}}$, МГц, не менее	
Скорость нарастания выходного напряжения $V_{U_{\text{вых}}}$, В/мкс, не менее	0
Температурный дрейф $\alpha U_{\text{вых}}$, мкВ/°C, не более	± 5

Предельные эксплуатационные параметры ИМС K157UD2

Напряжение питания $U_{\text{н.п}}$, В, при $R_{\text{н}} = 200\text{ Ом}$:	
минимальное	± 1
максимальное	± 18
Ток потребления $I_{\text{пот}}$, мА, при $R_{\text{н}} = 200\text{ Ом}$ и $U_{\text{н.п}} = \pm 18\text{ В}$, не более	
Ток короткого замыкания $I_{\text{к.з}}$, мА, при $R_{\text{н}} = 0$ и $U_{\text{н.п}} = \pm 15\text{ В}$, не более	
Максимальное входное напряжение $U_{\text{вх max}}$, В, не менее, при $U_{\text{н.п}}$	
$\pm 18\text{ В}$	± 15
$\pm 3\text{ В}$	± 1

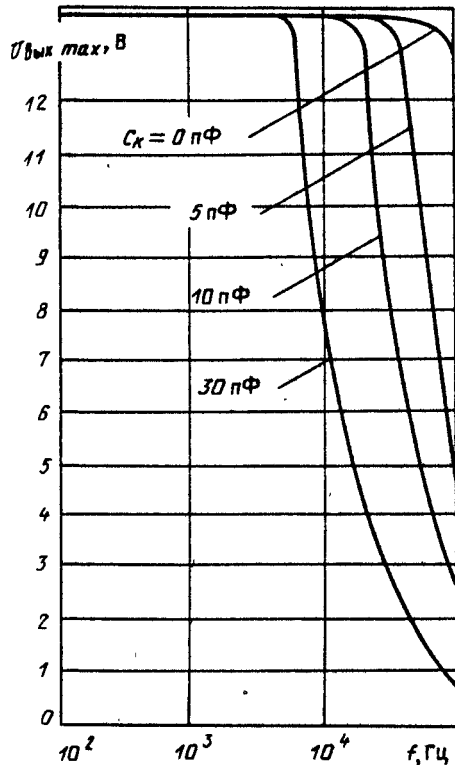


Рис. 3.4 б. Зависимость максимальной амплитуды выходного напряжения от частоты усиливаемого сигнала для ИМС К157УД2

Синфазное входное напряжение $U_{\text{сф}}$, В,
не более ± 18
Рассеиваемая мощность $P_{\text{расс}}$ при
 $t_{\text{окр.ср}} = -25 \dots +25^\circ\text{C}$, Вт, не более 0,5
При температуре окружающей среды
более $+25^\circ\text{C}$ рассеиваемую мощ-
ность рассчитывают по формуле:

$$P_{\text{расс}} = \frac{125 - t_{\text{окр.ср}}}{220}$$

ИМС К157УЛ1А,Б (рис. 3.5) пред-
ставляют собой двухканальный уси-
литель воспроизведения для стерео-
фонических магнитофонов, обладаю-
щий низким уровнем шумов типа
 $1/f$. Спектральная плотность напря-
жения шумов в диапазоне частот
 $10 \dots 100$ Гц не превышает $4 \text{ нВ}/\sqrt{\text{Гц}}$.

Напряжение шумов, приведенное
ко входу функционального узла уси-
лителя воспроизведения кассетного
магнитофона с магнитной головкой
ЗД24Н в полосе частот $0,02 \dots 20$ кГц,
составляет не более $0,5 \text{ мкВ}$, что по-
зволяет получить отношение сиг-
нал/шум не менее 54 дБ .

На функциональной схеме ИМС
показаны: А1, А4 – входной каскад,
А5, А6 – каскад основного усиления,
А7, А8 – выходной каскад, А2, А3
– стабилизатор режима, задающий и

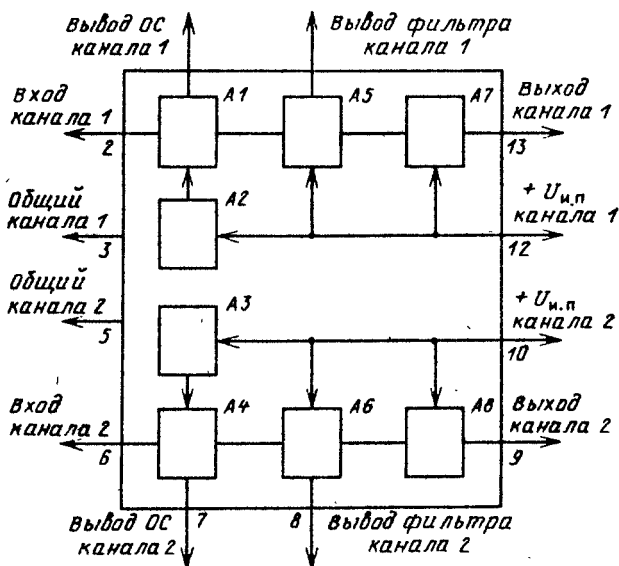


Рис. 3.5 а. Функциональная схема ИМС К157УЛ1А,Б

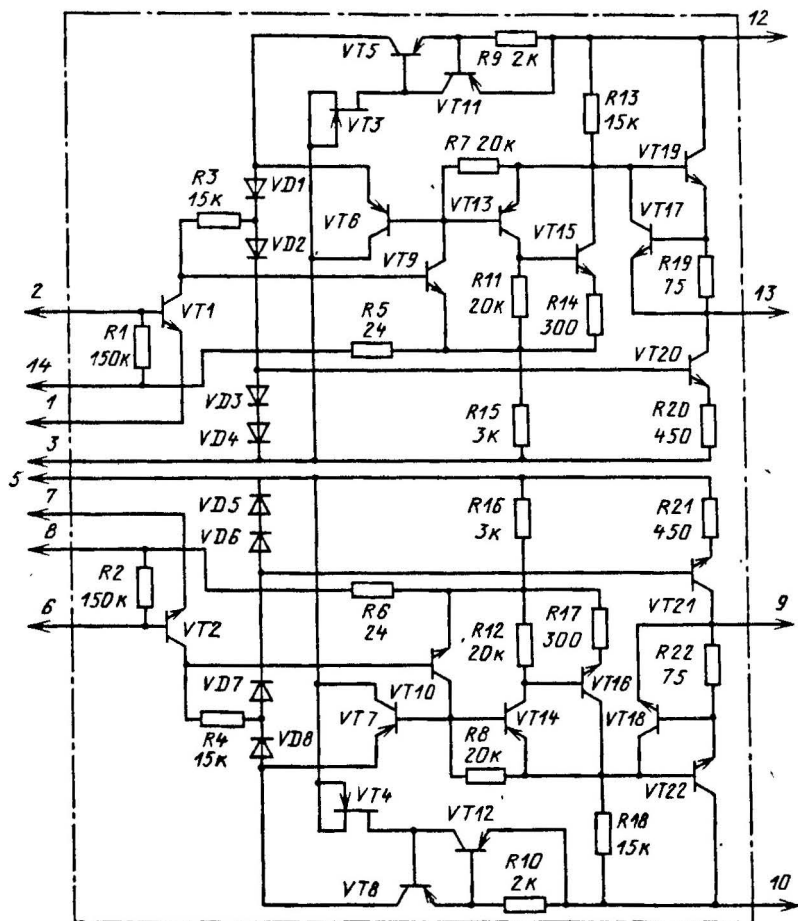


Рис. 3.5 б. Принципиальная схема ИМС К157УЛ1А.Б



Рис. 3.5 в. Назначение выводов ИМС К157УЛ1А.Б

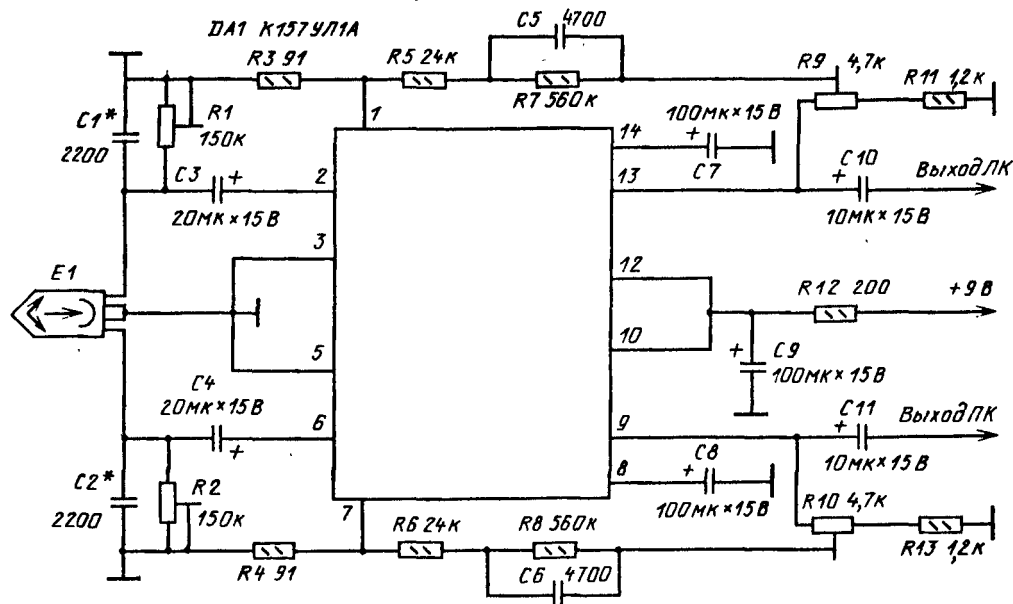


Рис. 3.5 г. Типовая схема двухканального предварительного усилителя воспроизведения на ИМС К157УЛ1А,Б

поддерживающий режим входного каскада по постоянному току.

Входной каскад с коэффициентом усиления около 30 оптимизирован по отношению сигнал/шум в полосе частот 0,02...20 кГц при его работе совместно с магнитной головкой. Он состоит из одного транзистора VT1 (VT2), включенного по схеме с общим эмиттером и резистивной нагрузкой. Отрицательная обратная связь по постоянному току, которой охвачены транзисторы VT1 (VT2) и VT9 (VT10) через резисторы R1, R5 (R2, R6), стабилизирует режим входного каскада. Чтобы уменьшить уровень шумов в микросхеме предусмотрены специальные меры, в частности коллекторный ток транзистора VT1 (VT2) задан на уровне 50...60 мкА, статический коэффициент усиления по току базы составляет не менее 150, эмиттер имеет форму круга диаметром 100 мкм, эмиттерный переход перекрыт алюминиевой шиной, выводы базы расположены с двух сторон эмиттера.

В основной каскад усиления входят транзисторы VT9, VT13, VT15 (VT10,

VT14, VT16), коэффициент усиления около 400. Благодаря уменьшению коллекторного тока транзистора VT9 (VT10) до 30 мкА и увеличению площади эмиттера удалось снизить уровень собственных шумов этого каскада.

На выходе усилителя включен эмиттерный повторитель с динамической нагрузкой — транзисторы VT19, VT20 (VT22, VT21) — и защита от короткого замыкания по выходу на VT17 (VT18).

Стабилизируют режим входного каскада основного усилителя диоды VD1...VD4 (VD5...VD8) и транзисторы VT5, VT11, VT13 (VT8, VT12, VT14). Транзистор VT6 (VT7) служит для предотвращения насыщения VT9 (VT10) в момент подачи напряжения питания.

Амплитудно-частотная характеристика (АЧХ) усилителя определяется внешней цепью ООС по току, включаемой между выходом усилителя и эмиттером транзистора VT1 (VT2), а коэффициент усиления — сопротивлением внешнего резистора, включаемого между выводами 1 (7) и 3 (5).

Чтобы устранить ООС по переменному току во входном усилителе и получить максимальное усиление в каскаде основного усиления, между выводами 14 (8) и 3 (5) включает конденсатор большой емкости. Для устойчивой работы усилителя с магнитной головкой на входе между выводами 2 (6) и 3 (5) также необходимо установить конденсатор. Его емкость определяется индуктивностью магнитной головки и требуемой формой АЧХ.

Электрические параметры ИМС К157УЛ1А, К157УЛ1Б при $25 \pm 10^\circ\text{C}$ и $U_{\text{н.п.ном}} = 9\text{ В}$

Ток потребления $I_{\text{пот}}$ (по двум каналам), мА, не более.....	3..6
Коэффициент усиления по напряжению $K_{\text{у}}$ при $f=0.02...20\text{ кГц}$ без ООС, не менее.....	8000...13000
Входное сопротивление $R_{\text{вх}}$, кОм, не менее.....	60
Выходное сопротивление $R_{\text{вых}}$, Ом, не более.....	300
Коэффициент гармоник $K_{\text{г}}$, %, при $U_{\text{вых}}=1\text{ В}$, $f=400\text{ Гц}$, не более.....	0.2
Коэффициент ослабления соседнего канала, дБ, не менее.....	70
Напряжение шумов, приведенное ко входу $U_{\text{ш.вх}}$, мкВ, при $f=0.02...20\text{ кГц}$, $R_{\text{ист}}=10\text{ Ом}$, $\tau_{\text{нч}}=3180\text{ мкс}$, $\tau_{\text{вч}}=70\text{ мкс}$, не более:	
К157УЛ1А.....	0.3
К157УЛ1Б.....	0.6...1.0

Предельные эксплуатационные параметры ИМС К157УЛ1А, К157УЛ1Б

Напряжение питания $U_{\text{н.п.}}$, В,	
минимальное.....	8,1
максимальное.....	20
Выходной ток $I_{\text{вых}}$, мА, не более.....	5
Входной ток $I_{\text{вх}}$, мА, не более.....	1
Рассеиваемая мощность $P_{\text{расс}}$, мВт, не более.....	250

ИМС К157УП1, К157УП2 (рис. 3.6) представляют собой две модификации двухканального микрофонного усилителя, конструктивно совмещенного с двухканальным предварительным усилителем записи. Оба усилителя

имеют малый уровень собственных шумов и обеспечивают усиление сигналов 160 мкВ...10 мВ, подводимых соответственно к входу микрофонного и предварительного усилителя, до стандартного уровня на линейном выходе магнитофона (250 мВ).

ИМС К157УП1 и К157УП2 выполнены на одинаковых кристаллах, но по-разному подключенных к внешним выводам. По электрическим параметрам К157УП1 и К157УП2 совершенно идентичны.

ИМС предназначены для применения в высококачественной аппаратуре магнитной записи и другой низкочастотной стереофонической аппаратуре (УЗЧ, электрофонах и т. п.). Высокая перегрузочная способность (по микрофонному входу свыше 36 дБ, по входу предварительного усилителя записи - 16 дБ) позволяет использовать ИМС в ЗЧ трактах с автоматической регулировкой усиления.

На функциональной схеме показаны (в скобках дана нумерация выводов для ИС К157УП2): А1, А2 - микрофонные усилители, А3, А4 - предварительные усилители записи.

ИМС К157УП1 отличается от К157УП2 тем, что первая требует применения регулирующих элементов АРУ (транзисторы VT1, VT2), управляемых положительным напряжением, а вторая - отрицательным. Микросхемы отличаются также и цоколевкой (нумерация выводов для К157УП2 на схеме указана в скобках).

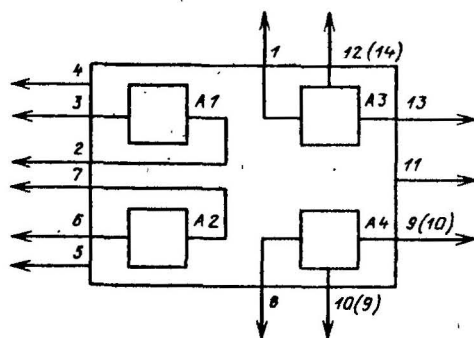


Рис. 3.6 а. Функциональная схема ИМС К157УП1 (К157УП2)

→
→
→
a)

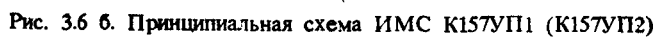




Рис. 3.6 г. Назначение выводов ИМС К157УП2А,Б

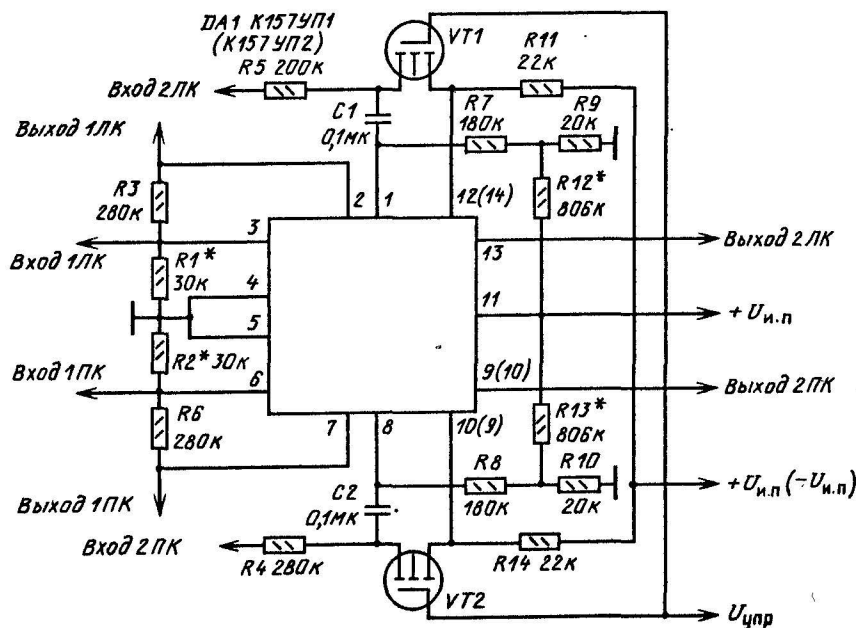


Рис. 3.6 д. Типовое включение ИМС К157УП1 (К157УП2) в схеме двухканального микрофонного усилителя и предварительного усилителя записи

Трехкаскадный микрофонный усилитель выполнен на транзисторах VT2, VT7, VT11 (VT3, VT8, VT12). Коэффициент передачи усилителя определяется отношением параллельно включенных сопротивления нагрузки (подключаемой к выводу 2 или 7) и суммарного сопротивления резисторов R8 (R15) и R9 (R14) к сопротивлению резистора обратной связи R11 (R13). Без внешней нагрузки коэффициент передачи равен при-

мерно 46 дБ, с нагрузкой — 42. Низкий уровень шумов достиг благодаря малой плотности эмиттера входного транзистора (VT3).

Для стабильности характеристик усилитель охватывают отрицательной обратной связью как по постоянному току и по переменному току — между входом и выходом (выводы 2, 3 и 6) включают внешний резистор, значение которого также зависит от входного сопротив-

ление усилителя. Если сопротивление резистора равно 270...280 кОм, то входное сопротивление усилителя — примерно 2 кОм.

Предварительный усилитель записи (также трехкаскадный) выполнен на транзисторах VT15, VT19, VT21 (VT18, VT20, VT22) по схеме, схожей со схемой микрофонного усилителя, с добавлением на входе и выходе эмиттерных повторителей. Коэффициент передачи этого усилителя из-за того, что глубина ООС увеличена, уменьшен до 24 дБ.

Эмиттерный повторитель на транзисторе VT13 (VT14) на входе усилителя работает при коллекторном токе около 10 мкА. Входное сопротивление каскада при этом превышает несколько мегаом, поэтому необходимое входное сопротивление усилителя может быть легко обеспечено включением внешнего резистора заданного сопротивления. Чтобы получить на выходе сигнал с максимальной неискаженной амплитудой напряжения, через этот резистор на вход усилителя (выводы 1, 8) следует подводить напряжение смещения около 300 мВ. Эмиттерный повторитель на транзисторе VT23 (VT24) уменьшает выходное сопротивление усилителя. Нагрузку подключают к выходу эмиттерного повторителя через ограничительный резистор R34 (R35). Рабочий

ток каскада задан резистором R30 (R33). Выбранный режим обеспечивает работу схемы с нагрузкой сопротивлением не менее 15 кОм. Если сопротивление нагрузки около 6 кОм, между выводами 13 и 4 (9 и 5) следует включить резистор сопротивлением 4,7 кОм.

Чтобы уменьшить нелинейные искажения, вносимые в тракт записи регулирующим элементом АРУ, в ИМС предусмотрены дополнительные выводы, на которые поступает инвертированное входное напряжение через эмиттерные повторители, выполненные на транзисторах структуры *p-n-p* (для K157УП1) или *n-p-n* — (для K157УП2).

Электрические параметры ИМС K157УП1.2 при $25 \pm 10^\circ \text{C}$ и $U_{\text{и.п.ном}} = 12 \text{ В}$

Ток потребления $I_{\text{пот}}$, мА (суммарный в обоих каналах)	5...9,5
Коэффициент усиления $K_{\text{у}}$ микрофонного усилителя	100...165
предварительного усилителя записи	19,5...28
Коэффициент гармоник $K_{\text{г}}$, % микрофонного усилителя при $U_{\text{вх}} = 1 \text{ В}$, $f = 400 \text{ Гц}$ и предварительного усилителя записи при $U_{\text{вх}} = 1,5 \text{ В}$, $f = 400 \text{ Гц}$, не более	0,2

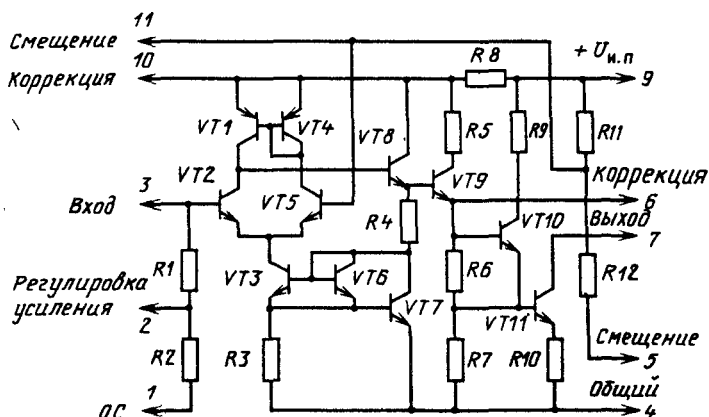


Рис. 3.7 а. Принципиальная схема ИМС K157УН1А.Б

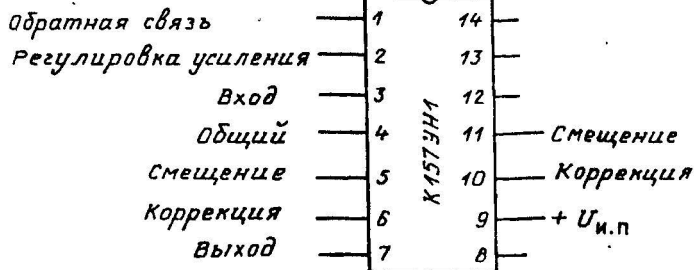


Рис. 3.7 б. Назначение выводов ИМС К157УН1А,Б

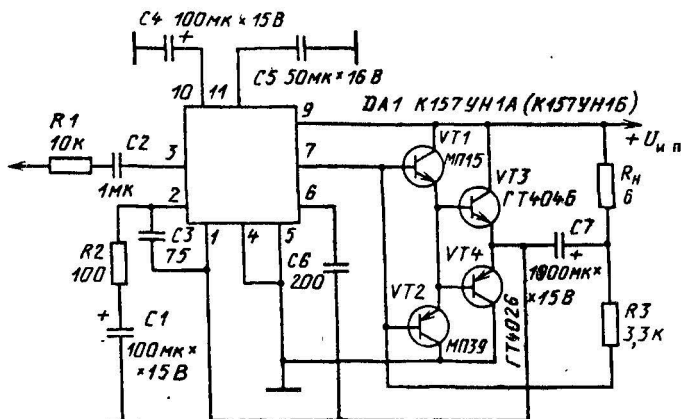


Рис. 3.7 в. Типовая схема включения ИМС К157УН1А,Б

Напряжение шумов при $\Delta f = 0,02 \dots 20$ кГц, приведенное ко входу усилителя, $U_{ш.вх}$, мкВ, не более:	при	ко
микрофонного	при	
$R_f = 200$ Ом	0,6...1
предварительного усилителя записи $R_f = 16$ кОм	3,2...5,2
Входное сопротивление $R_{вх}$, кОм:		
микрофонного усилителя	1,6...2,4
предварительного усилителя записи	160...240
Выходное сопротивление $R_{вых}$, кОм, не более		
микрофонного усилителя	5
предварительного усилителя записи	1
Коэффициент ослабления сигнала соседнего канала, дБ, не менее	-70

Предельные эксплуатационные параметры ИМС К157УП1, 2

Напряжение питания $U_{и.п.}$, В:	
минимальное
максимальное
Выходной ток $I_{вых}$, мА:	
микрофонного усилителя и предварительного усилителя записи, не более
Рассеиваемая мощность $P_{расс}$, мВт, не более

ИМС К157УН1А, К157УН1Б (рис. 3.7) представляют собой усилители звуковой частоты. В зависимости от напряжения питания ИМС подразделяются на группы А и Б. Номинальное напряжение питания первой +9 В, второй +12 В.

Входной каскад выполнен по дифференциальной схеме на транзисторах VT_2 , VT_5 . Чтобы получить максимальное усиление, использована динамическая нагрузка в виде отражателя тока на транзисторах VT_1 , VT_4 , обеспечивающая также переход к несимметричной нагрузке. Коллекторные токи VT_2 , VT_5 заданы генератором тока на транзисторе VT_3 и резисторе R_3 .

Промежуточный каскад выполнен на транзисторе VT_8 , включенном по схеме с общим коллектором, нагрузка которого создается резистором R_4 и транзистором VT_7 . С эмиттерного повторителя VT_8 усиленный по току сигнал поступает на базу транзистора VT_9 , а с коллектора последнего — на вход каскада на VT_{10} . Далее сигнал подается на вход оконечного каскада на транзисторе VT_{11} . В его коллекторную цепь к выводу 7 подключают нагрузку. Резисторы R_6 , R_{10} и делитель R_{11} , R_{12} обеспечивают необходимые напряжения смещения для транзисторов VT_{10} , VT_{11} , VT_5 . Отсутствие шунтирующих конденсаторов создает в соответствующих каскадах ООС.

ИМС можно использовать в разнообразных устройствах ЗЧ. Входное сопротивление в данном случае в основном определяется внешним резистором R_1 . Значительное уменьшение его сопротивления приводит к уменьшению глубины ООС и увеличению влияния выходного сопротивления источника сигнала на устойчивость усилителя. Конденсатор C_3 улучшает шумовые характеристики усилителя. В устройствах, где не предъявляются требования к шумовым характеристикам, конденсатор C_3 не обязателен. Значительное увеличение емкости конденсатора C_3 может привести к возбуждению усилителя.

Изменяя сопротивление резистора R_2 в цепи ООС усилителя можно в небольших пределах регулировать коэффициент усиления. Если чрезмерно уменьшить сопротивление резистора R_2 , возрастет уровень нелинейных искажений из-за уменьшения об-

ратной связи. С увеличением сопротивления резистора R_2 , уменьшаются усиление и нелинейные искажения (из-за увеличения глубины ООС). Значительное увеличение сопротивления резистора R_2 вызывает возбуждение усилителя, что присуще усилителям с глубокой обратной связью. Частотная характеристика в области низких частот определяется постоянными времени цепей R_{1C2} , R_2C_1 , R_{HC7} . Чтобы повысить устойчивость усилителя, рекомендуется к выводу 10 ИМС подключать конденсатор емкостью 100 мкф.

Электрические параметры ИМС К157УН1А,Б при $25 \pm 10^\circ\text{C}$ и $U_{\text{н.п.ном}}$

Ток потребления $I_{\text{пот}}$, мА, не более:

К157УН1А 5

К157УН1Б 6

Номинальное напряжение питания

$U_{\text{н.п.ном}}$, В:

К157УН1А 9

К157УН1Б 12

Чувствительность S , мВ:

К157УН1А при $U_{\text{вых}} = 1,8 \text{ В}$,

$f = 1 \text{ кГц}$, $R_{\text{н}} = 6,5 \text{ Ом}$ 15...31

К157УН1Б при $U_{\text{вых}} = 3 \text{ В}$,

$f = 1 \text{ кГц}$, $R_{\text{н}} = 6,5 \text{ Ом}$ 25...50

Коэффициент гармоник $K_{\text{г}}$, %, не более:

К157УН1А при $U_{\text{вых}} = 2,2 \text{ В}$,

$f = 1 \text{ кГц}$, $R_{\text{н}} = 6,5 \text{ Ом}$ 5

К157УН1Б при $U_{\text{вых}} = 3 \text{ В}$,

$f = 1 \text{ кГц}$, $R_{\text{н}} = 6,5 \text{ Ом}$ 1

Полоса пропускания Δf , кГц, при

$U_{\text{вх}} = 2 \text{ мВ}$, $R_{\text{н}} = 6,5 \text{ Ом}$ 0,05...15

Предельные эксплуатационные параметры ИМС К157УН1А,Б

Минимальное напряжение питания

$U_{\text{н.п.}}$, В:

К157УН1А 5,6

К157УН1Б 9

Максимальное напряжение питания

$U_{\text{н.п.}}$, В:

К157УН1А 10

К157УН1Б 15

Напряжение на выводах 7, 1 $U_{7,1}$, В,
не более:

K157УН1А 10

K157УН1Б 15

Выходной ток $I_{\text{вых}}$, мА, не более 15

Выходная мощность $P_{\text{вых}}$, мВт, не бо-
лее 30

ИМС K157ДА1 (рис. 3.8) представляет собой двухканальный двухполупериодный выпрямитель среднего значения сигналов. ИМС используют в цепи управления приборами индикации средних уровней записываемого сигнала в стереофонических магнитофонах.

Функциональная схема ИМС состоит из буферных усилителей А1, А3, преобразователей А4, А5 двухполярного сигнала в однополярный и стабилизатора режима А2.

Выходные напряжения на нагрузке каждого канала ИМС (конденсаторах фильтра С1, С2 и стрелочных измерительных приборах Р1, Р2 (рис. 3.8 г) имеют положительную полярность. Уровни выходных напряжений с высокой точностью соответствуют средневыпрямленным значениям входных сигналов в диапазоне свыше 50 дБ, что позволяет использовать ИМС в различных устройствах бытовой аппаратуры магнитной записи, а также измерительной технике в каче-

стве преобразователя переменного напряжения в постоянное. Предварительные усилители построены аналогично ИМС K157УД2, т. е. являются операционными усилителями, с той лишь разницей, что в K157ДА1 корректирующие конденсаторы и резисторы цепи общей ООС, определяющие коэффициент передачи, находятся в кристалле.

Входные каскады усилителей обоих каналов выполнены по дифференциальной схеме на транзисторах VT1, VT9 (VT2, VT10) (см. рис. 3.8 б).

Вторые каскады – усилители напряжения – собраны на транзисторах VT11, VT13 (VT12, VT14).

Усилители мощности – на транзисторах VT17, VT18 (VT19, VT20) – двухтактные, работающие без начального смещения. Коллекторы каждого из транзисторов усилителя мощности подключены к "токовому зеркалу" на парах транзисторов VT21, VT23 (VT22, VT24) и VT27, VT32 (VT28, VT33). Нагрузкой каскада является делитель R1R5 (R2R6) в цепи ООС.

Воздействие на вход усилителя сигналов отрицательной или положительной полярности приводит к появлению импульса тока в коллекторной цепи транзистора структуры р-п-р или п-р-п усилителя мощно-

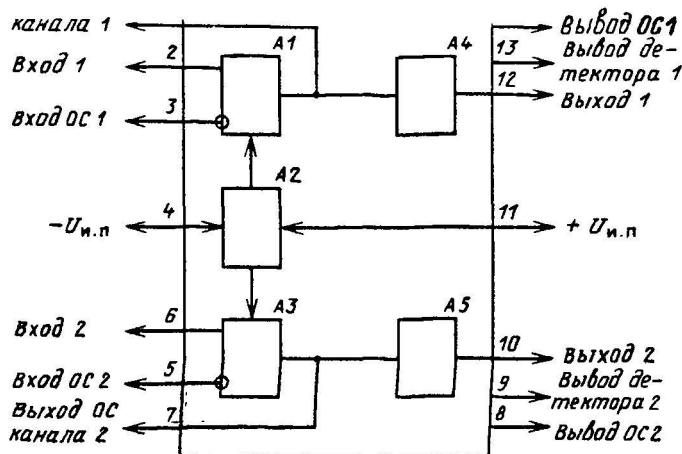


Рис. 3.8 а. Функциональная схема ИМС K157ДА1

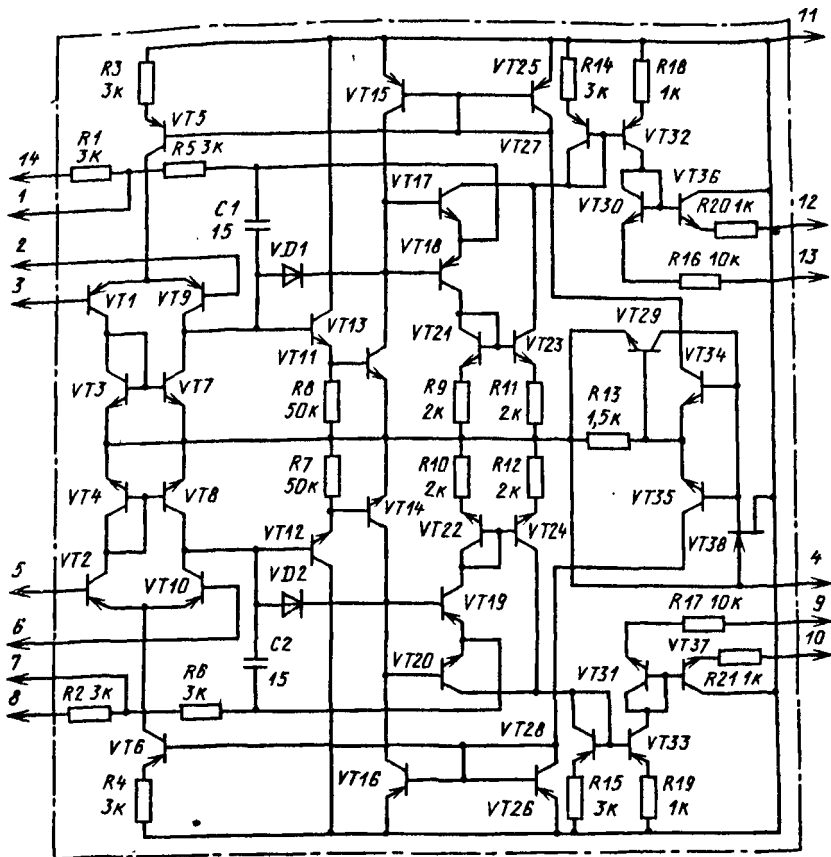


Рис. 3.8 б. Принципиальная схема ИМС K157DA1

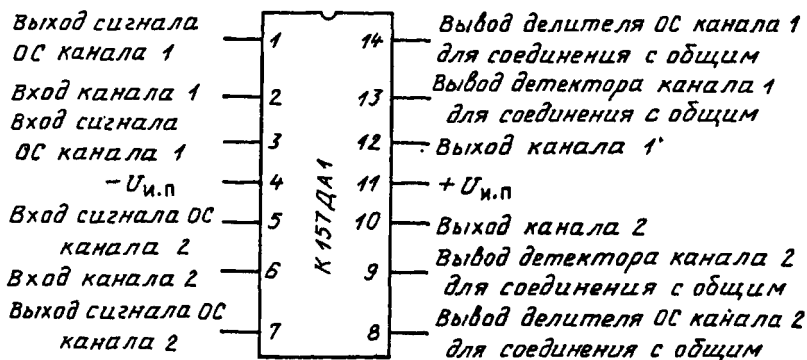


Рис. 3.8 в. Назначение выводов ИМС K157DA1

сти, которые затем подаются в виде импульсов тока одной полярности к коллектору и базе транзистора VT27 (VT28) в диодном включении и связанного с ним транзистора VT32 (VT33). Последний эквивалентен трем

параллельно включенным транзисторам VT27 (VT28), и поэтому амплитуда импульсов его коллекторного тока в три раза превышает амплитуду тока транзисторов VT27 (VT28). Выходное напряжение, представляющее

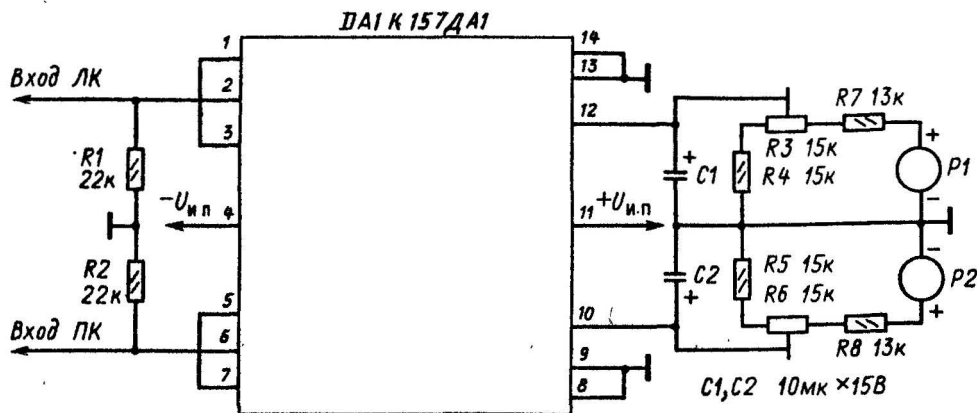


Рис. 3.8 г. Типовое включение ИМС К157ДА1 в схеме двухканального двухполупериодного выпрямителя среднего значения сигнала

собой усиленное и выпрямленное входное напряжение (обеих полярностей), выделяется на нагрузочных резисторах $R16$ ($R17$) и подводится к выходу через эмиттерный повторитель на $VT36$ ($VT37$). Транзистор $VT30$ ($VT31$) компенсирует постоянное напряжение база-эмиттер транзистора эмиттерного повторителя. Для устойчивой работы в микросхеме предусмотрена внутренняя коррекция АЧХ (конденсаторы $C1$, $C2$).

Постоянные времени заряда и разряда определяются произведениями емкости усредняющего конденсатора фильтра (подключаемого к выводу 12 в одном канале и 10 в другом) на сопротивление резистора $R20$ ($R21$) микросхемы и сопротивление нагрузки.

Электрические параметры ИМС К157ДА1 при $25 \pm 10^\circ\text{C}$ и $U_{н.п.ном} = \pm 15\text{ В}$

Коэффициент усиления по напряжению	
K_{yU}	7...10
Выходное напряжение $U_{вых}$, В, не менее	9
Выходное напряжение покоя $U_{вых.п}$, мВ, не более	50
Входной ток $I_{вх}$ каждого канала, нА, не более	200

Ток потребления $I_{пот}$ в отсутствие сигнала (по двум каналам), мА, не более

Выходной ток $I_{вых}$ каждого канала, мА, не менее

Предельные эксплуатационные параметры ИМС К157ДА1

Напряжение питания $U_{н.п}$, В:

минимальное

максимальное

Верхняя граничная частота $f_{гр.в}$, кГц, не менее

Рассеиваемая мощность $P_{расс}$, мВт при $-25...+25^\circ\text{C}$, не более

При питании от двухполярного источника (см. рис. 3.8 а) выводы 14 ИМС соединяют с общим проводом и относительно него снимают пропорциональное входному сигналу выходное напряжение (вывод 11). Однако в некоторых устройствах, например, в портативных, удобнее использовать один источник питания. В этом случае ИМС включают, как показано на рис. 3.9. Здесь вывод 11 соединен с отрицательным полюсом источника питания, поэтому и выпрямленное напряжение измеряется относительно этого полюса.

Эта возможность использована в индикаторе уровней сигнала (ИУС) с линейным газоразрядным индикатором ИН13 (рис. 3.10). Для его нормальной работы необходимо, чтобы начальная длина светящейся линейки была равна приблизительно 10 мм. Однако коэффициент, связывающий ее длину и ток через индикатор, для разных экземпляров ИН13 различен (разброс около 30 %), поэтому устройство должно обеспечивать независимую регулировку начального уровня и коэффициент преобразования переменного напряжения в постоянное.

ИУС состоит из двухполупериодного детектора (ДА1) и стабилизатора тока на транзисторе VT1. Этот ток пропорционален сумме напряжения смещения, поступающего с движка подстроечного резистора R2, и выпрямленного напряжения звуковой частоты. При наладке устройства резистором R2 устанавливают необходимую длину светящейся линейки в отсутствие входного сигнала (начало шкалы), а затем резистором R1 — длину, соответствующую 0 дБ (0,775 В) при номинальном уровне напряжения на входе. Чувствительность измерителя можно регулировать подбором резистора R3.

Измерители, собранные по типовой схеме и по схемам, приведены на рис. 3.9. и 3.10, обеспечивают регистрацию квазипиковых значений входного сигнала. Время интеграции та-

кого измерителя определяется сопротивлением резистора R20 (R21) (см. рис. 3.8 б), емкостью конденсатора C3 (см. рис. 3.9) и при указанных на схемах номиналах примерно равно 10 мс. Время обратного хода зависит от сопротивления цепи разряда конденсатора C3 и в данном случае составляет около 300 мс. ИМС K157ДА1 позволяет регистрировать максимальный квазипиковый уровень двух и более (если используется несколько микросхем) каналов на одном индикаторе. Для этого низкоомные выхо-

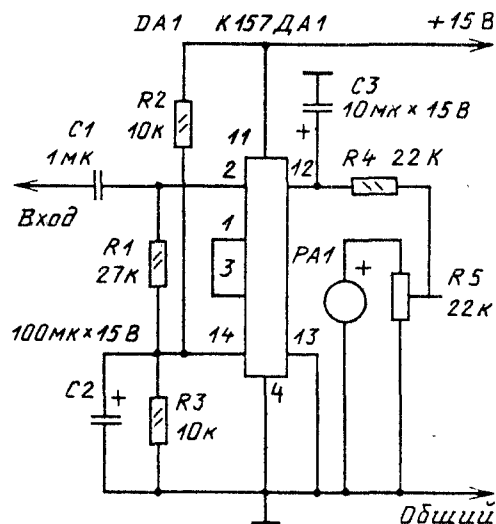


Рис. 3.9. Включение ИМС K157ДА1 при однопольном источнике питания

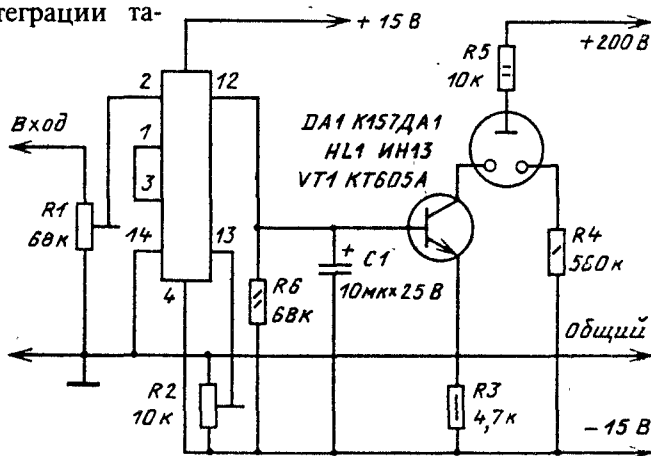


Рис. 3.10. Индикатор уровней сигнала с линейным газоразрядным индикатором на ИМС K157ДА1

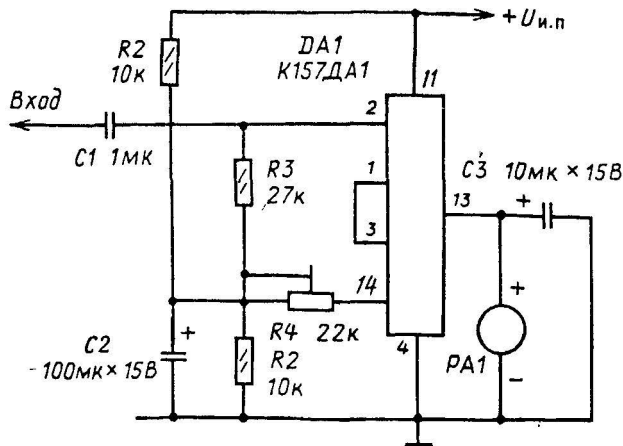


Рис. 3.11. Схема ИУС среднего значения сигнала на ИМС K157ДА1

ды (выводы 10, 12) соединяют вместе и используют один запоминающий конденсатор и регистрирующий прибор.

Часто требуется измерять не квазипиковое, а среднее значение сигнала. В звуковоспроизводящей аппаратуре оно более точно соответствует субъективному восприятию громкости звучания, а в измерительной технике позволяет точнее оценить эффективное значение переменного напряжения с неизвестным гармоническим составом. Для построения преобразователей среднего значения переменного напряжения в постоянное можно использовать высокоомный выход микросхемы (вывод 13), усредняя выходной ток конденсатором $C3$ (рис. 3.11). Коэффициент преобразования ИМС в таком включении — около 50 мкА/В. Его можно регулировать, изменяя глубину ООС (резистором $R4$), охватывающей усиленную часть микросхемы.

Высокоомный выход микросхемы весьма удобен для построения измерителей переменного напряжения звуковой частоты с неравномерной, например, логарифмической шкалой. При этом, если обеспечить на нем нулевой потенциал, низкоомный выход (вывод 12) можно использовать одновременно для регистрации пиковых значений входного сигнала. На

рис. 3.12 а приведена схема такого комбинированного ИУС. Здесь низкоомный выход микросхемы $DA1$ использован для запуска одновибратора ($DD1$, $C1$, $R9$), нагруженного индикатором пиковой перегрузки — светодиодом $HL1$, а высокоомный — для формирования логарифмической шкалы показаний измерительного прибора $PA1$. Порог срабатывания пикового индикатора устанавливают подстроечным резистором $R7$.

Выходное напряжение индикатора зависит от уровня входного сигнала (рис. 3.12 б).

Наладку индикатора начинают подачи на вход сигнала, соответствующего уровню 0 дБ (775 мВ). Подстроечным резистором $R7$ устанавливают на конденсаторе $C2$ напряжение 3,5 В, а резистором $R12$ добиваются отклонения стрелки прибора $PA1$ от отметки 0 дБ. После этого сигнал на входе увеличивают на 1,5 дБ и резистором $R7$ добиваются зажигания светодиода $HL1$. На этом регулировку можно считать законченной.

ИМС K157ХП1 (рис. 3.13) предназначена для управления прибором индикации пиковых сигналов в канале записи стереофонических магнитных фонограмм и формирования сигналов управления для системы автоматического регулирования уровня записи (АРУЗ). Представляет собой двухк-

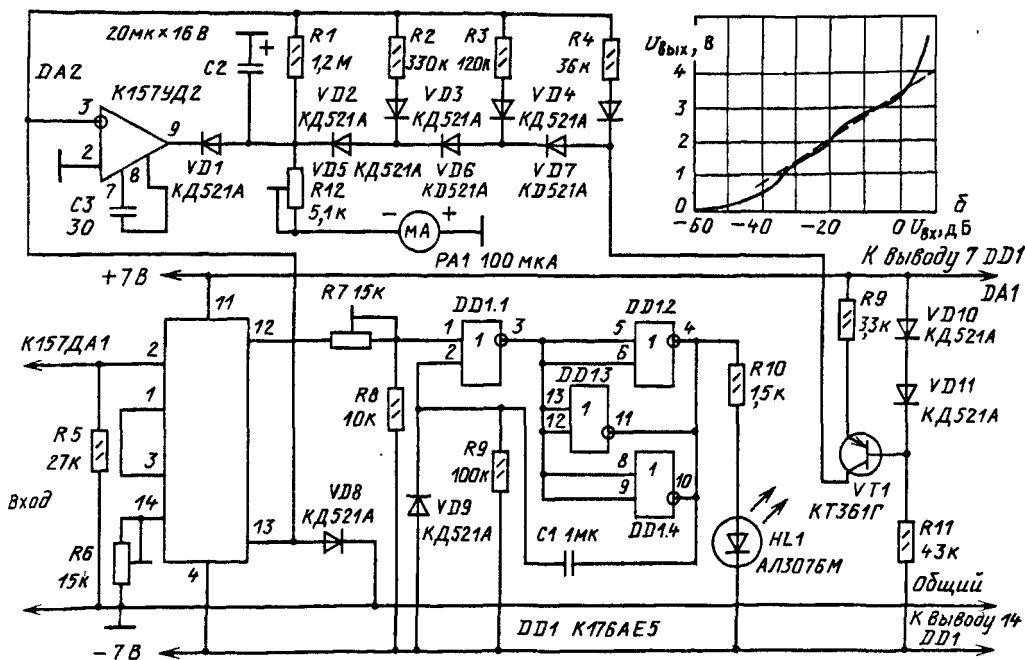


Рис. 3.12 а. Схема комбинированного ИУС на ИМС К157ДА1

Рис. 3.12 б. Зависимость выходного напряжения комбинированного ИУС на ИМС К157ДА1 от уровня входного сигнала

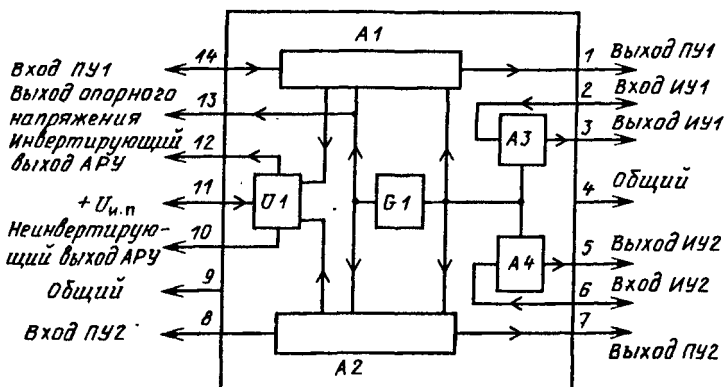


Рис. 3.13 а. Функциональная схема ИМС К157ХП1

нальное устройство, каждый канал которого состоит из предварительного усилителя (A1, A2) с амплитудным дискриминатором на входе (вырабатывающим сигнал, если амплитуда входного сигнала положительной по-

лярности превышает образцовое напряжение) и индикаторного усилителя (A3, A4), включающего в себя формирователи временных интервалов и выходных импульсов с усилителем мощности для управления

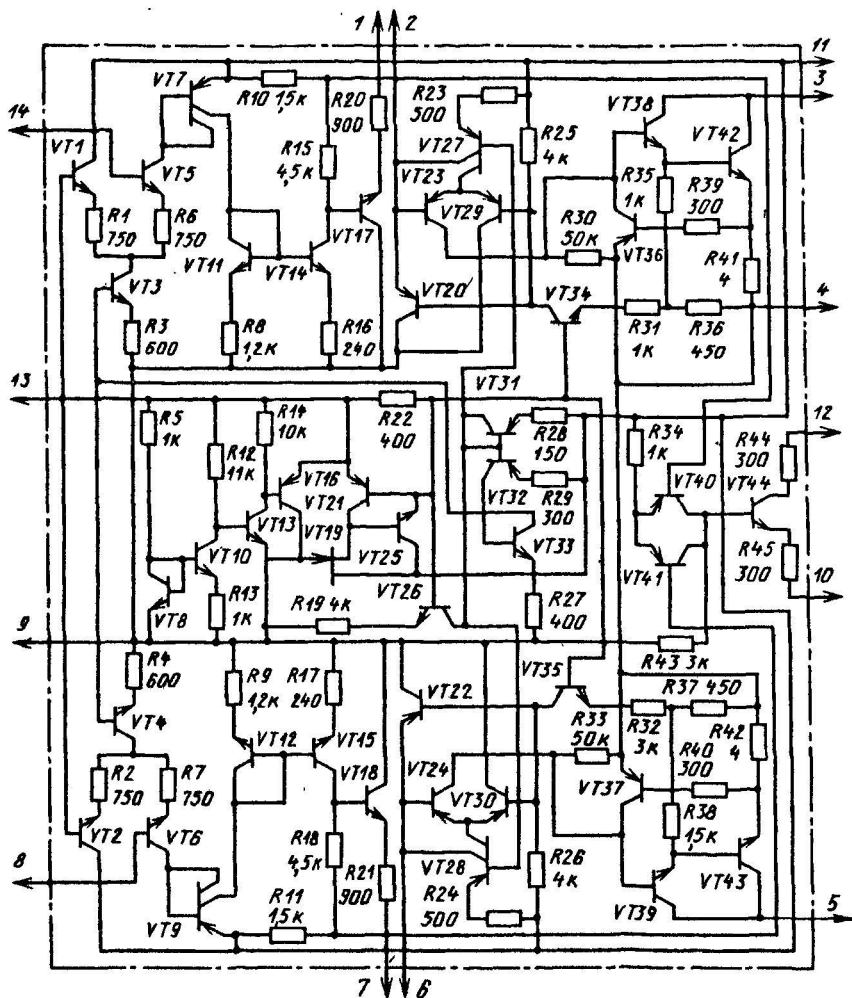


Рис. 3.13 б. Принципиальная схема ИМС К157ХП1



Рис. 3.13 в. Назначение выводов ИМС К157ХП1

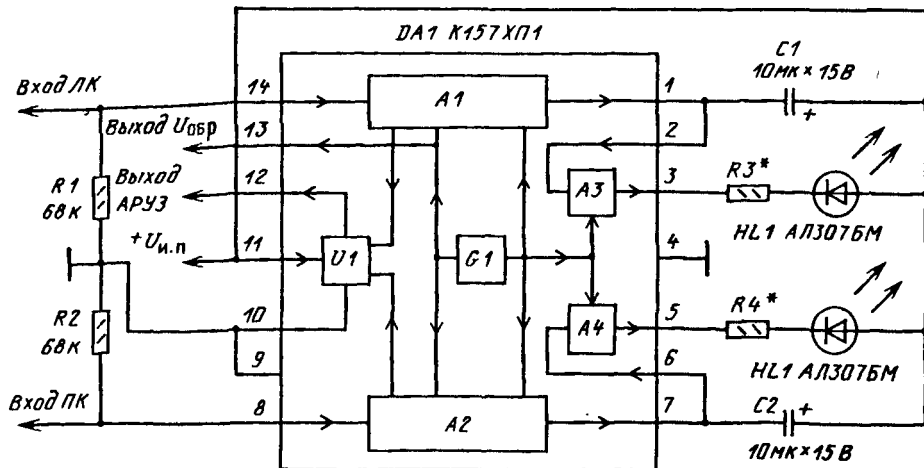


Рис. 3.13 г. Типовое включение ИМС K157XP1 в схеме двухканального порогового устройства управления приборами индикации пиковых уровней записи с выпрямителем для системы АРУЗ

внешними индикаторными приборами. Общим для обоих каналов являются устройство $G1$, задающее образцовые и смещающие напряжения для обоих усилителей, и выпрямитель $U1$ системы АРУЗ, обрабатывающий сумму сигналов двух каналов.

Амплитудный дискриминатор выполнен на дифференциальной паре транзисторов $VT1$, $VT5$ ($VT2$, $VT6$). База транзистора $VT1$ ($VT2$) подключена к внутреннему источнику образцового напряжения $U_{обр} = 1,25 \dots 1,35$ В. Суммарный эмиттерный ток этих транзисторов определяется генератором тока на $VT3$ ($VT4$) и равен 100 мкА. Изменение уровня входного сигнала на базе транзистора $VT5$ ($VT6$) в диапазоне от -125 до $+125$ мВ (эквивалентное изменение амплитудного значения напряжения сигнала на 250 мВ) приводит к переходу транзисторов дифференциальной пары из одного устойчивого состояния в другое. Благодаря резисторам в цепи эмиттеров дифференциальной пары расширен диапазон входных сигналов амплитудного дискриминатора микросхемы, обеспечивающий более четкую индикацию моментов перегрузки кратковременными сигналами канала записи. Импульс тока, возникающий в цепи коллектора

транзистора $VT5$ ($VT6$) при появлении сигналов с уровнем, превышающим пороговое значение, поступает диодное плечо первого токового отражателя, выполненного на $VT7$ ($VT9$), а с него — через отражатель тока и транзисторах $VT11$, $VT14$ ($VT12$, $VT15$) и резисторы $R15$, $R10$ ($R18$, $R11$) — на базы "нормально закрытых" транзисторов $VT17$ ($VT18$) времязадающего устройства и транзисторы $VT40$ ($VT41$) устройства формирования сигналов для системы АРУЗ.

Соотношение резисторов $R8$ ($R9$) и $R16$ ($R17$), а также топология транзистора $VT7$ ($VT9$) выбраны так, что коллекторный ток $VT14$ ($VT15$) в десять раз больше коллекторного тока $VT5$ ($VT6$). Транзистор $VT17$ ($VT18$) обеспечивает дальнейшее усиление тока, необходимого для быстрой зарядки времязадающего конденсатора, включаемого между выводом 1 (7) ИМС и положительным полюсом источника питания. Времязадающий конденсатор заряжается до напряжения, равного падению напряжения, создаваемого импульсом тока на резисторах $R15$ ($R18$) и $R10$ ($R11$), за вычетом напряжения на эмиттерном переходе транзистора $VT17$ ($VT18$). Это напряжение для случая максимальной перегрузки равно примерно 5,3 В.

Постоянная времени зарядки равна произведению сопротивления резистора $R20$ ($R21$) на емкость внешнего конденсатора, подключаемого между выводом 2 (6) и положительным полюсом источника питания. При повышении напряжения на конденсаторе до 0,7 В транзистор $VT23$ ($VT24$) дифференциальной пары формирователя выходных импульсов открывается, а $VT29$ ($VT30$) — закрывается. Нагрузкой усилителя мощности на $VT38$, $VT42$ ($VT39$, $VT43$), является прибор световой индикации перегрузки, подключаемый к выходу 3 (4).

Источник образцового напряжения выполнен на транзисторах $VT8$, $VT10$, $VT13$, $VT16$, возбуждаемых генератором тока на $VT21$, $VT25$ и резисторе $R22$. Режимы работы ИМС то постоянному току задают генераторы тока на $VT26$, $VT34$, $VT35$ и токовые отражатели на $VT31$, $VT32$, $VT27$, $VT28$, $VT33$, $VT3$, $VT4$. Сигнал для системы АРУЗ формирует $VT44$, который управляется напряжением, выделяемым на $R43$ — нагрузке транзисторов $VT40$ и $VT41$.

Для индикации могут быть использованы светодиоды, лампы накаливания и др. Постоянная времени индикации определяется емкостью конденсаторов $C1$, $C2$.

Максимальный выходной ток I_{\max} закрытого индикаторного усилителя, мА, не более.....
Выходной ток покоя $I_{\text{пок}}$ выпрямителя системы АРУЗ, мА, не более.....
Входной ток предварительного усилителя $I_{\text{вх}}$, мА, не более.....

Предельные эксплуатационные параметры ИМС K157ХП1

Напряжение источника питания, В:
минимальное.....
максимальное.....
Напряжение на входах предварительного усилителя $U_{\text{вх}}$, В не более.....
Выходной ток по выводам 3 и 5 $I_{3,5}$, мА, не более.....
Выходной ток по выводам 10 и 12 $I_{10,12}$, мА, не более.....
Рассеиваемая мощность $P_{\text{расс}}$, мВт, не более.....

ИМС K157ХП2 (рис. 3.14) предназначена для создания генератора тока стирания и подмагничивания и стабилизатора напряжения с электронным управлением. Она включает себя источник образцового напряжения $G1$ с устройством управления временем включения и выключения усилитель сигнала рассогласования

Электрические параметры ИМС K157ХП1 при $25 \pm 10^\circ\text{C}$ и $U_{\text{и.п.ном}} = 15 \text{ В}$

Ток потребления $I_{\text{пот}}$, мА, не более.....
Выходное образцовое напряжение $U_{\text{обр}}$, В.....
Напряжение порога срабатывания по выходу $U_{\text{срб}}$ индикаторного усилителя и системы АРУЗ, В.....
Напряжение отпущения $U_{\text{отп}}$ по выходу индикаторного усилителя и системы АРУЗ, В, не менее.....
Выходной ток покоя предварительного усилителя $I_{\text{вх}}$, мА.....
Выходной ток покоя индикаторного усилителя $I_{\text{вх}}$, мА.....
Выходное напряжение предварительного усилителя $U_{\text{вх}}$, В.....

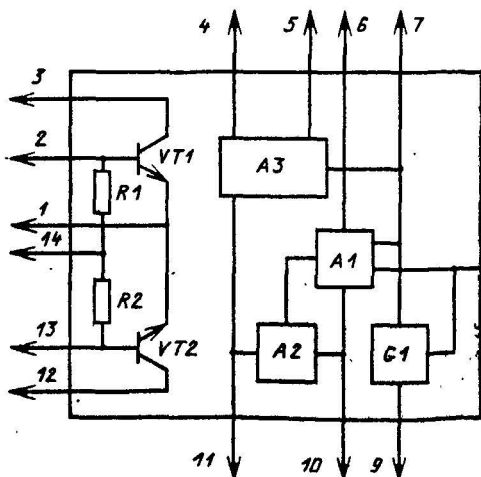


Рис. 3.14 а. Функциональная схема ИМС K157ХП2

A1, регулятор
ковой и
делитель
ные стр
для созд
ния и
мое вых
тора мо

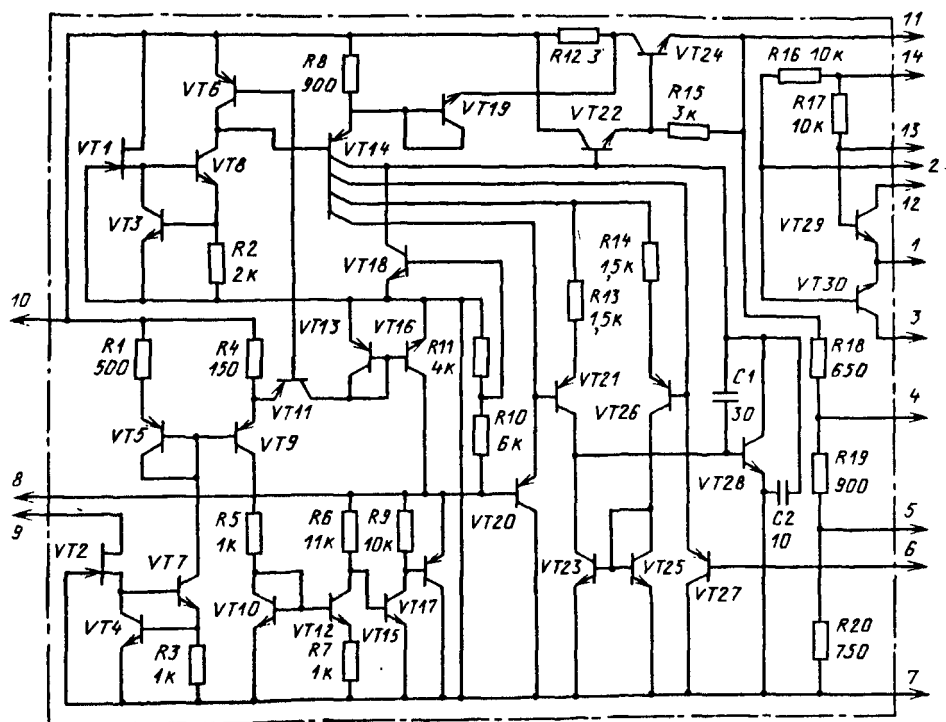


Рис. 3.14 б. Принципиальная схема ИМС K157XP2

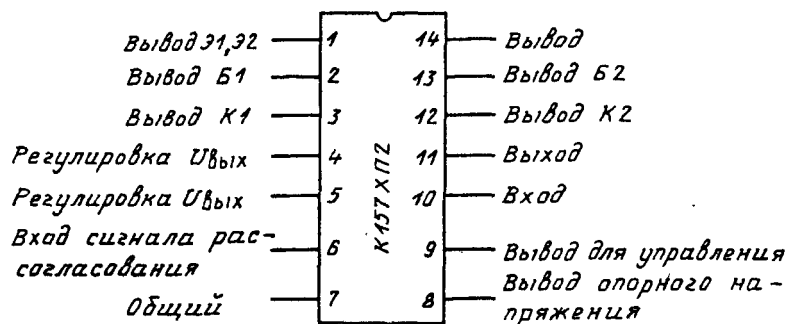


Рис. 3.14 в. Назначение выводов ИМС K157XP2

А1, регулирующий элемент А2 с токовой и тепловой защитой, выходной делитель А3 и отдельные транзисторные структуры с цепями смещения для создания генератора токов стирания и подмагничивания. Необходимое выходное напряжение стабилизатора может быть установлено как

внутренним, так и внешним делителем, подключаемым к выводам 11, 6, 7 микросхемы. Допускается совместное использование делителей. В случае, когда применяется внутренний делитель, могут быть установлены выходные напряжения, близкие к указанным ниже.

мальной работы стабилизатора входное напряжение должно превышать выходное не менее чем на 2,5 В. Время включения и выключения выходного напряжения стабилизатора определяется емкостью конденсатора, подключаемого к выводам 7 и 8 микросхемы.

При температуре окружающей среды от 25 до 70°C рассеиваемая мощность, Вт, рассчитывается по формуле:

$$P_{\text{расс}} = \frac{125 - t_{\text{окр.ср.}}}{100}$$

Электрические параметры ИМС K157ХП2 при 25±10°C

Пределы регулирования выходного напряжения $U_{\text{вых}}$, В	1,3...33
Выходное напряжение закрытого стабилизатора $U_{\text{зап}}$, В, не более	0,1
Ток холостого хода $I_{\text{хх}}$, мА	3,2...7,0
Ток холостого закрытого стабилизатора $I_{\text{зап}}$, мА	0,5...2,0
Входной ток усилителя сигнала рассогласования $I_{\text{вх}}$, мкА, не более	0,5
Выходной ток $I_{\text{вых}}$ устройства управления временем включения, мА	0,1...2,6
Ток, потребляемый устройством управления временем включения, $I_{\text{упр}}$, мА	1,0...2,9
Коэффициент неустойчивости, не более:	
по напряжению	±0,002
по току	±0,01
Относительный температурный коэффициент выходного напряжения, %/°C, не более	±0,05
Ток короткого замыкания $I_{\text{к.з}}$, мА, не более	150...450
Напряжение насыщения коллектор-эмиттер $U_{\text{к.э.нас}}$ транзисторных структур при $I_{\text{к}}=100$ мА, $I_{\text{б}}=2,5$ мА, В, не более	0,75
Напряжение насыщения база-эмиттер $U_{\text{э.б.нас}}$ транзисторных структур, В, при $I_{\text{к}}=100$ мА, $I_{\text{б}}=2,5$ мА, не более	1,25
Начальный ток коллектора $I_{\text{н}}$ транзисторных структур, мкА, при $R_{\text{б}}=10$ кОм, не более	1

Предельные эксплуатационные параметры ИМС K157ХП2

Входное напряжение $U_{\text{вх}}$, В	4...40
Выходной ток стабилизатора $I_{\text{вых}}$, мА, не более	150
Напряжение коллектор-эмиттер $U_{\text{к.э}}$ транзисторных структур, В, не более	40
Напряжение эмиттер-база транзисторных структур $U_{\text{э.б}}$, В, не более	7
Постоянный ток коллектора $I_{\text{к}}$ транзисторных структур, мА, не более	150
Рассеиваемая мощность $P_{\text{расс}}$, Вт, в диапазоне температур -25...+25°C	1

ИМС K157ХП3 (рис. 3.15) предназначена для систем понижения шумов при прослушивании звуковых программ. Ее основная часть – управляемый ФНЧ, полоса пропускания которого автоматически изменяется в зависимости от спектра входного сигнала с учетом особенностей слухового восприятия звука.

Функциональная схема ИМС приведена на рис. 3.15.

Управляемый фильтр (УФ) с перестраиваемой частотой среза представляет собой активный ФНЧ 2-го порядка, выполненный на ОУ А3. В качестве управляемых напряжением резисторов R_{U1} и R_{U2} использованы каналы линеаризованных и идентичных по конструкции МДП-транзисторов с индуцированным каналом р-типа. Коэффициент передачи ФНЧ в полосе пропускания задан отношением сопротивлений резисторов R_2 , R_4 и равен 5. Форма АЧХ УФ определяется соотношением емкостей конденсаторов, включаемых между выводами 11 и 18 в цепи ООС и емкостью конденсатора на входе усилителя (между выводом 12 и общим проводом). Для уменьшения искажений номинальное входное напряжение (его подают на вывод 17) выбрано небольшим, около 100 мВ. На входе ИМС включен повторитель напряжения А1, ослабляющий влияние внешнего входного делителя на АЧХ УФ. Сигнал, усиленный ОУ А3 до уровня

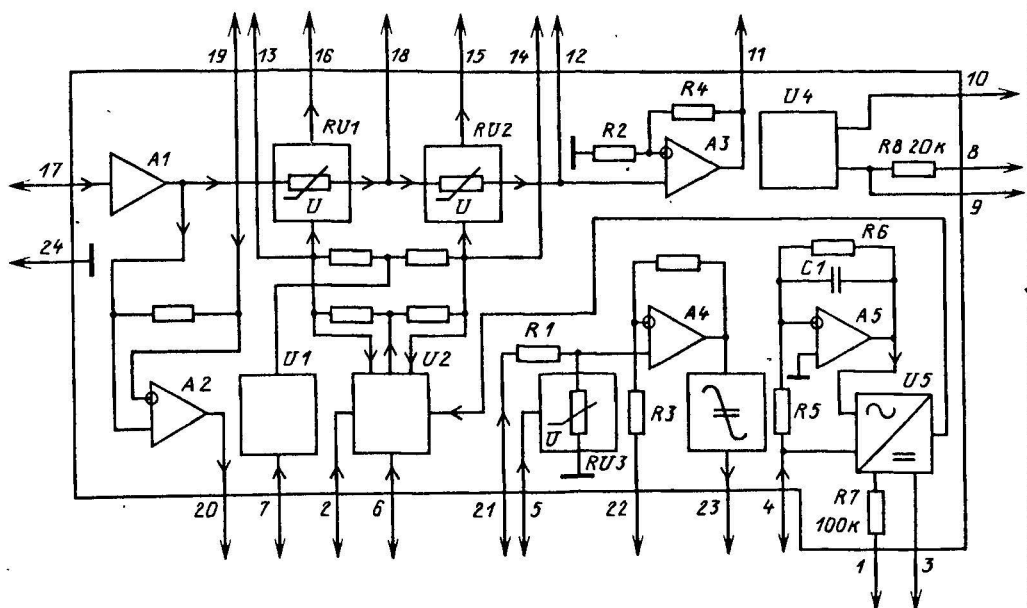


Рис. 3.15 а. Функциональная схема ИМС K157XP3

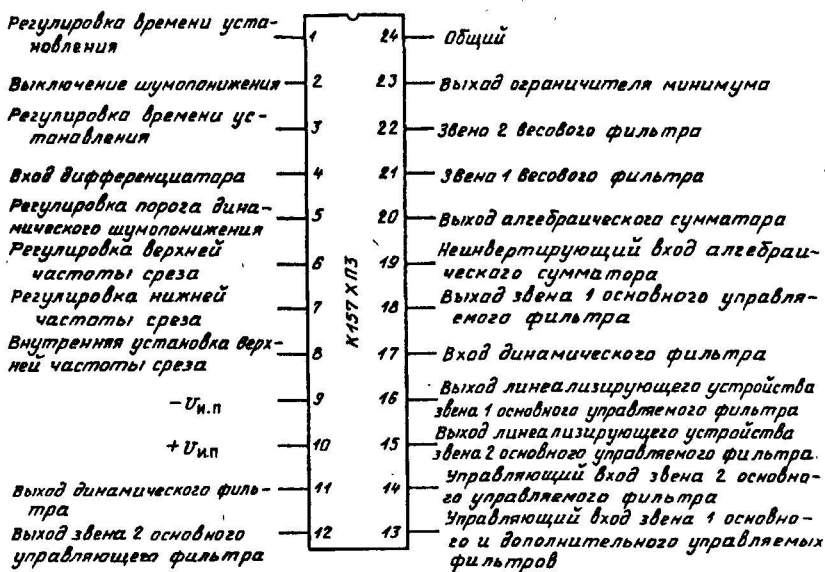


Рис. 3.15 б. Назначение выводов ИМС K157XP3

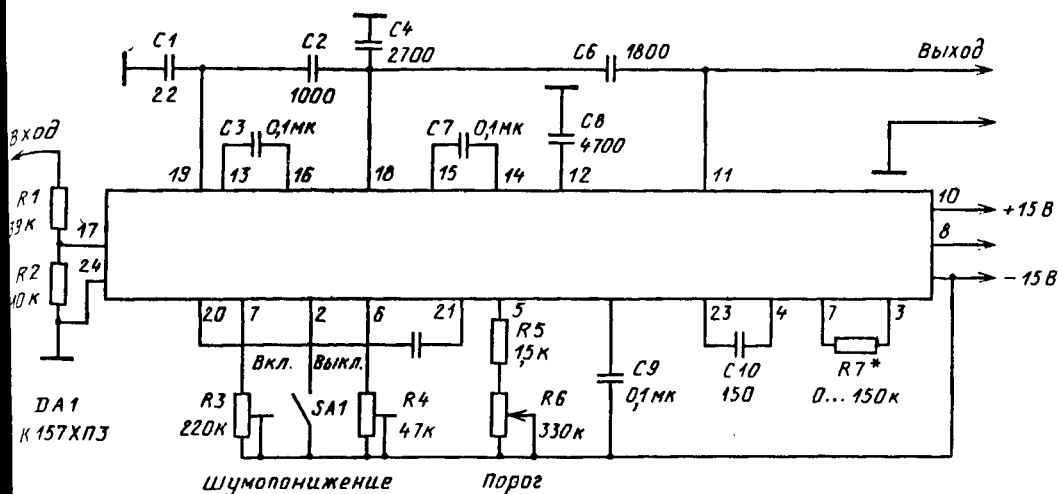


Рис. 3.15 в. Типовая схема включения ИМС К157ХПЗ

500 мВ, поступает на выход устройства (вывод 11).

Канал управления состоит из алгебраического сумматора А2, управляющего усилителя А4, ограничителя минимума U3, частотного корректора-дифференциатора А5, амплитудного детектора U5, регулятора U1 начального (нижнего) значения частоты среза ($f_{в.гр.н}$) и регулятора-ограничителя U2 ее конечного (верхнего) значения ($f_{в.гр.к}$). Кроме того, в ИМС входят источники образцового напряжения и стабилизированных токов, условно объединенные на схеме в блок U4.

Шумоподавляющее устройство на ИМС К157ХПЗ (см. рис. 3.15 в) способно подавлять шумы звуковой программы с динамическим диапазоном 7...50 дБ, практически не внося искажений в обрабатываемый сигнал. Уменьшение напряжения шума на выходе фильтра в широкой полосе частот достигает 15 дБ, в области выходящих звуковых частот — превышает 20 дБ. При номиналах конденсаторов C4, C6, C8, указанных на схеме ЧХУ УФ вблизи частоты среза имеет небольшой подъем (около 0,5 дБ), а выше этой частоты падает с наклоном — 12 дБ на октаву.

Эффект понижения шума в динамической системе шумоподавления (ДСПШ), выполненной на ИМС К157ХПЗ, основан на следующем принципе. При отсутствии входного сигнала или очень малом уровне высокочастотных составляющих в его спектре полоса пропускания УФ ограничена частотой $f_{в.гр.н}$ равной 800...1600 Гц (в зависимости от установленного начального значения частоты среза). Сужение полосы пропускания приводит к снижению общего уровня напряжения шума на выходе устройства. Это понижение пропорционально корню квадратному из отношения частот $f_{в.гр.к}$ и $f_{в.гр.н}$. Если, например, первая из них установлена равной 20, а вторая — 1,6 кГц, то выигрыш по шумам составит около 11 дБ. При более широкой полосе (0,8...20 кГц) эффективность системы возрастает до 14 дБ. Оценка эффективности системы с использованием частотно-взвешивающего фильтра МЭК-А показывает, что снижение напряжения шума в последнем случае превышает 15 дБ.

Когда во входном сигнале появляются высокочастотные составляющие достаточного уровня, полоса пропускания УФ соответствующим образом

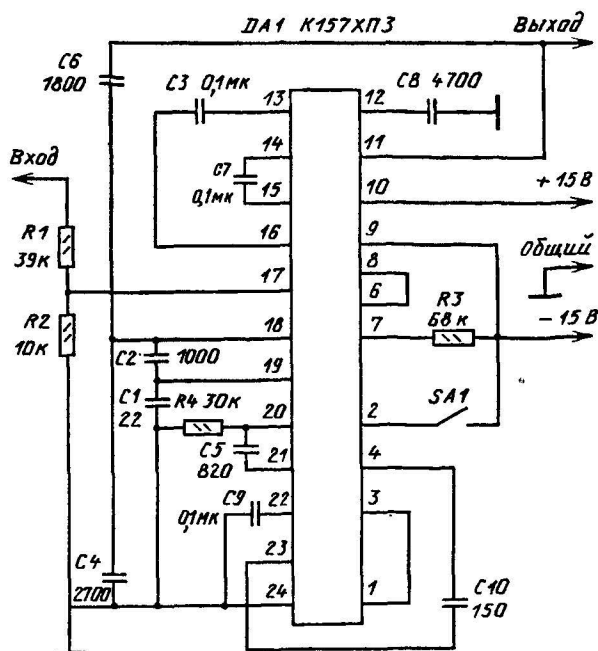


Рис. 3.16. Схема включения ИМС K157XP3 в массовой радиоаппаратуре

расширяется, но возрастающий при этом шум не воспринимается слухом из-за эффекта маскирования его полезным сигналом с более высокой энергией. Точность управления полосой пропускания УФ в значительной степени определяется амплитудно-частотной и переходной характеристиками канала управления.

Включение (выключение) режима шумопонижения осуществляется размыканием (замыканием) контактов выключателя SA1.

Схема включения ИМС K157XP3 в массовой аппаратуре приведена на рис. 3.16.

Начальное и конечное значения верхней граничной частоты $f_{в.гр.н}$ и $f_{в.гр.к}$ можно изменить соответствующим подбором конденсаторов C4, C6, C8 (зависимость обратно пропорциональная). Кроме того, предусмотрена возможность раздельной установки этих частот изменением минимального (резистором R3 на рис. 3.15 в) и максимального (рези-

стором R4) сопротивлений управляемых резисторов RU1 и RU2 (увеличение сопротивлений этих резисторов понижает оба значения верхней граничной частоты, уменьшение — увеличивает). Перед тем как установить требуемую $f_{в.гр.к}$ вывод 20 необходимо соединить с общим проводом.

Под порогом шумопонижения рассматриваемой ДСПШ подразумевается такой уровень входного сигнала 6 кГц, при котором коэффициент передачи УФ уменьшается на 3 дБ относительно к коэффициенту передачи на этой частоте при выключенном режиме шумопонижения. ИМС K157XP3 допускает установку необходимого порога как с помощью регулируемого резистора RU3 (рис. 3.15 а), так и соответствующим выбором внешнего делителя. Первый из этих способов предпочтительнее, если резистор оперативной регулировки порога необходимо расположить вдали от ИМС, и на входе ее канала управления возможны наводки.

этом случае порог шумопонижения определяется суммарным сопротивлением резисторов $R5$, $R6$ (см. рис. 3.15 в): при $R6=0$ он находится на уровне -30 дБ, а при $R6=330$ кОм достигает -50 дБ. Резистор $R5$ предотвращает выход ИМС из нормального режима при повышенном напряжении питания и полностью введенном резисторе $R6$. Если же необходимости в оперативном изменении порога нет, его устанавливают включением постоянного резистора сопротивлением около 30 кОм между выводом 20 и общим выводом (резистор $R28$, рис. 3.16). Вывод 5 при этом не используют.

Конденсаторы $C5$, $C9$, резисторы $R1$, $R3$ и управляющий усилитель $A4$ (см. рис. 3.23 а) образуют фильтр верхних частот. 2-го порядка с частотой среза около $1,6$ кГц и наклоном АЧХ 12 дБ на октаву. Спад АЧХ за пределом рабочего диапазона частот определяется резистором $R6$ и конденсатором $C1$ в цепи ООС, охватывающей усилитель $A5$. Конденсатор $C2$ увеличивает крутизну спада АЧХ до 18 дБ на октаву. Его емкость выбирают из условия $C2=0,2C8$. Если необходимо изменить АЧХ канала управления для большего подавления различных помех, например, напряжения подмагничивания в магнитопhone или поднесущей частоты в УКВ ЧМ приемнике, дополнительные элементы рекомендуется включать между выводом 20 и общим проводом устройства.

Элементы, определяющие время реакции УФ на нарастание и спад сигнала, за исключением интегрирующих конденсаторов $C3$ и $C7$ в управляющих цепях резисторов $RU1$ и $RU2$, входят в состав ИМС. По этой причине независимое изменение времени реакции ДСПШ на нарастание и спад сигнала невозможно. При номиналах конденсаторов $C3$ и $C7$, указанных на рис. 3.15 в время реакции на нарастание сигнала номинального уровня, примерно равно 1 мс, уровня -40 дБ — около 10 мс, время реак-

ции на спад сигнала максимального уровня — 100 мс. Если необходимо другое время реакции, можно использовать конденсаторы $C3$ и $C7$ другой емкости.

При этом емкость конденсатора $C3$ должна быть равна емкости $C7$ и соотношение между временем реакции на нарастание и спад сигнала останется неизменным. Время реакции ДСПШ на нарастание сигналов малого уровня (от -20 до -40 дБ) можно регулировать (в сторону увеличения) подбором резистора $R27$, включенного между выводами 1 и 3 . Увеличение времени реакции пропорционально сумме сопротивлений этого резистора и резистора $R7$.

Напряжение входного сигнала на выводе 17 устанавливают близким к 100 мВ (номинальное значение) подбором резисторов делителя $R1/R2$. Номиналы резисторов не должны быть слишком большими, поскольку при этом увеличиваются шумы на выходе устройства и напряжение смещения усилителя $A1$. Номинальное значение входного напряжения может быть выбрано и другим, однако это приведет к соответствующему изменению порога шумопонижения (зависимость обратно пропорциональная).

ДСПШ на ИМС $K157ХПЗ$ допускает четырехкратную перегрузку по входу при коэффициенте гармоник K_g не более $0,5\%$ (типовое значение K_g при уровне входного сигнала 400 мВ — $0,1\%$).

Для некоторых экземпляров $K157ХПЗ$ напряжение питания может быть снижено до значений $+U_{н.п}=4$ В, $-U_{н.п}=-8$ В (в чем следует убедиться экспериментально). Для устройств, в которых верхняя граничная частота $f_{в.г.к}$ не превышает $12...13$ кГц, напряжение $-U_{н.п}$ может быть снижено до $-(6...7)$ В благодаря сужению требуемого диапазона изменения управляющего напряжения.

Схема включения ИМС $K157ХПЗ$ при питании от однополярного источника, отрицательный полюс кото-

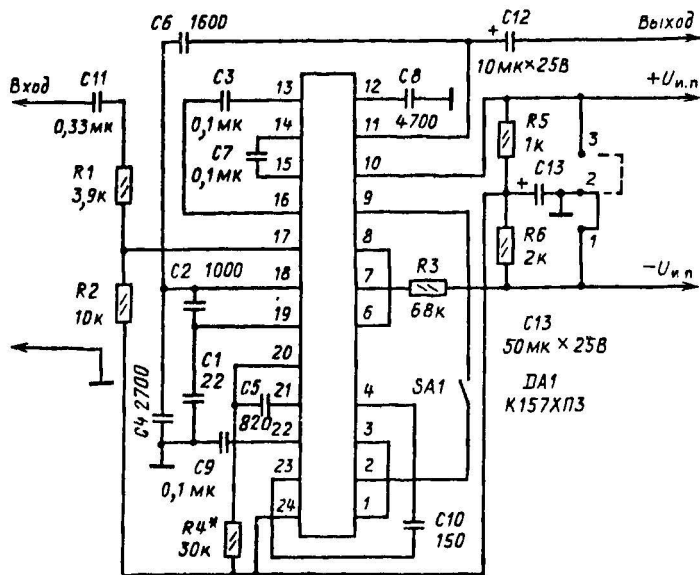


Рис. 3.17. Схема включения ИМС К157ХП3 с однополярным источником питания

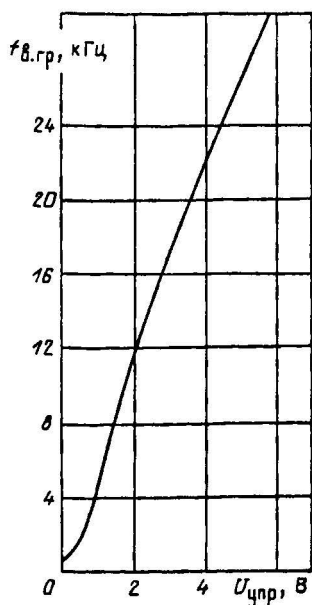


Рис. 3.18. Зависимость верхней граничной частоты от управляющего напряжения

рого соединен с общим проводом устройства, показана на рис. 3.17. Если в качестве общего провода используют положительный полюс источника питания, перемычкой соединяют контакты 2 и 3, а полярность конденсаторов C2 и C3 изменяют на противоположную.

Напряжение однополярного источника питания должно равняться сумме напряжений источников $+U_{н.п}$ и $-U_{н.п}$ при этом на выводе 24 оно должно выходить за границы допустимых значений напряжений. Необходимо также учитывать возможность протекания в цепях выводов 24, 9 и делителя дополнительного тока 0,2...0,8 мА, изменяющего напряжение на выводе 24. При необходимости его компенсируют более тщательным подбором резисторов R5 и R6.

Напряжения, которые подаются на выходы 13 и 14 ИМС, могут быть использованы для управления устройством индикации, отображающим текущее значение полосы пропускания управляемого фильтра. Вход

цепь такого устройства следует выполнить на полевых транзисторах. На рис. 3.18 приведена типовая зависимость верхней граничной частоты от управляющего напряжения $U_{упр}$.

K157ХПЗ можно использовать в качестве ФНЧ как с фиксированной, так и с изменяемой (переменным резистором в цепи вывода б) частотой среза в режиме "Шумопонижение выключено".

Электрические параметры ИМС K157ХПЗ при $25 \pm 10^\circ\text{C}$ и $U_{н.п.ном} = \pm 15\text{ В}$

Коэффициент усиления по напряжению $K_{уУ}$ при $U_{вх} = 100\text{ мВ}$, $f_{вх} = 400\text{ Гц}$ и коэффициенте передачи делителя 5.....4,7...5,3

Ослабление усиления на верхней граничной частоте входного сигнала

$K_{ос.в}$, дБ:

при $U_{вх} = 100\text{ мВ}$,	
$f_{вх} = 20\text{ кГц}$	-2,5...+1
$U_{вх} = 100\text{ мВ}$, $f_{вх} = 32\text{ кГц}$, не более.....	-3
$U_{вх} = 10\text{ мВ}$, $f_{вх} = 1\text{ кГц}$, не менее.....	-3
$U_{вх} = 10\text{ мВ}$, $f_{вх} = 2,5\text{ кГц}$, не более.....	-3
$U_{вх} = 0,32\text{ мВ}$, $f_{вх} = 6\text{ кГц}$, не менее.....	-3
$U_{вх} = 3,2\text{ мВ}$, $f_{вх} = 6\text{ кГц}$, не более.....	-3
$U_{вх} = 1\text{ мВ}$, $f_{вх} = 10\text{ кГц}$, не более.....	-3

Ослабление усиления на нижней граничной частоте $K_{ос.н}$, дБ при

$U_{вх} = 50\text{ мВ}$, $f = 1\text{ кГц}$, не более..... -16

Коэффициент гармоник K_r , %, при

$U_{н.п} = \pm 12\text{ В}$, $U_{вх} = 400\text{ мВ}$, $f = 400\text{ Гц}$, а также $f = 20\text{ 000 Гц}$, не более.....0,5

Выходной ток $I_{вх}$, мА, через вывод 17, не более.....0,5

Выходной ток $I_{вых}$, мкА, через выводы 13, 14:

при $U_{вх} = 0$	13...26
$U_{вх} = 1\text{ мВ}$, $f = 10\text{ кГц}$	3...10
$U_{вх} = 10\text{ мВ}$, $f = 10\text{ кГц}$	150...450

Выходное напряжение покоя $U_{вых о}$, В, не более..... $\pm 0,5$

Приведенное ко входу напряжение шумов $U_{ш.вх}$, мкВ, при $U_{вх} = 0$, $f = 0,02...20\text{ кГц}$, не более.....15

Предельные эксплуатационные параметры ИМС K157ХПЗ

Напряжение питания $U_{н.п}$, В:

минимальное..... ± 12

максимальное..... $\pm 16,5$

Ток потребления $I_{пот}$, мА, от одного источника при $U_{вх} = 0$, $U_{н.п} = \pm 16,5\text{ В}$,

не более.....8,5

Максимальное входное напряжение

$U_{вх max}$, не более..... $\pm U_{н.п}$

Максимальное выходное напряжение

$U_{вых max}$, В, при $U_{вх} = \pm 3\text{ В}$,

$U_{н.п} = \pm 15\text{ В}$ не менее..... ± 11

Максимальный выходной ток $I_{вых max}$,

мА, через вывод 11 при $U_{вх} = \pm 3\text{ В}$,

$U_{н.п} = \pm 15\text{ В}$6...20

3.2. СЕРИЯ K174

Серия K174 представляет собой комплект аналоговых микросхем для звукопроводящей аппаратуры. Микросхемы выполнены на биполярных транзисторах с изоляцией p-n переходом.

Состав серии

ИМС K174УН13 - усилитель записи с АРУ и предварительный усилитель воспроизведения звука

ИМС K174ХАЗА,Б - устройство подавления шумов в трактах приема-передачи звуковой информации

Микросхемы выпускаются в прямоугольном полимерном корпусе с перпендикулярным расположением выводов.

Номер чертежа корпуса и основные эксплуатационные характеристики микросхем помещены в табл. 3.2.

ИМС K174УН13 (рис. 3.19) представляет собой устройство, содержа-

Микросхема	Номинальное напряжение питания, В	Рабочий диапазон температур, °С	Гарантированная наработка на отказ, ч	Гарантированный срок хранения, лет	Тип корпуса	Номер чертежа корпуса
K174УН13	+ 9±10 %	-25...+55	25 000	12	238.16 - 1	9
K174ХА3	+15±10 %	-10...+55	15 000	10	238.16 - 1	9

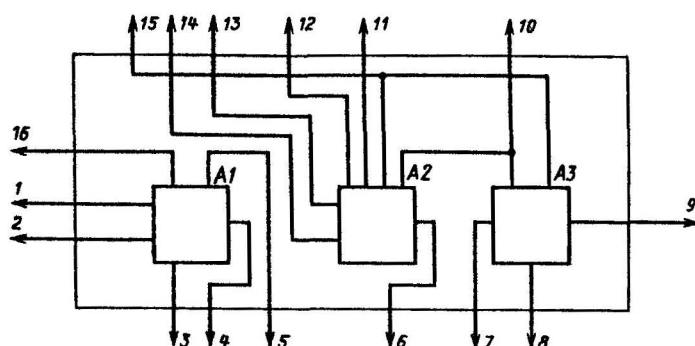


Рис. 3.19 а. Функциональная схема ИМС K174УН13

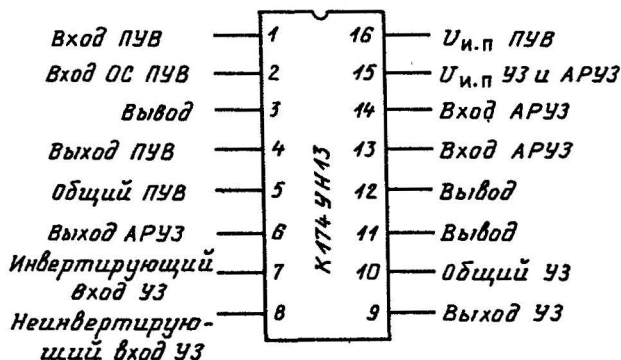


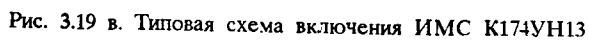
Рис. 3.19 б. Назначение выводов ИМС K174УН13

щее предварительный усилитель А1, узел автоматической регулировки уровня записи А2 и усилитель записи А3. ИМС предназначена для использования в усилителе записи с АРУ и предварительных усилителях воспроизведения магнитофонов. Основные зависимости параметров от режимов работы ИМС приведены на рис. 3.20 а...3.20 г.

Электрические параметры ИМС K174УН13 при 25±10°С и U_{и.п.ном}=9 В

Ток потребления I_{пот}, мА:
 предварительного усилителя.....3
 усилителя записи с АРУ.....6
 Коэффициент усиления напряжения K_у, дБ, усилителя записи с АРУ, не менее

Рис.
для И



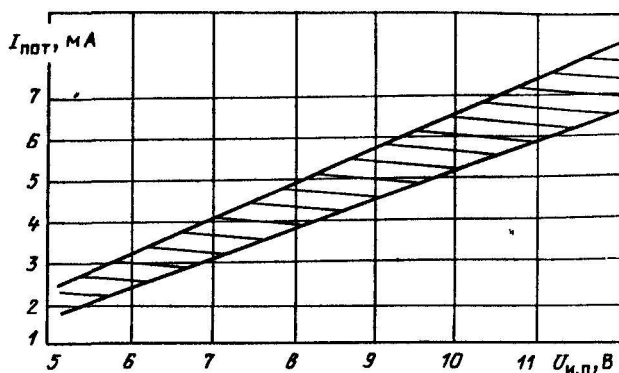


Рис. 3.20 б. Зависимость тока потребления усилителя записи с АРУ от напряжения питания ИМС K174УН13

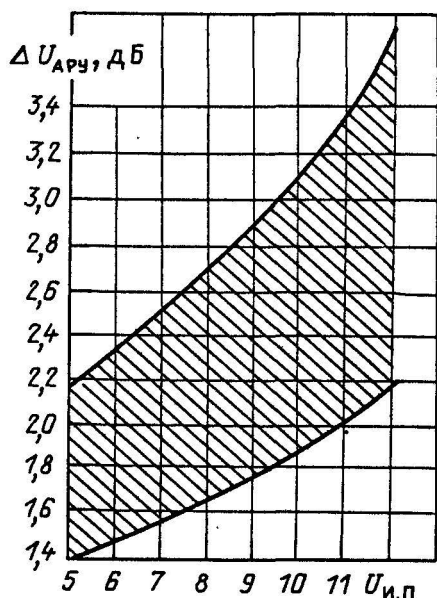


Рис. 3.20 в. Зависимость диапазона АРУ по напряжению от напряжения питания для ИМС K174УН13

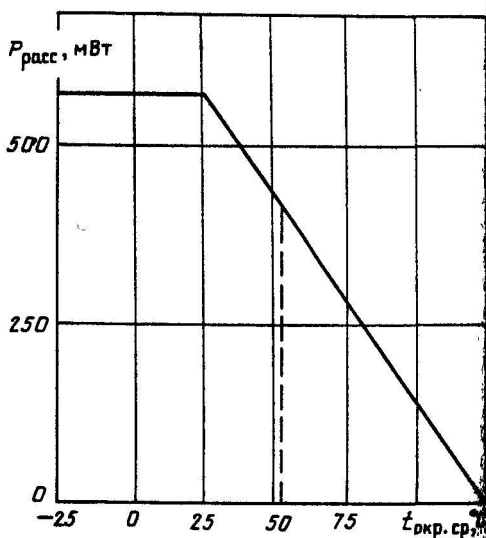


Рис. 3.20 г. Зависимость мощности рассеивания от температуры окружающей среды ИМС K174УН13

Коэффициент гармоник K_g , %, не более предварительного усилителя при коэффициенте усиления 28 дБ.....0,2

усилителя записи без АРУ при коэффициенте усиления 54 дБ.....0,4

Диапазон АРУ по напряжению $\Delta U_{\text{ару}}$, дБ, не более.....6

Приведенное ко входу напряжение шумов $U_{\text{вх.ш.}}$, мкВ, не более.....

Предельные эксплуатационные параметры ИМС K174УН13

Напряжение питания на выводах 15, 16 U_{15}, U_{16} , В

минимальное.....

максимальное.....

Входное напряжение $U_{вх}$, мВ, не более.....	100
Сопротивление нагрузки R_n , кОм, не менее.....	10

ИМС K174XA3 (рис. 3.21) представляет собой устройство, содержащее стабилизатор напряжения A1, усилители с дифференциальным входом A2-A6, ограничитель ZL1, управляемый резистор A7 и детектор U1.

ИМС предназначена для усиления и шумоподавления в трактах передачи звукового сигнала.

Электрические параметры ИМС K174XA3 при $25 \pm 10^\circ\text{C}$ и $U_{н.п.ном} = 15\text{ В}$

Ток потребления $I_{пот}$, мА.....	15...30
Коэффициент усиления напряжения K_{yU} при $U_{вх} = 10\text{ мВ}$:	
1-3-го усилителей.....	16...24
4, 5-го усилителей.....	480...720
Коэффициент усиления напряжения K_{yU} 3, 4-го усилителей при $U_{вх} = 1\text{ мВ}$	10...17
Подъем АЧХ $K_{АЧХ}$, дБ, на частоте 5 кГц в режиме записи при уровне входного сигнала -30 дБ.....	6,5...9,5
Входное сопротивление $R_{вх}$, кОм, не менее:	
1-го усилителя.....	50
2-го усилителя.....	5
Коэффициент гармоник K_r , %, при $U_{вых} = 2\text{ В}$, не более:	
1, 2, 3-го усилителей.....	0,5
4, 5-го усилителей.....	10

Коэффициент гармоник K_r , % 3, 4-го усилителей при $U_{вых} = 0,2\text{ В}$, не более.....	1
Постоянное напряжение на выводах 4, 7, 11, U_4 , U_7 , U_{11} , В.....	6,5...9,5
Выходное сопротивление $R_{вых}$, кОм. 1-го усилителя.....	2,5...3,5
Коэффициент ослабления $K_{ос}$, дБ, на $f_{в.гр}$ на частоте 20 кГц, не более.....	3
Отношение сигнал/шум $K_{ш}$, дБ, относительно $U_{вых} = 730\text{ мВ}$, не менее:	
K174XA3A.....	66
K174XA3B.....	60
Коэффициент ослабления входного напряжения $K_{ос.вх}$, дБ, между каналами при $U_{вх} = U_{вых} = 1\text{ В}$, $f = 1\text{ кГц}$; 12 кГц, не менее.....	56
Полоса пропускания Δf , Гц, при $K_{yU} = 0\text{ дБ}$	20...20000
Входное сопротивление $R_{вх}$, кОм, в типовой схеме, не менее.....	250

Предельные эксплуатационные параметры ИМС K174XA3

Напряжение питания $U_{н.п}$, В.....	10...20
---------------------------------------	---------

3.3 СЕРИЯ K547

Серия K547 представляет собой аналоговые микросхемы для стереофонических катушечных и кассетных магнитофонов, но их можно применять и в других узлах аппаратуры ЗЧ.

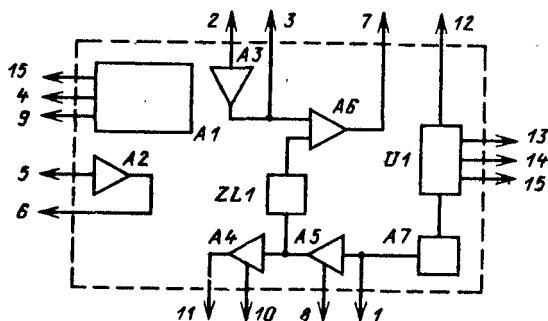
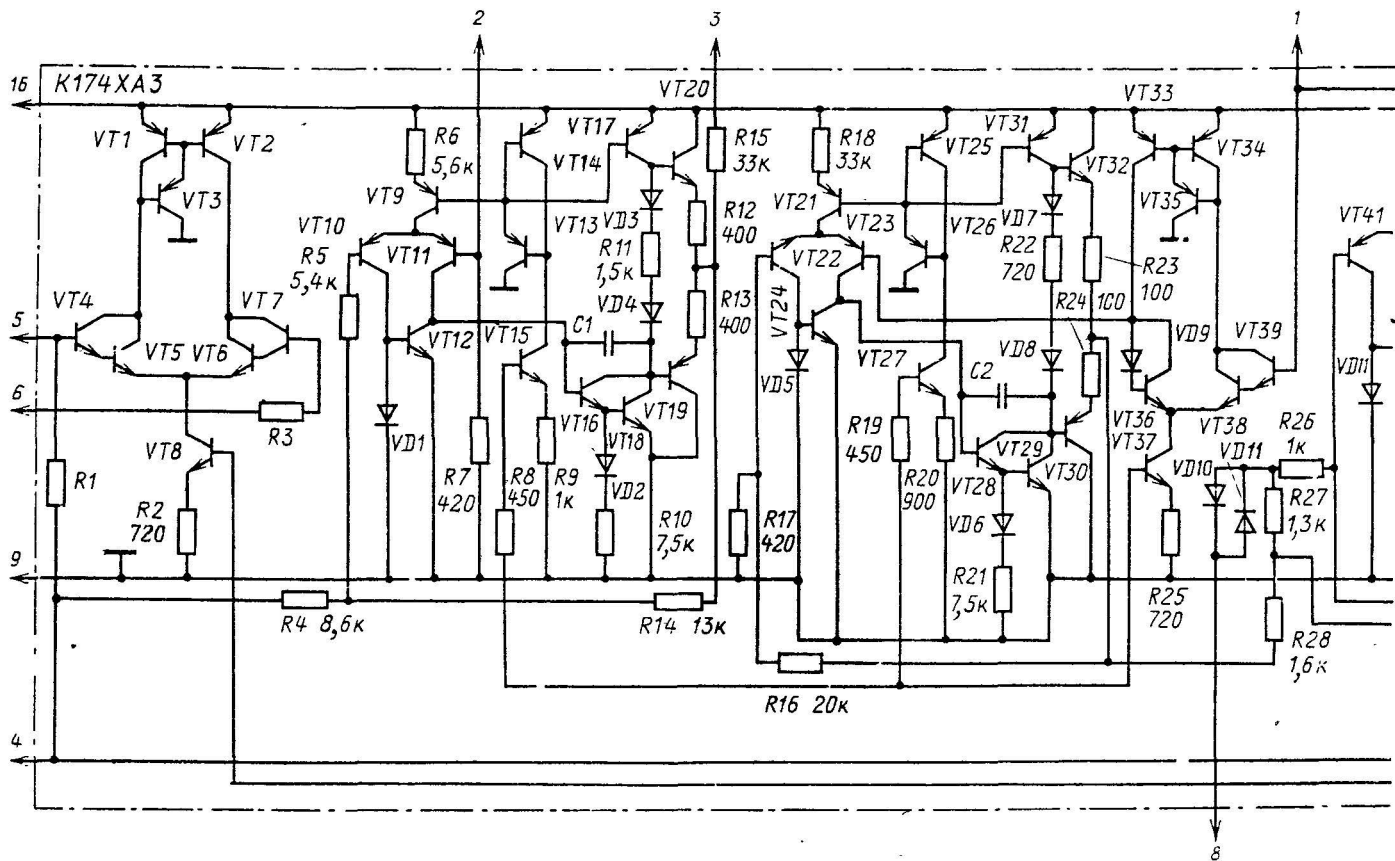


Рис. 3.21 а. Функциональная схема ИМС K174XA3



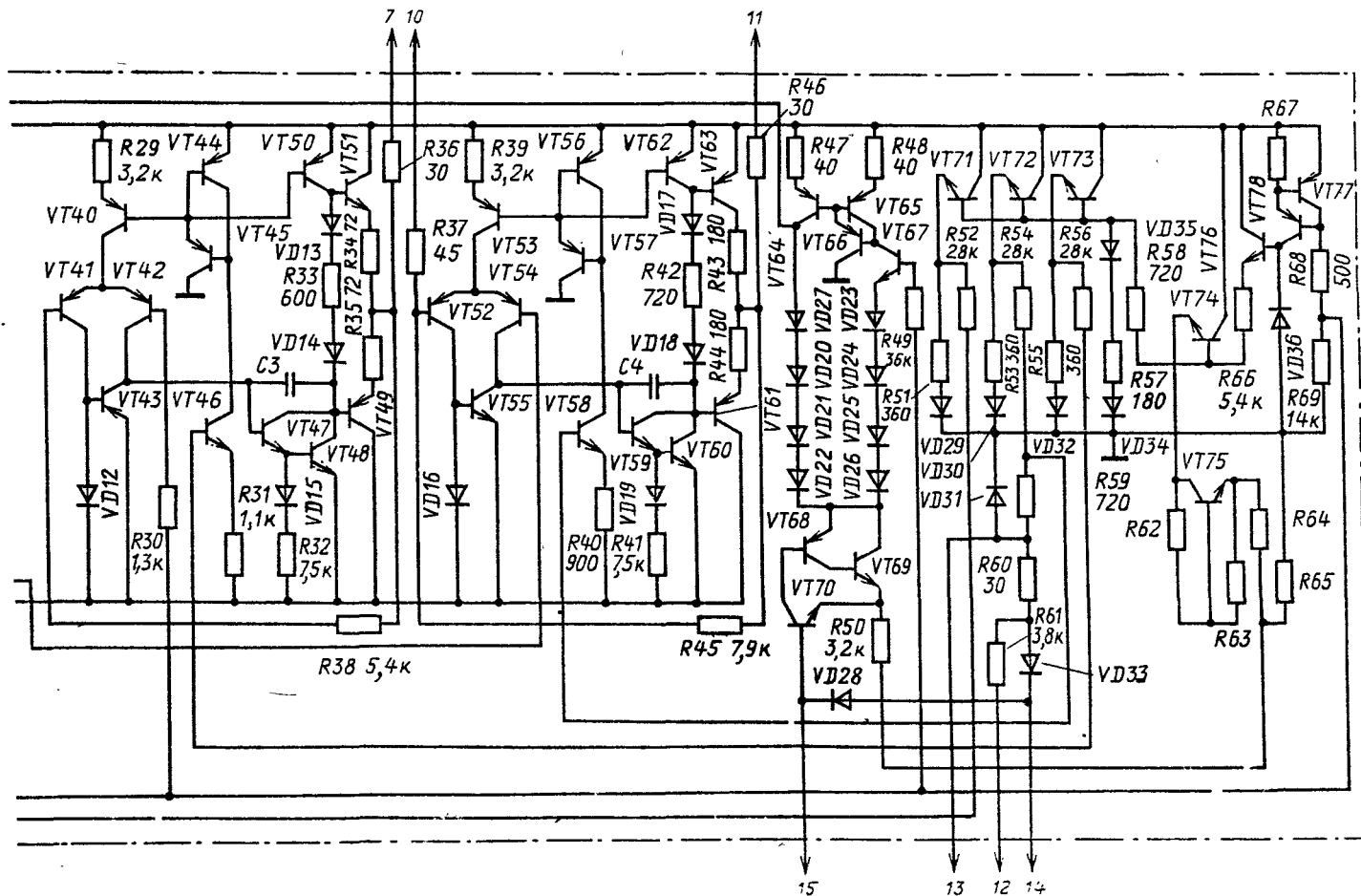


Рис. 3.21 6. Принципиальная схема ИМС К174ХА3

Вход 4 усилителя	1	16	+ U _{и.п}
Вход 2 усилителя	2	15	Выход детектора
Вход сумматора	3	14	Вывод
Вывод	4	13	Вывод
Выход 1 усилителя	5	12	Вход детектора
Выход 2 усилителя	6	11	Вход 5 усилителя
Выход сумматора	7	16	Вывод
Вывод	8	17	Общий

Рис. 3.21 в. Назначение выводов ИМС K174XA3

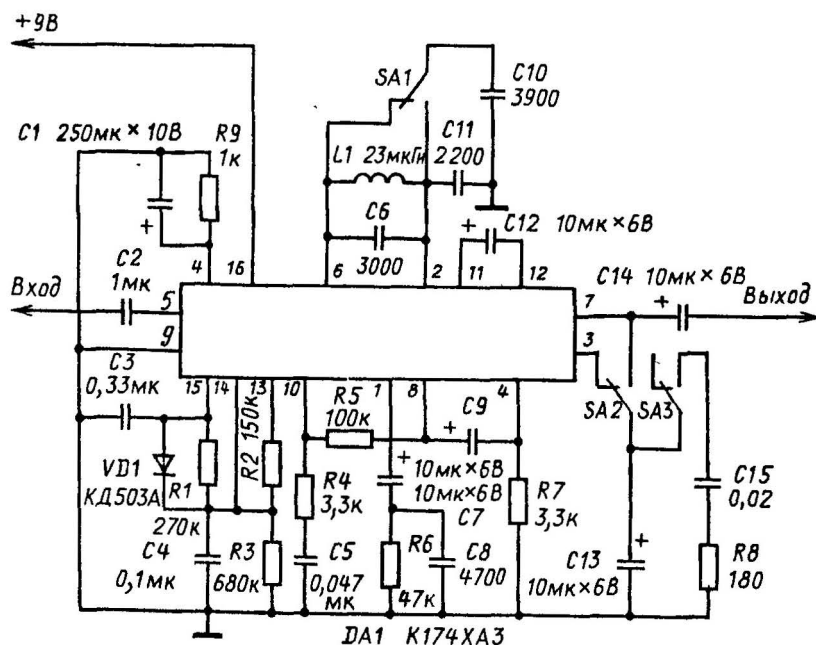


Рис. 3.21 г. Типовая схема включения ИМС K174XA3

Состав серии

47КП1А-Г – четырехканальный электронный переключатель. Микросхемы выполнены по МОП технологии с индуцированным каналом. Микросхемы выпускаются в прямом полимерном корпусе с радиальным расположением выводов. Номера чертежей корпусов

и основные эксплуатационные характеристики микросхемы приведены в табл. 3.3.

Таблица 3.3

Микросхема	Рабочий диапазон температур, °C	Тип корпуса	Номер чертежа корпуса
K547КП1	-25...+70	201.14 - 1	3

Исток 1

затвор 1

Исток 2

затвор 2

Исток 3

затвор 3

Исток 4

затвор 4

ИМС 1
начена д
сигналов.
тичных
индуциро
Ключи
сопротив
крытом
цию по
пиями уп
ми ком
исток) и
ским ре
сигнала

Откры
творы на
лярности
максимал
жение к
стоке ил
значение
ключа (к
ключа в
Для закр
должно
напряже
Напряже
быть по
к стоку
сильные
ние сигн

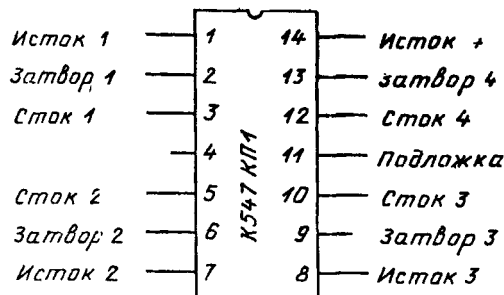
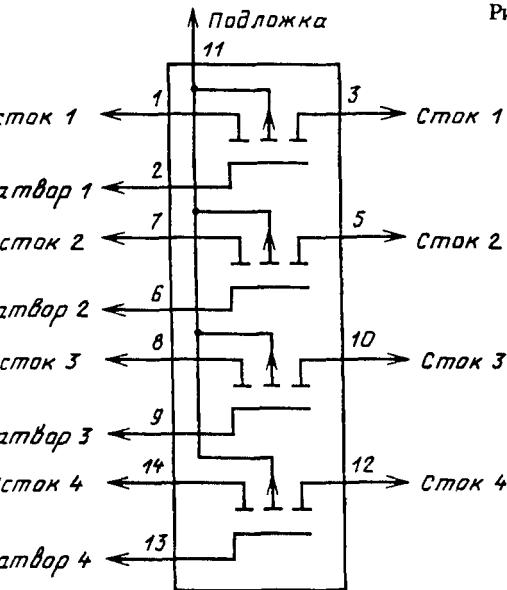


Рис. 3.22 б. Назначение выводов ИМС К547КП1

ИМС К547КП1 (рис. 3.22) предназначена для переключения аналоговых сигналов. Она содержит четыре идентичных МОП-транзистора (ключа) с индуцированным каналом p -типа. Ключи имеют большое отношение сопротивлений в проводящем и закрытом состоянии, хорошую изоляцию по постоянному току между цепями управления (затворов) и цепями коммутируемого сигнала (сток, сток) и, подобно электромеханическому реле, обеспечивают передачу сигнала в обоих направлениях.

Открывают ключи подавая на затворы напряжения отрицательной полярности, которое должно превышать максимальное отрицательное напряжение коммутируемого сигнала (на стоке или истоке) не менее чем на значение порогового напряжения ключа (для надежного открывания ключа выбирают обычно около 3 В). Для закрывания ключей на затворы должно быть подано положительное напряжение коммутируемого сигнала. Напряжение на подложке должно быть положительным по отношению к стоку и истоку и превышать максимальное положительное напряжение сигнала.

ИМС К547КП1 подразделяются на четыре группы (А...Г), отличающиеся максимально допустимыми напряжением между стоком (исток) и подложкой. Кроме того, для ИМС группы Г нормирован коэффициент динамических сопротивлений между стоком и истоком транзисторов, что позволяет использовать их в многоканальных аттенюаторах напряжения.

На рис. 3.22 в показан пример применения ИМС для коммутации сигнала на входе усилителя звуковой частоты в режиме "Монитор". Этот режим позволяет при подключении магнитофона со сквозным каналом одновременно с записью контролировать на слух записываемую фонограмму, а также прослушивать во время записи на магнитофон любой другой источник сигнала.

На два входа (выводы 7, 8) ИМС DA1 поступают сигналы с любого источника (тюнера, магнитофона, проигрывателя, телевизора) на два других (выводы 1, 14) — стереофонический сигнал с магнитофона со сквозным трактом. Режим "Монитор" устанавливают нажатием на кнопку SB1. При этом напряжение отрицательной (открывающей ключи) полярности

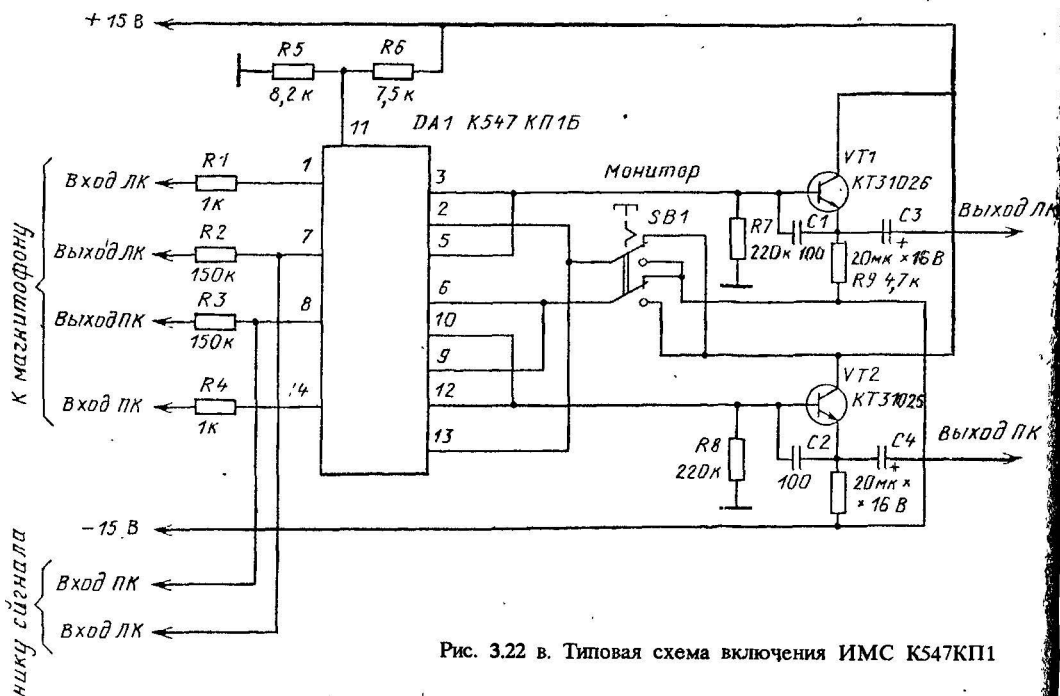


Рис. 3.22 в. Типовая схема включения ИМС K547KP1

поступает на выводы 2, 13, а положительный (закрывающей) – на выводы 6, 9. В результате на выводы 1, 5 и 10, 12 ИМС поступает только сигнал с магнитофона. Применение миттерных повторителей на транзисторах VT1, VT2 обеспечивает стандартное (220 кОм) входное сопротивление входов, а также способствует охранению большого переходного заухания (благодаря низкому выходно-у сопротивлению).

Необходимое напряжение на подложке полевых транзисторов ИМС обеспечивается делителем R5R6.

Электрические параметры ИМС K547KP1 при $25 \pm 10^\circ\text{C}$

Пороговое напряжение $U_{пор}$, В	-(3...6)
Динамическое сопротивление в открытом состоянии $R_{откр}$, Ом, не более	100
Ток утечки $I_{ут}$, мкА, при предельно допустимых напряжениях, не более	50
Ток утечки закрытого ключа $I_{ут.кл}$, мкА, не более	50

Коэффициент неидентичности динамических сопротивлений сток-исток транзисторов K_R , дБ, (только для группы Г), не более

Предельные эксплуатационные параметры ИМС K547KP1

Напряжение между затвором и подложкой $U_{з.п.}$, В, не более	4
Напряжение между стоком (истоком) и подложкой $U_{с.п.}$, $U_{н.п.}$, В, не более, для групп:	
А	3
Б	2
В и Г	1
Наибольший коммутируемый ток $I_{ком}$, мА	2
Рассеиваемая мощность $P_{расс}$, мВт, (в диапазоне температур $-25...+25^\circ\text{C}$), не более	500

При температуре окружающей среды $T > 25^\circ\text{C}$ допустимую рассеиваемую мощность (мВт) рассчитывают по формуле:

$$P_{расс} = \frac{125 - T}{0,22}$$

ИНТЕГРАЛЬНЫЕ МИКРОСХЕМЫ ДЛЯ РАДИОПРИЕМНОЙ АППАРАТУРЫ

4.1. СЕРИЯ K157

Серия K157 представляет собой функционально сопряженные между собой ИМС, предназначенные для построения функциональных узлов радиовещательных приемников и магнитол. Микросхемы выполнены на биполярных транзисторах с изоляцией *p-n* переходом.

Состав серии

K157XA1A, Б - усилитель высокой частоты с преобразователем

K157XA2 - усилитель промежуточной частоты с автоматической регулировкой усиления

Микросхемы выпускаются в прямоугольных полимерных корпусах 201.14 - 1 с перпендикулярным расположением выводов.

Основные эксплуатационные характеристики приведенных типов микросхем помещены в табл. 4.1.

ИМС K157XA1A, K157XA1Б (рис. 4.1) представляют собой усилители высокой частоты с преобразователем и содержат дифференциальный усилитель на транзисторах VT2...VT6 без коллекторных нагрузок и отдельный транзистор VT1. Каскад на транзисторе VT1 обычно играет роль апериодического усилителя ВЧ с отрицательной обратной связью по напряжению, регулируемой внешним резистором, который подключают к

выводам 1, 14. На транзисторах VT3, VT4, VT6 собирают гетеродин (по автогенераторной схеме). Транзистор VT3 служит для автоматической регулировки амплитуды колебаний гетеродина. Смеситель выполнен на транзисторах VT2 и VT5. Преобразованный сигнал снимается с выводов 10 и 12, напряжение внешней АРУ подается на вывод 13.

В зависимости от верхней граничной частоты полосы пропускания ВЧ тракта ИМС подразделяются на группы А и Б. K157XA1A имеет верхнюю граничную частоту полосы пропускания не менее 15 МГц, K157XA1Б - не менее 25 МГц.

При разработке блока усилителя высокой частоты и преобразователя с использованием ИМС K157XA1 необходимо учитывать следующее. Усилитель высокой частоты может быть выполнен как с резонансной, так и с нерезонансной нагрузкой. В последнем случае, если требуется получить оптимальные шумовые характеристики схемы, рекомендуемое значение внутреннего сопротивления источника сигнала должно составлять 0,5...1 кОм. Высокочастотный сигнал через конденсатор C1 подают на вывод 1 ИМС. Усиленный УВЧ сигнал поступает на смеситель. Гетеродин для упрощения коммутации в многодиапазонных устройствах выполнен по схеме с отрицательным сопротивлением и стабилизацией амплитуды

Таблица 4.1

Микросхема	Номинальное напряжение питания, В	Рабочий диапазон температур, °С	Гарантированная наработка микросхемы на отказ, ч	Гарантированный срок хранения, лет	Число элементов	Номер чертежа корпуса
K157XA1	+5±0,5	-25...+70	10 000	6	13	3
K157XA2	+5±0,5	-25...+70	10 000	6	33	3

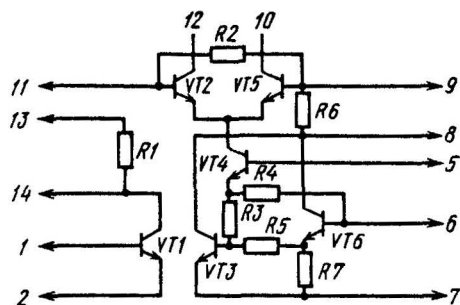


Рис. 4.1 а. Принципиальная схема ИМС K157XA1A, Б



Рис. 4.1 б. Назначение выводов микросхем K157XA1

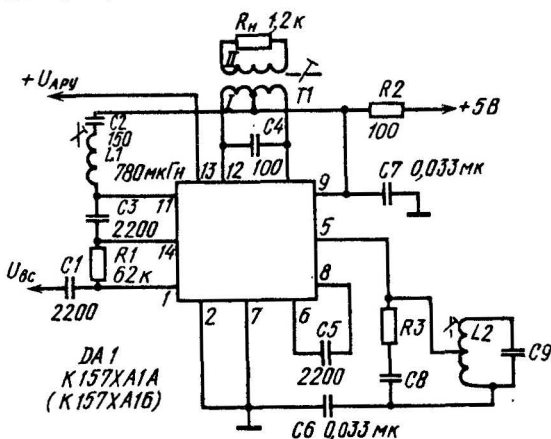


Рис. 4.1 в. Типовая схема включения ИМС K157XA1A, Б. Цепь R3, C8 устанавливается для предотвращения появления паразитных колебаний и выбирается из условия $R_{5,8} \leq 1,5 \text{ кОм}$, где $R_{5,8}$ - сопротивление паразитного контура на его собственной частоте

колебаний на базе транзисторов ИМС и внешнего контура $L2C9$. Эквивалентное сопротивление частотнозадающего контура $L2C9$, приведенное к выводам 5, 8 ИМС, рекомендуется выбирать в пределах 4...10 кОм. При уменьшении эквивалентного сопротивления ухудшаются условия возбуждения, при увеличении - снижается стабильность частоты.

Для более стабильной работы гетеродина с изменением частоты генерации, расстояние между конденсаторами $C5$, $C6$ и выводами 6, 8 должно быть минимальным.

Смеситель выполнен по балансной схеме. Чтобы на его выход не проникало напряжение гетеродина, не влияло на выход смесителя (выводы 10, 12), необходимо обе половины обмотки I трансформатора $T1$ изготовить симметричными по отношению к среднему отводу. Это достигается

одновременно намоткой общих витков первичной обмотки в два провода и их последовательным включением. В правильно спроектированном устройстве напряжение гетеродина на выводах 10, 12 относительно корпуса не должно превышать 100...200 мВ во всем частотном диапазоне гетеродина.

Эквивалентное сопротивление контура смесителя (между выводами 12) с учетом подключаемой нагрузки (обычно фильтра с входным сопротивлением 1, 2 кОм) желательно выбирать примерно равным 10 кОм.

Параметры режекторного контура $L1C2$ следует выбирать таким образом, чтобы он обеспечивал эффективное подавление ПЧ, т. е. его сопротивление на этой частоте должно быть значительно меньше сопротивления нагрузки УВЧ, приблизительно равно 240 Ом. В то же время на рабочих частотах, наиболее бли-

ких к промежуточной (в диапазонах длинных волн (408 кГц) и средних волн (525 кГц), этот контур не должен заметно шунтировать нагрузку УВЧ.

Электрические параметры ИМС K157XA1 при $25 \pm 10^\circ\text{C}$ и $U_{\text{и.п.ном}} = 5 \text{ В}$

Ток потребления $I_{\text{пот}}$, мА, при $U_{\text{вх}} = 0$,
не более 3,3
Коэффициент усиления по напряжению
 $K_{\text{У}}$ при $U_{\text{вх}} = 0,2 \text{ мВ}$, $f = 0,15 \text{ МГц}$,
 $f_{\text{мод}} = 1 \text{ кГц}$, $m = 0,3$ 150...350
Коэффициент шума $K_{\text{ш}}$, дБ, не более 6

Коэффициент шума $K_{\text{ш}}$ (в децибелах) вычисляют по формуле

$$K_{\text{ш}} = 20 \lg \frac{8mK_{\text{д}}U_{\text{вх}}}{\sqrt{\Delta f R_3}} \frac{U_{\text{ш}}}{U_{\text{с}}},$$

где $m = 0,3$ - глубина модуляции входного сигнала, $K_{\text{д}} = 0,1$ - коэффициент передачи делителя на входе микросхемы, $U_{\text{вх}}$, мкВ - напряжение входного сигнала, $\Delta f = 10,5 \pm 0,5 \text{ кГц}$ - полоса пропускания тракта УПЧ и контура сместителя, $R_3 = 0,576 \text{ кОм}$ - сопротивление шумового резистора (между выводами 1 и 14 ИМС), $U_{\text{с}}$ - максимальный выходной сигнал на выходе УПЧ в пределах полосы пропускания при параметрах входного сигнала в соответствии с указанными выше

электрическими параметрами, $U_{\text{ш}}$ - напряжение шума на выходе УПЧ при отключенной модуляции несущей частоты.

Предельные эксплуатационные параметры ИМС K157XA1

Напряжение питания $U_{\text{и.п}}$, В:
минимальное 3,6
максимальное 6
Ток потребления $I_{\text{пот}}$, мА, не более:
 $U_{\text{вх}} = 0$, $U_{\text{и.п}} = 6 \text{ В}$, $t = 70^\circ\text{C}$ 4
 $U_{\text{вх}} = 0$, $U_{\text{и.п}} = 3,6 \text{ В}$, $t = -25^\circ\text{C}$ 3,1
Коэффициент усиления по напряжению
 $K_{\text{У}}$ при $t_{\text{окр.ср}} = -25 \dots +70^\circ\text{C}$,
 $U_{\text{и.п}} = 3,6 \dots 6 \text{ В}$ 100...400
Ток в цепи вывода 14 при подключенной внешней нагрузке I_{14} , мА, не более 10
Потребляемая мощность $P_{\text{пот}}$, мВт, не более 25

ИМС R157XA2 (рис. 4.2) представляет собой усилитель промежуточной частоты с амплитудным детектором и системой АРУ на базе дифференциального усилителя.

Усилитель ПЧ состоит из регулируемого каскада на транзисторах VT1, VT2, управляемого по выводу 13 напряжением, и основного усилителя на транзисторах VT4...VT11.

Основной усилитель построен по дифференциальной схеме на транзисторах VT6, VT9 с динамической нагрузкой в цепи коллектора транзисто-

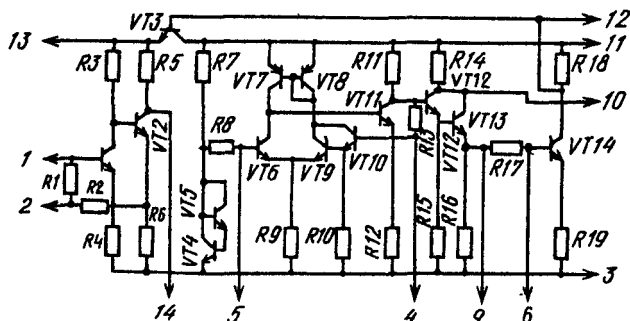


Рис. 4.2 а. Принципиальная схема микросхемы K157XA2

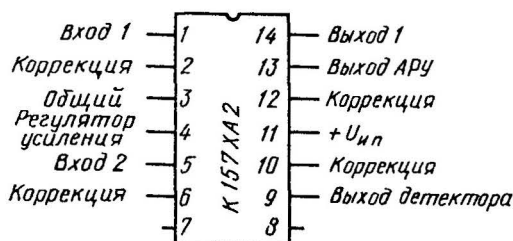


Рис. 4.2 б. Назначение выводов ИМС K157XA2

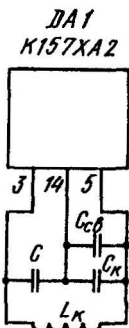


Рис. 4.2 г. Схема включения одиночного контура к ИМС K157XA2

ра VT6. Второй каскад основного усилителя выполнен на транзисторе VT11 по схеме с общим эмиттером. Усилитель имеет обратную связь по постоянному току, глубина которой определяется делителем, образованным резистором R13 и цепочкой, подключаемой к выводу 4. Отличительной особенностью амплитудного детектора на транзисторе VT13 является его способность работать в широком диапазоне уровней входного сигнала. Усилитель напряжения системы АРУ - двухкаскадный усилитель постоянного тока. Транзистор VT14 в нем включен по схеме с общим эмиттером, а транзистор VT3 - по схеме с общим коллектором. Нагрузкой последнего является регулируемый усилитель ИМС.

Усиление регулируют с помощью ФОС, сигнал которой подается с выхода усилителя на вывод 4. Чтобы обеспечить устойчивость работы и улучшить характеристики узла УПЧ, рекомендуется к ИМС подключить одиночный колебательный контур

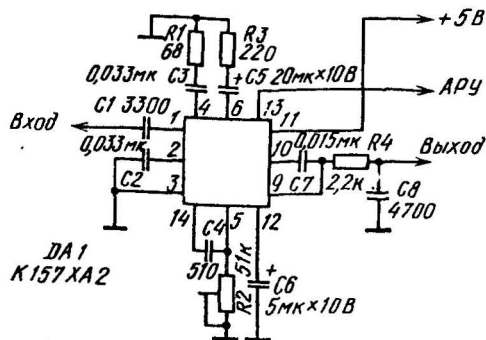


Рис. 4.2 в. Типовая схема включения ИМС K157XA2

или полосовой фильтр. Одиночный контур включают между выводами 14, 3 и 5 (см. рис. 4.2 г). Волновое сопротивление части контура, подключаемой к выводам 3, 14, приведенное к этим выводам, выбирают так, чтобы получить требуемую полосу пропускания с учетом шунтирования контура внутренним сопротивлением ИМС (между выводами 3 и 14).

Электрические параметры ИМС K157XA2 при $25 \pm 10^\circ\text{C}$ и $U_{\text{и.п.ном}} = +5\text{ В}$, $f_{\text{вх}} = 465\text{ кГц}$ и $f_{\text{мод}} = 1\text{ кГц}$.

Ток потребления $I_{\text{пот}}$, мА, при $U_{\text{вх}} = 0$, $R_{\text{н}} = \infty$, не более.....	1
Напряжение АРУ: $U_{\text{АРУ}}$, В, при $U_{\text{вх}} = 0$, $R_{\text{н}} = 3,9\text{ кОм}$	3
Относительное изменение напряжения АРУ $\Delta U_{\text{АРУ отн}}$ при $U_{\text{вх}} = 0,5 \dots 30\text{ мВ}$, $R_{\text{н}} = \infty$, $m = 30\%$	1
Коэффициент гармоник $K_{\text{г}}$, %, при $U_{\text{вх}} = 3\text{ мВ}$, $R_{\text{н}} = \infty$, $m = 80\%$, не более.....	1
Входное сопротивление $R_{\text{вх}}$, кОм, при $U_{\text{вх}} = 20 \dots 40\text{ мВ}$, $R_{\text{н}} = \infty$, $m = 30\%$	0,43

Относительное изменение напряжения АРУ определяется по формуле

$$\Delta U_{\text{АРУ отн}} = 60 \frac{U'_{\text{вх}}}{U''_{\text{вх}}},$$

где $U'_{\text{вх}}$, $U''_{\text{вх}}$ - наибольшее и наименьшее значения входного на

пряжения, которым соответствуют два крайних значения входного напряжения.

выполнены на биполярных транзисторах с изоляцией *p-n* переходом.

Состав серии

Предельные эксплуатационные параметры ИМС K157XA2

Напряжение питания $U_{и.п.}$, В:	
минимальное.....	3
максимальное.....	6
Ток потребления $I_{пот.}$, мА, при $U_{и.п.}=6$ В, $t=70^{\circ}\text{C}$, $U_{вх}=0$, не более.....	5,5
Напряжение между выводами 10, 11 $U_{10,11}$, В, не более.....	1,75
Ток в цепи вывода 13 I_{13} , мА, при подключенной внешней нагрузке, не более.....	1,5
Чувствительность S , мкВ, при $U_{ввх}=30$ мВ, $m=30\%$, $t=25^{\circ}\text{C}$:	
$U_{и.п.}=6$ В.....	9...30
$U_{и.п.}=3,6$ В.....	11...42
Относительное изменение напряжения АРУ $\Delta U_{АРУ}$ отн.:	
$U_{и.п.}=6$ В, $U_{вх}=5...300$ мВ, $R_{н}=\infty$, $m=30\%$, $t=70^{\circ}\text{C}$	120
$U_{и.п.}=5$ В, $U_{вх}=0,5...30$ мВ, $R_{н}=\infty$, $m=30\%$, $t=-25^{\circ}\text{C}$	150

4.2. СЕРИЯ K171

Серия K171 представляет собой комплект ИМС, предназначенных для аппаратуры радиосвязи и радиоэлектронной техники. Микросхемы

K171UB1A,Б - широкополосный регулируемый усилитель
K171UB2 - видеоусилитель
K171UP1 - усилитель промежуточной частоты с электронной регулировкой усиления
ИМС выпускаются в круглых металлокерамических корпусах 301.12-1 перпендикулярным расположением выводов.

Основные эксплуатационные характеристики приведенных типов ИМС приведены в табл. 4.2.

ИМС K171UB1A, K171UB1B (рис. 4.3) представляют собой широкополосные трехкаскадные регулируемые усилители, имеющие отрицательные обратные связи. В зависимости от верхней граничной частоты полосы пропускания микросхем подразделяются на группы А и Б. ИМС K171UB1A имеет верхнюю граничную частоту не менее 80 МГц, K171UB1B - не менее 60 МГц.

Электрические параметры ИМС K171UB1A,Б при $25\pm 10^{\circ}\text{C}$ и $U_{и.п.ном}=6$ В

Ток потребления $I_{пот.}$, мА, не более.....
Коэффициент усиления по напряжению

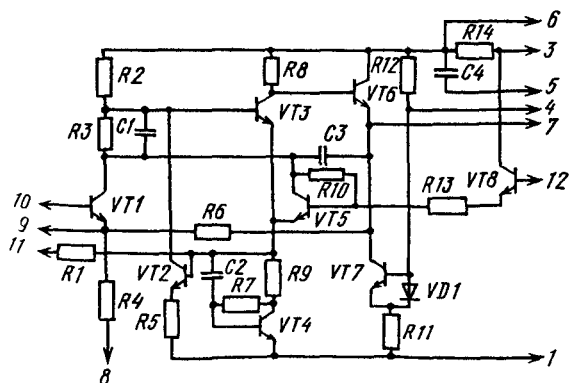


Рис. 4.3 а. Принципиальная схема ИМС K171UB1A,Б

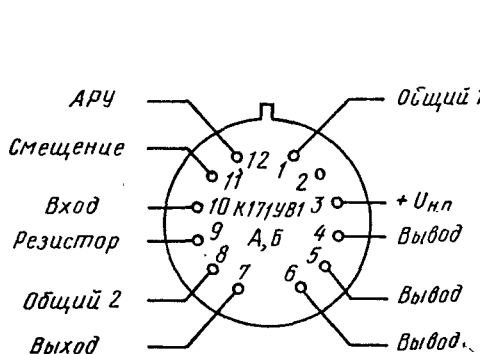


Рис. 4.3 б. Назначение выводов ИМС K171UB1A,Б

Микросхема	Номинальное напряжение питания, В	Рабочий диапазон температур, °С	Гарантированная наработка микросхемы на отказ, ч	Гарантированный срок хранения, лет	Число элементов	Номер чертежа корпуса
K171УВ1А,Б	$+6 \pm 0,6$	$-60 \dots +100$	15 000	10	27	15
K171УВ2	$\pm 6 \pm 0,6$	$-60 \dots +100$	15 000	10	24	15
K171УР1	$\pm 6 \pm 0,6$	$-60 \dots +125$	15 000	10	14	15

K_{yU} при $U_{вх}=10$ мВ, $f_{вх}=20$ МГц, не менее 7

Диапазон АРУ $K_{АРУ}$, дБ, при $U_{вх}=10$ мВ, $f_{вх}=20$ МГц 40

Предельные эксплуатационные параметры ИМС K171УВ1А,Б

Напряжение питания $U_{и.п.}$, В, не более 6,6

Ток потребления $I_{пот.}$, мА, при $U_{и.п.}=6,6$ В, не более 20

ИМС K171УВ2 (рис. 4.4) представляет собой широкополосный усилитель и состоит из двух дифференциальных каскадов усиления и оконечных эмиттерных повторителей, образующих парафазные выходы. Резисторы R2, R3, R6, R7 в эмиттерных цепях транзисторов VT1, VT3 применены для получения равномерной полосы усиления до 100...120 МГц при малых фазовых искажениях, а также для стабилизации коэффициентов усиления. Включая между выводами 8, 11 и 7, 12 резисторы и перемычки можно изменять коэффициент усиления по напряжению K_{yU} от нескольких единиц до нескольких сотен. При увеличении K_{yU} пропорционально сужается полоса усиления. Во всех каскадах применены термокомпенсированные генераторы стабильного тока на транзисторах VT2, VT4, VT6, VT9, VT11, что позволило получить на высоких частотах коэффициент подавления синфазного сигнала в пределах 40...80 дБ (в зависимости от выбранного коэффициента

усиления) и коэффициент ослабления влияния напряжения источника питания более 50 дБ.

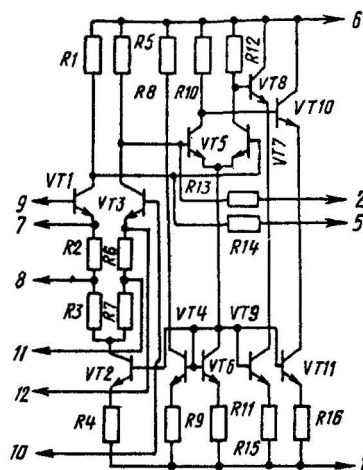


Рис. 4.4 а. Принципиальная схема ИМС K171УВ2

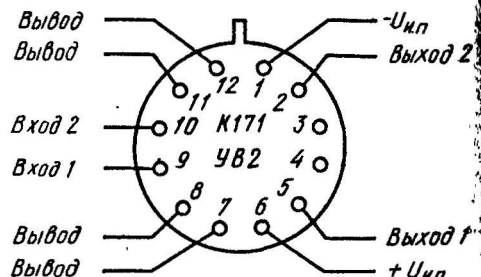


Рис. 4.4 б. Назначение выводов ИМС K171УВ2

Электрические параметры ИМС K171УВ2 при $25 \pm 10^\circ\text{C}$ и $U_{\text{и.п.ном}} = \pm 6\text{ В}$

Ток потребления $I_{\text{пот}}$, мА не более.....25
 Коэффициент усиления по напряжению $K_{\text{ув}}$, не менее:
 при разомкнутых выводах 7, 8, 11, 12 $U_{\text{вх}} = 3\text{ мВ}$, $f_{\text{вх}} = 100\text{ МГц}$3
 при замкнутых выводах 7, 12 $U_{\text{вх}} = 10\text{ мВ}$, $f_{\text{вх}} = 100\text{ кГц}$40
 Входное сопротивление $R_{\text{вх}}$, кОм, не менее.....2
 Коэффициент шума $K_{\text{ш}}$, дБ.....2

Предельные эксплуатационные параметры ИМС K171УВ2

Напряжение питания $U_{\text{и.п.}}$, В, не более..... $\pm 6,6$

ИМС K171УР1 (рис. 4.5) представляет собой трехкаскадный усилитель промежуточной частоты с электронной регулировкой усиления.

Электрические параметры ИМС K171УР1 при $25 \pm 10^\circ\text{C}$ и $U_{\text{и.п.ном}} = \pm 6\text{ В}$

Коэффициент усиления по току $K_{\text{у1}}$ при $U_{\text{вх}} = 30\text{ мВ}$, $f_{\text{вх}} = 30\text{ МГц}$, не менее.....16

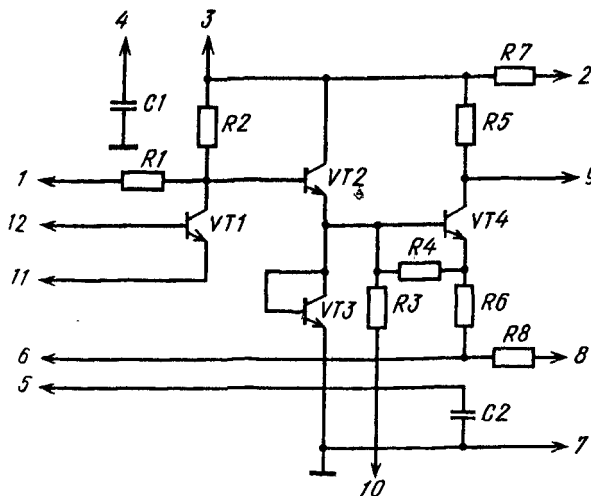


Рис. 4.5 а. Принципиальная схема ИМС K171УР1

Коэффициент шума $K_{\text{ш}}$, дБ, при $f_{\text{вх}} \approx 20\text{ МГц}$, не более.....10

Предельные эксплуатационные параметры ИМС K171УР1

Напряжение питания $U_{\text{и.п.}}$, В, не более..... $\pm 6,6$
 Ток потребления $I_{\text{пот}}$, мА, при $U_{\text{и.п.}} = \pm 6,6\text{ В}$, не более:
 $I_1 (+U_{\text{и.п.}})$7
 $I_2 (-U_{\text{и.п.}})$4

4.3. СЕРИЯ K174

Серия K174 представляет собой комплект ИМС, предназначенных для высококачественной радиовещательной звуковоспроизводящей аппаратуры. Микросхемы выполнены на биполярных транзисторах с изоляцией p-n переходом.

Состав серии

ИМС K174УР3 - тракт усиления, ограничения промежуточной частоты, частотного детектирования, предварительного усиления низкой частоты

ИМС K174УР7 - усилитель-ограничитель и частотный детектор ЧМ сигнала

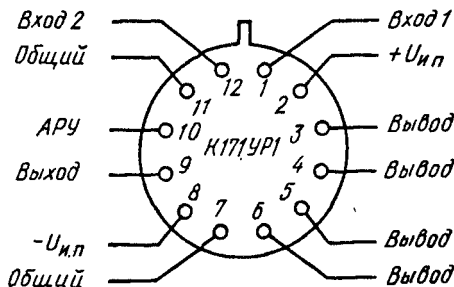


Рис. 4.5 б. Назначение выводов ИМС K171УР1

Микросхема	Номинальное напряжение питания, В	Рабочий диапазон температур, °С	Гарантированная наработка микросхем на отказ, ч	Гарантированный срок хранения, лет	Число элементов	Номер чертежа корпуса	Тип корпуса
K174УР3	+ 6±0,6	-25...+55	16 000	10	114	4	201.14 - 1
K174УР7	+ 6±0,6	-25...+55	25 000	12	86	12	238.16 - 1
K174ПС1	+ 9±0,9	-25...+55	20 000	12	17	4	201.14 - 1
KФ174ПС1	+ 9±0,9	-25...+55	20 000	12	17	34	МО4.10 - 1
K174ХА2	+ 9±0,9	-25...+55	15 000	10	112	12	238.16 - 2
K174ХА4	+15±0,75	-25...+55	15 000	10	81	9	201.16 - 1
K174ХА5	+12±1,2	-25...+55	15 000	10	233	14	238.18 - 1
K174ХА6	+12±1,2	-25...+55	15 000	10	233	15	238.18 - 3
K174ХА7	+ 9±0,9	-25...+55	15 000	10	63	9	201.16 - 1
K174ХА10	+ 9±0,9	-25...+55	15 000	10	135	12	238.16 - 2
K174ХА12	+18±1,8	-25...+55	15 000	10	81	12	238.16 - 2
K174ХА14	+12±1,2	-25...+55	25 000	10	208	40	2120.24 - 1
K174ХА15	+ 9±0,45	-25...+55	15 000	10	36	12	238.16 - 2
K174ХА19	+ 9±0,9	-25...+55	25 000	10	117	23	2103.16 - 1

ИМС K174ПС1 - двойной баланс-
ный смеситель до 200 МГц

ИМС K174ХА2 - приемно-усили-
тельный тракт АМ приемни-
ков с системой АРУ

ИМС K174ХА4 - тракт фазовой
автоподстройки частоты

ИМС K174ХА5 - ЧМ тракт ра-
диовещания

ИМС K174ХА6 - усилитель-огра-
нчитель и детектор ЧМ-сигна-
ла

ИМС K174ХА7 - многофазный
перемножитель сигналов для
выделения одной боковой по-
лосы

ИМС K174ХА10 - однокристал-
льный радиоприемник IV класса

ИМС K174ХА12 - тракт фазовой
автоподстройки частоты

ИМС K174ХА14 - стереодекод-
системы с полярной моду-
ляцией

ИМС K174ХА15 - многофунк-
циональная ИМС для УКВ блок

ИМС K174ХА19 - стабилизатор
управляющего напряжения
стройки.

Микросхемы выпускаются в пи-
рамугольных полимерных и метал-
локерамических корпусах с перпенди-
кулярным расположением выводов.

Основные эксплуатационные ха-
рактеристики приведенных типов ИМС
приведены в табл. 4.3.

ИМС K174УР3 (рис. 4.6) содер-
жит усилитель-ограничитель промежу-
точной частоты А1, частотный детек-
тор U1 и предварительный усилитель
звуковой частоты А2. Послед-

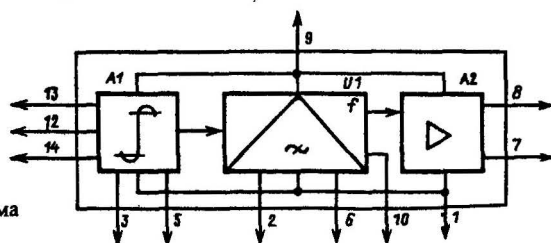
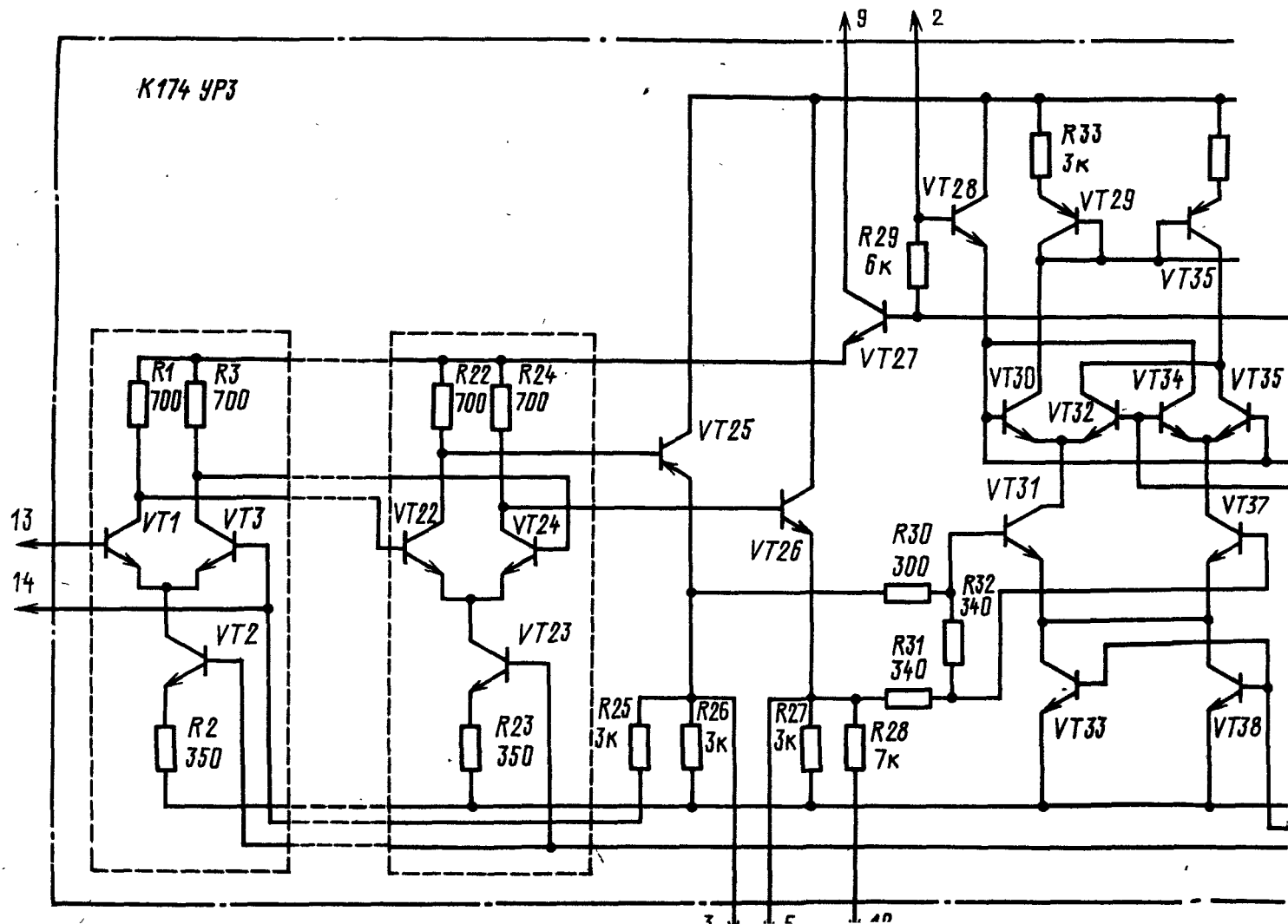
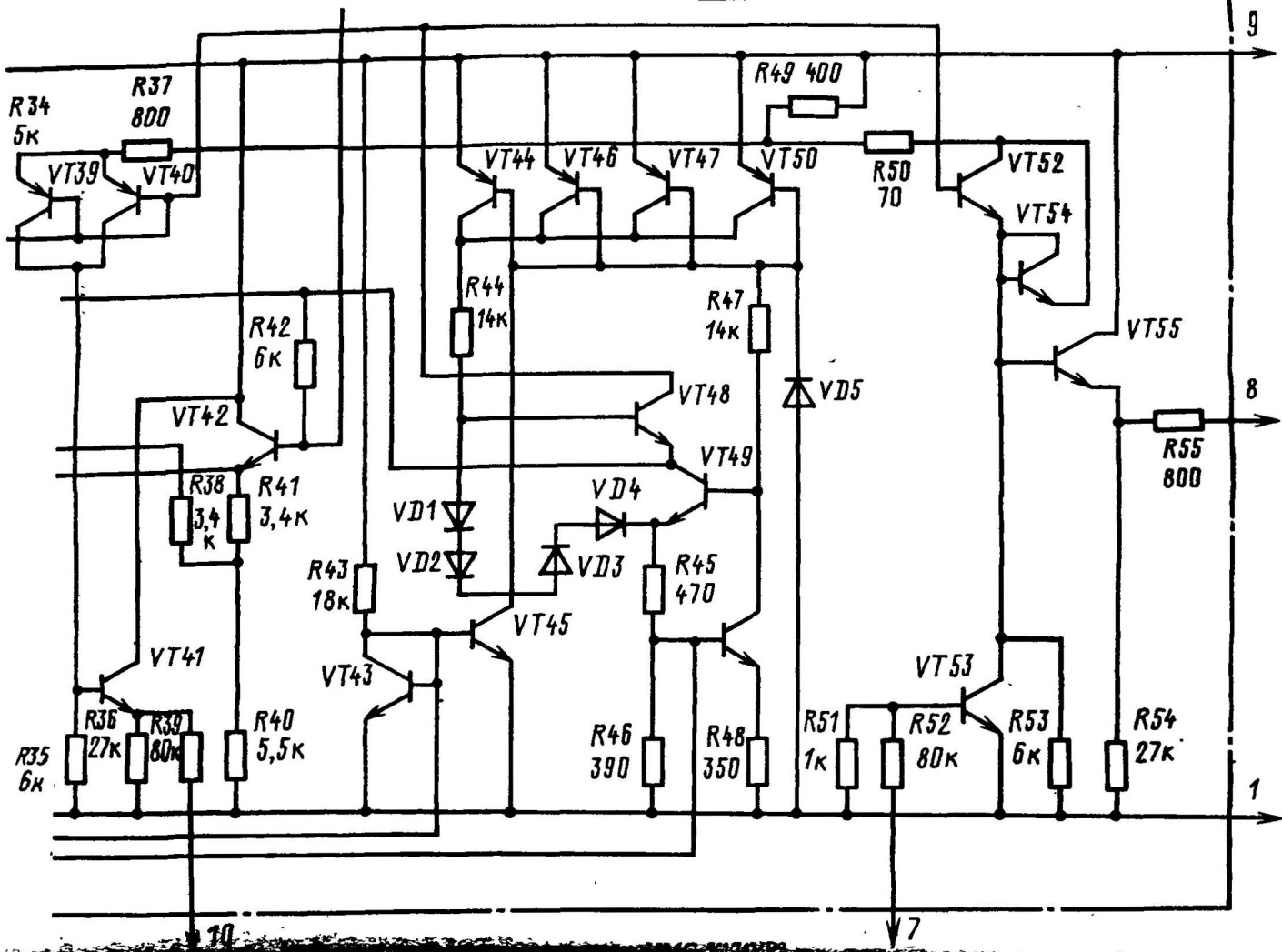


Рис. 4.6 а. Структурная схема
ИМС K174УР3





имее
звонит
бать
ИМС
в тpa
Бх
интег
ит иэ
блих
на т
нахо
на т
теп-
оо
инва
инт
ком
с
инже
част
кото
бли
тран

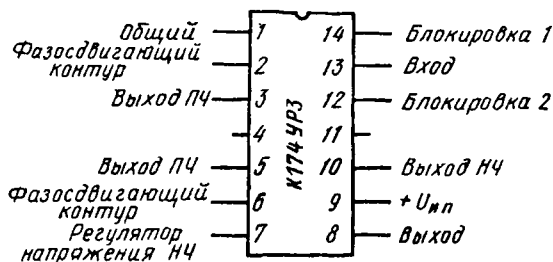


Рис. 4.6 в. Назначение выводов ИМС К174УР3

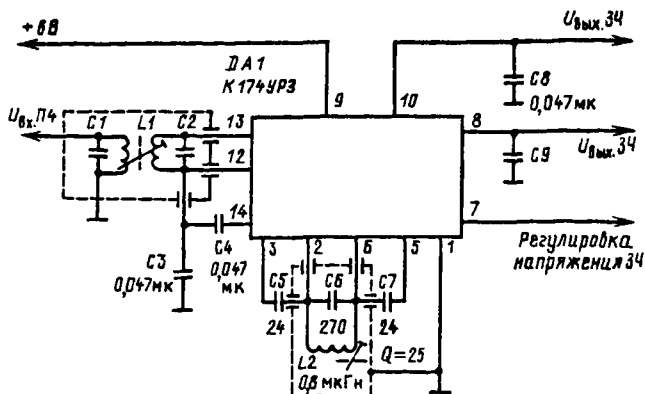


Рис. 4.6 г. Типовая схема включения ИМС К174УР3

имеет электронный аттенюатор, позволяющий дистанционно регулировать уровень выходного сигнала. ИМС предназначена для применения в трактах радиоприемных устройств.

Входной сигнал поступает на усилитель-ограничитель, который состоит из восьми последовательно связанных дифференциальных усилителей на транзисторах VT1...VT24 и двух выходных эмиттерных повторителей на транзисторах VT25, VT26. Усилитель-ограничитель охвачен глубокой ООС через резистор R5, что обеспечивает подавление паразитной амплитудной модуляции (40 дБ) в широком динамическом диапазоне уровней входных сигналов.

С выхода каскадов усиления ограниченный сигнал подается на вход частотного квадратурного детектора, который представляет собой балансный модулятор, построенный на транзисторах VT30...VT38. Чтобы по-

лучить сдвинутый по фазе относительно входного сигнала, для управления базами транзисторов узла умножения детектора (транзисторы VT28, VT42) к выводам 2, 6, должен быть подключен внешний параллельный контур, настроенный на частоту 10,7 МГц. Предварительный усилитель сигнала звуковой частоты выполнен на транзисторах VT52...VT55.

Сигнал электронной регулировки усиления подают на вывод 7. Так как ЗЧ сигнал не проходит по цепи регулировки громкости, он не подвержен влиянию фоновых наводок. Внутренний стабилизатор, выполненный на распределенных транзисторах, уменьшает влияние изменения напряжения питания на параметры ИМС.

Зависимости основных электрических характеристик ИМС от режимов эксплуатации приведены на рис. 4.7.

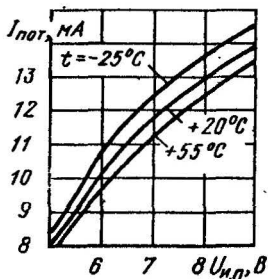


Рис. 4.7 а. Зависимости тока потребления ИМС K174УРЗ от напряжения питания при различных значениях температуры окружающей среды

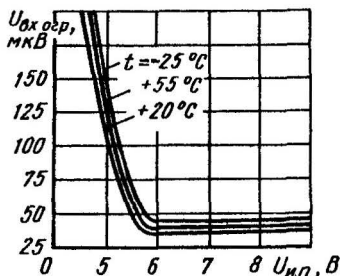


Рис. 4.7 б. Зависимости входного напряжения от напряжения питания при различной температуре окружающей среды для ИМС K174УРЗ

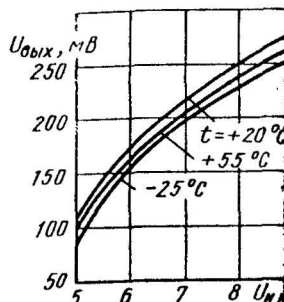


Рис. 4.7 в. Зависимости выходного напряжения от напряжения питания при различной температуре окружающей среды для ИМС K174УРЗ

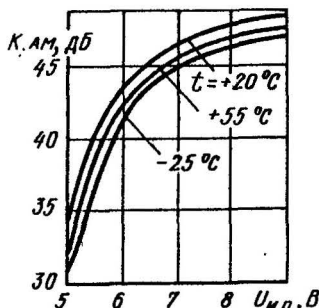


Рис. 4.7 г. Зависимость коэффициента подавления амплитудной модуляции от напряжения питания при различной температуре окружающей среды для ИМС K174УРЗ

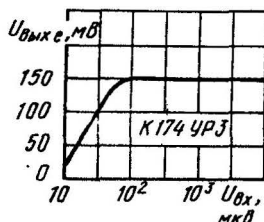


Рис. 4.7 д. Амплитудно-частотная характеристика ИМС K174УРЗ

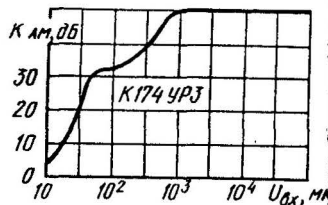


Рис. 4.7 е. Зависимость коэффициента подавления амплитудной модуляции от входного напряжения для ИМС K174УРЗ

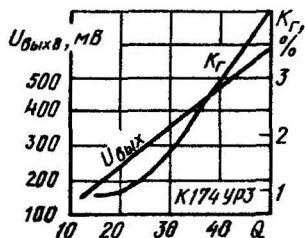


Рис. 4.7 ж. Зависимости выходного напряжения низкой частоты (с вывода 8) и коэффициента гармоник от добротности контура L6C6 для ИМС K174УРЗ

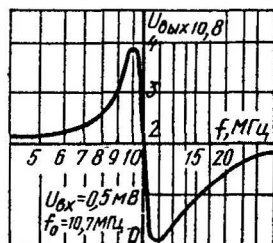


Рис. 4.7 з. Зависимость выходного постоянного напряжения (с вывода 10) от расстройки частоты входного сигнала для ИМС K174УРЗ

Электрические параметры ИМС К174УР3 при
 $25 \pm 10^\circ\text{C}$ и $U_{\text{и.п.ном}} = 6 \text{ В}$

Предельные эксплуатационные параметры
 ИМС К174УР3

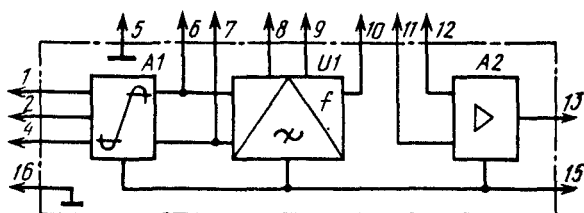
Ток потребления $I_{\text{пот}}$, мА, при $U_{\text{вх}} = 0$, не более	12
Выходное напряжение на выводе 8 $U_{\text{вых}}$, мВ, при $U_{\text{вх}} = 0,5 \text{ мВ}$, не менее	100
Выходное напряжение при ограничении $U_{\text{вх.огр}}$, мкВ, не более	100
Коэффициент подавления амплитудной модуляции $K_{\text{п.АМ}}$, дБ, при $U_{\text{вх АМ-ЧМ}} = 0,5 \text{ мВ}$, $f_{\text{мод}} = 1 \text{ кГц}$, $m = 30\%$, не менее	40
Коэффициент гармоник $K_{\text{г}}$, при $U_{\text{вх}} = 0,5 \text{ мВ}$, не более	2
Изменение выходного напряжения на выводе 8 $\Delta U_{\text{вых}}$, дБ, при подаче тока управления на вывод 7, не менее	60
Ток управления на выводе 7, I_7 , мА	0,05
Входное сопротивление $R_{\text{вх}}$, кОм, при $f = 15 \text{ МГц}$, не менее	3,9
Выходное сопротивление $R_{\text{вых}}$, кОм, не более	1,5
Сопротивление по постоянному току R_{12-13} Ом, между выводами 12, 13, не более	500

Напряжение питания $U_{\text{и.п}}$, В	
минимальное	5
максимальное	9
Ток потребления $I_{\text{пот}}$, мА, при $U_{\text{вх}} = 0$, $t_{\text{окр ср}} = -25 \dots +55^\circ\text{C}$, не более	13
Входное напряжение $U_{\text{вх}}$, мВ, не более	300
Выходное напряжение низкой частоты $U_{\text{вых}}$, мВ, при $t = 55^\circ\text{C}$, не менее	80

ИМС К174УР7 (рис. 4.8) представляет собой специализированную ИМС для радиоприемников, содержащую усилитель-ограничитель промежуточной частоты ЧМ-тракта А1, балансный ЧМ-детектор У1 и предварительный усилитель низкой частоты А2.

Типовая схема включения показана на рис. 4.8 в. Входной сигнал поступает на вход усилителя-ограничителя А1, с выхода которого ограниченный сигнал поступает на вход частотного детектора У1. Выход частотного детектора соединен с неинвертирующим входом операционного усилителя А2, который осуществляет предва-

Рис. 4.8 а. Функциональная схема ИМС К174УР7



Вход ПЧ	1	16	Общий 2
Блокировка	2	15	+ $U_{\text{и.п}}$
	3	14	
Блокировка	4	13	Выход ОУ
Общий 1	5	12	Неинвертирующий вход ОУ
Выход 1 ПЧ	6	11	Инвертирующий вход ОУ
Выход 2 ПЧ	7	10	Выход НЧ
Вход 1 ЧД	8	9	Вход 2 ЧД

Рис. 4.8 б. Назначение выводов ИМС К174УР7

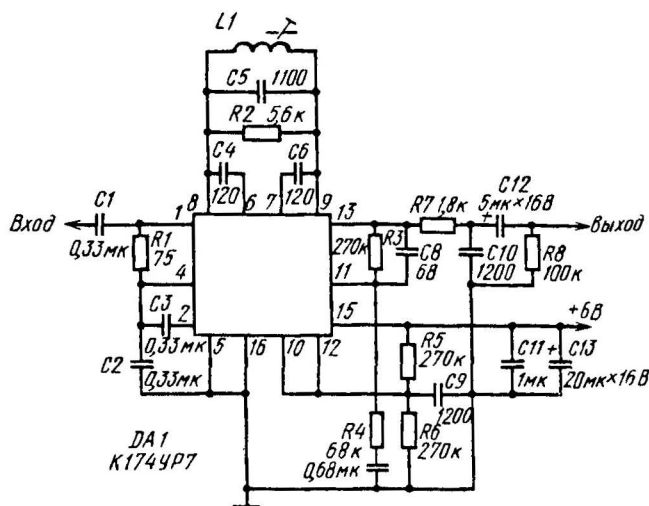


Рис. 4.8 в. Типовая схема включения ИМС K174УР7

рительное усиление звуковой частоты.

Зависимости основных электрических параметров ИМС от режимов эксплуатации приведены на рис. 4.9.

Электрические параметры ИМС K174УР7 при $25 \pm 10^\circ\text{C}$ и $U_{\text{и.п.ном}} = 6\text{ В}$

Ток потребления $I_{\text{пот}}$, мА, не более.....	0.6
Входное напряжение ограничения $U_{\text{вх.огр.}}$, мкВ, при $f_{\text{вх}} = 0.25\text{ МГц}$, $f_{\text{мод}} = 1\text{ кГц}$, не более.....	70
Выходное напряжение низкой частоты $U_{\text{вых.нч.}}$, мВ, при $U_{\text{вх}} = 10\text{ мВ}$, $f_{\text{вх}} = 0.25\text{ МГц}$, $f_{\text{мод}} = 1\text{ кГц}$, не менее.....	90
Коэффициент подавления амплитудной модуляции $K_{\text{п.ам.}}$, дБ, при $U_{\text{вх}} = 10\text{ мВ}$, $f_{\text{вх}} = 0.25\text{ МГц}$, $f_{\text{мод}} = 1\text{ кГц}$, не менее.....	30

Предельные эксплуатационные параметры ИМС K174УР7

Напряжение питания $U_{\text{и.п.}}$, В:	
минимальное.....	5.4
максимальное.....	6.6
Напряжение входного сигнала $U_{\text{вх.}}$, мВ, не более.....	100
Выходной ток $I_{\text{вых.}}$, мА, не более.....	0.1

ИМС K174ПС1, КФ174ПС1 (рис. 4.10) представляют собой двойной балансный смеситель для частот до 200 МГц и предназначена для преобразования частот УКВ-диапазона радиоприемной и связной аппаратуры.

Основным узлом ИМС (см. рис. 4.10 а) является счетверенный дифференциальный усилитель с перекрестными связями на транзисторах VT1, VT3, VT4, VT6. Подаваемое напряжение на базы транзисторов VT2, VT5 регулируются токи эмиттеров. Внутренний стабилизатор (резистор R1 и диоды VD1...VD4) обеспечивает стабильную работу ИМС по постоянному току, задавая смещение на транзисторы.

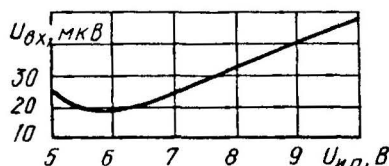


Рис. 4.9 а. Зависимость входного напряжения ограничения от напряжения питания микросхемы при частоте входного сигнала 250 кГц, частоте модуляции ЧМ режима 1 кГц, девиации частоты $\pm 3.5\text{ кГц}$, температуре окружающей среды 25°C для ИМС K174УР7

Рис. 4.9 б. Зависимость выходного напряжения НЧ от входного напряжения при напряжении питания 6 В; частоте входного сигнала 250 кГц; частоте модуляции ЧМ режима 1 кГц; температуре окружающей среды 25°C для ИМС К174УР7: 1 - девиация частоты $\pm 3,5$ кГц; 2 - девиация частоты $\pm 7,5$ кГц

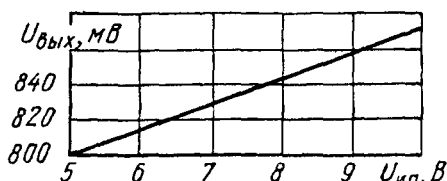
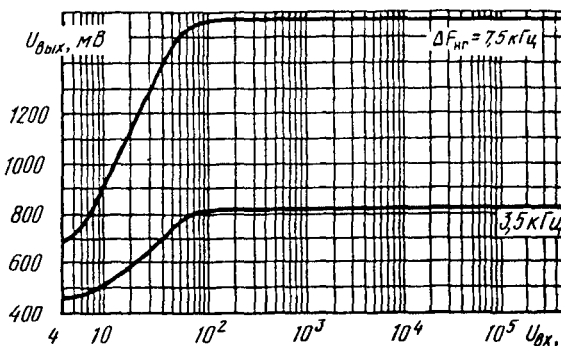


Рис. 4.9 в. Зависимость выходного напряжения НЧ от напряжения питания при входном напряжении 10 мВ, частоте входного сигнала 250 кГц, частоте модуляции ЧМ режима 1 кГц, девиации частоты $\pm 3,5$ кГц, температуре окружающей среды 25°C для ИМС К174УР7

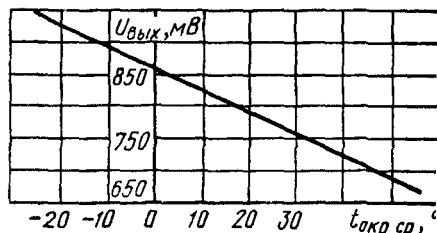


Рис. 4.9 д. Зависимость выходного напряжения низкой частоты от температуры окружающей среды при напряжении питания 6 В, ном напряжении 10 мВ, частоте входного сигнала 250 кГц, частоте модуляции 1 кГц, девиации частоты $\pm 3,5$ кГц для ИМС К174УР7

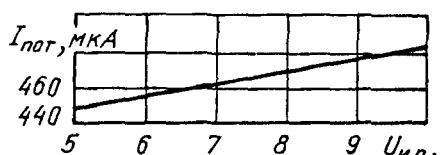


Рис. 4.9 е. Зависимость тока потребления напряжения питания при температуре 25°C ИМС К174УР7

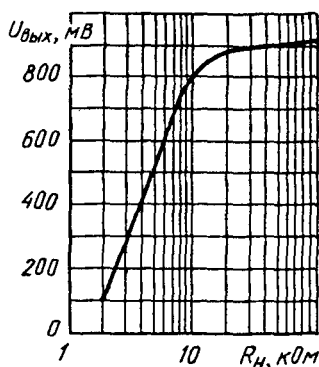


Рис. 4.9 г. Зависимость выходного напряжения НЧ от сопротивления нагрузки при напряжении питания 6 В, входном напряжении 10 мВ, частоте входного сигнала 250 кГц, частоте модуляции ЧМ режима 1 кГц, девиации частоты $\pm 3,5$ кГц, температуре окружающей среды 25°C для ИМС К174УР7

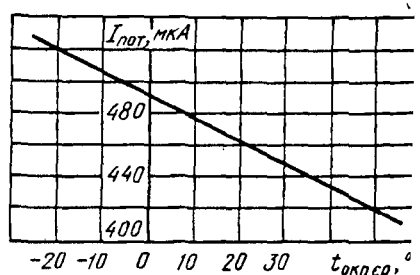


Рис. 4.9 ж. Зависимость тока потребления температуры окружающей среды при напряжении питания 6 В для К174УР7

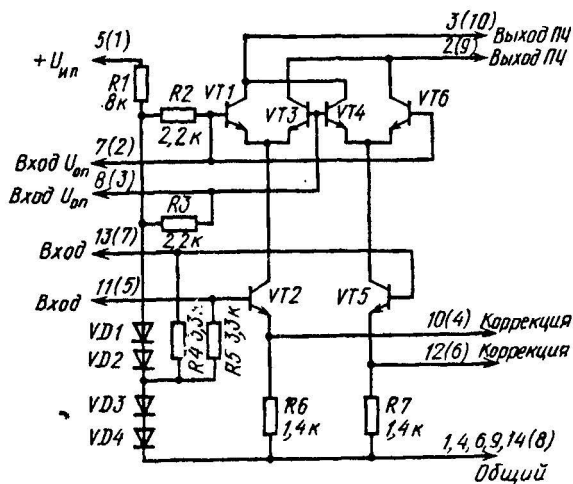


Рис. 4.10 а. Принципиальная схема ИМС К174ПС1 (КФ174ПС1)

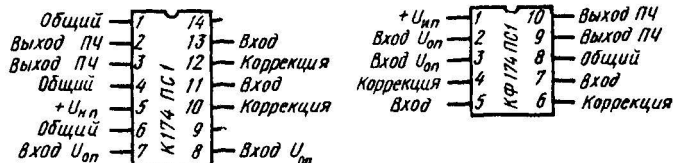
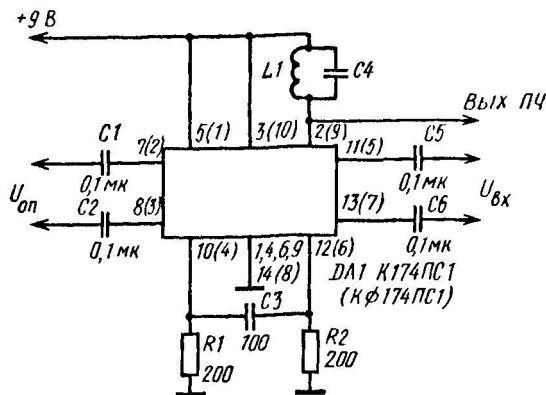


Рис. 4.10 б. Назначение выводов ИМС К174ПС1 (КФ174ПС1)

Рис. 4.10 в. Типовая схема включения ИМС К174ПС1 (КФ174ПС1). Выводы, указанные в скобках, — для корпуса МО4.10 - 1



Типовая схема показана на рис. 4.10.

Элементы $L1$, $C4$ (см. рис. 4.10 в) выбирают в зависимости от используемой промежуточной частоты. Резисторы $R1$, $R2$ в схеме необязательны, их устанавливают, чтобы увеличить крутизну преобразования. Типовая зависимость крутизны преобразования от амплитуды опорного напряжения приведена на рис. 4.11.

Микросхема может быть использо-

вана в различных радиотехнических устройствах. Рассмотрим некоторые из возможных вариантов ее применения.

На рис. 4.12 а показана схема усилительного устройства, которое может выполнять функции усилителя звуковой частоты, с высокой скоростью нарастания выходного напряжения, усилителя радиочастоты и АРУ радиоприемников. Оно представляет собой дифференциальный усилитель с

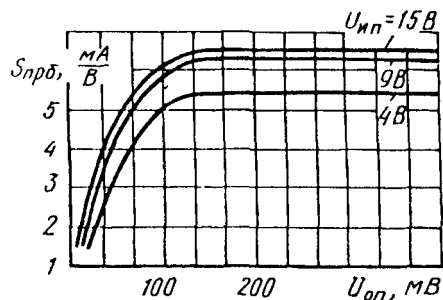


Рис. 4.11. Типовая зависимость крутизны преобразования от амплитуды опорного напряжения для ИМС К174ПС1

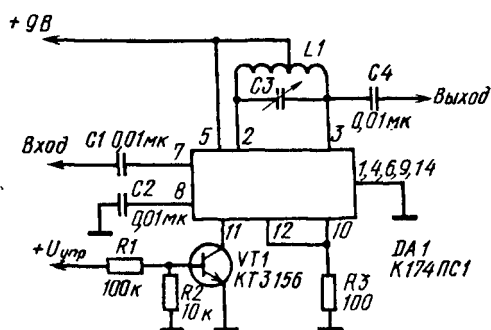


Рис. 4.12 б. Резонансный усилитель радиочастоты на ИМС К174ПС1

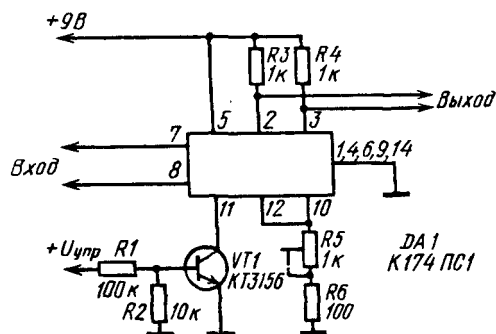


Рис. 4.12 а. Схема дифференциального усилителя на ИМС К174ПС1

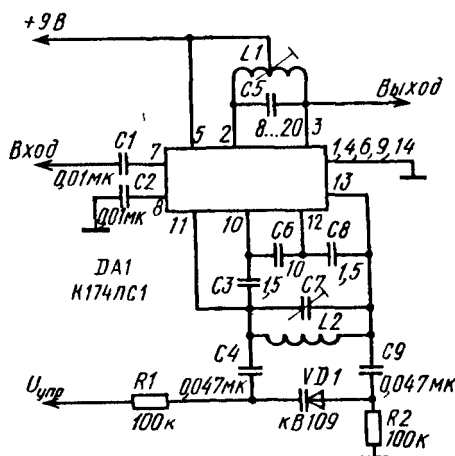


Рис. 4.12 в. Преобразователь частоты радиовещательного приемника на ИМС К174ПС1

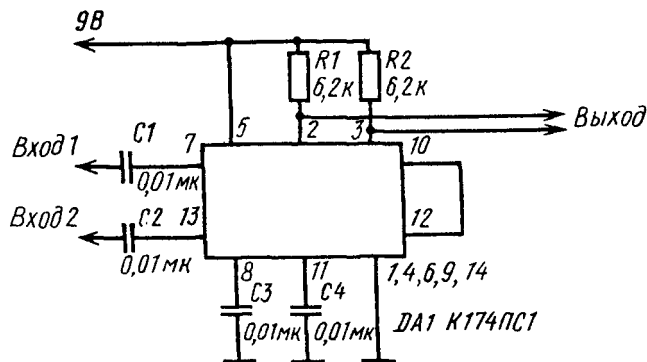


Рис. 4.12 г. Декодер цвета системы ПАЛ и НТСЦ на ИМС К174ПС1

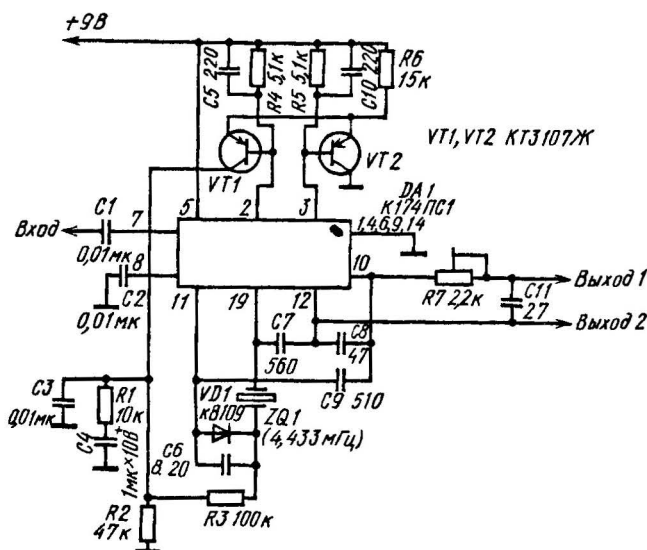


Рис. 4.12 д. Кварцевый генератор с ФАПЧ декодера цветности системы ПАЛ на ИМС K174ПС1

регулируемой полосой пропускания и коэффициентом усиления. При подаче максимального (около 10 В) управляющего напряжения через делитель $R1/R2$ на базу транзистора $VT1$, протекающий через него коллекторный ток полностью закрывает транзистор $VT2$ ИМС $DA1$ (см. рис. 4.10 а) и исключает из ее усилительного тракта дифференциальный каскад на $VT1, VT3$. В таком режиме ИМС $DA1$ имеет максимальный (не менее 20 дБ) коэффициент передачи.

По мере снижения регулирующего напряжения коллекторный ток $VT1$ будет уменьшаться, транзистор $VT5$ микросхемы начнет открываться и включает дифференциальный каскад на транзисторах $VT1, VT3$. Работая в противофазе с каскадом на транзисторах $VT4, VT6$, он будет снижать коэффициент передачи микросхемы $DA1$. При управляющем напряжении менее 0,6 В транзистор $VT1$ закроется, коллекторные токи $VT2, VT5$ микросхемы $DA1$ уравниваются и коэффициент ее передачи станет равным нулю. Глубина регулировки коэффициента усиления не менее 40 дБ. Полосу пропускания можно изменять

резистором $R5$, причем наиболее широкой (200 МГц) полосе соответствуют верхнее по схеме положение движка этого резистора.

На рис. 4.12 б приведена схема резонансного усилителя радиочастот. Коэффициент его передачи около 20 дБ. Частоту настройки (в пределах 160 кГц...230 МГц) изменяют конденсатором переменной емкости $C3$, входящим в контур $L1C3$. Коэффициент передачи усилителя зависит от режима работы каскада на транзисторе $VT1$, что позволяет ввести в усилитель АРУ с глубиной регулировки 40 дБ.

На рис. 4.12 в приведена схема преобразования частоты радиовещательного приемника. Резонансная частота контура $L1C5$ равна промежуточной частоте. Настройка гетеродина определяется контуром $L2C4C7C9VD1$. При отсутствии варикапа элементы $C4, C9, R1, R2$ можно исключить и настраивать контур гетеродина конденсатором переменной емкости, включенным параллельно катушке индуктивности $L2$.

Микросхемы $K174ПС1$ и $КФ174ПС1$ можно использовать для детектирования

ния балансно-модулированных сигналов в синхронных детекторах декодеров цвета телевизионных систем ПАЛ и НТСЦ. Схема такого детектора приведена на рис. 4.12 г. На вход 1 подают сигнал цветовой поднесущей, а на вход 2 — сигнал с кварцевого генератора декодера. Противофазные протектированные сигналы снимаются с резисторов $R1$, $R2$. На выходе такого детектора получается один из цветоразностных сигналов. Для другого сигнала нужен второй детектор. Данное устройство может быть и удвоителем частоты, если объединить входы 1, 2. Тогда с выходов можно снимать сигналы с удвоенной частотой.

Микросхемы можно также использовать в качестве кварцевого генератора с ФАПЧ декодера цветности системы ПАЛ (рис. 4.12 д). Кварцевый генератор собран на транзисторах $VT2$, $VT5$, а фазовый детектор — $VT1$, $VT3$, $VT4$, $VT6$ ИМС (см. рис. 4.10 а). На вход генератора через конденсатор $C1$ подают сигнал вспышки цветовой поднесущей. Напряжение ошибки фазы сигналов вспышки цветовой поднесущей и кварцевого генератора интегрируется элементами $R4$, $R5$, $C5$, $C10$, усиливается дифференциальным каскадом на транзисторах $VT1$, $VT2$, затем снова интегрируется цепью $C3C4R1$ с большим временем интеграции и подается на варикап $VD1$, обеспечивая таким образом подстройку кварцевого генератора. На выводах 10, 12 ИМС

присутствуют два сигнала поднесущей частоты, сдвинутые один относительно другого на 180° . На синхронный детектор "красного" цветоразностного сигнала сигнал снимается непосредственно с вывода 12, а на синхронный детектор "синего" цветоразностного сигнала — после цепочки $R7C11$, сдвигающей фазу сигнала поднесущей частоты на 90° .

Электрические параметры ИМС К174ПС1 (КФ174ПС1) при $25 \pm 10^\circ\text{C}$ и $U_{\text{и.п.ном}} = 9\text{ В}$

Ток потребления $I_{\text{пот}}$, мА, не более.....	2.5
Крутизна преобразования $S_{\text{прб}}$, мА/В, не менее.....	4.5
Коэффициент шума $K_{\text{ш}}$, дБ, не более.....	8
Верхняя граничная частота входного и опорного напряжения $f_{\text{гр}}$, МГц, не менее.....	200

Предельные эксплуатационные параметры ИМС К174ПС1 (КФ174ПС1)

Ток потребления $I_{\text{пот}}$, мА, не более.....	4.5
Напряжение питания $U_{\text{и.п}}$, В: минимальное.....	4
максимальное.....	15
Входное $U_{\text{вх}}$ и опорное $U_{\text{оп}}$ напряжение, не более.....	1

ИМС К174ХА2 (рис. 4.13) предназначена для работы в радиовещательных приемниках АМ сигналов третьей группы сложности, но может также использоваться и в радиовещательных приемниках второй группы сложности с внешним гетеродином,

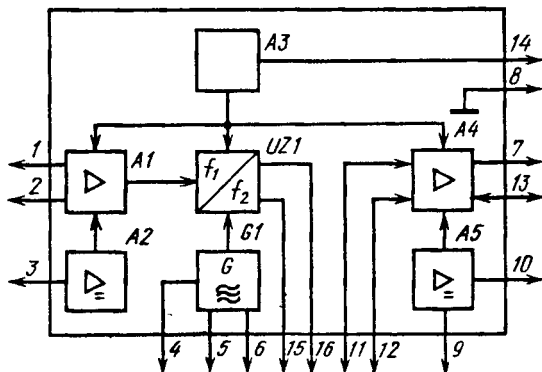


Рис. 4.13 а. Структурная схема

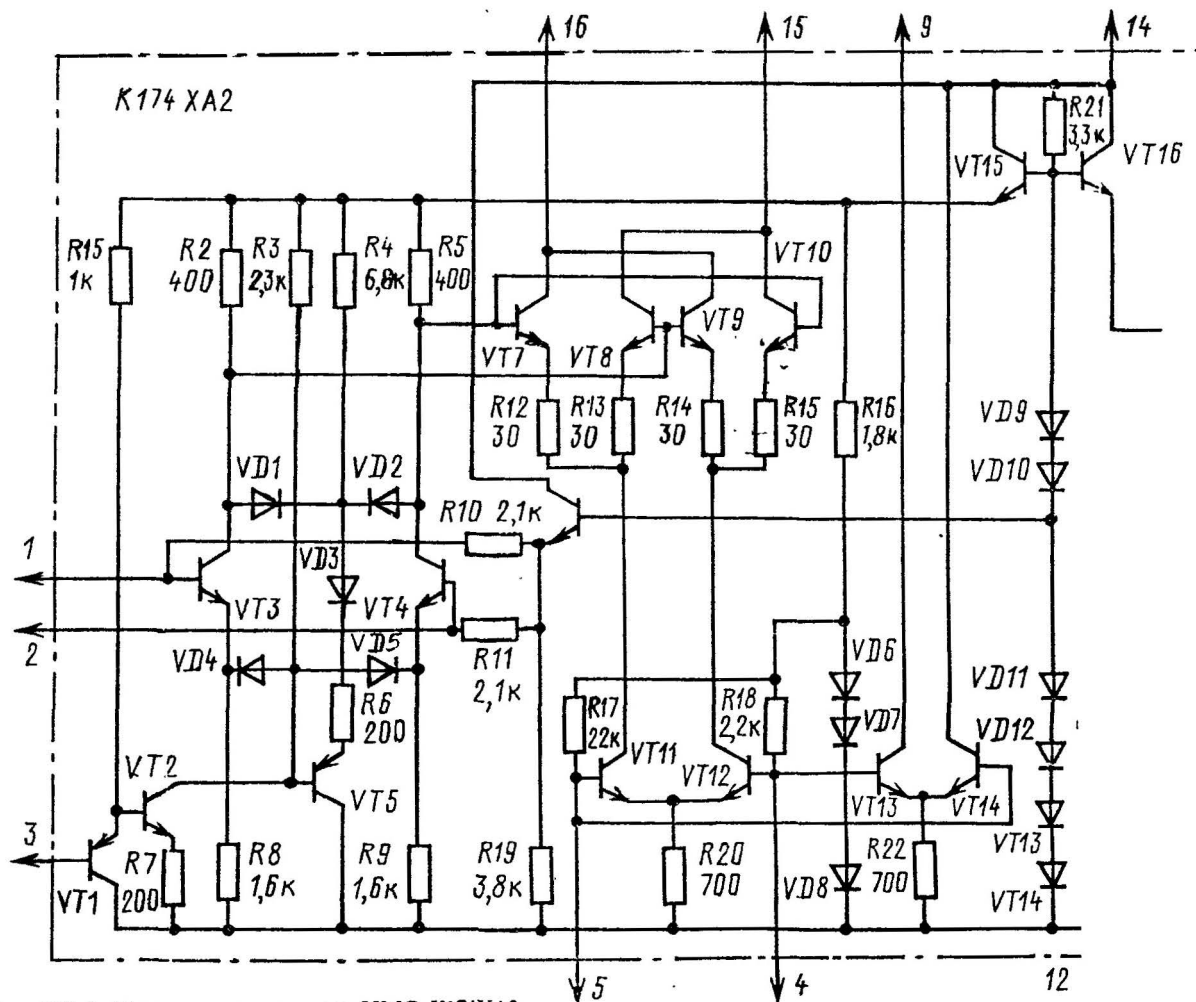


Рис. 4.13 6. Принципиальная схема ИМС К174ХА2

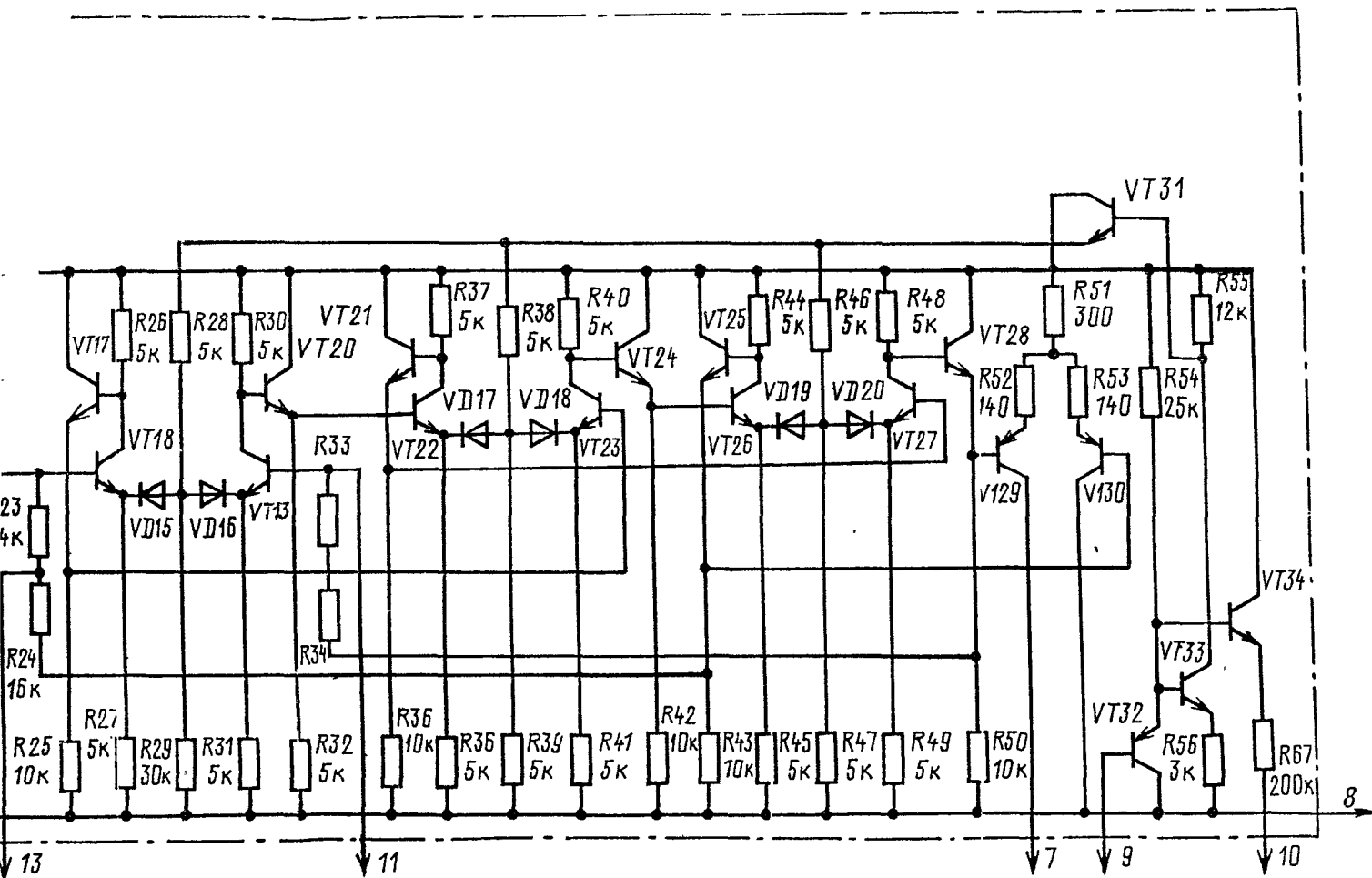


Рис. 4.13 6. Принципиальная схема ИМС K174XA2 (продолжение)

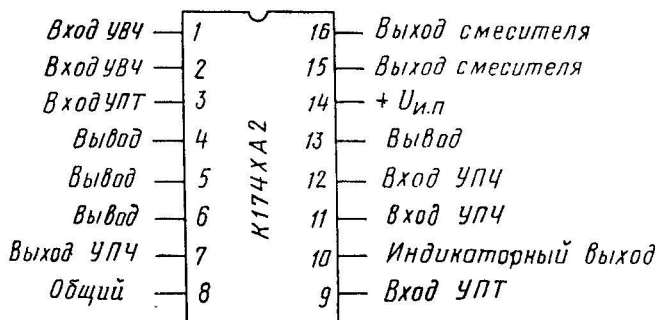


Рис. 4.13 в. Назначение выводов ИМС К174ХА2

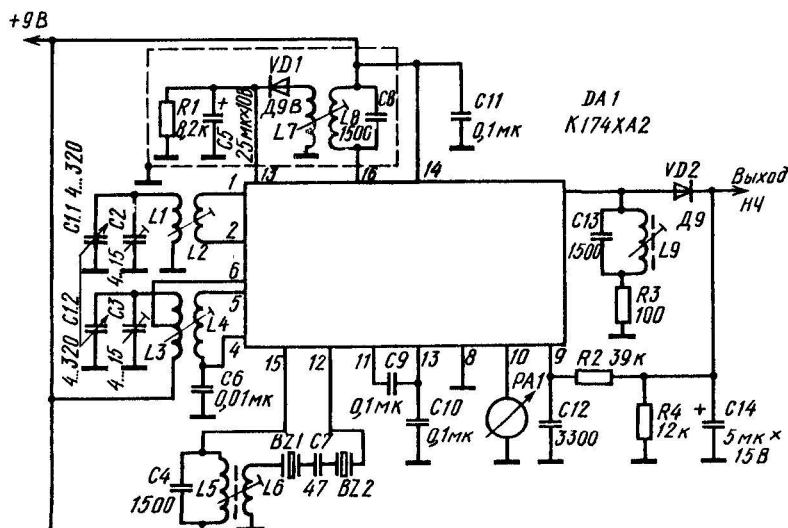


Рис. 4.13 г. Типовая схема включения ИМС К174ХА2

дает повышенную устойчивость к экрестной помехе. ИМС содержит усилитель сигналов радиочастоты А1, систему АРУ А2, смеситель УЗ1, усилитель промежуточной частоты с системой АРУ А5, гетеродин G1, стабилизатор А3.

Сигнал с антенного контура подается на усилитель РЧ, построенный в виде однокаскадного апериодического дифференциального усилителя на транзисторах VT3, VT4. Регулировка усиления осуществляется комбинированным методом: по цепи управляющей отрицательной ОС через диоды VD4, VD5 в эмиттерных цепях транзисторов и путем управляемого шун-

тирования нагрузки через диоды VD1...VD3. Ток диодов меняется усилителем постоянного тока на транзисторах VT1, VT2, VT5. В цепь стабилизации режима работы входного каскада по постоянному току включен эмиттерный повторитель VT6.

Смеситель выполнен по двойной балансной схеме на транзисторах VT7...VT12. Один из его выходов (вывод 15 или 16) может использоваться для включения контура детектора АРУ усилителя РЧ, а другой — для подачи сигнала ПЧ на пьезоэлектрический фильтр с помощью согласующего контура. Режим работы по постоянному току этого каскада

стабил
VD6...
Гет
транзи
подкл
Уси
дифф
на

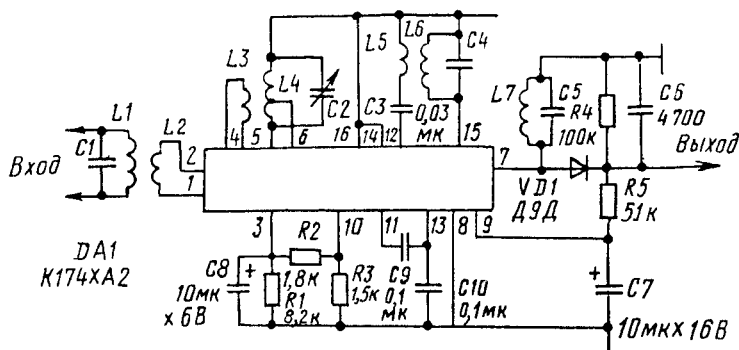


Рис. 4.14 а. Практическая схема включения ИМС K174XA2

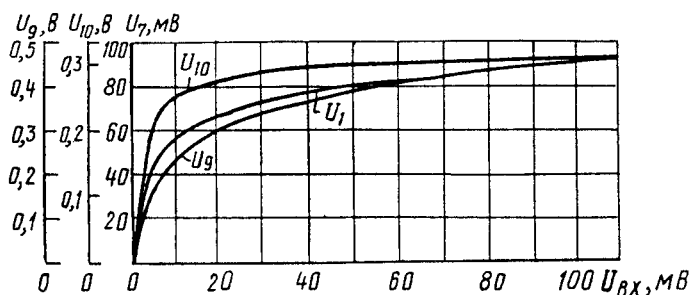


Рис. 4.14 б. Зависимости напряжения на выводах 7, 9 и 10 ИМС K174XA2 от амплитуды входного сигнала (до 100 мВ)

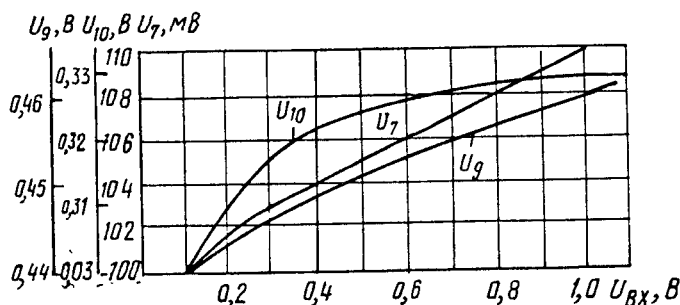


Рис. 4.14 в. Зависимости напряжения на выводах 7, 9 и 10 ИМС K174XA2 от амплитуды входного сигнала (до 1 В)

стабилизирован с помощью диодов VD6...VD8.

Гетеродин в ИМС строится на транзисторе VT13. Контур гетеродина подключают как внешний элемент.

Усилитель ПЧ состоит из четырех дифференциальных каскадов: первый - на транзисторах VT18, VT19, вто-

рой - на VT22, VT23, третий - на VT26, VT27, четвертый - на VT29, VT30.

Первые три каскада имеют регулировку усиления через диоды VD15...VD20. Управляющий усилением сигнал подается с транзистора VT31. Этот транзистор вместе с тран-

зисторами VT32...VT34 образует усилитель постоянного тока. С помощью этих цепей можно получить глубину регулировки усиления УПЧ более 60 дБ.

На элементах R21, VD9...VD14, VT15, VT16 выполнен стабилизатор напряжения для питания всех каскадов ИМС.

Еще одна практическая схема включения K174XA2 и ее характеристики в зависимости от амплитуды входного сигнала показаны на рис. 4.14

Зависимости основных параметров ИМС от режимов эксплуатации показаны на рис. 4.15.

Микросхемы можно использовать в качестве приемника (рис. 4.16).

На рис. 4.16 а индуктивность катушки $L1=36$ мкГн; контур $L1C1$ настроенный на частоту 1,465 МГц,

имеет добротность 50; коэффициент включения катушки $L1 - 0,28$, коэффициент трансформации трансформатора, образованного катушками $L1, L$ равен 0,125. Индуктивность катушек $L3 - 110$ мкГн. Трансформатор рассчитан на прием сигнала с частотой 1 МГц. Индуктивность катушки определяется коэффициентом трансформации, равным единице. Индуктивность катушки $L5$ равна 78 мкГн контур $L5C5$ с добротностью 50 рассчитан на частоту 465 кГц.

В приемниках, где входной сигнал превышает 5 мВ, целесообразно применять двухпетлевую систему АР (рис. 4.16 б). Здесь два детектора АРУ: первый детектор - диод V используется для выполнения регулировки в усилителе РЧ, а второй диод $VD2$ - в усилителе ПЧ. При малых уровнях входного сигнала (д

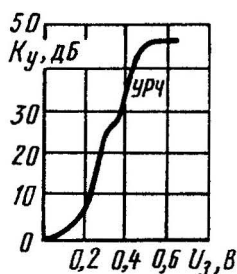


Рис. 4.15 а. Регулировочная характеристика усилителя высокой частоты на ИМС K174XA2

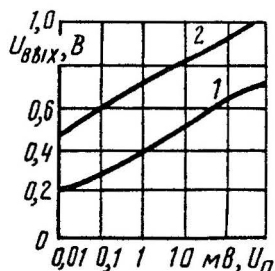


Рис. 4.15 в. Передаточная характеристика ИМС K174XA2 с германиевым 1 и кремниевым 2 диодами

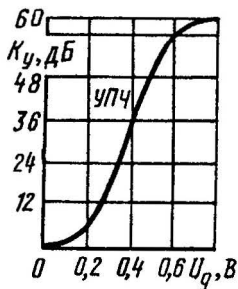


Рис. 4.15 б. Регулировочная характеристика усилителя промежуточной частоты на ИМС K174XA2

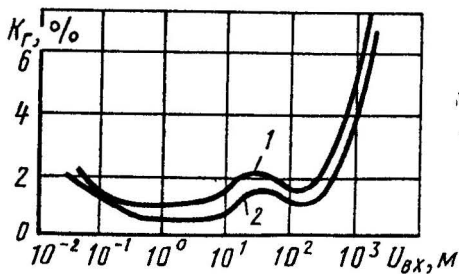


Рис. 4.15 г. Зависимость коэффициента гармоник от амплитуды входного сигнала ИМС K174XA2

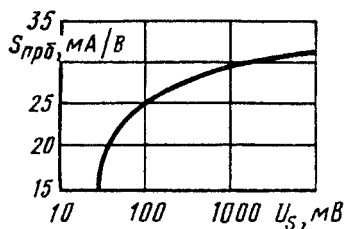


Рис. 4.15 д. Зависимость крутизны преобразования от напряжения на гетеродине для ИМС K174XA2

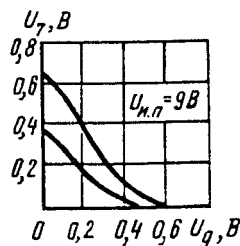


Рис. 4.15 ж. Зависимость выходного напряжения на выводе 7 ИМС K174XA2 от напряжения на выводе 9 при амплитуде сигнала 100 мкВ частотой 465 кГц

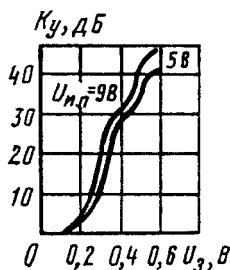


Рис. 4.15 е. Зависимость коэффициента усиления усилителя высокой частоты от напряжения на выводе 3 ИМС K174XA2 при амплитуде сигнала гетеродина 50 мВ частотой 1 МГц

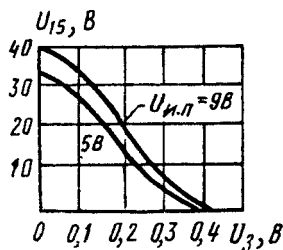


Рис. 4.15 з. Зависимость выходного напряжения усилителя высокой частоты на ИМС K174XA2 на выводе 15 от напряжения на вводе 3 при амплитуде сигнала 700 мкВ частотой 1 МГц

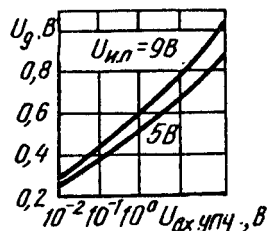


Рис. 4.15 и. Зависимость напряжения АРУ промежуточной частоты (вывод 9) от амплитуды входного сигнала частотой 465 кГц для ИМС R174XA2

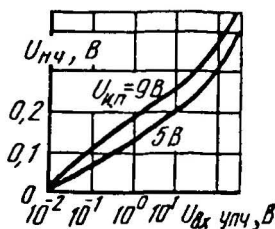


Рис. 4.15 к. Передаточная характеристика илителя промежуточной частоты на ИМС K174XA2 при $f_{пч}=465$ кГц, $f_{нч}=1$ кГц, $m=0.8$

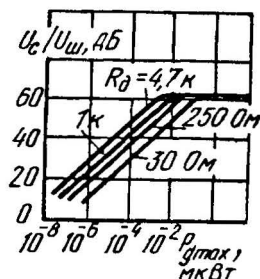


Рис. 4.15 н. Зависимость соотношения сигнал/шум на выходе ИМС K174XA2 от мощности входного сигнала $P_{гmax}=U_{г0}^2/4R_g$, где $U_{г0}$ - амплитуда входного сигнала, R_g - внутреннее сопротивление источника сигнала, при $f_{вч}=1$ МГц, $f_{нч}=1$ кГц, $m=0.3$

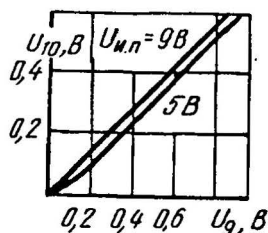


Рис. 4.15 л. Зависимость напряжения на выходе $U_{г0}$ ИМС K174XA2 от напряжения на входе U_g

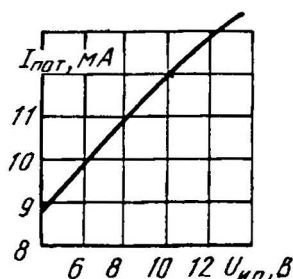


Рис. 4.15 о. Зависимость тока потребления от напряжения питания для ИМС K174XA2

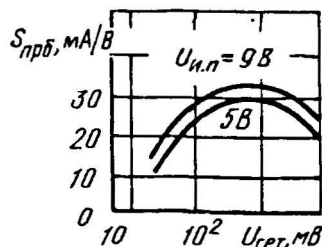


Рис. 4.15 м. Зависимость крутизны преобразования $S=I_{15}/U_{12}$, где I_{15} - ток на входе фильтра УПЧ, U_{12} - напряжение на входе УВЧ, от амплитуды сигнала гетеродина при $f_{вч}=1$ МГц, $f_{нч}=40$ кГц, $U_3=0$

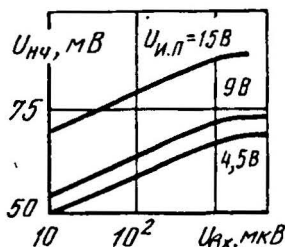


Рис. 4.15 п. Зависимость напряжения низкой частоты от амплитуды входного сигнала при различном напряжении питания для ИМС K174XA2

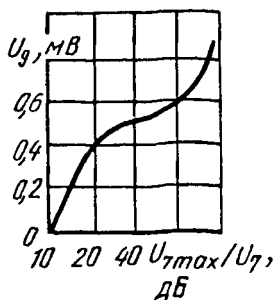


Рис. 4.15 р. Зависимость напряжения на выводе 2 от коэффициента усиления промежуточной частоты на ИМС K174XA2

-60 дБ) действует АРУ в усилителе ПЧ, при больших уровнях (до -40 дБ) - АРУ в усилителе РЧ. Управляющие характеристики для обеих систем АРУ см. соответственно на рис. 4.15 а и б. Необходимо иметь в виду, что тип диода, кремниевый или германиевый, влияет на уровень выходного сигнала микросхемы). Применение диодов Д18 дает передаточную характеристику 1, а Д223 - 2 (см. рис. 4.15 в). Тип диода в детекторе АРУ усилителя РЧ выбирают таким образом, чтобы начало работы системы АРУ в усилителе РЧ по уровням входного сигнала совпадало с окончанием действия АРУ в усилителе ПЧ.

ИМС K174XA2 можно использовать в качестве усилителя-преобразователя для приемника различного назначения (рис. 4.17).

Схема приемника АМ сигнала с несущей частотой 1 МГц и глубиной модуляции равной 0,3 приведена на рис. 4.17 а. Чувствительность приемника равна 600 мкВ/м при отношении сигнал-шум на выходе 20 дБ.

На рис. 4.17 б показана схема приемника для входных сигналов с несущей частотой 27 МГц. Гетеродин, частота которого стабилизирована кварцевым резонатором ZQ1, собран на транзисторе VT1. Уровень сигнала гетеродина на выводе 4 - 150 мВ. Фильтр на элементах C7...C9, L4...L6

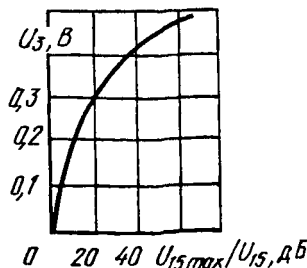


Рис. 4.15 с. Зависимость напряжения на выводе 3 от коэффициента усиления усилителя высокой частоты на ИМС K174XA2

выделяет сигнал ПЧ (здесь он ослабляется на 20 дБ). Ширина полосы пропускания равна 5 кГц, чувствительность - 2 мкВ. Катушки L1, L2 содержат по 13 витков, L3 - 5 витков провода диаметром 0,2 мм.

Еще один вариант применения ИМС K174XA2 в приемнике, работающем в диапазонах ДВ, СВ и КВ, показан на рис. 4.18. В этой схеме избирательность по соседнему каналу составляет 35 дБ. Полоса пропускания по выходу ПЧ равна 10 кГц. Коэффициент гармоник при глубине модуляции входного сигнала 80 % не превышает 3 %. Уровень сигнала гетеродина на выводах 4 и 5 - 100...150 мВ. Амплитуда выходного сигнала НЧ - не менее 100 мВ. Катушка L1 имеет индуктивность 560 мкГн, L2 - 4,7 мГн, а остальные катушки контуров имеют индуктивность согласно выбранному диапазону частот и с учетом номиналов конденсаторов. Контур L14C29 настроен на частоту 5 кГц.

На рис. 4.19 а приведена схема РЧ-ПЧ тракта, состоящего из усилителя РЧ, двойного балансного смесителя, усилителя ПЧ и усилителя постоянного тока системы АРУ. Настройка на сигналы станции осуществляется с помощью варикапной матрицы. В контур L3C4C5 гетеродина входит один варикап. Во входной контур L1C1C2 - два параллельно

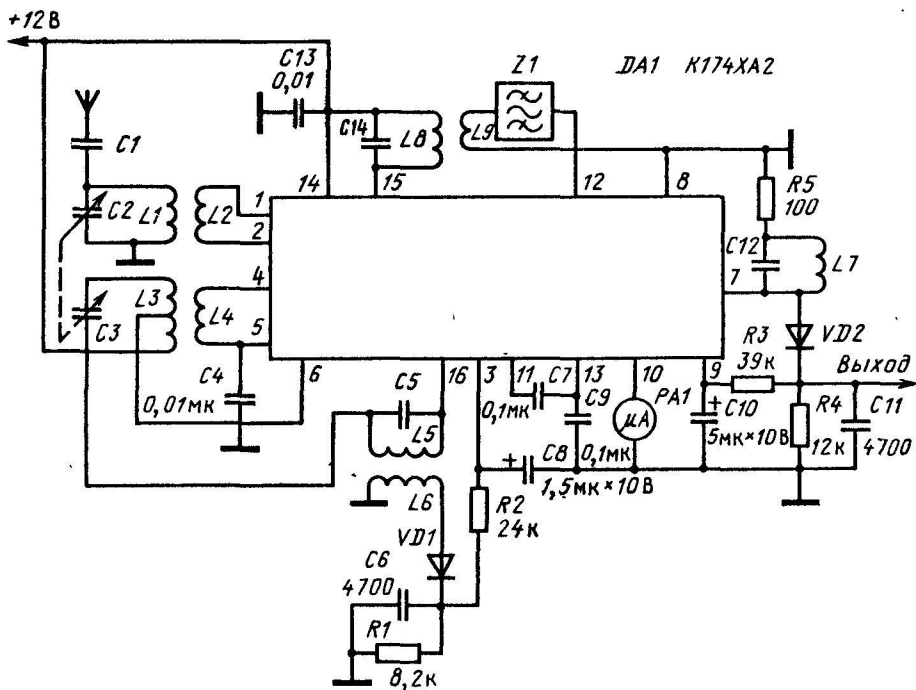
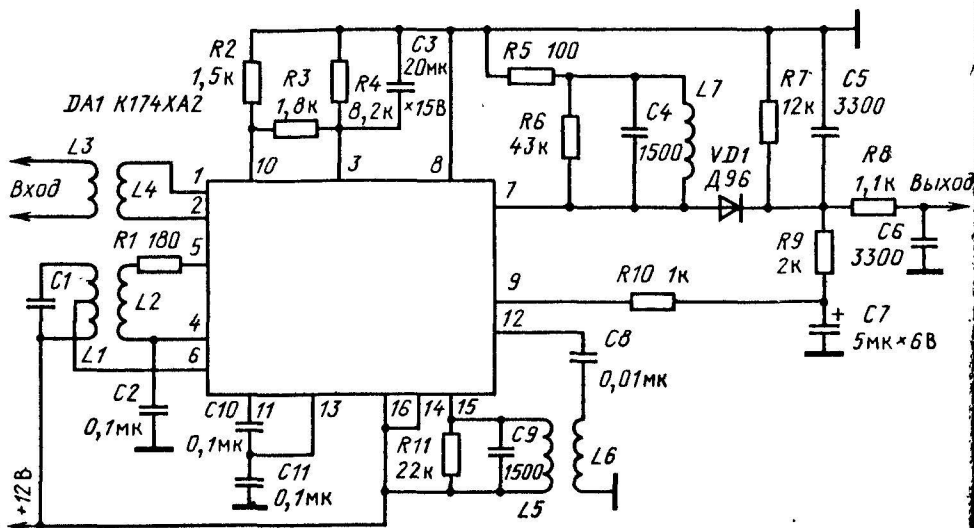


Рис. 4.16. Варианты применения ИМС K174XA2

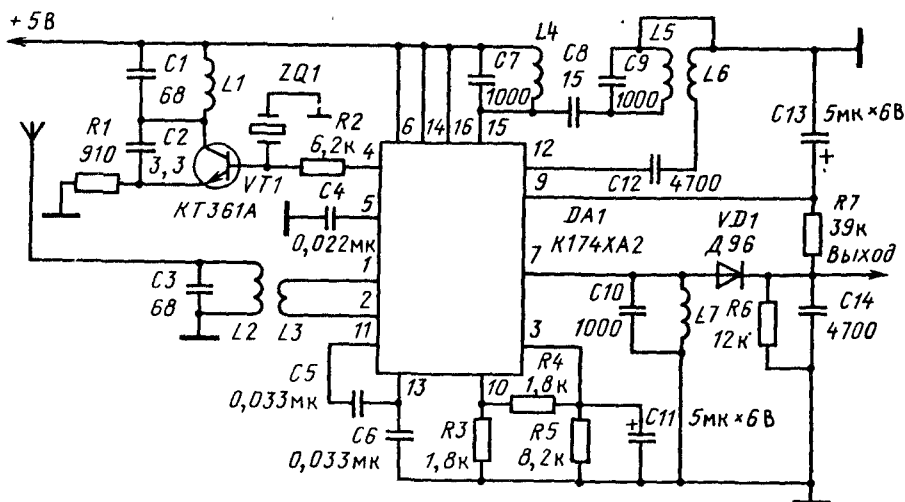
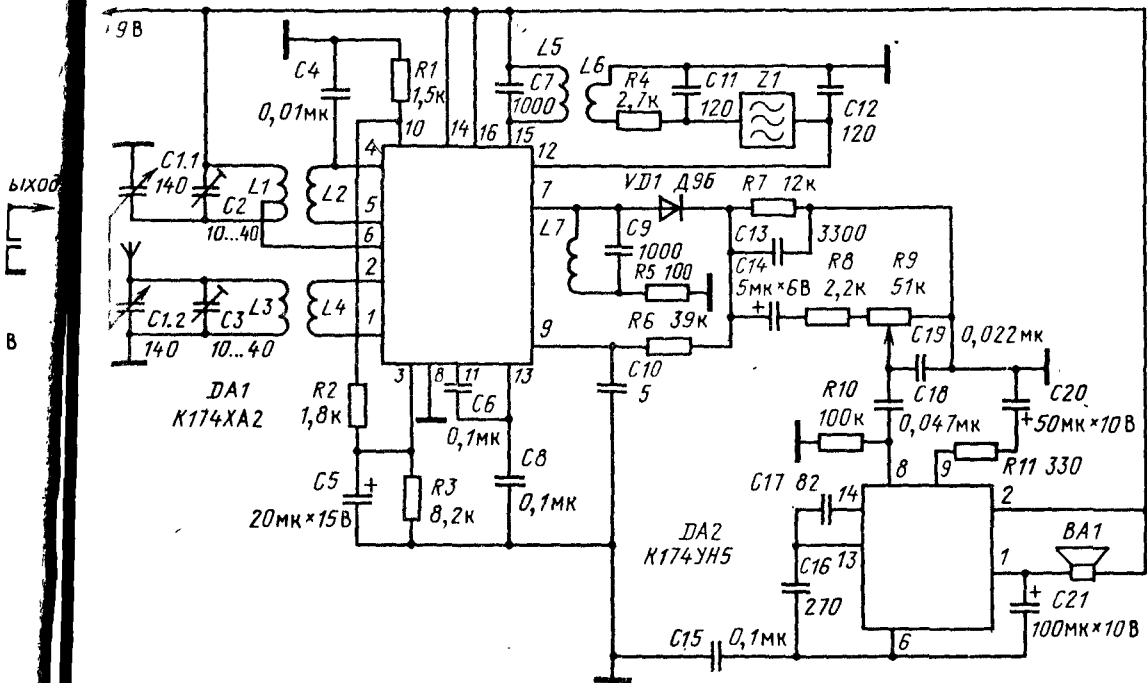


Рис. 4.17. Схемы усилителей-преобразователей на ИМС K174XA2

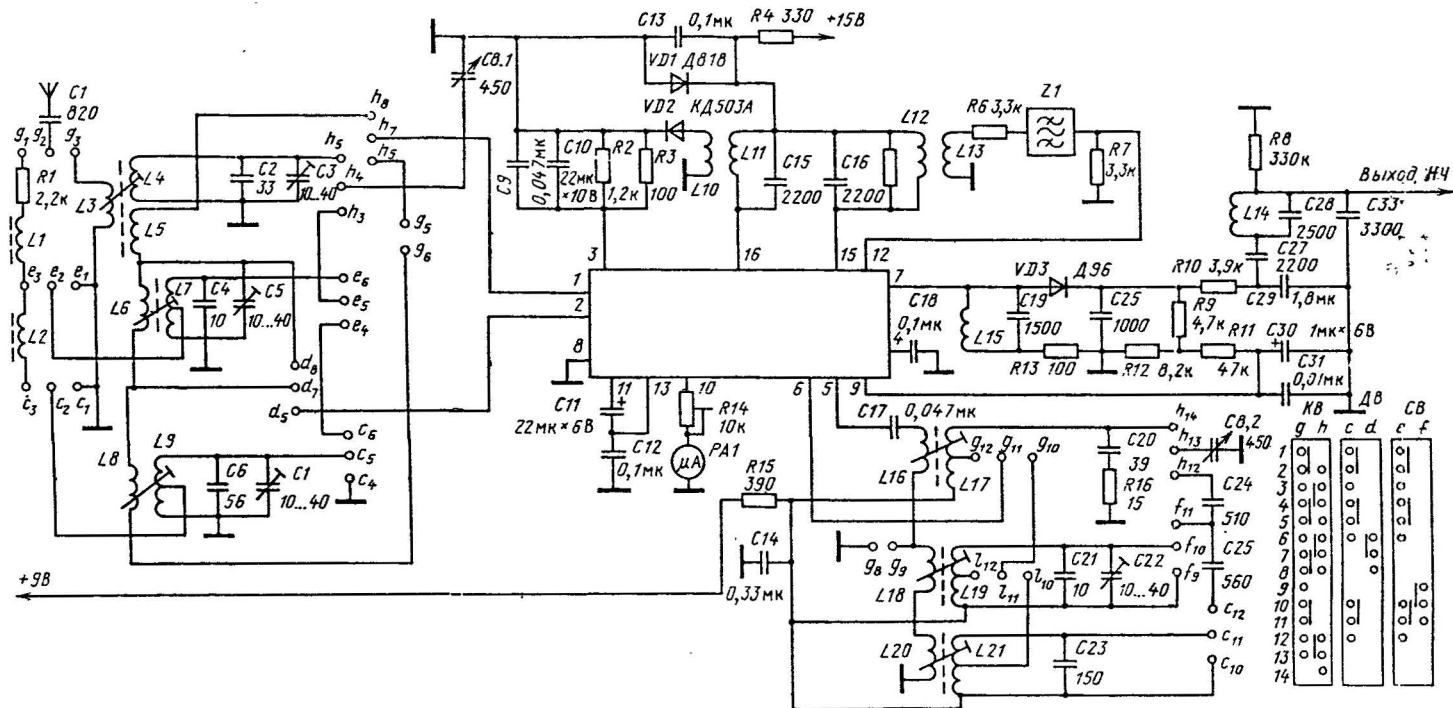


Рис. 4.18. Практическая схема приемника на ИМС K174XA2

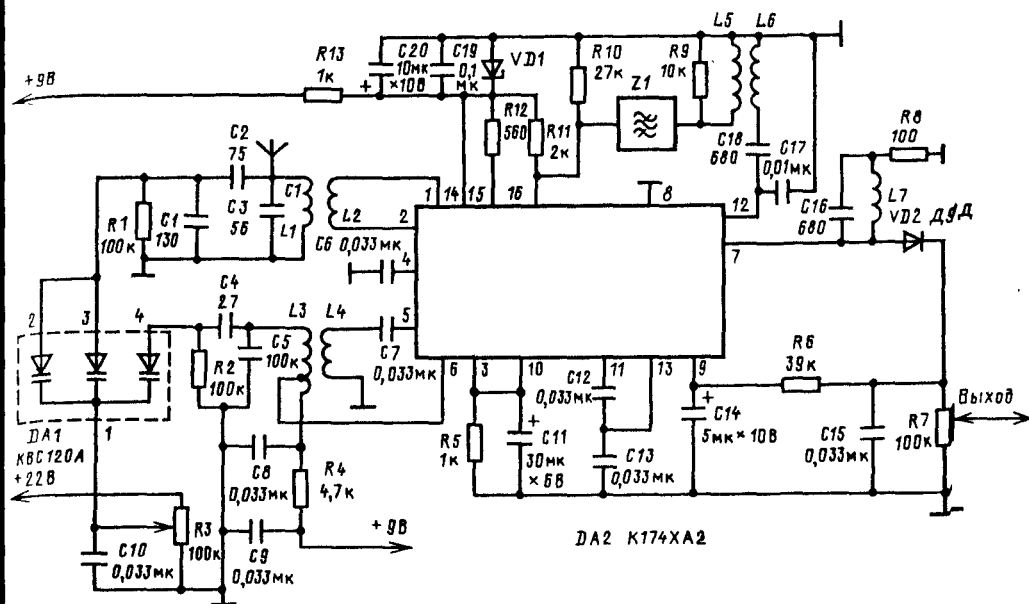


Рис. 4.19 а. Схема тракта радиочастоты на ИМС K174XA2

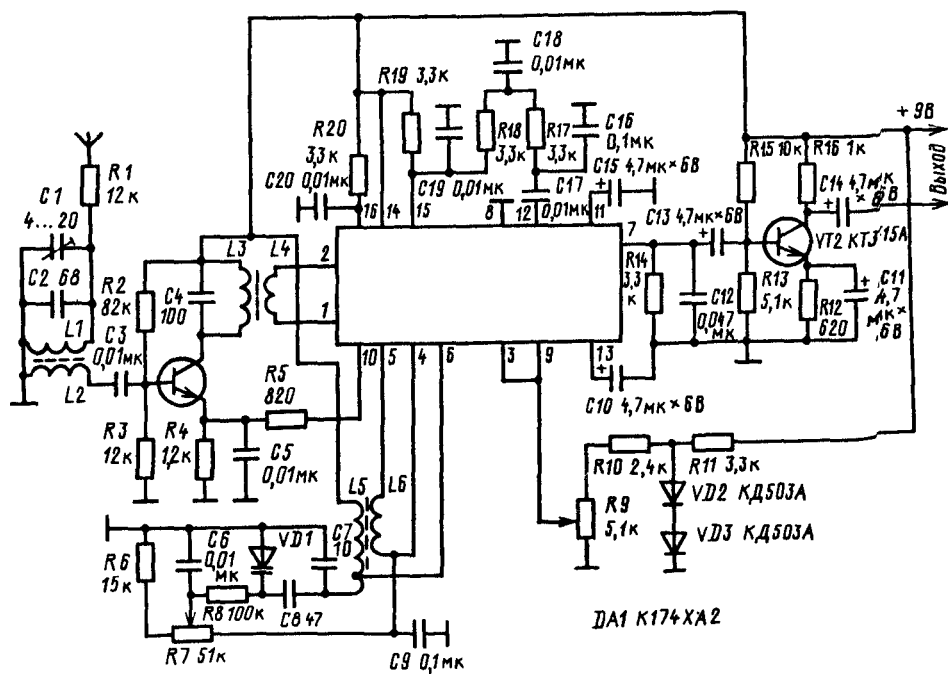


Рис. 4.19 б. Схема приемника на фиксированную частоту на ИМС K174XA2

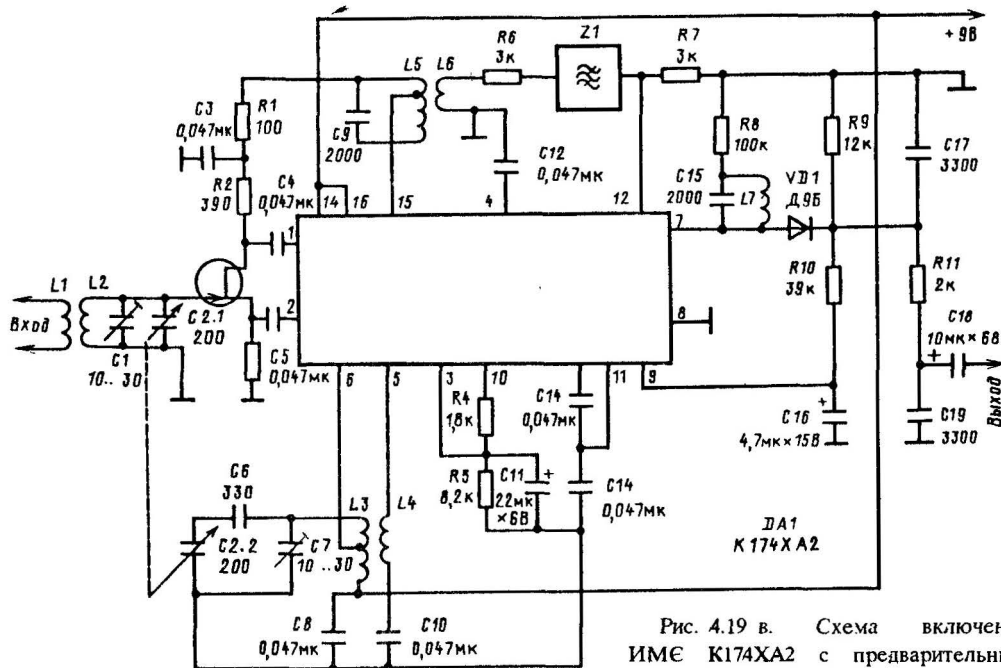


Рис. 4.19 в. Схема включения ИМС К174ХА2 с предварительным усилителем на полевом транзисторе

включенных. Смеситель нагружен на резисторы R_{10} , R_{12} и пьезокерамический фильтр Z_1 , настроенный на промежуточную частоту, равную 465 кГц. Выделенный фильтром сигнал промежуточной частоты через катушку связи L_5 поступает на фильтр ПЧ $L_6C_{17}C_{18}$ и далее на вход усилителя ПЧ ИМС, на фильтр L_7C_7 и на детектор. Выделенный сигнал через резистор R_6 попадает в усилитель АРУ. Схема приемника на фиксированную частоту приведена на рис. 4.19 б. На транзисторе VT_1 собран предварительный усилитель. С контура L_3C_4 сигнал поступает в ИМС, где взаимодействует с колебаниями гетеродина, частоту которого можно подстроить резистором R_7 . Сигнал ПЧ (вывод 15) поступает на фильтр из элементов R_{17} , R_{18} , $C_{16}...C_{18}$. Сигнал НЧ из ИМС поступает на усилитель на транзисторе VT_2 . Чувствительность приемника (3...5 мкВ) регулируют при необходимости переменным резистором R_9 .

Параметры элементов контуров выбирают в зависимости от частоты входного сигнала.

Схема включения микросхемы предварительным усилителем на полевом транзисторе VT_1 приведена на рис. 4.19. Селекцию входного сигнала осуществляет контур $L_2C_{1C2.1}$. Частота колебаний гетеродина определяется контуром $L_3C_{2.2}C_6C_7$. Сигнал разностной частоты выделяется контуром L_5C_9 и последующий полосовым фильтром Z_1 . С усилителя ПЧ через контур L_7C_{15} сигнал приходит в детектор на диоде VD_1 . RC фильтр $R_{10}C_{16}$ выделяет напряжение АРУ и оно подается на вывод 9.

При отсутствии входного сигнала на выводах должны быть следующие постоянные напряжения:

Номер вывода	1, 2, 4, 5	3, 7 - 10, 13	6	11, 12	14 - 16
Напряжение, В	2	0	8.4	1.8	9

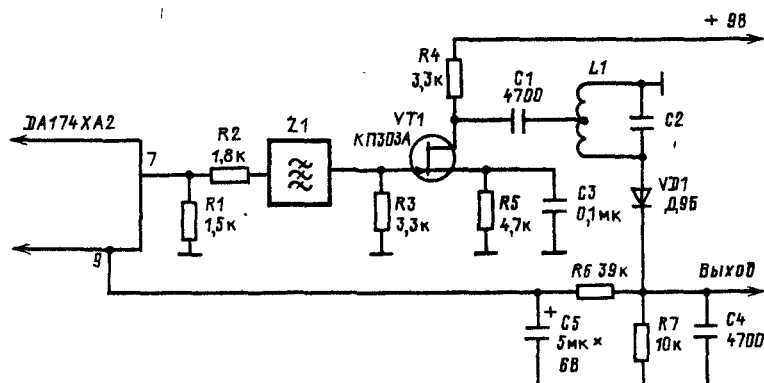
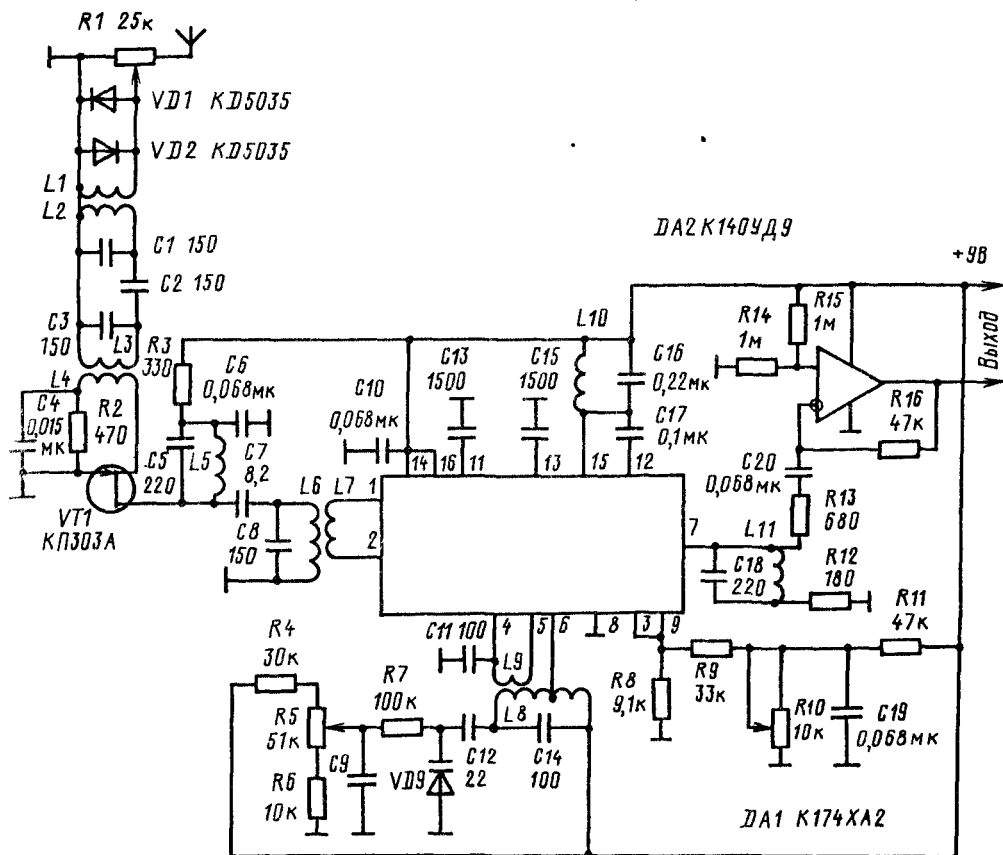


Схема приемника, рассчитанного на прием сигналов с частотой до 10 МГц, показана на рис. 4.19 г. Входной сигнал с антенны через переменный резистор $R1$ и систему связанных фильтров поступает в усилитель на транзисторе $VT1$. Далее входной сигнал поступает на микросхему $DA1$, где он взаимодействует с колебаниями гетеродина, которые формирует контур $L8C14C12VD9$. Частоту настройки регулируют переменным резистором $R5$. Разностный сигнал с частотой 1 кГц выделяется в контуре $L10C16$ и через вывод 12 поступает на вход усилителя ПЧ, который обеспечивает усиление приблизительно в 1500 раз. Выходной контур усилителя ПЧ $L11C18$ выделяет полезный сигнал и он приходит на ОУ $DA2$. Переменным резистором $R10$ можно менять чувствительность приемника, которая составляет около 0,1 мкВ. При приведенных на схеме номиналах элементов уход частоты не превышает 6 Гц в минуту.

На рис. 4.19 д показано подключение дополнительного фильтра $Z1$ к выходу микросхемы, что улучшает селекцию сигналов ПЧ. Транзистор $VT1$ обеспечивает дополнительное усиление.

Электрические параметры ИМС K174XA2 при $25 \pm 10^\circ\text{C}$ и $U_{\text{и.п.}} = 9\text{ В}$

Ток потребления $I_{\text{пот}}$, мА, не более.....	16
Отношение сигнал-шум $K_{\text{ш}}$, дБ, при $U_{\text{вх}} = 20\text{ мкВ}$, не менее.....	26
Выходное напряжение низкой частоты $U_{\text{вых 1 НЧ}}$, мВ, при $U_{\text{вх}} = 20\text{ мкВ}$, не менее.....	60
Выходное напряжение низкой частоты $U_{\text{вых 2 НЧ}}$, мВ, при $U_{\text{вх}} = 5 \cdot 10^5\text{ мкВ}$	100...560
Коэффициент гармоник $K_{\text{г}}$, %, при $U_{\text{вх}} = 5 \cdot 10^5\text{ мкВ}$, не более.....	10
Коэффициент гармоник $K_{\text{г}}$, %, при $U_{\text{вх}} = 3 \cdot 10^4\text{ мкВ}$, не более.....	8
Частота входного сигнала $f_{\text{вх}}$, МГц, не более.....	27
Входное сопротивление УВЧ $R_{\text{вх УВЧ}}$, кОм, не менее.....	3

Входное сопротивление УПЧ $R_{\text{вх упч}}$, кОм, не менее.....	3
Выходное сопротивление $R_{\text{вых 7}}$, кОм, на выводе 7, не менее.....	60
Изменение выходного напряжения низкой частоты $\Delta U_{\text{вых НЧ}}$ при изменении $U_{\text{и.п.}}$ от 4,8 до 9 В при $U_{\text{вх}} = 10\text{ мкВ}$, $m = 30\%$, не более.....	6

Предельные эксплуатационные параметры ИМС K174XA2

Напряжение питания $U_{\text{и.п.}}$, В:	
минимальное.....	4,8
максимальное.....	15

ИМС K174XA4 (рис. 4.20) предназначена для фазовой автоподстройки частоты, может работать как синхронный АМ детектор и как узкополосный фильтр с полосой пропускания до $\pm 1\%$ относительно центральной частоты. ИМС применяется в диапазоне от 1 Гц до 15 МГц с регулируемым диапазоном слежения $\pm(1...15\%)$. ИМС содержит фазовый компаратор (перемножитель) $U1$, фильтр НЧ $Z1$, усилители $A1$ и $A2$, ограничитель $ZL1$, генератор, управляемый напряжением (ГУН) $G1$, перемножитель $U2$, третий усилитель $A3$. Вход для АМ сигнала – вывод 4, выход демодулированного сигнала – вывод 1.

Входной сигнал с частотой f_c поступает на один вход фазового компаратора-перемножителя (см. рис. 4.20 а), а на другой его вход подаются колебания с образцового генератора $G1$, частотой которого управляет напряжение, прошедшее через фильтр НЧ $Z1$, усилитель и ограничитель $ZL1$. Когда на входе сигнала нет, ГУН настроен на центральную частоту входного сигнала. В этом случае на выходе перемножителя сигнал отсутствует и генератор не управляется. Если на вход подать сигнал, то на выходе перемножителя будет сигнал рассогласования, пропорциональный разности частот и фаз между взаимодействующими сигналами. Полярность напряжения ошибки

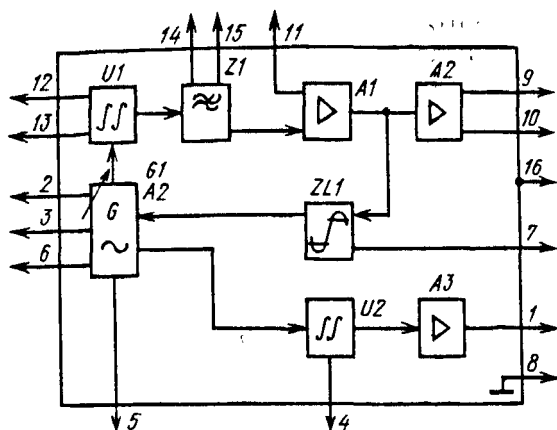


Рис. 4.20 а. Структурная схема ИМС К174ХА4



Рис. 4.20 б. Назначение выводов ИМС К174ХА4

может быть как положительной, так и отрицательной в зависимости от того, какой из сигналов является ведущим по фазе. Напряжение ошибки подается на фильтр НЧ, где ослабляются высокочастотные составляющие. Сглаженное напряжение усиливается и поступает на вход ГУН. Частота генерируемых ГУН колебаний изменяется таким образом, чтобы с уменьшением напряжения ошибки уменьшалась разность частот между входным и гетеродинным сигналами. Напряжение ошибки уменьшается до тех пор, пока частоты сигнала и ГУН не уравниваются, но между ними остается конечная разность фаз, которая здесь оказывается сигналом рассогласования, необходимым для удержания петли ОС в режиме смещения.

Зависимости основных параметров ИМС от режимов эксплуатации приведены на рис. 4.21.

Используя ИМС К174ХА4 можно строить модуляторы и демодуляторы сигналов. На рис. 4.22 а показана схема детектора ЧМ сигналов без катушки индуктивности. Однако ИМС К174ХА4 не обеспечивает высокого качества демодуляции широкополосных ЧМ сигналов: во-первых, ГУН имеет недостаточную термостабильность, во-вторых, простой фильтр не может полностью подавить несущую и она появляется на выходе. Для ЧМ детектора типичны следующие характеристики: порог детектирования 120 мкВ; амплитуда демодулированного сигнала 60 мВ; уровень нелинейных искажений 0,3 %; отношение сигнал/шум - 35 дБ.

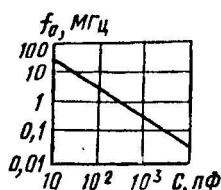


Рис. 4.21 а. Зависимость частоты ГУН от емкости времязающего конденсатора для ИМС K174XA4

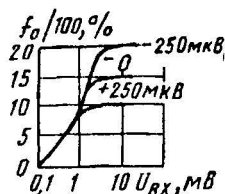


Рис. 4.21 б. Зависимость диапазона слежения от входного сигнала для ИМС K174XA4

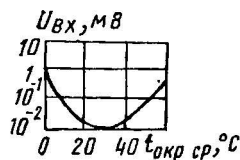


Рис. 4.21 в. Зависимость входного сигнала от температуры для ИМС K174XA4

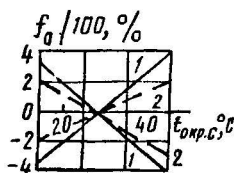


Рис. 4.21 г. Зависимость диапазона слежения от температуры для ИМС K174XA4

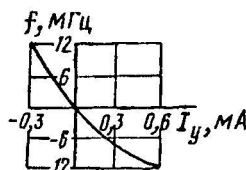


Рис. 4.21 д. Зависимость частоты ГУН тока управления для ИМС K174XA4

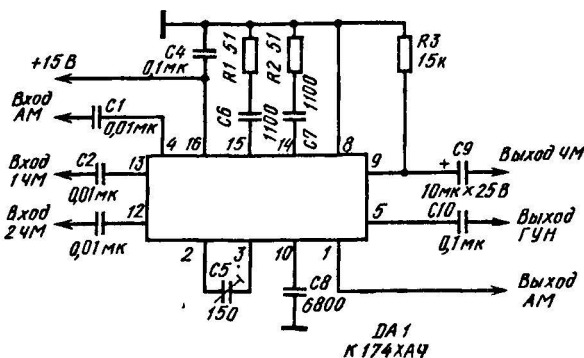


Рис. 4.22 а. Детектор ЧМ сигнала без катушки индуктивности на ИМС K174XA4

В режиме детектора АМ сигналов микросхема работает как синхронный детектор (рис. 4.22 б). Усиление преобразованного АМ сигнала составляет 12 дБ, подавление сигналов вне полосы преобразования 30 дБ, уровень нелинейных искажений 1 %.

Электрические параметры ИМС K174XA4 при $25 \pm 10^\circ\text{C}$ и $U_{\text{н.п}} = 15\text{ В}$

Ток потребления $I_{\text{пот}}$, мА, не более.....12
Диапазон рабочих частот 0.1 Гц...30 МГц

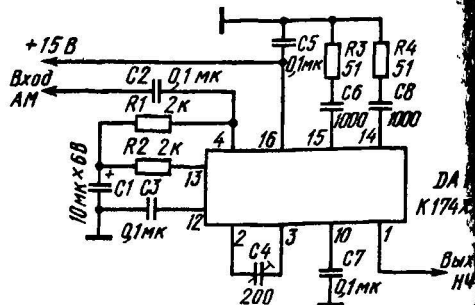


Рис. 4.22 б. Синхронный детектор АМ сигналов на ИМС K174XA4

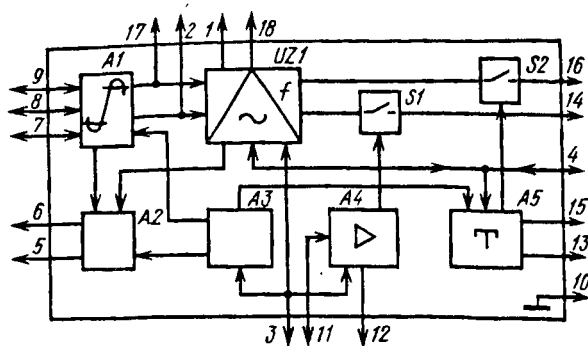


Рис. 4.23 а. Структурная схема ИМС K174XA5



Рис. 4.23 б. Назначение выводов ИМС K174XA5

Температурный коэффициент частоты

ГУН Δf , %/°C	±0,6
Входное сопротивление $R_{вх}$, кОм	2
Входная емкость $C_{вх}$, пФ	4
Входное постоянное напряжение $U_{вх. пост}$, В	4
Выходное постоянное напряжение $U_{вых. пост}$, В	14
Амплитуда выходного сигнала $U_{вых}$, В	4
Коэффициент подавления амплитудной модуляции $K_{под\ AM}$, дБ	40

Предельные эксплуатационные параметры ИМС K174XA4

Напряжение источника питания $U_{ип}$, В:	
минимальное	14,25
максимальное	15,75
Минимальный уровень сигнала, необходимый для слежения U_{min} , мкВ	100

ИМС K174XA5 (рис. 4.23) представляет собой специализированную микросхему, содержащую комбинацию усилителя-ограничителя и квадратурного частотного детектора, предназначена для применения в трактах ПЧ и в детекторе ЧМ приемников.

В состав ИМС входят усилитель-ограничитель A1; детектор уровня A2; частотный детектор UZ1; стабилизатор напряжения A3; усилитель A4; триггер A5.

Основной тракт ИМС (усилитель-ограничитель и детектор ЧМ) дополнен трактом бесшумной настройки (БШН), управляющий сигнал для которого снимают с каскада усилителя-ограничителя через детектор уровня. Это же напряжение может использоваться для индикации уровня сигнала на входе. Кроме того имеются цепи коммутации тракта БШН и АПЧ ($S1$, $S2$).

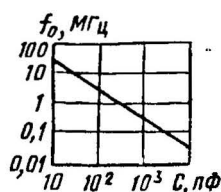


Рис. 4.21 а. Зависимость частоты ГУН от емкости времязадающего конденсатора для ИМС K174XA4

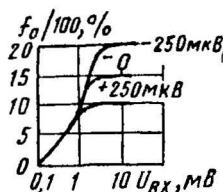


Рис. 4.21 б. Зависимость диапазона слежения от входного сигнала для ИМС K174XA4

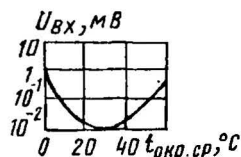


Рис. 4.21 в. Зависимость входного сигнала от температуры для ИМС K174XA4

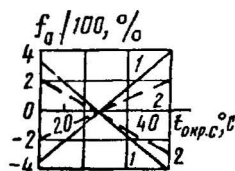


Рис. 4.21 г. Зависимость диапазона слежения от температуры для ИМС K174XA4

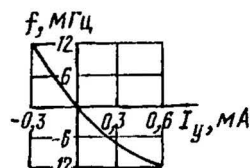


Рис. 4.21 д. Зависимость частоты ГУН тока управления для ИМС K174XA4

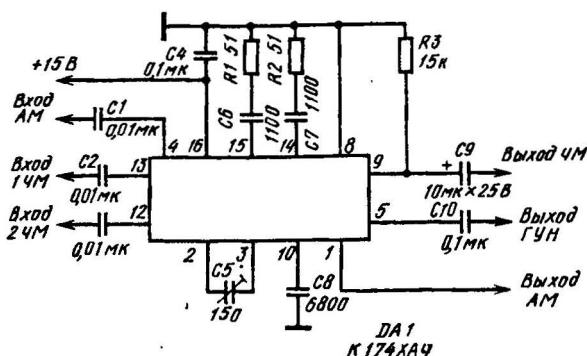


Рис. 4.22 а. Детектор ЧМ сигнала без катушки индуктивности на ИМС K174XA4

В режиме детектора АМ сигналов микросхема работает как синхронный детектор (рис. 4.22 б). Усиление преобразованного АМ сигнала составляет 12 дБ, подавление сигналов вне полосы преобразования 30 дБ, уровень нелинейных искажений 1 %.

Электрические параметры ИМС K174XA4 при $25 \pm 10^\circ \text{C}$ и $U_{\text{н.п.}} = 15 \text{ В}$

Ток потребления $I_{\text{пот}}$ мА, не более.....12
Диапазон рабочих частот.....0,1 Гц...30 МГц
 Δf

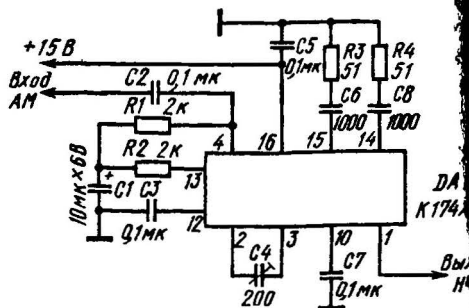


Рис. 4.22 б. Синхронный детектор АМ сигналов на ИМС K174XA4

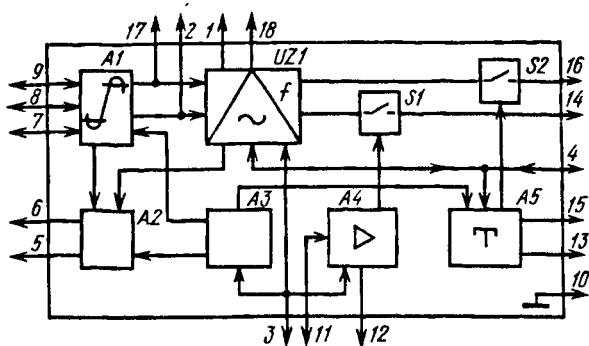


Рис. 4.23 а. Структурная схема ИМС K174XA5



Рис. 4.23 б. Назначение выводов ИМС K174XA5

Температурный коэффициент частоты

ГУН Δf , %/°C..... $\pm 0,6$

Входное сопротивление $R_{вх}$, кОм..... 2

Входная емкость $C_{вх}$, пФ..... 4

Входное постоянное напряжение

$U_{вх. пост}$, В..... 4

Выходное постоянное напряжение

$U_{вых. пост}$, В..... 14

Амплитуда выходного сигнала $U_{вых}$, В..... 4

Коэффициент подавления амплитудной

модуляции $K_{под АМ}$, дБ..... 40

Предельные эксплуатационные параметры ИМС K174XA4

Напряжение источника питания $U_{и.п.}$, В:

минимальное..... 14,25

максимальное..... 15,75

Минимальный уровень сигнала, необходимый для слежения U_{min} , мкВ..... 100

ИМС K174XA5 (рис. 4.23) представляет собой специализированную микросхему, содержащую комбинацию усилителя-ограничителя и квадратурного частотного детектора, предназначена для применения в трактах ПЧ и в детекторе ЧМ приемников.

В состав ИМС входят усилитель-ограничитель A1; детектор уровня A2; частотный детектор UZ1; стабилизатор напряжения A3; усилитель A4; триггер A5.

Основной тракт ИМС (усилитель-ограничитель и детектор ЧМ) дополнен трактом бесшумной настройки (БШН), управляющий сигнал для которого снимают с каскада усилителя-ограничителя через детектор уровня. Это же напряжение может использоваться для индикации уровня сигнала на входе. Кроме того имеются цепи коммутации тракта БШН и АПЧ (S1, S2).

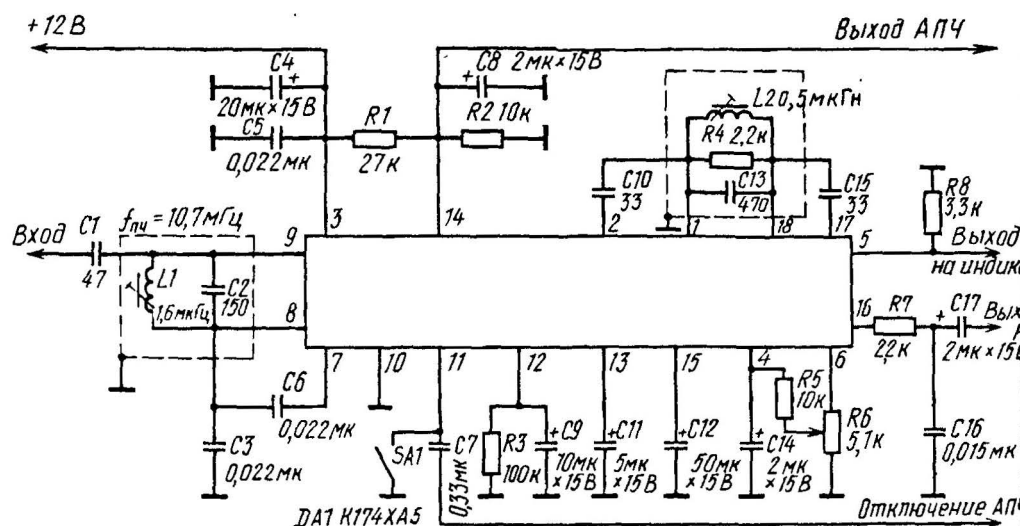


Рис. 4.23 в. Типовая схема включения ИМС К174ХА5

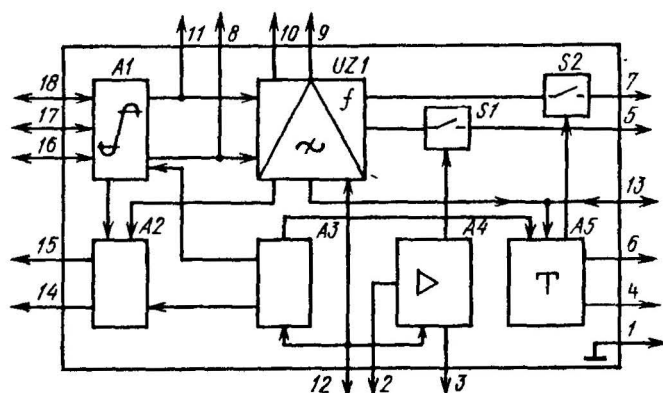


Рис. 4.24 а. Структурная схема ИМС К174ХА6

Входной контур ПЧ $L1C2$ и фазосдвигающий контур частотного детектора $L2C13$, добротность которого определяется сопротивлением резистора $R4$ настраивают на частоту 10,7 МГц. Переменный резистор $R6$ позволяет установить желаемый уровень срабатывания тракта БШН.

Электрические параметры ИМС К174ХА5 при $25 \pm 10^\circ \text{C}$ и $U_{\text{н.п}} = 12 \text{ В}$

Ток потребления $I_{\text{пот}}$, мА, не более.....30
Входное пороговое напряжение ограни-

чения $U_{\text{вх.огр}}$, мкВ, при $f_{\text{вх}} = 10,7 \text{ МГц}$, $f_{\text{мод}} = 1 \text{ кГц}$, не более.....

Выходное напряжение низкой частоты $U_{\text{вых нч}}$, мВ при $U_{\text{вх}} = 10 \text{ мВ}$, $f_{\text{вх}} = 10,7 \text{ МГц}$, $f_{\text{мод}} = 1 \text{ кГц}$, $\Delta f = \pm 50 \text{ гГц}$, не менее.....

Постоянное напряжение на выводах 5 и 6, U_5, U_6 , В не менее.....

Коэффициент ослабления амплитудной модуляции $K_{\text{ос ам}}$, дБ, при $U_{\text{вх}} = 10 \text{ мВ}$, $f_0 = 10,7 \text{ МГц}$, $f_{\text{мод}} = 1 \text{ кГц}$, $m = 30\%$, $\Delta f = \pm 50 \text{ кГц}$, не менее.....

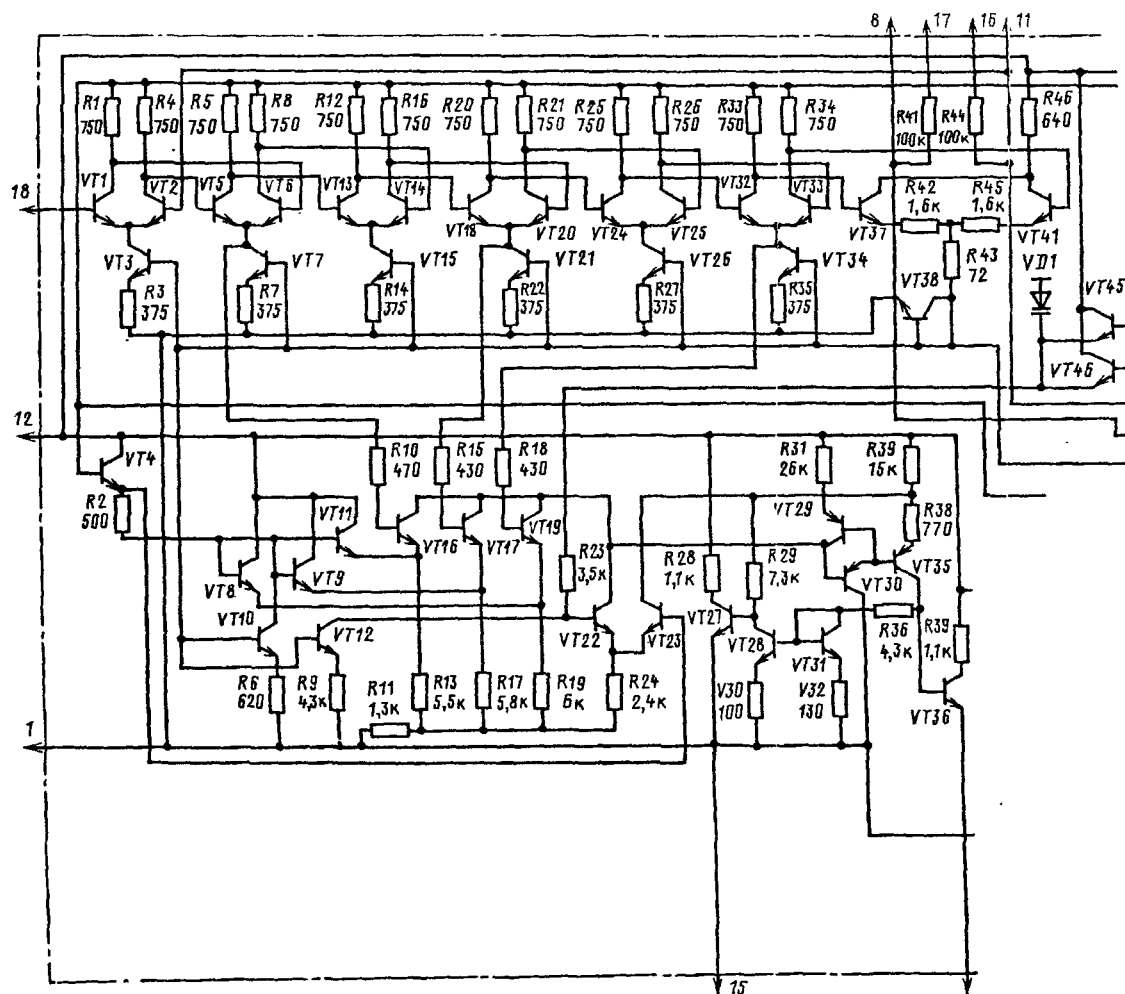
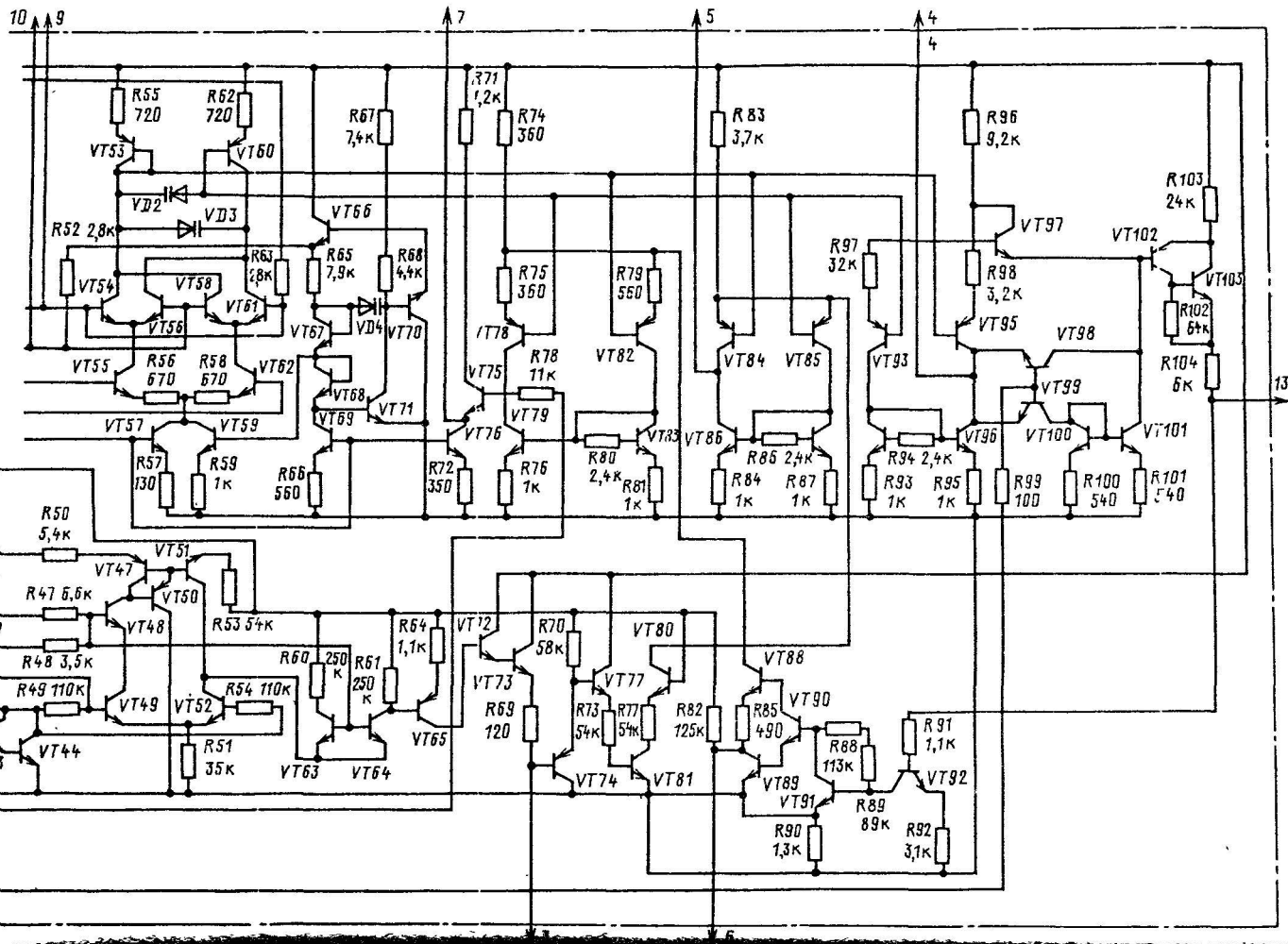


Рис. 124.6. Полупроводниковая схема ИМС К174ХА6



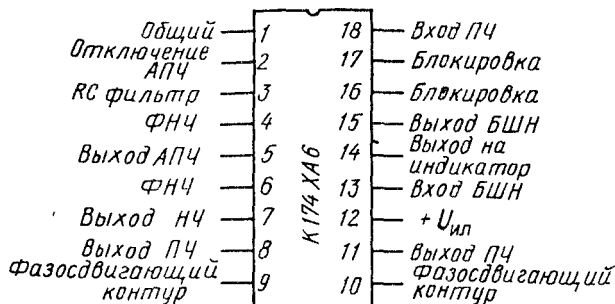


Рис. 4.24 в. Назначение выводов ИМС К174ХА6

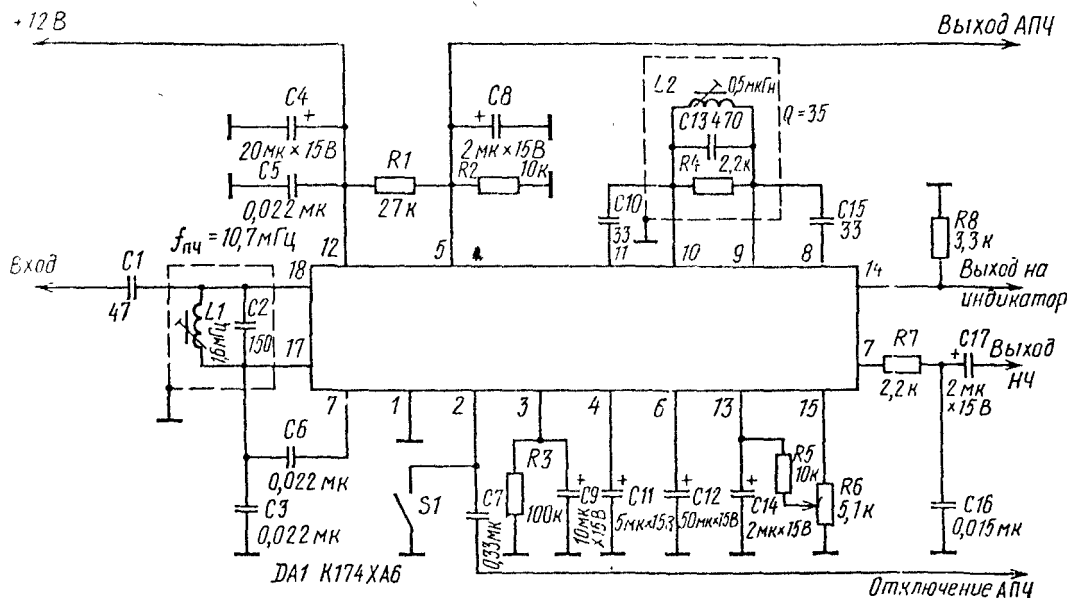


Рис. 4.24 г. Типовая схема включения ИМС К174ХА6

Предельные эксплуатационные параметры ИМС К174ХА5

Напряжение питания $U_{ил}$, В:

минимальное.....	5
максимальное.....	15

ИМС К174ХА6 (рис. 4.24) представляет собой многофункциональную микросхему, предназначенную для построения трактов промежуточной частоты УКВ ЧМ приемников. Она обеспечивает усиление, ограничение

входного сигнала, бесшумную настройку, формирование напряжения для индикации, автоматическую настройку частоты и детектирование ЧМ сигнала. По выполняемым функциям она аналогична ИМС К174ХА5, но обладает лучшими характеристиками и отличается разводкой цепей по номерам выводов корпуса.

Микросхема содержит усилитель-ограничитель А1, детектор уровня А2, частотный детектор УЗ1, стабилизатор напряжения А3, усилитель А4,

триптер А5 и ключи S1, S2. Основной тракт ИМС (см. рис. 4.24 б), состоящий из многокаскадного усилителя-ограничителя на транзисторах VT1...VT3, VT5...VT7, VT13...VT15, VT18, VT20, VT21, VT24...VT26, VT32...VT34, VT37, VT38, VT43 и детектор ЧМ (на транзисторах VT53...VT62) дополнен трактом бесшумной настройки (БШН), управляющий сигнал которого снимают с каскада усилителя-ограничителя через детектор уровня. Это же напряжение используется для индикации уровня сигнала на входе.

На рис. 4.24 г показана типовая схема включения ИМС.

Порог срабатывания устройства БШН устанавливают подстроечным резистором R6. Во время настройки на принимаемую частоту система АПЧ может быть отключена либо подключением вывода 2 ИМС к общему проводу, либо автоматически — подачей управляющего напряжения на вывод 2 через конденсатор C7. Минимальное напряжение управляющего сигнала, при котором система АПЧ отключается, не превышает 20 мВ. Напряжение сигнала АПЧ на выводе 5 равно 2...4,5 В. Сопротивление цепей по постоянному току, включенных между выводами 17 и 18, не должно превышать 390 Ом. Выводы 14, 15 предназначены соответственно для подключения индикатора напряженности поля и управления системой БШН. При включен-

ной системе БШН входной сигнал подавляется не менее 60 дБ. Систему бесшумной настройки отключается если вывод 15 соединить с общим проводом. Остаточный уровень сигнала при отсутствии несущей частоты определяется резистором (сопротивлением не менее 10 кОм), включаемым между 6 и 12.

Полоса пропускания усилителя ПЧ и коэффициент гармоник определяется резистором R4. Для входного напряжения 10 мВ и добротности контура, подключенного к выводам 9, 16 равной 35, коэффициент гармоник выходного напряжения не превышает 1 %, а при том же входном напряжении и добротности, равной 20, коэффициент гармоник становится равным менее 0,25 %. Зависимости параметров ИМС от режимов эксплуатации приведены на рис. 4.25. Во введенные характеристики сняты при напряжении питания 12 В, частоте входного сигнала 10,7 МГц, девиации несущей частоты ± 50 кГц, частоте модуляции 1 кГц и коэффициенте модуляции 30 %.

Электрические параметры ИМС K174XA6 при $25 \pm 10^\circ\text{C}$ и $U_{\text{н.п}} = 12$ В

Ток потребления $I_{\text{пот}}$, мА, не более.....
Входное напряжение ограничения $U_{\text{вх огр}}$, мкВ, при $f_{\text{вх}} = 10,7$ МГц, не более.....

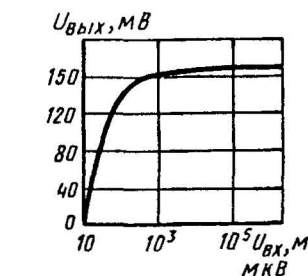


Рис. 4.25 а. Амплитудно-частотная характеристика ИМС K174XA6

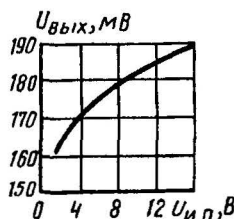


Рис. 4.25 б. Зависимость выходного напряжения от напряжения источника питания при $U_{\text{вх}} = 10$ мВ для ИМС K174XA6

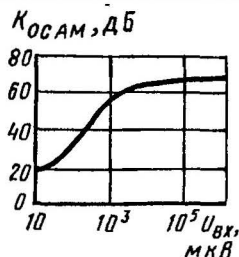


Рис. 4.25 в. Зависимость коэффициента ослабления паразитной амплитудной модуляции от напряжения входного сигнала для ИМС K174XA6

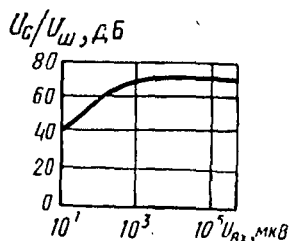


Рис. 4.25 г. Зависимость отношения сигнал/шум от входного напряжения для ИМС K174XA6

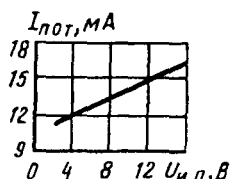


Рис. 4.25 е. Зависимость тока потребления от напряжения источника питания для ИМС K174XA6

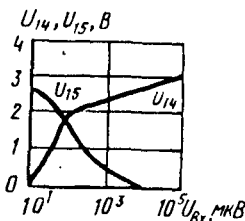


Рис. 4.25 д. Зависимость напряжения на выходах 14, 15 от входного сигнала для ИМС K174XA6

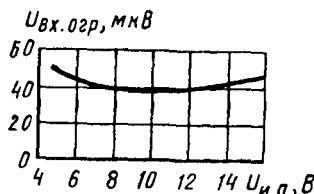


Рис. 4.25 ж. Зависимость изменения порога ограничения входного сигнала от напряжения питания для ИМС K174XA6

Выходное напряжение низкой частоты
 $U_{\text{вых НЧ}}$, мВ, при $U_{\text{вх}} = 10$ мВ,
 $f_{\text{вх}} = 10,7$ МГц, $\Delta f = \pm 50$ кГц,
 $f_{\text{мод}} = 1$ кГц, не менее160

Коэффициент ослабления амплитудной модуляции $K_{\text{ос}}$, дБ, при
 $U_{\text{вх}} = 10$ мВ, $f_{\text{вх}} = 10,7$ МГц,
 $\Delta f = \pm 50$ кГц, $f_{\text{мод}} = 1$ кГц, $m = 30$ %, не менее46

Коэффициент гармоник $K_{\text{г}}$, %, при
 $U_{\text{вх}} = 10$ мВ, $f_{\text{вх}} = 10,7$ МГц,
 $\Delta f = \pm 50$ кГц, $f_{\text{мод}} = 1$ кГц, не более1

Предельные эксплуатационные параметры ИМС K174XA6

Напряжение питания $U_{\text{и.п}}$, В:
 минимальное4,5
 максимальное18
 Ток потребления $I_{\text{пот}}$, мА, при
 $U_{\text{и.п}} = 18$ В, не более21
 Максимальный ток, мА:
 через вывод 14 $I_{14 \text{ max}}$ 3
 через вывод 15 $I_{15 \text{ max}}$ 1
 Максимальное сопротивление по постоянному току между выводами 17 и 18 $R_{17, 18 \text{ max}}$, Ом390

ИМС K174XA7 (рис. 4.26) представляет собой многофазный перемножитель сигналов и предназначен для использования в узлах радиовещательной и связной аппаратуры.

Электрические параметры ИМС K174XA7 при $25 \pm 10^\circ\text{C}$ и $U_{\text{и.п}} = \pm 9$ В

Ток потребления $I_{\text{пот}}$, мА, не более2
 Выходное напряжение $U_{\text{вых}}$, мВ, при
 $U_{\text{вх}} = 65$ мВ, $f_{\text{вх}} = 5$ МГц, не менее30

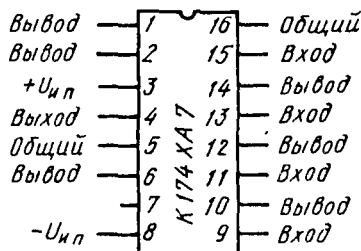


Рис. 4.26 а. Назначение выводов ИМС K174XA

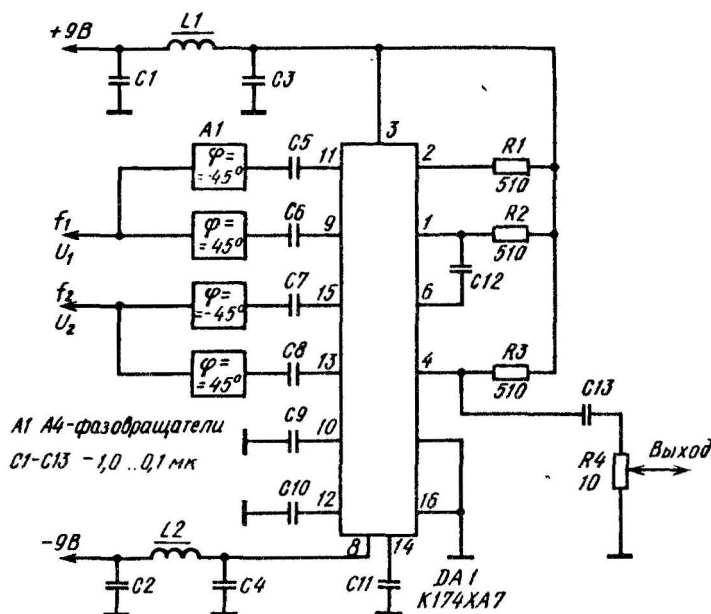


Рис. 4.26 б. Типовая схема включения ИМС K174XA7

Предельные эксплуатационные параметры ИМС K174XA7

Напряжение питания $U_{и.п.}$ В..... $\pm 8,1 \dots \pm 9,9$

ИМС K174XA10 (рис. 4.27) представляет собой multifunctionalную схему с элементами АМ и ЧМ трактов, предназначена для использования в АМ и АМ/ЧМ супергетеродинных приемниках не выше третьей группы сложности.

В состав ИМС входят усилители промежуточной (УПЧ) А1, радио- (УРЧ) А2 и звуковой (УЗЧ) А3 частоты, где модулятор АМ и ЧМ сигналов $UR1$, стабилизатор А4, смеситель $UZ1$ и гетеродин $G1$.

При приеме в АМ диапазоне сигнал поступает на вывод 6, усиливается УВЧ (транзисторы VT30, VT34) и подается на смеситель (транзисторы VT29, VT31...VT33). Сюда же поступают и колебания гетеродина (транзисторы VT35...VT45), внешний контур которого подключают к выводу 5. С выхода смесителя (вывод 4) преобра-

зованный сигнал через внешний контур и входной пьезофильтр ПЧ поступает через вывод 2 на УПЧ, состоящий из пяти последовательных

ИМС K174XA10

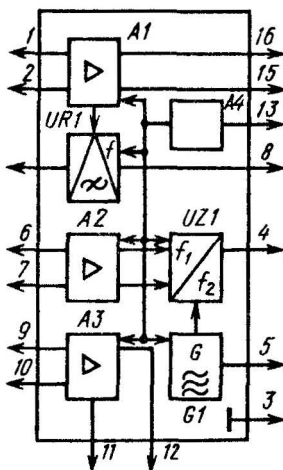


Рис. 4.27 а. Структурная схема ИМС K174XA10





Рис. 4.27 в. Назначение выводов ИМС K174XA10

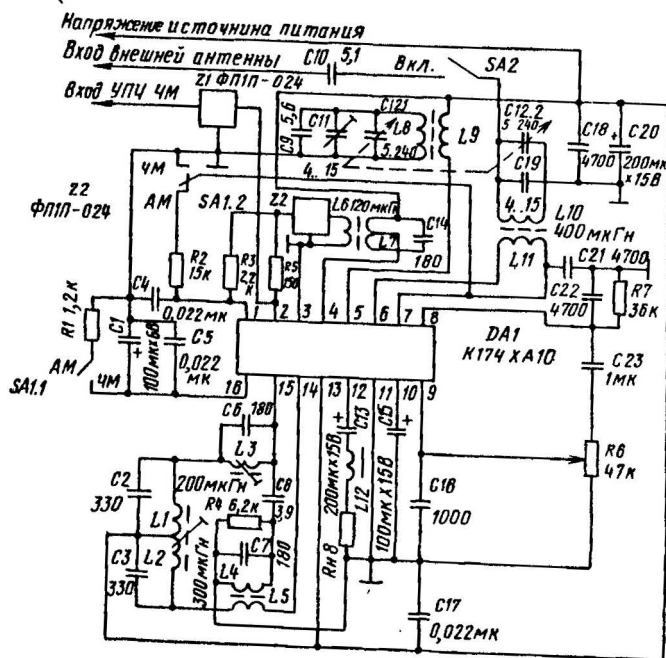


Рис. 4.27 г. Типовая схема включения ИМС K174XA10

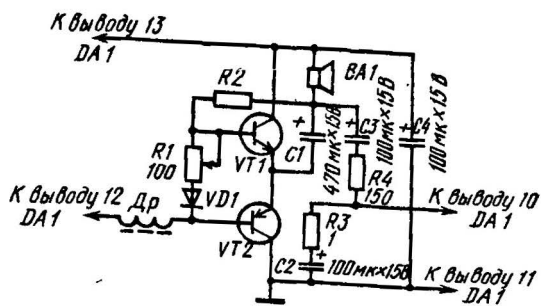


Рис. 4.27 д. Дополнительный каскад усиления мощности, подключаемый к выходу ИМС K174XA10

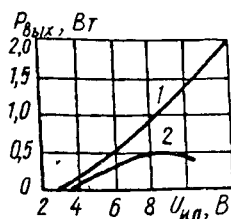


Рис. 4.28 а. Зависимость выходной мощности от напряжения питания при $f_c=1$ кГц, $R_H=8$ Ом, $K_F=10\%$ (1), $K_F=2\%$ (2) для ИМС К174ХА10

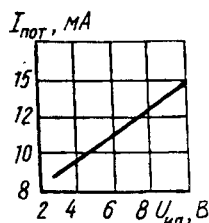


Рис. 4.28 б. Зависимость тока потребления от напряжения питания при ЧМ сигнале для ИМС К174ХА10

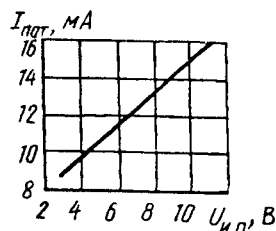


Рис. 4.28 в. Зависимость тока потребления от напряжения питания при АМ сигнале для ИМС К174ХА10

гальванически связанных дифференциальных усилителей на транзисторах VT1...VT10 и далее на АМ детектор. После детектирования и усиления сигнал звуковой частоты с вывода 8 подают на регулятор громкости и далее через вывод 9 на вход УЗЧ (на транзисторах VT46...VT66). Выходное напряжение снимают с вывода 12. Сигнал АРУ внутри микросхемы поступает на УВЧ и УПЧ.

При приеме в диапазоне УКВ сигнал после внешнего блока УКВ и пьезофильтра поступает на вывод 2 УПЧ. При этом с помощью пере-

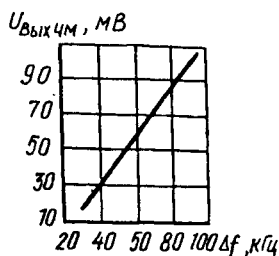


Рис. 4.28 г. Изменение напряжения на выходе ЧМ детектора от девиации частоты входного сигнала при частоте 10,7 МГц и амплитуде входного сигнала 1 мВ для ИМС К174ХА10

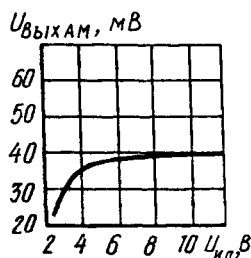


Рис. 4.28 д. Изменение напряжения на выходе АМ-детектора от напряжения питания при амплитуде входного сигнала 50 мВ, несущей частоте 1 МГц, частоте модуляции 1 кГц и коэффициенте модуляции 0,3 для ИМС К174ХА10

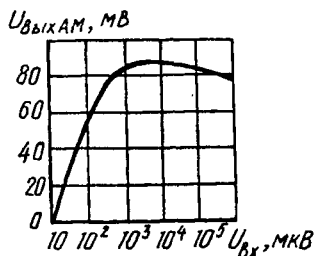


Рис. 4.28 е. Передаточная характеристика АМ тракта при напряжении питания 9 В, несущей частоте 1 МГц, частоте модуляции 1 кГц, коэффициенте модуляции 0,3 для ИМС К174ХА10

ключателя меняют потенциал на выводе 7 и микросхема оказывается переключенной в режим приема ЧМ колебаний. В этом случае УПЧ (транзисторы VT1...VT10) работает как усилитель-ограничитель, а перемен-

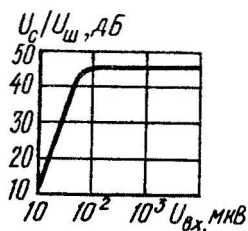


Рис. 4.29 а. Зависимость отношения сигнал/шум от амплитуды входного сигнала ЧМ тракта при частоте входного сигнала 10,7 МГц, девиации частоты 50 кГц для ИМС К174ХА10

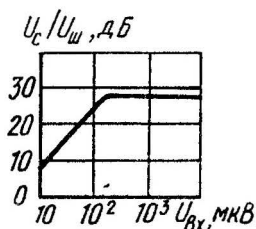


Рис. 4.29 б. Зависимость отношения сигнал/шум от амплитуды входного сигнала АМ тракта при частоте входного сигнала 1 МГц, частоте модуляции 1 кГц, коэффициенте модуляции 0,3 для ИМС К174ХА10

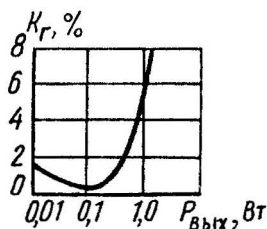


Рис. 4.29 в. Зависимость коэффициента гармоник от выходной мощности при частоте 1 кГц и сопротивлении нагрузки 8 Ом для ИМС К174ХА10

житель — как квадратурный ЧМ детектор. Через выводы 14 и 15 к детектору подключают фазосдвигающий контур. Постоянное напряжение на выводе 16 может при этом использоваться как напряжение АПЧ для управления варикапами УКВ блока.

Выходной мощности микросхемы

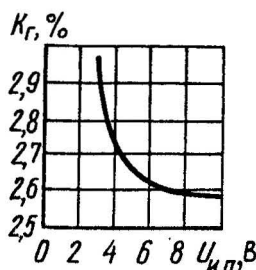


Рис. 4.29 г. Зависимость коэффициента гармоник от напряжения питания при частоте 1 кГц и сопротивлении нагрузки 8 Ом ИМС К174ХА10

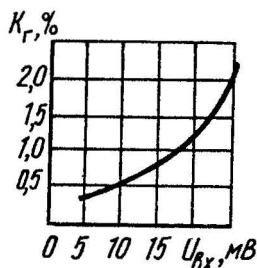


Рис. 4.29 д. Зависимость коэффициента гармоник от амплитуды входного сигнала при частоте 1 кГц и сопротивлении нагрузки 8 Ом ИМС К174ХА10

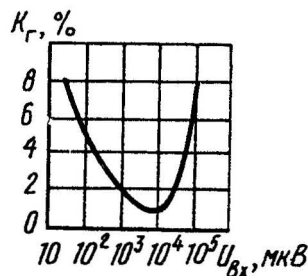


Рис. 4.29 е. Зависимость коэффициента гармоник всего тракта при АМ сигнале от амплитуды входного сигнала частотой 1 МГц, частоте модуляции 1 кГц, коэффициенте модуляции 0,3 для ИМС К174ХА10

достаточно для небольших переносных приемников. Для более мощных приемников требуется дополнительный каскад усиления мощности, подобный показанному на рис. 4.27 д.

Зависимости параметров ИМС в режимах эксплуатации приведены на рис. 4.28, 4.29.

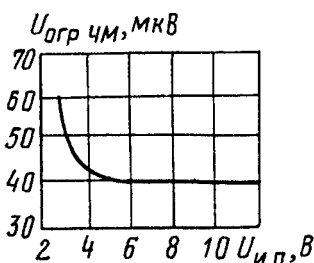


Рис. 4.29 ж. Изменение порога ограничения от напряжения питания для ЧМ тракта на ИМС K174XA10

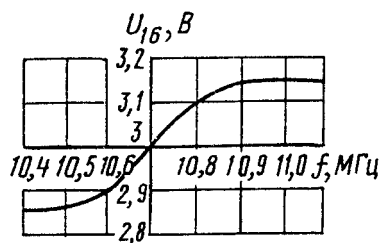


Рис. 4.29 з. Передаточная характеристика ЧМ детектора на ИМС K174XA10

Электрические параметры ИМС K174XA10 при $25 \pm 10^\circ\text{C}$ и $U_{и.п} = 9\text{ В}$

Ток потребления $I_{пот}$, мА, не более.....	16
Выходное напряжение УНЧ $U_{вых}$ УНЧ, В, при $U_{вх} = 25\text{ мВ}$, $f_{вх} = 1\text{ кГц}$, не менее.....	1,55
Выходное напряжение низкой частоты АМ тракта $U_{вых}$ НЧ, АМ, мВ, при $U_{вх} = 50\text{ мкВ}$, $f_{вх} = 1\text{ МГц}$, $m = 30\%$, $f_{мод} = 1\text{ кГц}$, не менее.....	30
Напряжение ограничения ЧМ тракта $U_{огр}$ ЧМ, мкВ, при $f_{вх} = 10,7\text{ МГц}$, $\Delta f = \pm 50\text{ кГц}$, $f_{мод} = 1\text{ кГц}$, не более.....	50
Отношение сигнал-шум АМ тракта $K_{шАМ}$, дБ, при $U_{вх} = 50\text{ мкВ}$, $f_{вх} = 1\text{ МГц}$, $m = 30\%$, $f_{мод} = 1\text{ кГц}$, не менее.....	20
Коэффициент гармоник УНЧ, $K_{гУНЧ}$, %, при $P_{вых} = 0,3\text{ Вт}$, не более.....	2
Верхняя граничная частота УНЧ $f_{вУНЧ}$, кГц, не менее.....	25
Входное сопротивление УНЧ $R_{вхУНЧ}$, кОм, не менее.....	100
Нижняя граничная частота входного напряжения АМ тракта $f_{иАМ}$, кГц, не более.....	100
Верхняя граничная частота входного сигнала АМ тракта в режиме преобразования (по уровню 6 дБ) $f_{вАМ}$, МГц, не менее.....	12,5
Коэффициент гармоник АМ тракта $K_{гАМ}$, %, при $U_{вх} = 1\text{ мВ}$, $f_{вх} = 1\text{ МГц}$, $f_{мод} = 1\text{ кГц}$, не более.....	5
Коэффициент подавления АМ сигнала ЧМ тракта $K_{осАМ}$, дБ, не менее.....	40

Отношение сигнал-шум ЧМ тракта

$K_{шЧМ}$, дБ, не менее.....	36
Коэффициент гармоник ЧМ тракта $K_{гЧМ}$, %, не более.....	3

Предельные эксплуатационные параметры ИМС K174XA10

Напряжение источника питания $U_{и.п}$, В:	
минимальное.....	3
максимальное.....	12
Максимальное входное напряжение АМ тракта $U_{вх max}$ АМ, В, не более.....	0,5
Максимальное входное напряжение УНЧ (на выводе 9) $U_{вх max}$ УНЧ, мВ, не более.....	30
Максимальный выходной ток УНЧ (на выводе 12) $I_{вых max}$ УНЧ, А, не более.....	0,5
Максимальная выходная мощность УНЧ $P_{вых max}$ УНЧ, Вт, при $R_{н} = 10\text{ Ом}$, $K_{г} = 10\%$, не менее.....	0,7
Рассеиваемая мощность $P_{расс}$, Вт, не более.....	1
Максимальный коэффициент гармоник $K_{г max}$, %, при $P_{вых} = 0,1\text{ Вт}$, не более.....	10

ИМС K174XA12 (рис. 4.30) представляет собой управляемый генератор - универсальную высокочастотную систему фазовой автоподстройки частоты (ФАПЧ) с замкнутым контуром обратной связи, обеспечивающую

независимую регулировку центральной частоты и полосы удержания. Генератор содержит фазовый детектор *UR*, генератор управляемый напряжением *G1*, эмиттерный повторитель *A1*, синхронный детектор *UR2*.

Основным блоком в ИМС является управляемый генератор, от которого зависят такие параметры, как стабильность частоты выходных колебаний в диапазоне питающих напряжений и температуры, линейность модуляционных и демодуляционных характеристик, частота спектра выходного сигнала, диапазон рабочих частот. Управляемый генератор выполнен в виде эмиттерно-связанного мультивибратора, который работоспособен в широком диапазоне частот. Для минимизации температурного дрейфа частоты в нем предусмотрена температурная компенсация. Частота генератора определяется внешним частотно-задающим конденсатором, подключенным к выводам 2, 3. Изменяя номинал внешнего конденсатора в пределах $10^9 \dots 10$ пФ, можно устанавливать частоту собственных колебаний ГУН в диапазоне $0 \dots 10^7$ Гц. Схематическое построение генератора предусматривает возможность внешнего электронного управления частотой генерации и полосой удержания.

На вывод 6 подают управляющий ток $0 \dots 10$ мА для электронной подстройки частоты генератора в пределах $\pm 30\%$. Вывод 7 используется аналогичным способом для электронной регулировки полосы удержания.

Фазовый детектор построен по схеме двойного балансного переключателя на дифференциальных усилителях. Фильтр НЧ образован выходным сопротивлением фазового детектора и внешними элементами, подключаемыми к выводам 14 и 15.

Фильтр нижних частот обеспечивает необходимую полосу захвата путем подключения внешних элементов к выводам 14, 15. Номинал подключаемого конденсатора (в микрофарадах) можно определить по формуле $C \approx 26,3 / \Delta f$, где Δf , Гц – необходимая полоса захвата.

На базе ИМС K174XA12 можно построить высококачественный ЧМ детектор, имеющий высокую линейность и обеспечивающий дополнительное ослабление паразитной АМ более чем 30 дБ. В ИМС предусмотрена возможность подключения внешнего конденсатора (вывод 10) образующего совместно с внутренним сопротивлением микросхемы цепь коррекции предискажений и обеспечивающего дополнительную фильтрацию несущей частоты. При использовании микросхемы в режиме следающего фильтра выходной сигнал управляемого генератора снимают с вывода 5 через развязывающий резистор сопротивлением не менее 1 кОм. Наличие синхронного детектора позволяет использовать ИМС в режиме синхронного АМ детектора имеющего нелинейные искажения не более 1 % и обеспечивающего высокую помехоустойчивость. Для фильтрации ВЧ составляющих к выходу синхронного детектора подключают внешний конденсатор, который совместно с выходным сопротивлением детектора определяет полосу пропускания звуковых частот АМ тракта. При работе в режиме АМ детектор сигналы на входах фазового и синхронного детекторов должны быть сдвинуты по фазе друг относительно друга на 90° . Этого достигают с помощью внешнего фазовращателя, реализованного в простейшем случае на RC звеньях.

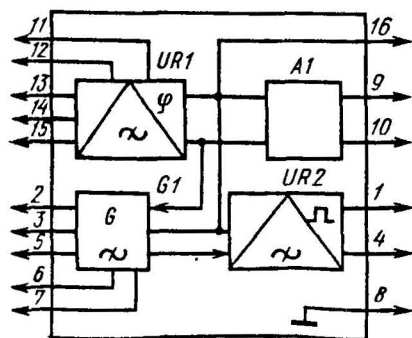


Рис. 4.30 а. Структурная схема ИМС K174XA12

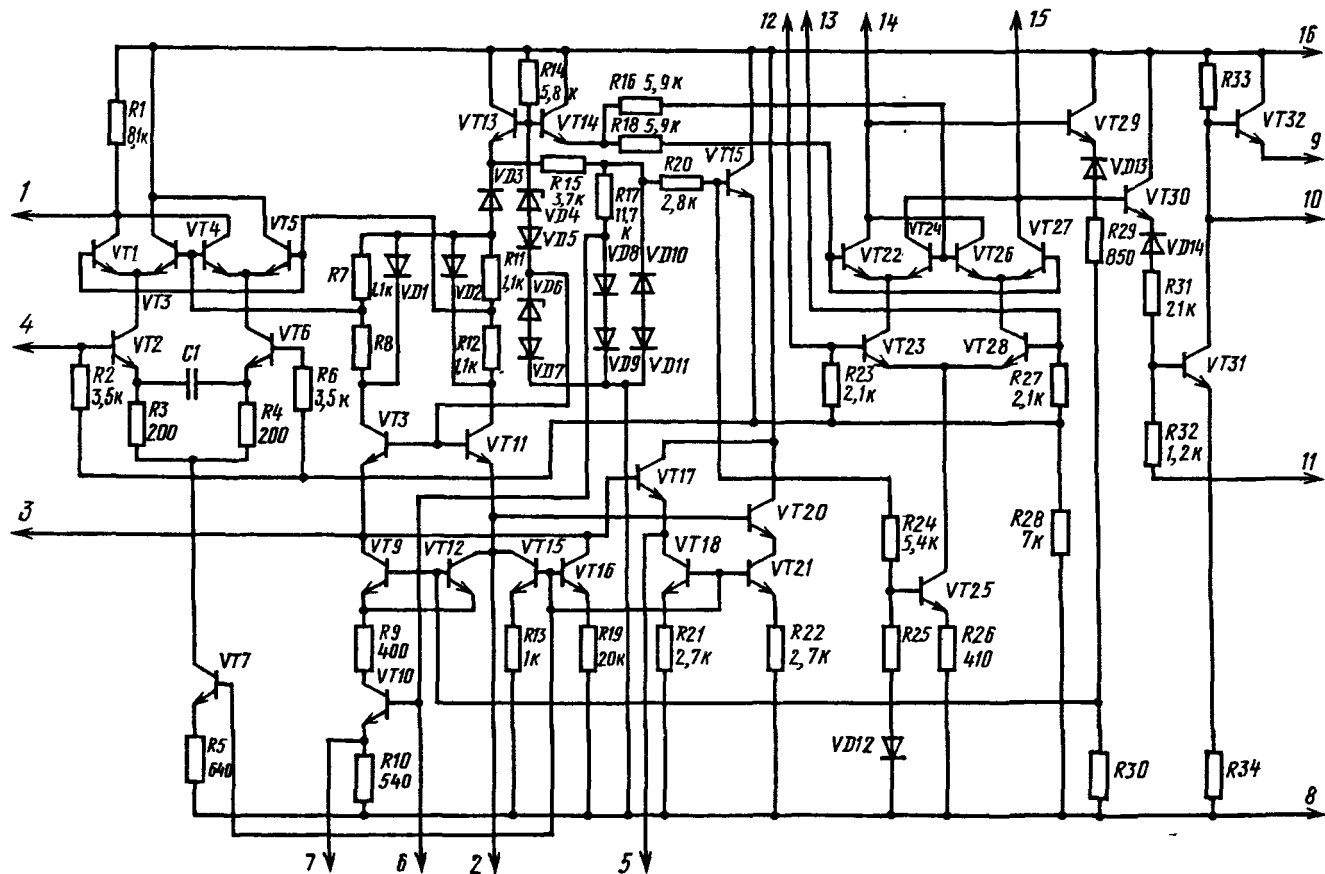


Рис. 4.30 б. Принципиальная схема ИМС K174XA12

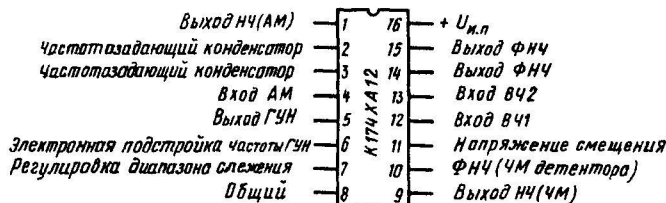


Рис. 4.30 в. Назначение выводов ИМС K174XA12

Усилитель низкой частоты, выполненный на основе дифференциального усилителя и эмиттерного повторителя, обеспечивает выходное напряжение с амплитудой сигнала не менее 20 мВ.

ИМС можно принять в синтезаторах частоты, следящих фильтрах, в устройствах регулировки и управления скоростью двигателя. Подключив кварцевый резонатор к выводам 2, 3, можно построить кварцевый генератор, выходное напряжение которого снимают с вывода 5 (нагрузку при этом необходимо подключать через последовательно соединенные конденсатор емкостью 0,1 мкФ и резистор сопротивлением 1 кОм).

Зависимости основных параметров ИМС от режимов эксплуатации приведены на рис. 4.31.

На рис. 4.32 а приведена схема включения ИМС в режиме ЧМ детектора. В этом режиме максимального коэффициента ослабления пара-

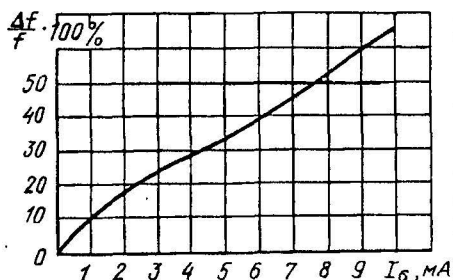


Рис. 4.31 б. Зависимость частоты свободных колебаний ГУН от тока управления на выводе 6 ИМС K174XA12

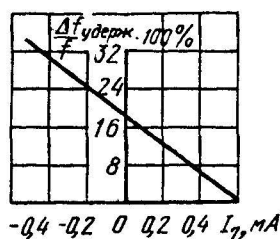


Рис. 4.31 в. Зависимость частоты ГУН от тока управления на выводе 7 ИМС K174XA12

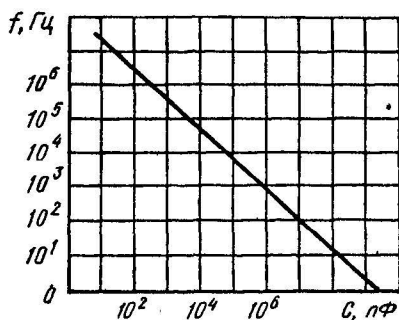


Рис. 4.31 а. Зависимость частоты свободных колебаний ГУН от частотозадающей емкости для ИМС K174XA12

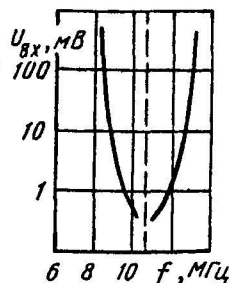


Рис. 4.31 г. Зависимость полосы синхронизации от уровня входного сигнала для ИМС K174XA12

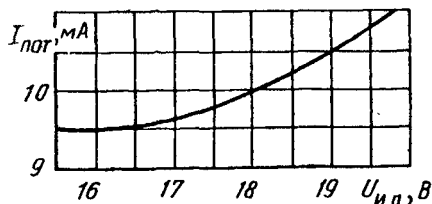


Рис. 4.31 д. Зависимость тока потребления от напряжения питания для ИМС K174XA12

Рис. 4.31 е. Зависимость частоты свободных колебаний ГУН от изменения напряжения питания для ИМС K174XA12

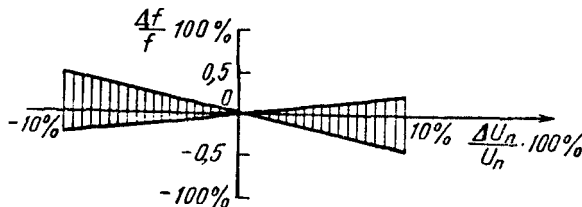
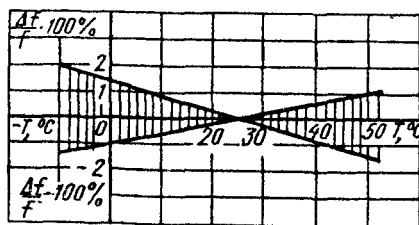


Рис. 4.31 ж. Температурная зависимость частоты свободных колебаний ГУН для ИМС K174XA12



зитной АМ достигают при уровне входного сигнала от 1 до 5 мВ; при уровне входного сигнала менее 200 мкВ ухудшается отношение сигнал-шум.

В режиме синхронного АМ детектора (рис. 4.32 б) оптимальным является диапазон входных сигналов от 50 до 150 мВ, при котором коэффициент гармоник составляет менее 1 %. При увеличении уровня входного сигнала до 300 мВ нелинейные искажения могут возрасти до 10 %.

Схема включения ИМС в режиме следящего фильтра приведена на рис. 4.32 в.

Электрические параметры ИМС K174XA12 при $25 \pm 10^\circ\text{C}$ и $U_{ил} = 18 \text{ В}$

Ток потребления $I_{пот}$, мА, не более.....13
Выходное напряжение генератора, управляемого напряжением (ГУН) $U_{вых}$ ГУН, мВ, при $f = 465 \text{ кГц}$, не менее.....200

В режиме ЧМ детектора при $f = 10,7 \text{ МГц}$, $U_{вх} = 10 \text{ мВ}$,

$\Delta f = \pm 50 \text{ кГц}$, $f_{мод} = 1 \text{ кГц}$:
коэффициент ослабления АМ сигнала $K_{ос \text{ АМ}}$, дБ, не менее.....2
коэффициент гармоник $K_{г \text{ ЧМ}}$, %, не более.....
отношение сигнал-шум $K_{ш \text{ ЧМ}}$, не менее.....3
выходное напряжение НЧ $U_{вых \text{ НЧ}}$, мВ, не менее.....2

В режиме АМ детектора при $f_{вх} = 465 \text{ кГц}$, $U_{вх} = 10 \text{ мВ}$, $m = 30 \%$, $f_{мод} = 1 \text{ кГц}$:

коэффициент передачи синхронного детектора $K_{с.д.}$, дБ, не менее.....
коэффициент гармоник $K_{г \text{ АМ}}$, %, не более.....1,
отношение сигнал-шум $K_{ш \text{ АМ}}$, дБ, не менее.....4
входное сопротивление $R_{вх}$, кОм, не менее.....
выходное сопротивление $R_{вых}$, кОм, не более.....8

Рис. 4.32. а. Схема включения ИМС K174XA12 в режиме детектора ЧМ сигнала при частоте 10,7 МГц

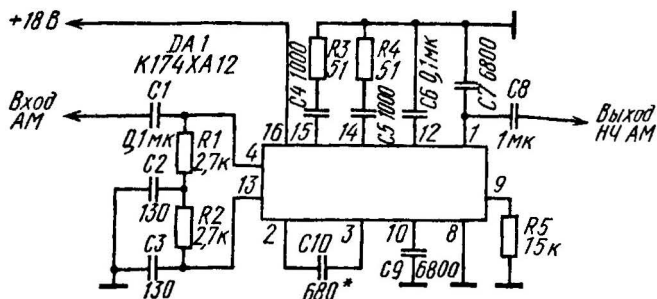
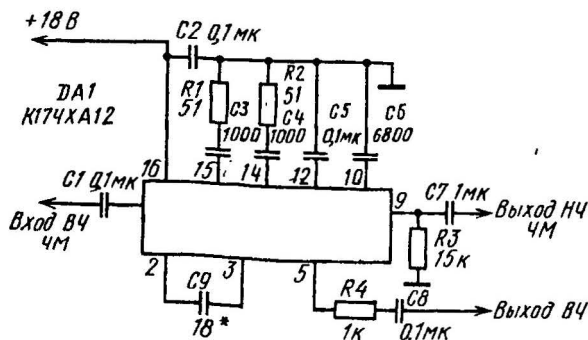


Рис. 4.32. б. Схема включения ИМС K174XA12 в режиме синхронного детектора АМ сигнала при частоте 465 кГц

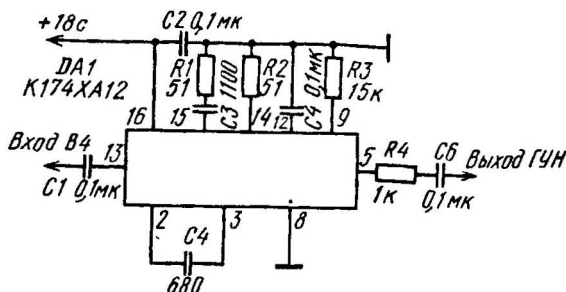


Рис. 4.32. в. Схема включения ИМС K174XA12 в режиме следающего фильтра при частоте 465 кГц

Предельные эксплуатационные параметры ИМС K174XA12

Напряжение питания $U_{п.л.}$, В.....	14...20
Входное напряжение ЧМ сигнала $U_{вх ЧМ}$, мВ, при детектировании.....	0,15...150
Входное напряжение АМ сигнала $U_{вх АМ}$, мВ, при детектировании, не более.....	500
Диапазон частоты $f_{пред}$	0,1 Гц...15 МГц

ИМС K174XA14 (рис. 4.33) представляет собой специализированную

микросхему на основе устройства фазовой автоподстройки частоты (ФАПЧ). ИМС предназначена для стереодекодеров с полярной модуляцией, может использоваться в стереоприемниках вплоть до первой группы сложности.

В состав ИМС входят операционные усилители A1, A4, эмиттерные повторители A2, A3, A6, A8, декодер U1, синхронный детектор UR1, коммутатор S1, ГУН G1, делитель частоты на два U2, переключатель S2, усилитель с гистерезисом A5, стабилитрон VS1.

ИМС K174XA14

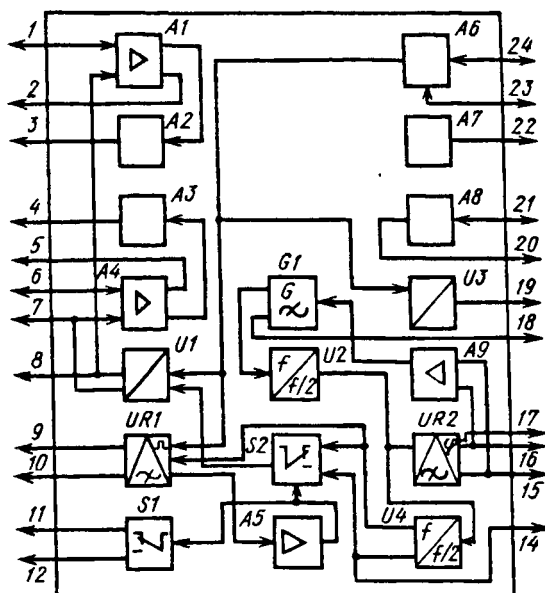


Рис. 4.33 а. Структурная схема ИМС K174XA14

Корректирующий ВЧ-фильтр	1	24	Корректирующий НЧ фильтр
Коррекция АЧХ усилителя канала В	2	23	Блокировка
Выход канала В	3	22	+ У.п.
Выход канала А	4	21	Вход КСС
Коррекция АЧХ усилителя канала А	5	20	Корректирующий НЧ фильтр
Корректирующий ВЧ-фильтр	6	19	Выход квадратора (преобразователя)
Фильтр 50 мкс	7	18	Подстройка частоты ГУН
Фильтр 50 мкс	8	17	Фильтр АПЧ
Фильтр переключателя	9	16	Вход ФАПЧ
Фильтр переключателя	10	15	Фильтр АПЧ
Индикатор „Стерео“	11	14	Контроль частоты ГУН (31,25 кГц)
Общий	12	13	

Рис. 4.33 б. Назначение выводов ИМС K174XA14

биллизатор напряжения А7, преобразователь $U3$, усилитель А9, фазовый детектор петли ФАПЧ $UR2$, делитель частоты на два $U4$.

Подстроечный резистор $R5$ устанавливают в устройствах первой и второй группы сложности. С его помощью добиваются лучшего разделения каналов. Разрешается включать (принудительно) режим "МОНО" шунтированием резистора $R13$ (которым подстраивают частоту ГУН) проводником. Резистором $R6$ подстраивают корректор ФНЧ.

Зависимости основных параметров

ИМС от режимов эксплуатации приведены на рис. 4.34.

Электрические параметры ИМС K174XA14
при $25 \pm 10^\circ\text{C}$ и $U_{\text{и.п.}} = 12\text{ В}$

Ток потребления $I_{\text{пот}}$, мА, не более.....	22
Выходное напряжение $U_{\text{вых}}$, мВ, при $U_{\text{вх}} = 250\text{ мВ}$, $f_{\text{вх}} = 31,5\text{ кГц}$	220...350
Коэффициент линейного переходного затухания между каналами α_k , дБ, не менее.....	32
Коэффициент разбаланса выходных напряжений между каналами $K_{\text{раз}}$, дБ, не более.....	3

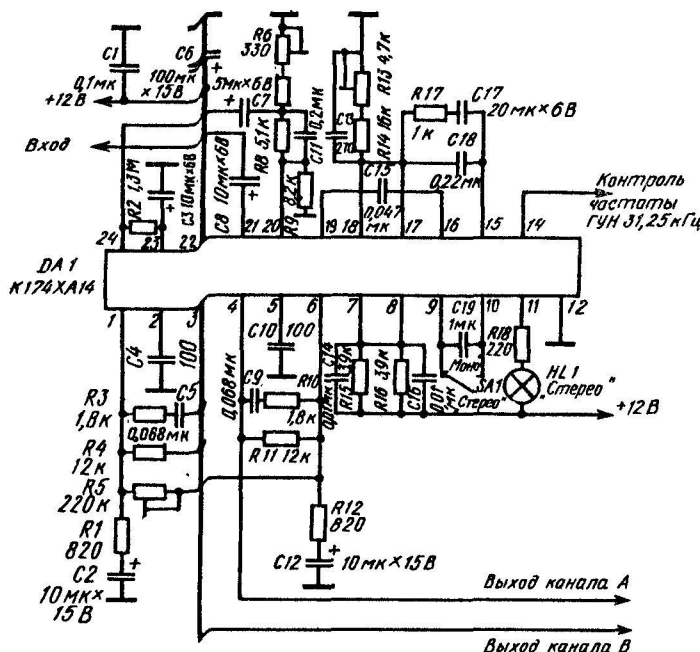


Рис. 4.33 в. Типовая схема включения ИМС K174XA14

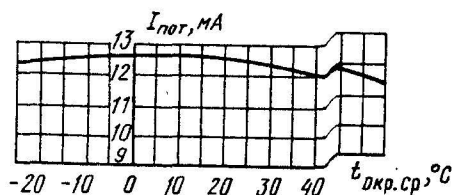


Рис. 4.34 а. Зависимость тока потребления от температуры окружающей среды при $U_{\infty}=12$ В для ИМС K174XA14

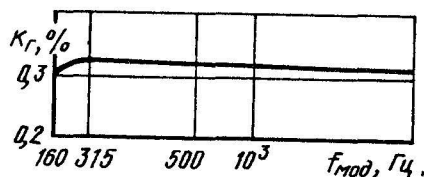


Рис. 4.34 в. Зависимость коэффициента гармоник от частоты модуляции при $U_{\infty}=12$ В, $U_1=250$ мВ; $f_1=31,25$ кГц; $m=0,8$; $T=25^\circ\text{C}$ для ИМС K174XA14

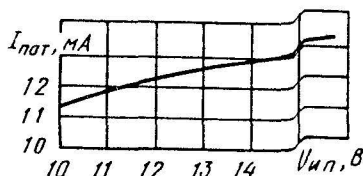


Рис. 4.34 б. Зависимость тока потребления от напряжения питания при температуре окружающей среды 25°C для ИМС K174XA14

Коэффициент гармоник K_g , %, при $U_{вх}=250$ мВ, $f_{вх}=31,5$ кГц, не более.....0

Отношение сигнал-шум $K_{ш}$, дБ, при $U_{вх}=250$ мВ, $f_{вх}=31,5$ кГц, не менее.....60

Предельные эксплуатационные параметры ИМС K174XA14

Напряжение питания $U_{н.п.}$, В:

минимальное.....10

максимальное.....16

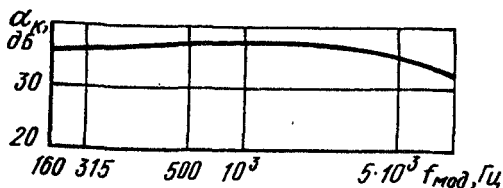


Рис. 4.34 г. Зависимость линейного переходного затухания между каналами от частоты модуляции при $U_{\infty}=12$ В; $U_1=250$ мВ; $f_1=31,25$ кГц; $m=0,8$; $T=25^{\circ}\text{C}$ для ИМС K174XA14

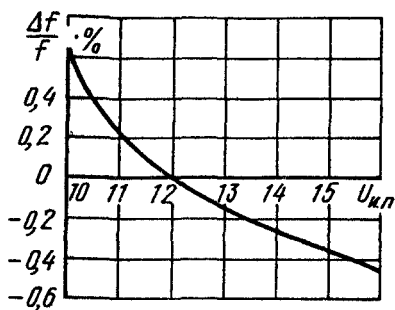


Рис. 4.34 д. Зависимость нестационарности собственной частоты ГУН от напряжения питания при $T=25^{\circ}\text{C}$ для ИМС K174XA14

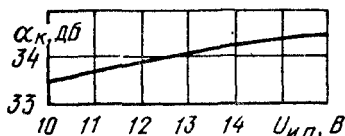


Рис. 4.34 е. Зависимость линейного переходного затухания между каналами от напряжения питания при $U_1=250$ мВ; $f_1=31,25$ кГц; $fm=1$ кГц; $m=0,8$; $T=25^{\circ}\text{C}$ для ИМС K174XA14

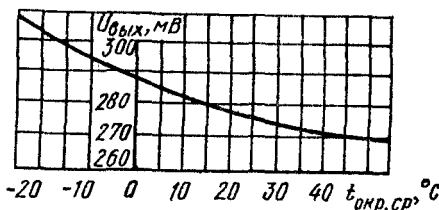


Рис. 4.34 ж. Зависимость выходного напряжения от температуры окружающей среды при $U_{\infty}=12$ В; $U_1=250$ мВ; $f_1=31,25$ кГц; $fm=1$ кГц; $m=0,8$ для ИМС K174XA14

Максимальное напряжение входного сигнала $U_{вх\max}$, мВ, не более.....	800
Напряжение на выводах 7, 8 U_7 , U_8 , В, относительно вывода 12.....	7...15
Напряжение на выводе 11 U_{11} , В, относительно вывода 12 при отключенном индикаторе "Стерео".....	10...16
Максимальный ток индикатора на выводе 11 $I_{11\max}$, мА, не более.....	75
Входное сопротивление $R_{вх}$, кОм, не менее.....	25
Входное сопротивление на выводе 24 R_{24} , кОм, не менее.....	25
Выходное сопротивление на выводах 3, 4 $R_{вых3}$, $R_{вых4}$, кОм, не более.....	1
Выходное сопротивление на выводе 20 $R_{вых20}$, Ом, не более.....	50
Сопротивление нагрузки на выводах 3, 4 $R_{н3}$, $R_{н4}$, кОм, не менее.....	1

ИМС K174XA15 (рис. 4.35) представляет собой multifunctionalную схему, предназначенную для УКВ блоков (аппаратов любой категории сложности до высшей). Достижение высоких параметров УКВ приема связано (рис. 4.35 а) с тем, что ИМС

содержит симметричный смеситель-перемножитель $U1$ с глубокой обратной связью, большим входным сопротивлением и значительным усилением, балансный гетеродин $G1$, буферный каскад $A3$, предохраняющему гетеродин от входных сигналов, усилитель АРУ $A2$, повышающий устойчивость блока УКВ к образованию паразитных каналов приема, и высококачественный стабилизатор напряжения $A4$, обеспечивающий, в частности, стабильность частоты гетеродина при колебаниях питающего напряжения. Кроме того, в состав ИМС входят усилитель высокой частоты $A1$ и фильтр низкой частоты $Z1$.

ИМС содержит все активные элементы (см. рис. 4.35 б), необходимые для построения УКВ-блока. На тран-

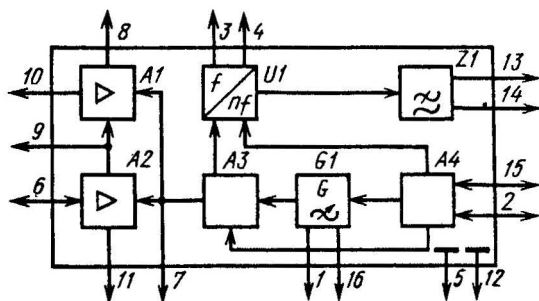


Рис. 4.35 а. Структурная схема ИМС К174ХА15

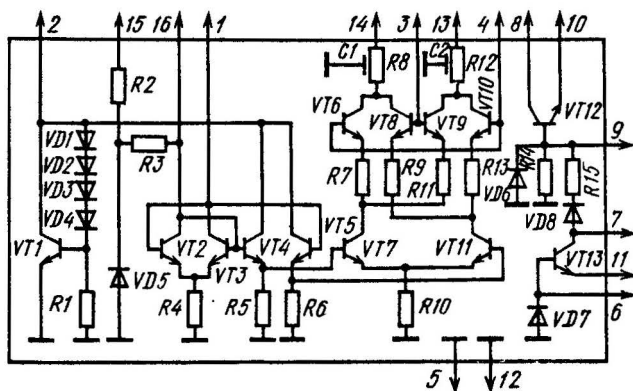


Рис. 4.35 б. Принципиальная схема ИМС К174ХА15



Рис. 4.35 в. Назначение выводов ИМС К174ХА15

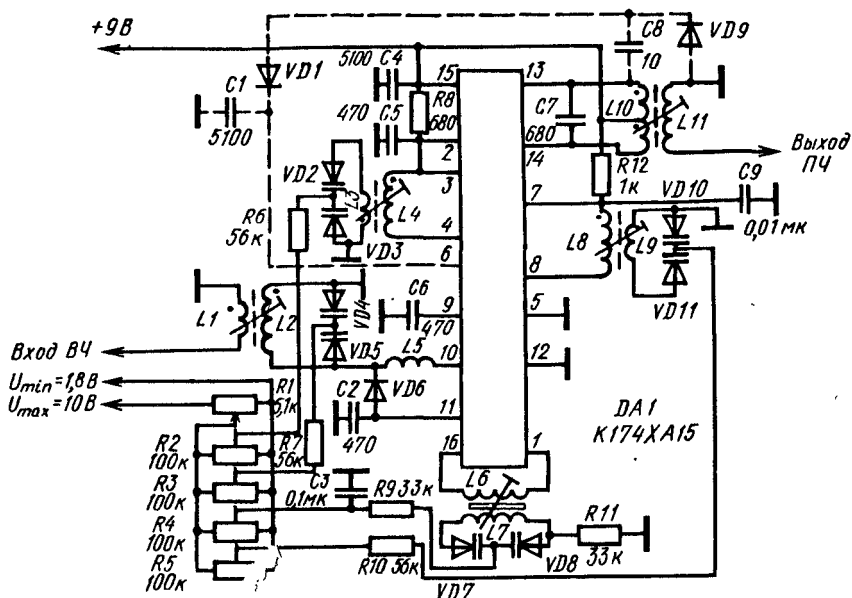


Рис. 4.35 г. Типовая схема включения ИМС K174XA15

зисторе $VT12$ собирают усилитель ВЧ, на который сигнал поступает с входного контура через вывод 10, а усиленное напряжение с вывода 8 подают на настраиваемый контур и затем через выводы 3, 4 на смеситель-перемножитель (на транзисторах $VT6$, $VT8$, $VT10$). Активными элементами гетеродина служат транзисторы $VT2$ и $VT3$ (контур подключают к выводам 1 и 16). Колебания гетеродина через буферный усилитель на транзисторах $VT4$, $VT5$ подают на перемножитель с помощью транзисторов $VT7$, $VT11$. Сигнал ПЧ поступает с коллекторов перемножителя на фильтры нижних частот на RC структурах и снимается с выводов 13, 14.

В ИМС предусмотрен также каскад на транзисторе ($VT13$) внутренней АРУ для предотвращения перегрузки при сильных сигналах и стабилизатор напряжения на транзисторе $VT1$ и диодах $VD1...VD5$.

Блок УКВ на базе ИМС имеет электронную настройку. Частотой настройки управляют переменным резистором $R1$. Подстроечные резисто-

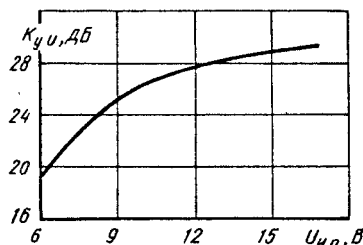


Рис. 4.36 а. Зависимость коэффициента усиления напряжения от напряжения питания при входном напряжении 1 мВ, частоте входного сигнала 69 МГц, промежуточной чс 10,7 МГц, температуре окружающей сре $25 \pm 10^\circ\text{C}$ для ИМС K174XA15

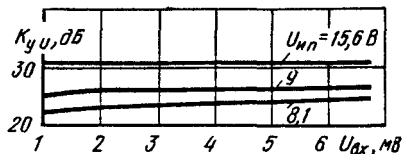


Рис. 4.36 б. Зависимость коэффициента усиления от входного напряжения при частоте входного сигнала 69 МГц, промежуточной частоте 10,7 МГц, температуре окружающей среды $25 \pm 10^\circ\text{C}$ для ИМС K174XA15

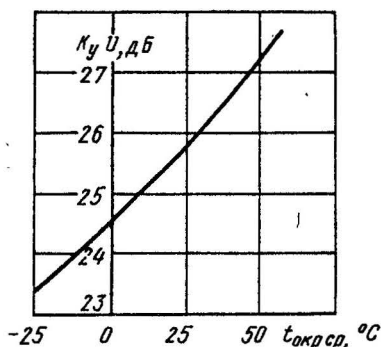


Рис. 4.36 в. Зависимость коэффициента усиления напряжения от температуры окружающей среды при напряжении питания 9 В, входном напряжении 1 мВ, частоте входного сигнала 69 МГц, промежуточной частоте 10,7 МГц для ИМС K174XA15

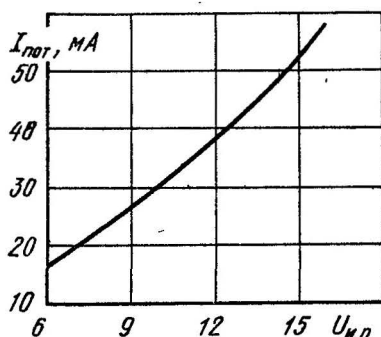


Рис. 4.36 г. Зависимость тока потребления от напряжения питания при частоте входного сигнала 69 МГц, промежуточной частоте 10,7 МГц, температуре окружающей среды $25 \pm 10^\circ C$ для ИМС K174XA15

ры R2...R5 служат для точного сопряжения контуров. Основные параметры блока УКВ: промежуточная частота 10,7 МГц, ток потребления около 30 мА, коэффициент шума 6 дБ, усиление мощности 28 дБ, полоса пропускания по ВЧ – 1,7 МГц, по ПЧ – 0,5 МГц, подавление зеркального канала 80 дБ, ПЧ – 100 дБ.

Зависимости основных параметров ИМС от режимов эксплуатации приведены на рис. 4.36.

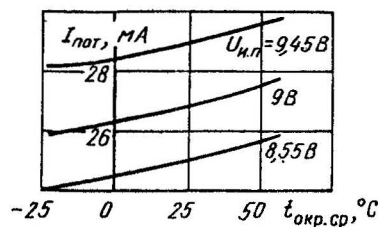


Рис. 4.36 д. Зависимость тока потребления от температуры окружающей среды при напряжении питания 8,55; 9; 9,45 В; частоте входного сигнала 69 МГц, промежуточной частоте 10,7 МГц для ИМС K174XA15

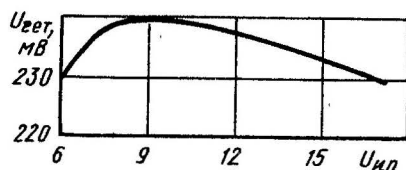


Рис. 4.36 е. Зависимость напряжения гетеродина от напряжения питания при входном напряжении 1 мВ, частоте входного сигнала 69 МГц, промежуточной частоте 10,7 МГц, температуре окружающей среды $25 \pm 10^\circ C$ для ИМС K174XA15

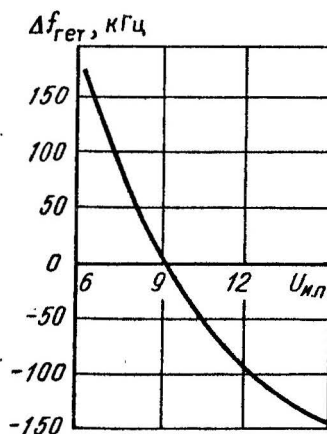


Рис. 4.36 ж. Зависимость изменения частоты гетеродина от напряжения питания при входном напряжении 1 мВ, температуре окружающей среды $25 \pm 10^\circ C$ ($\Delta f_{гет} = f_{гет} U - 79,7$ МГц) для ИМС K174XA15

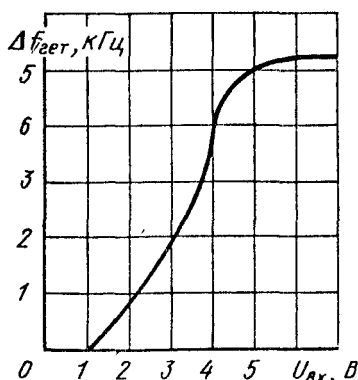


Рис. 4.36 з. Зависимость изменения частоты гетеродина от входного напряжения при напряжении питания 9 В, температуре окружающей среды $25 \pm 10^\circ\text{C}$ ($\Delta f_{\text{гет}} = f_{\text{гет}} - 79,7 \text{ МГц}$) для ИМС К174ХА15

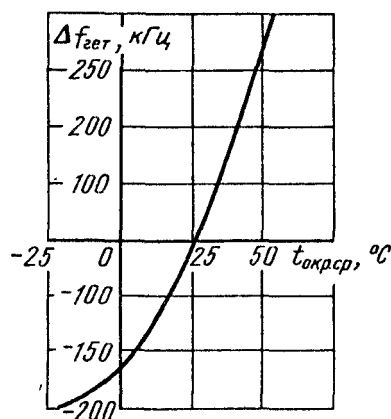


Рис. 4.36 и. Зависимость изменения частоты гетеродина от температуры окружающей среды при напряжении питания 9 В, входном напряжении 1 мВ ($\Delta f_{\text{гет}} = f_{\text{гет}} - 79,7 \text{ МГц}$)

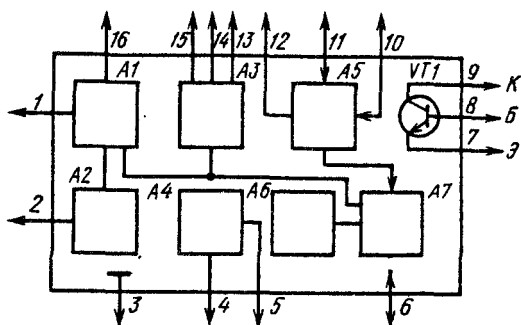


Рис. 4.37 а. Структурная схема ИМС К174ХА19

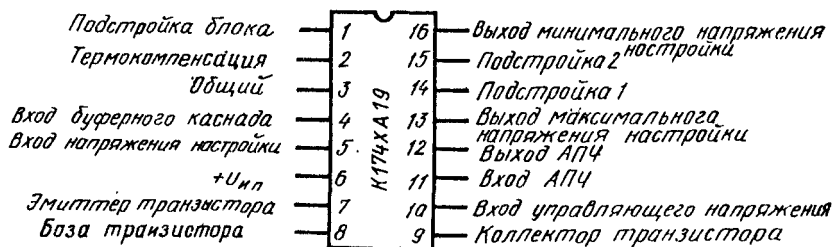


Рис. 4.37 б. Назначение выводов ИМС К174ХА19

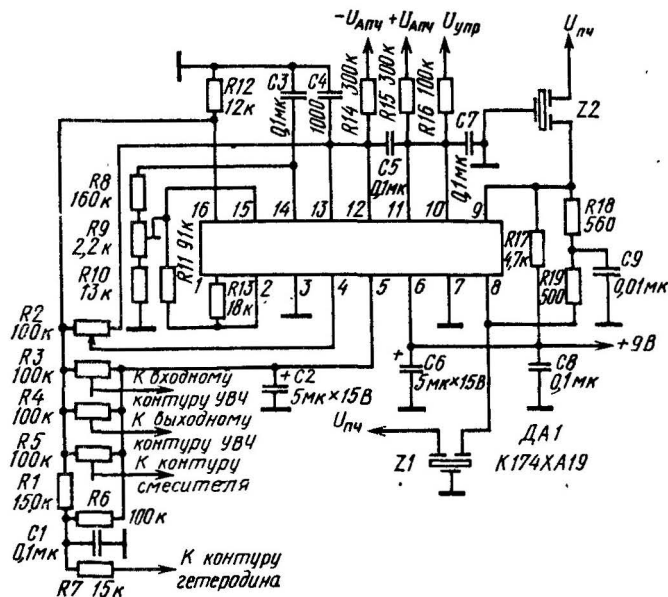


Рис. 4.37 в. Типовая схема включения ИМС К174ХА19

Электрические параметры ИМС К174ХА15
при $25 \pm 10^\circ\text{C}$ и $U_{\text{и.п.}} = 9\text{ В}$

Ток потребления $I_{\text{пот}}$, мА, не более.....	30
Коэффициент усиления по напряжению $K_{\text{УН}}$, дБ, при $U_{\text{вх}} = 1\text{ мВ}$, $f = 69\text{ МГц}$, не менее.....	22
Коэффициент шума $K_{\text{ш}}$, дБ, не более.....	10

Предельные эксплуатационные параметры
ИМС К174ХА15

Напряжение питания $U_{\text{и.п.}}$, В:	
минимальное.....	8,1
максимальное.....	15,6
Ток на выводе 7 I_7 , мА, не более.....	5
Частота входного сигнала $f_{\text{вх}}$, МГц, не более.....	108
Сопротивление нагрузки $R_{\text{н}}$, Ом, не менее.....	50

ИМС К174ХА19 (рис. 4.37) представляет собой многофункциональную схему, предназначенную для формирования стабилизированного управляющего напряжения настройки и обработки сигналов АПЧ в блоках УКВ радиоприемных устройств.

В ее состав входят: блок минимального напряжения настройки А, элементы термокомпенсации А, блок максимального напряжения настройки А3, буферный каскад А, блок АПЧ А5, генератор постоянного тока А6, блок постоянного управляющего образцового напряжения А7, транзистор VT1 для дополнительных функций.

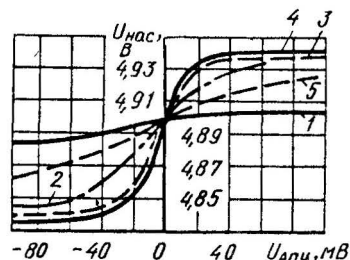


Рис. 4.38 а. Зависимость напряжения настройки от напряжения АПЧ для ИМС К174ХА19 при температуре окружающей среды $25 \pm 10^\circ\text{C}$, напряжении питания 9 В, синфазном напряжении 4 В и управляющем напряжении: 1 - 0,6 В; 2 - 0,8 В; 3 - 1,0 В; 4 - 1,2 В; 5 - 0,7 В

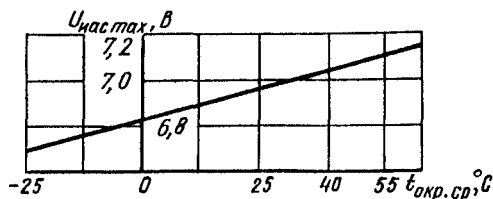


Рис. 4.38 б. Зависимость максимального напряжения настройки от температуры окружающей среды при напряжении питания 9 В, управляющем напряжении 1,2 В, синфазном напряжении 4 В для ИМС K174XA19

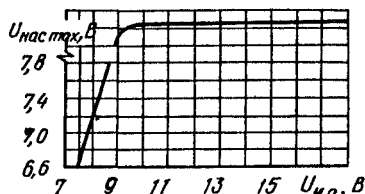


Рис. 4.38 в. Зависимость максимального напряжения настройки от напряжения питания при температуре окружающей среды $25 \pm 10^\circ\text{C}$, синфазном напряжении 4 В, управляющем напряжении 1,2 В для ИМС K174XA19

Блок УКВ на базе ИМС K174XA19 имеет электронную настройку. Частоту настройки изменяют переменным резистором R2. Подстроечные резисторы R3...R5 служат для точного сопряжения контуров, R9 – для термокомпенсации.

Зависимости основных параметров ИМС от режимов эксплуатации приведены на рис. 4.38.

Электрические параметры ИМС K174XA19 при $25 \pm 10^\circ\text{C}$ и $U_{и.п.} = 9 \text{ В}$

Ток потребления $I_{пот}$, мА, не более.....7,5

Напряжение настройки, В:

минимальное $U_{н. min}$ не более.....2,5

максимальное $U_{н. max}$ не менее.....6

Коэффициент влияния неустойчивости

источника питания $K_{эл}$ на напряже-

ние настройки, не более..... $5 \cdot 10^{-3}$

Максимальный коэффициент наклона,

%, мВ, характеристики АПЧ $K_{накл}$

при напряжении настройки

минимальном, не менее.....0,06

максимальном, не менее.....0,05

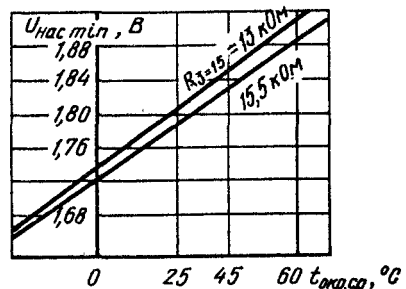


Рис. 4.38 г. Зависимость минимального напряжения настройки от температуры окружающей среды для ИМС K174XA19 при напряжении питания 9 В, управляющем напряжении 1,2 В, синфазном напряжении 4 В и сопротивлении между выводами 15 и 3: 1 – 13 кОм, 2 – 15,5 кОм

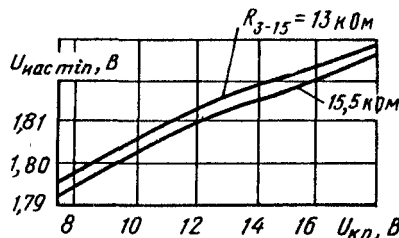


Рис. 4.38 д. Зависимость минимального напряжения настройки от напряжения питания для ИМС K174XA19 при температуре окружающей среды $25 \pm 10^\circ\text{C}$, синфазном напряжении 4 В, управляющем напряжении 1,2 В и сопротивлении между выводами 15 и 3: 1 – 13 кОм, 2 – 15,5 кОм

Максимальное относительное изменение напряжения настройки, вызванное действием АПЧ при напряжении настройки:

минимальном, не менее.....

максимальном, не менее.....

Предельные эксплуатационные параметры ИМС K174XA19

Напряжение питания $U_{и.п.}$, В.....8,

Напряжение АПЧ $U_{АПЧ}$, мВ, не более.....

Синфазное напряжение на входе АПЧ

$U_{сф. АПЧ}$, В.....

Управляющее напряжение на выводе 10 U_{10} , В, не более.....

Постоянный выходной ток в цепи выводов, мА:

9 - I_9 , не более.....	3,6
13 - I_{13} , не более.....	0,08
14 - I_{14} , не более.....	0,051
16 - I_{16} , не более.....	0,2

4.4. СЕРИЯ K175

Серия K175 представляет собой комплект интегральных микросхем, предназначенных для применения в трактах промежуточной частоты радиолокационной и связной техники, а также для узлов радиоэлектронной аппаратуры. Микросхемы выполнены на биполярных транзисторах с изоляцией $p-n$ переходом.

Состав серии

K175УВ1А,Б - широкополосный усилитель

K175УВ2А,Б - универсальный усилитель

K175УВ3А,Б - экономичный широкополосный

K175УВ4 - усилитель-преобразователь высокой частоты

K175ДА1 - детектор АМ сигналов и детектор АРУ с УПТ

K175ПК1 - регенеративный аналоговый делитель частоты

Микросхемы выпускаются в прямоугольном металло-стеклянном корпусе 401.14 - 4 с параллельным расположением выводов.

Основные эксплуатационные характеристики указанных типов ИМС приведены в табл. 4.4.

ИМС K175УВ1А, K175УВ1Б (рис. 4.39) представляет собой широкополосный усилитель и содержит трехкаскадный усилитель на транзисторах VT2...VT4 и отдельный транзистор VT1.

В зависимости от верхней граничной частоты полосы пропускания ИМС делится на группы А и Б. У первой верхняя граничная частота не менее 30 МГц, у второй - не менее 45 МГц. Нижняя граничная частота полосы пропускания определяется емкостью переходных конденсаторов C1, C4 (см. рис. 4.39 в). Амплитудно-частотную характеристику усилителя можно корректировать, подбирая емкость конденсатора C2 (емкость в пределах 0...30 пФ). Допускается работа ИМС на нагрузку сопротивлением

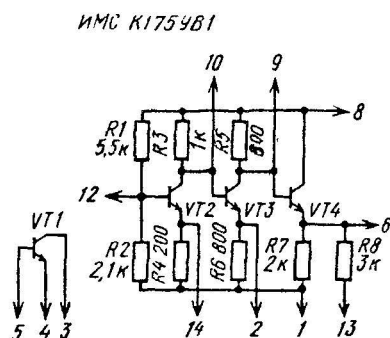


Рис. 4.39 а. Принципиальная схема ИМС K175УВ1

Таблица 4.4

Микросхема	Номинальное напряжение питания, В	Рабочий диапазон температур, °С	Гарантированная наработка микросхемы на отказ, ч	Гарантированный срок хранения, лет	Число элементов	Номер чертежа корпуса
K175УВ1А,Б	+6,3±0,63	-45...+85	10 000	6	12	16
K175УВ2А,Б	+6,0±0,6	-45...+85	10 000	6	14	16
K175УВ3А,Б	+6,0±0,6	-45...+85	10 000	6	10	16
K175УВ4	+6,0±0,63	-45...+85	10 000	6	14	16
K175ДА1	+6,0±0,6	-45...+85	10 000	6	21	16
K175ПК1	+6,0±0,6	-45...+85	10 000	6	42	16

арак-
ИМС
(рис.
копо-
трех-
срах
истор

нича-
ания
Б. У
а не
менее
стота
ется
соров
дно-
теля
ем-
ь в
рабо-
нием

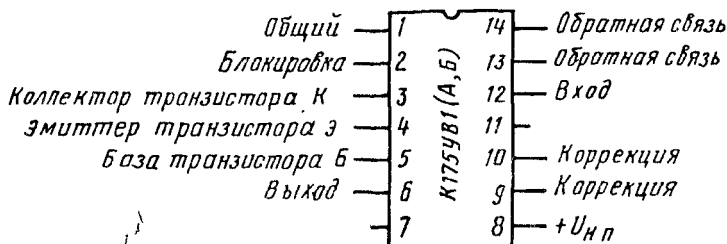


Рис. 4.39 б. Назначение выводов ИМС K175UB1A,B

не менее 200 Ом и емкостью не бо-
лее 10 пФ, а также на последователь-
ный резонансный контур.

Электрические параметры ИМС K175UB1A,B
при $25 \pm 10^\circ\text{C}$ и $U_{\text{и.п.ном}} = +6,3 \text{ В}$

Ток потребления $I_{\text{пот}}$, мА, при $U_{\text{вх}} = 0$, не более	15
Выходное напряжение $U_{0 \text{ вых}}$, В, при $U_{\text{вх}} = 0$	3...4,5
Коэффициент усиления по напряжению K_{yU} при $U_{\text{вх}} = 10 \text{ мВ}$, $f_{\text{вх}} = 1 \text{ МГц}$, не менее	10
Коэффициент гармоник $K_{\text{г}}$, %, при $U_{\text{вых}} = 0,5 \text{ В}$, не более	10
Коэффициент шума $K_{\text{ш}}$, дБ, при $f_{\text{вх}} = 20 \text{ МГц}$, не более	12
Входное сопротивление $R_{\text{вх}}$, кОм, при $f_{\text{вх}} = 100 \text{ кГц}$, не менее	1
Выходное сопротивление $R_{\text{вых}}$, Ом, при $f_{\text{вх}} = 100 \text{ кГц}$, не более	75

Предельные эксплуатационные параметры
ИМС K175UB1A,B

Напряжение питания $U_{\text{и.п.}}$, В, не более	7
Максимальная амплитуда входного на- пряжения $U_{\text{вх max}}$, В	1,5
Нестабильность коэффициента усиле- ния ΔK_{yU} , % при $T_{\text{окр ср}} = -45...+85^\circ\text{C}$	25

ИМС K175UB2A, K175UB2B (рис.
4.40) представляет собой универсаль-
ный усилитель, предназначенный
для усиления преимущественно пере-
менного тока.

ИМС содержит дифференциальный
усилитель на транзисторах VT1,

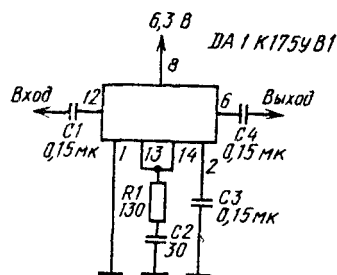


Рис. 4.39 в. Типовая схема включения
ИМС K175UB1

VT4...VT6 и два транзистора VT1
VT3, на которых можно постро-
ить входные или выходные эмиттер-
ные повторители. Отсутствие внутрен-
них коллекторных нагрузок позволя-
ет подключать к ИМС различные из-
мерительные цепи. Режим работы ус-
илителя по постоянному току задают
помощью цепи смещения на тран-

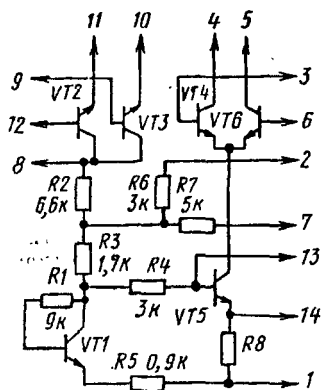


Рис. 4.40 а. Принципиальная
схема ИМС K175UB2

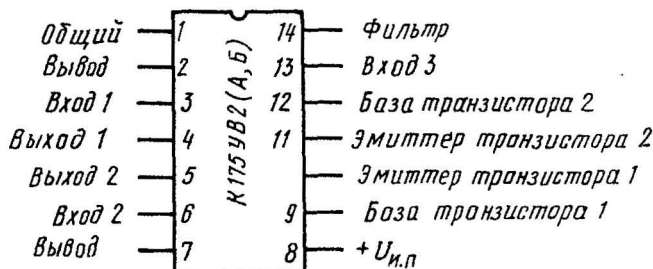


Рис. 4.40 б. Назначение выводов ИМС K175YB2A,B

сторе VT1 и резисторах R2, R3. Резисторы R6, R7 служат для подачи напряжения смещения в цепи баз дифференциальной пары транзисторов VT4, VT6.

В зависимости от полосы пропускания ИМС K175YB2 подразделяются на группы А и Б. Микросхемы K175YB2A имеют верхнюю граничную частоту около 40 МГц, K175YB2Б - около 55 МГц. В связи с тем, что ДУ предназначен для работы на переменном токе, параметры по постоянному току (U_{CM} , I_{BX} , Δf_{BX} и др.) не контролируются.

На рис. 4.41 изображена схема одного из возможных УВЧ с регулируемым коэффициентом усиления, реализованный на ИМС K175YB2. На рис. 4.42 а показана зависимость коэффициента усиления этого усилителя от управляющего напряжения.

Зависимость крутизны вольт-амперной характеристики ИМС K175YB2 от температуры окружающей среды приведена на рис. 4.42 б.

Электрические параметры ИМС K175YB2 при $25 \pm 10^\circ\text{C}$ и $U_{и.п.ном} = +6\text{ В}$

Ток потребления $I_{пот}$, мА, при $U_{BX}=0$, не более.....	3,5
Крутизна вольт-амперной характеристики S , мА/В, при $U_{BX}=0$, не менее.....	10
Коэффициент шума $K_{ш}$, дБ, при $f_{BX}=20\text{ МГц}$, не более.....	10
Коэффициент передачи по цепи АРУ $K_{АРУ}$, дБ:	
при $U_{BX}=10\text{ мВ}$, $f_{BX}=1\text{ МГц}$	60
при $U_{BX}=10\text{ мВ}$, $f_{BX}=10\text{ МГц}$	40

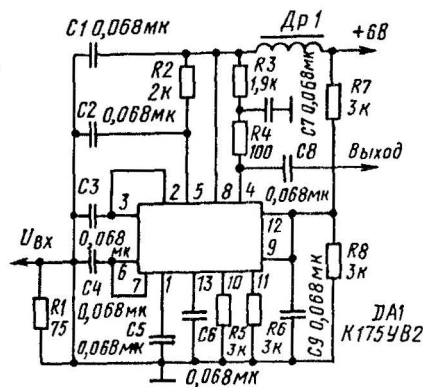


Рис. 4.40 в. Типовая схема включения ИМС K175YB2

Входное сопротивление R_{BX} , кОм, при $f_{BX}=100\text{ кГц}$, не менее.....	
Коэффициент ослабления синфазного напряжения $K_{ос.сф}$, дБ.....	
Напряжение на выходах 4, 5 U_4 , U_5 , В, при $U_{BX}=0$	3,5
Напряжение на выходах 10, 11, U_{10} , U_{11} , В, при $U_{BX}=0$	1,9

DA1K175YB2

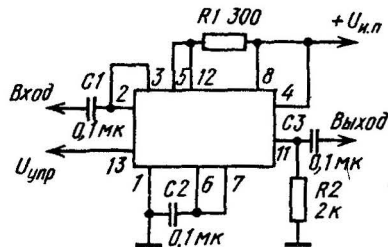


Рис. 4.41 Схема усилителя высокой частоты с регулируемым коэффициентом усиления на ИМС K175YB2A,B

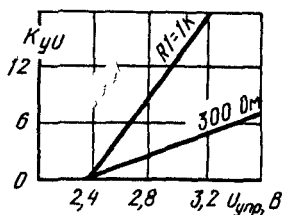


Рис. 4.42 а. Зависимость коэффициента усиления от управляющего напряжения при различной коллекторной нагрузке VT6 для ИМС K175УВ2

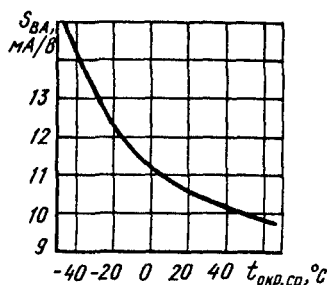


Рис. 4.42 б. Зависимость крутизны вольт-амперной характеристики ИМС K175УВ2 от температуры окружающей среды

Предельные эксплуатационные параметры ИМС K175УВ2

Ток потребления $I_{\text{пот}}$, мА, при $U_{\text{вх}}=0$, $U_{\text{и.п}}=6,6$ В, $t_{\text{окр.ср}}=-45^\circ\text{C}$ не более.....	4
Напряжение источника питания на выводе 8 $U_{\text{и.п}}$, В, не более.....	6,6
Входное напряжение $U_{\text{вх}}$, В.....	-2...+2
Синфазное входное напряжение $U_{\text{сф. вх}}$, В.....	-3...+3
Напряжение между выводами 5 и 1, 4 и 1, U_5 , U_4 , В, не более.....	9
Ток коллектора эмиттерных повторителей $I_{\text{к}}$, мА, не более.....	2
Обратное напряжение на базах транзисторов VT2, VT3 $U_{\text{з.б. max}}$, В, не более.....	3
Рассеиваемая мощность $P_{\text{расс}}$, мВт, на одном транзисторе (VT2, VT3) при $t_{\text{окр.ср}} \leq +85^\circ\text{C}$, не более.....	10
Коэффициент нестабильности, %, крутизны вольт-амперной характеристики ΔS_{BA} при $-45...+85^\circ\text{C}$	-50...+30

ИМС K175УВ3А, K175УВ3Б (4.43) представляют собой широкополосный усилитель с малой потребляемой мощностью. ИМС содержит двухкаскадный усилитель на транзисторах VT1...VT3 и транзистор VT4, на котором можно построить входной или выходной эмиттерный повторитель.

В зависимости от крутизны вольт-амперной характеристики ИМС разделяются на группы А и К175УВ3А имеют крутизну 250 мА/В. K175УВ3Б - 400 мА/В.

Между выводами 6 и 8 микросхемы допускается включать внешний резистор $R_{\text{н}}$ сопротивлением 0,1...10 кОм. Разрешена работа ИМС на нагрузку сопротивлением не менее 200 кОм и емкостью не более 10 нФ, а также на последовательный резисторный контур.

Электрические параметры ИМС K175УВ3 при $25 \pm 10^\circ\text{C}$ и $U_{\text{и.п.ном}}=6$ В

Ток потребления $I_{\text{пот}}$, мА, при $U_{\text{вх}}=1$ мВ, не более.....	4
Верхняя граничная частота $f_{\text{в.гр}}$, МГц, при $U_{\text{вх}}=1$ мВ, не менее.....	10
Коэффициент шума $K_{\text{ш}}$, дБ, при $f_{\text{вх}}=1,6$ МГц, не более.....	20
Входная емкость $C_{\text{вх}}$, пФ, при $f_{\text{вх}}=1$ МГц, не более.....	10
Входное сопротивление $R_{\text{вх}}$, Ом, при $f_{\text{вх}}=100$ кГц, не менее.....	100

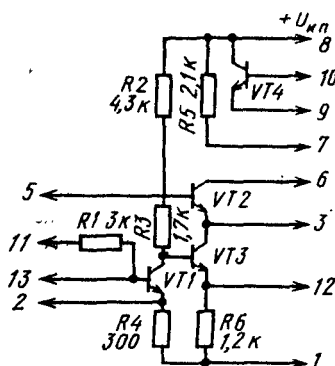


Рис. 4.43 а. Принципиальная схема ИМС K175УВ3

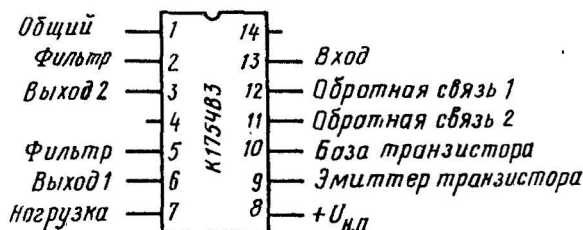


Рис. 4.43 б. Назначение выводов ИМС K175UB3A.Б

Предельные эксплуатационные параметры ИМС K175UB3

Ток потребления $I_{\text{пот}}$, мА, при $U_{\text{вх}} = 1 \text{ мВ}$ и $t_{\text{окр.ср}} = -45^\circ\text{C}$, не более.....	2,5
Коэффициент неустойчивости вольт-амперной характеристики $\Delta S_{\text{ВА}}$, %, при $t_{\text{окр.ср}}$:	
+85°C.....	-50
-45°C (для K175UB3A).....	-30
-45°C (для K175UB3Б).....	+35
Напряжение источника питания $U_{\text{и.п.}}$, В, не более.....	6,6
Амплитуда импульсов входного напряжения $U_{\text{вх}}$, В, не более.....	2
Ток коллектора эмиттерного повторителя $I_{\text{к}}$, мА, не более.....	2
Обратное напряжение $U_{\text{з.б.}}$, В, на базе транзистора эмиттерного повторителя, не более.....	3
Рассеиваемая мощность $P_{\text{расс}}$, мВт, на транзисторе эмиттерного повторителя, при $t_{\text{окр.ср}} \leq +85^\circ\text{C}$, не более.....	10

ИМС K175UB4 (рис. 4.44) представляет собой однокаскадный дифференциальный усилитель, предназначенный для усиления сигналов высокой частоты. Микросхема состоит из дифференциальной пары транзисторов VT2, VT4, генератора стабильного тока (ГСТ) на транзисторе VT3 и цепи смещения, состоящей из резисторов R1...R6 и транзистора VT1 в диодном включении. Цепь смещения служит для задания режима работы ГСТ и температурной стабилизации этого режима. Резисторы R8, R10 могут быть использованы, например, для

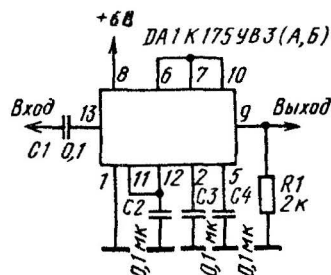


Рис. 4.43 в. Типовая схема включения ИМС K175UB3

образования цепей смещения для транзисторов VT2, VT4.

Для увеличения крутизны преобразования вольт-амперной характеристики допускается подача напряжения питания 6 В на вывод 11 ИМС.

Электрические параметры ИМС K175UB4 при $25 \pm 10^\circ\text{C}$ и $U_{\text{и.п.ном}} = 6,3 \text{ В}$

Ток потребления $I_{\text{пот}}$, мА, при $U_{\text{вх}} = 0$, не более.....	1,8
Напряжение на выводе 9 U_9 , В.....	3,5...4
Напряжение на выводе 11 U_{11} , В.....	2...2,2
Напряжение на выводе 12 U_{12} , В.....	1,3...1,5
Напряжение на выводе 13 U_{13} , В.....	0,9...1,1
Напряжение между выводами 10 и 2 U_{10-2} , В.....	-0,2...+0,2

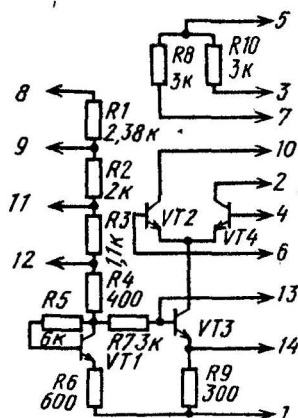


Рис. 4.44 а. Принципиальная схема ИМС K175UB4

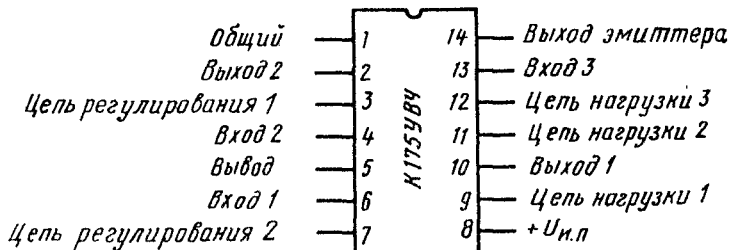


Рис. 4.44 б. Назначение выводов ИМС K175YB4

Крутизна вольт-амперной характеристики S_{BA} , мА/В, при $U_{вх}=10$ мВ и $f_{вх}=1$ МГц, не менее	10
Коэффициент шума $K_{ш}$, дБ, при $f_{вх}=20$ МГц, не более	10
Коэффициент АРУ $K_{АРУ}$, дБ, при $U_{13}=10$ мВ, $f_{вх}=1$ МГц, не менее	60
Верхняя граничная частота $f_{в.гр}$, МГц, при $U_{вх}=10$ мВ, не менее	150

Предельные эксплуатационные параметры ИМС K175YB4

Напряжение питания на выводе 8 $U_{н.п}$, В:	
минимальное	3
максимальное	9,5
Напряжение между выводами 10 и 1, 2 и 1, U_{10-1} , U_{2-1} , В, не более	12,5
Выходное дифференциальное напряжение $U_{вх.диф}$, В	-2...+2
Выходное синфазное напряжение $U_{сф.вх}$, В	2...4,4
Выходное напряжение по выводу 13 $U_{вх.13}$, В, не более	1,2
Коэффициент неустойчивости вольт-амперной характеристики ΔS_{BA} , %, при $U_{вх}=10$ мВ, $f_{вх}=0,1$ МГц и $t_{окр.ср}$	
+85°C	-40...+10
-45°C	-10...+40

ИМС K175DA1 (рис. 4.45) содержит детектор амплитудно-модулированного сигнала и детектор автоматической регулировки усиления (АРУ) с усилителем постоянного тока (УПТ).

Электрические параметры ИМС K175DA1 при $25 \pm 10^\circ\text{C}$ и $U_{н.п.ном}=6$ В

Ток потребления $I_{пот}$, мА, не более 3,5

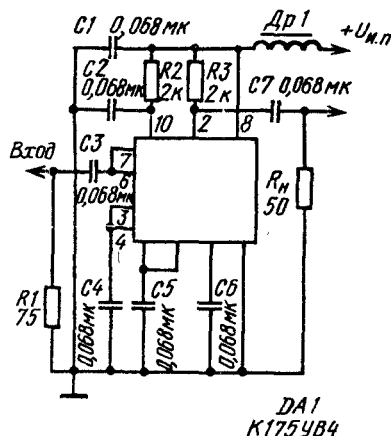


Рис. 4.44 в. Типовая схема включения ИМС K175YB4

Напряжение на выводе 9 U_9 , В	1,0...2
Напряжение на выводе 12 U_{12} , В	0,12...0
Коэффициент передачи детектора $K_{пер.д}$ при $U_{вх}=100$ мВ, $f_{вх}=65$ МГц, не менее	
Коэффициент передачи по цепи АРУ $K_{пер.АРУ}$ при $U_{вх}=50$ мВ, $f_{вх}=65$ МГц, не менее	

Предельные эксплуатационные параметры ИМС K175DA1

Напряжение питания $U_{н.п}$, В:

минимальное	
максимальное	

ИМС K175KП1 (рис. 4.46) представляет собой регенеративный аналоговый делитель частоты для связи аппаратуры.

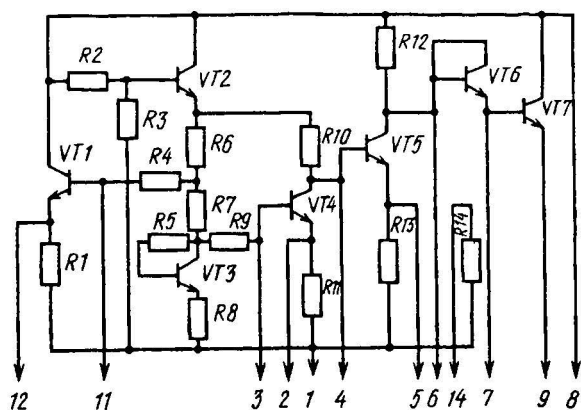


Рис. 4.45 а. Принципиальная схема ИМС К175ДА1

Общий	1	14	Резистор
Фильтр	2	13	
Вход 2	3	12	Выход 1
Фильтр 1	4	11	Вход 1
Фильтр 2	5	10	
Фильтр 3	6	9	Выход 2
Фильтр 4	7	8	+ U _{нп}

Рис. 4.45 б. Назначение выводов микросхемы К175ДА1

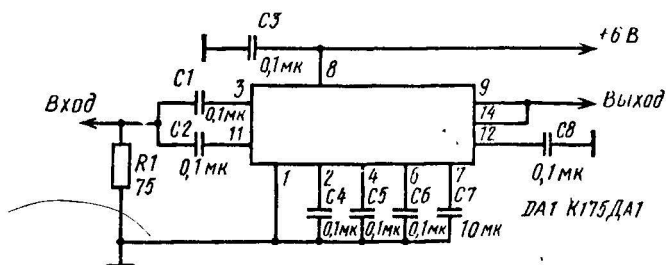


Рис. 4.45 в. Типовая схема включения ИМС К175ДА1

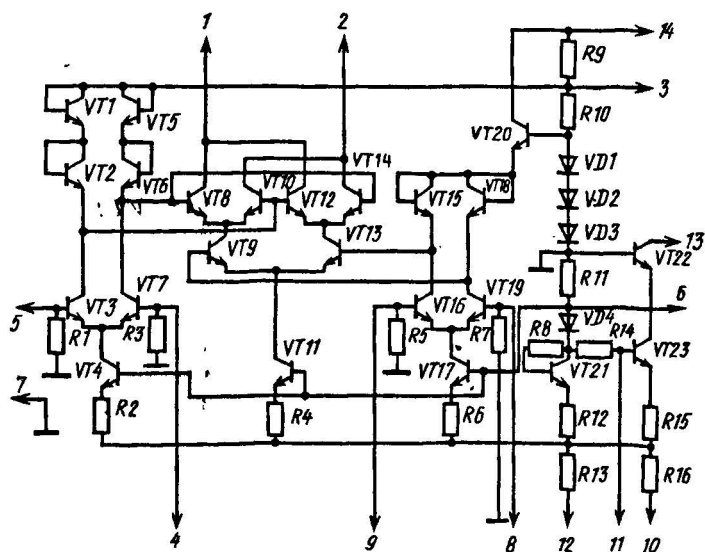


Рис. 4.46 а. Принципиальная схема ИМС К175ПК1

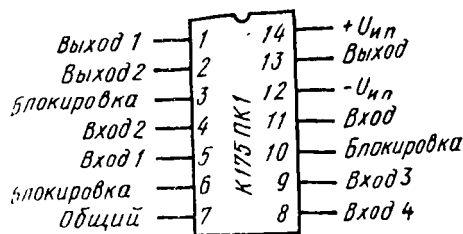


Рис. 4.46 б. Назначение выводов микросхемы К175ПК1

Основным узлом ИМС является счетверенный дифференциальный усилитель с перекрестными связями на транзисторах $VT8$, $VT10$ и $VT12$, $VT14$. Два других дифференциальных усилителя на транзисторах $VT3$, $VT7$ и $VT16$, $VT19$, $VT9$, $VT13$ управляют работой основного узла. Внутренний стабилизатор (резисторы $R8...R15$, диоды $VD1...VD4$, транзисторы $VT20...VT23$) обеспечивает стабильную работу ИМС по постоянному току и задает смещение на транзисторы $VT4$, $VT1$, $VT17$, поддерживая эмиттерный ток дифференциальных усилителей постоянным.

Электрические параметры ИМС К175ПК1 при $25 \pm 10^\circ\text{C}$ и $U_{\text{и.п.ном}} = 6\text{ В}$

Ток потребления $I_{\text{пот}}$, мА, не более.....1
Предельные эксплуатационные параметры ИМС К175ПК1

Напряжение питания $U_{\text{и.п.}}$, В:
минимальное.....5,4
максимальное.....6,6

4.5. СЕРИЯ К525

Серия К525 представляет собой комплект ИМС, предназначенных для аналоговой обработки и преобразования сигналов в устройствах автоматического управления радиоаппаратуры, а также измерительных и вычислительных устройствах аппаратуры связи. Микросхемы выполнены на биполярных транзисторах с изоляцией р-п переходом.

К525ПС1А,Б - аналоговый перемножитель сигналов среднего класса точности (преобразователь спектров)

К525ПС2А,Б - четырехкратный аналоговый перемножитель сигналов с операционным усилителем на выходе (преобразователь спектров).

Конструкция микросхемы выпускаются в прямоугольных металлокерамических корпусах 201.14-10 с перпендикулярным расположением выводов.

Основные эксплуатационные характеристики приведенных типов микросхем помещены в табл. 4.5.

ИМС К525ПС1А, К525ПС1Б (рис. 4.47) представляют собой аналоговый перемножитель сигналов на основе дифференциальных усилителей, могут использоваться в умножителях частоты, фазовых детекторах балансных модуляторов, а также применяются в системах автоматического регулирования в качестве перемножителей и узлов возведения в степень. Совместно с операционными усилителями аналоговые перемножители могут выполнять деление, извлечение корней и выделение тригонометрических функций.

ИМС (рис. 4.47 а) состоит из двух дифференциальных усилителей, которые управляют работой основного узла перемножения на транзисторах $VT12$, $VT14$, $VT16$, $VT19$. Дифференциальный усилитель на транзисторах $VT10$, $VT14$, $VT17$, $VT20$ задает постоянность токов эмиттеров двух пар транзисторов узла перемножения пропорционально входному дифференциальному сигналу. Зависимость токов эмиттеров перемножителя от напряжения на входе Y имеет нелинейный характер, что не позволяет получить хорошую линейность на выходе. Чтобы получить линейную зависимость выходного напряжения при больших уровнях напряжения по входу Y , приходится предварительно прологарифмировать входной сигнал.

Микросхема	Номинальное напряжение питания, В	Рабочий диапазон температур, °С	Гарантированная наработка микросхемы на отказ, ч	Гарантированный срок хранения, лет	Количество элементов	Номер чертежа корпуса
K525ПC1A,Б	$\pm 15 \pm 0,75$	-10...+70	10 000	6	30	5
K525ПC2A,Б	$\pm 15 \pm 1,5$	-10...+70	10 000	6	62	5

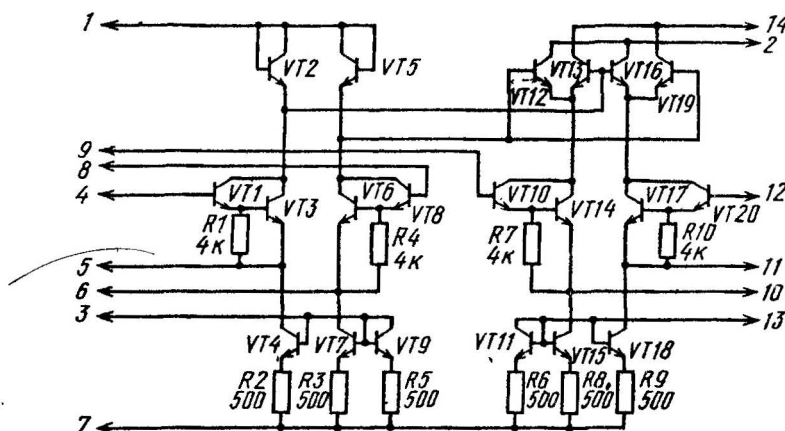


Рис. 4.47 а. Принципиальная схема ИМС K525ПC1A,Б



Рис. 4.47 б. Назначение выводов ИМС K525ПC1A,Б

мировать сигнал по этому входу. Для этого в перемножитель введен дифференциальный каскад логарифмирования на транзисторах VT1, VT3, VT6, VT8 с нагрузкой на транзисторах VT2 и VT5, который преобразует входное напряжение в токи с помощью резистора R_у, включенного между выводами 5 и 6. Начальный ток дифференциальных усилителей определяется генераторами токов на

транзисторах VT4, VT7, VT9 и VT15, VT18 и нормируется с помощью резисторов, включаемых между выводами 3, 13 и общим проводом.

Типовое включение ИМС в качестве аналогового перемножителя показано на рис. 4.47 в и позволяет осуществить четырехквadrантное перемножение входных аналоговых сигналов с уровнем до ± 10 В при амплитуде

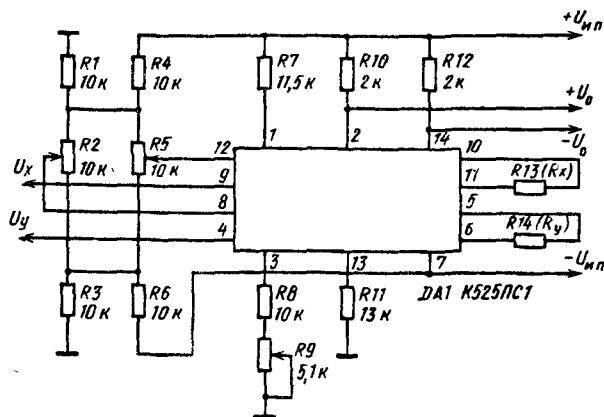


Рис. 4.47 в. Типовая схема включения ИМС K525PC1

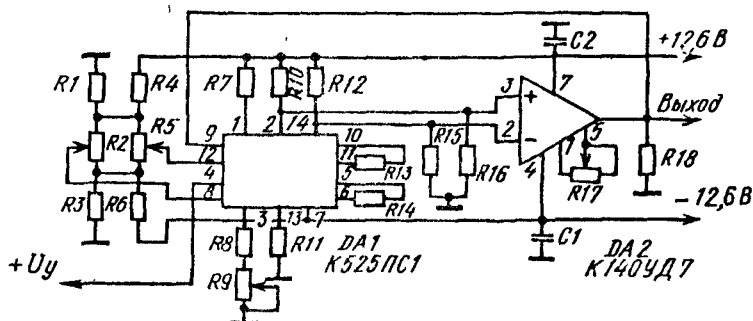


Рис. 4.47 г. Схема аналогового перемножителя на ИМС K525PC1 со смещением уровня

туда выходного сигнала ± 10 В. На рис. 4.47 г показана схема аналогового перемножителя, снабженного узлом смещения уровня, выполненного на ОУ K140UD7, который реализует передаточную функцию $U_z = U_x U_y / 10$.

Остаточное напряжение $U_{ост}$, мВ, не более:

по входу X K525PC1A.....	50
по входу X K525PC1Б.....	80
по входу Y K525PC1A.....	100
по входу Y K525PC1Б.....	140

Напряжение смещения $U_{см}$, мВ, по выходам X, Y, не более..... 500

Синфазное напряжение по входам X, Y $U_{сф}$, В, не менее:

K525PC1A.....	$\pm 11,5$
K525PC1Б.....	$\pm 10,5$

Входной ток $I_{вх}$, мА, по входам X, Y, не более..... 8

Разность входных токов $\Delta I_{вх}$, мкА, по входам X, Y, не более..... 1

Разность выходных токов $\Delta I_{вых}$, мкА, не более..... 50

Полоса преобразования Δf , МГц, по входам X, Y, не менее:

K525PC1A.....	1,5
K525PC1Б.....	1

Электрические параметры ИМС K525PC1 при $25 \pm 10^\circ \text{C}$ и $U_{н.п.ном} = \pm 15$ В

Гок потребления от источника $+U_{н.п.}$

$I_{пот}^+$, мА, не более:	
K525PC1A.....	4,6
K525PC1Б.....	5

Гок потребления от источника $-U_{н.п.}$

$I_{пот}^-$, мА, не более.....	7
---------------------------------	---

Погрешность перемножения ϵ , %, не более:

K525PC1A.....	2
K525PC1Б.....	4

Коэффициент влияния источников питания на погрешность перемножения $K_{вл}$, %, не более:

K525PC1A.....	0,1
K525PC1B.....	0,2

Коэффициент ослабления синфазных напряжений $K_{осл.сф}$ дБ, по входам X, Y, не менее:

K525PC1A.....	50
K525PC1B.....	40

Выходное напряжение $U_{вых max}$ В, не менее:

K525PC1A.....	$\pm 12,5$
K525PC1B.....	$\pm 10,5$

Входное сопротивление $R_{вх}$ МОм, по входам X, Y, не менее..... 35

Выходное сопротивление $R_{вых}$ кОм, не менее..... 50

Нелинейность перемножения $N_{пер}$ %, не более:

K525PC1A.....	2
K525PC1B.....	4

Предельные эксплуатационные параметры ИМС K525PC1

Напряжение питания, В:

$U^+_{и.п}$	+6...48
$U^-_{и.п}$	-6...-15

ИМС K525PC2A, K525PC2B (рис. 4.48) представляют собой четырехквadrантный аналоговый перемножитель (АП) сигналов с операционным усилителем на выходе. Умножение осуществляет счетверенный дифференциальный каскад на транзисторах VT9, VT12, VT13, VT16. Перекрестные связи коллекторов этих транзисторов обеспечивают инверсию сигналов, необходимую для четырехквadrантного умножения. Входные каскады на транзисторах VT2, VT5 и VT10, VT14 преобразуют напряжения U_X и U_Y в токи. Узел смещения уровня выполнен на операционном усилителе на транзисторах VT17...VT27.

Примеры построения узлов на базе ИМС K525PC2 приведены на рис. 4.49.

Электрические параметры ИМС K525PC2 при $25 \pm 10^\circ\text{C}$ и $U_{и.п.ном} = \pm 15\text{ В}$

Ток потребления от источника питания

$I_{пот}$ мА, не более:	
K525PC2A.....	6
K525PC2B.....	7

Погрешность перемножения $\Delta K_{пер}$ %, не более:

K525PC2A.....	± 1
K525PC2B.....	± 2

Нелинейность перемножения $N_{пер}$ %, не более:

по входу X K525PC2A.....	$\pm 0,8$
по входу X K525PC2B.....	± 1
по входу Y K525PC2A.....	$\pm 0,5$
по входу Y K525PC2B.....	$\pm 0,7$

Остаточное напряжение $U_{ост}$ мВ, не более:

по входу X' K525PC2A.....	80
по входу X K525PC2B.....	150
по входу Y K525PC2A.....	60
по входу Y K525PC2B.....	100

Входной ток $I_{вх}$ мкА, не более:

по входу X.....	4
по входу Y.....	6

Полоса преобразования Δf , МГц, по входам X, Y, не менее..... 0,7

Коэффициент влияния источников питания на погрешность перемножения $K_{вл}$ %, не более:

K525PC2A.....	0,5
K525PC2B.....	0,7

Выходное напряжение $U_{вых max}$ В, не менее..... $\pm 10,5$

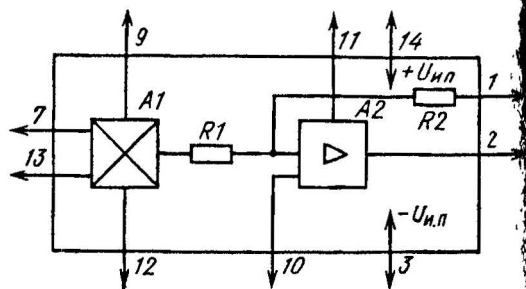


Рис. 4.48 а. Функциональная схема ИМС K525PC2A,B

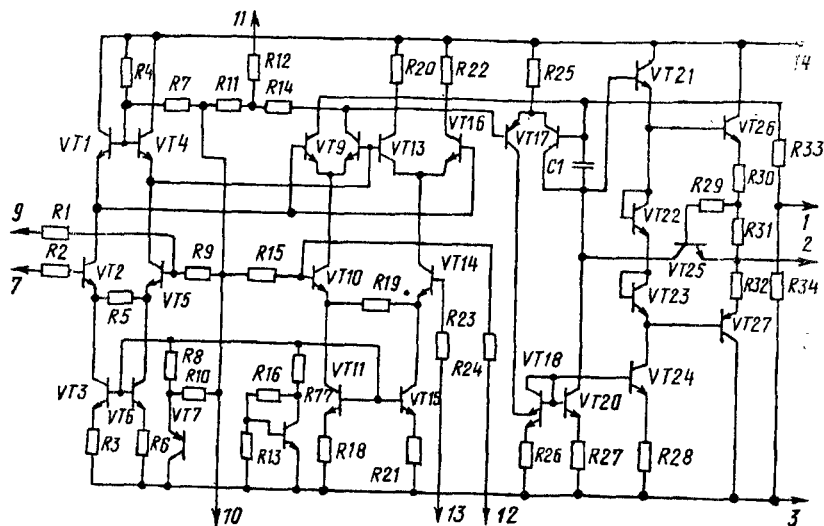


Рис. 4.48 а. Принципиальная схема ИМС К525ПС2А,Б

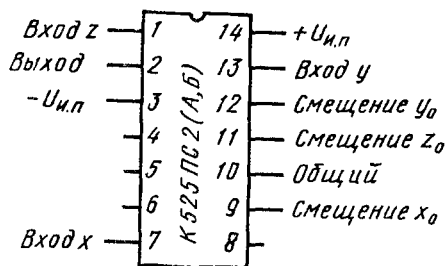


Рис. 4.48 б. Назначение выводов ИМС К525ПС2А,Б

Предельные эксплуатационные параметры ИМС К525ПС2

Напряжение питания, В:

$+U_{и.п.}$ +13,5...+16,5
 $-U_{и.п.}$ -15,5...-13,5

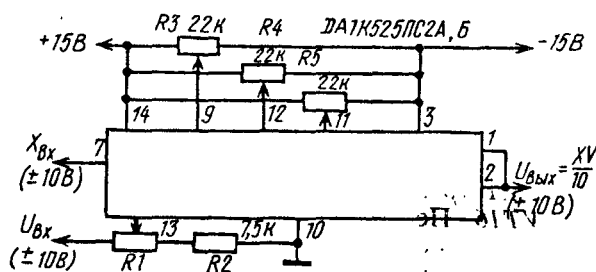


Рис. 4.49 а. Схема умножения на ИМС К525ПС2

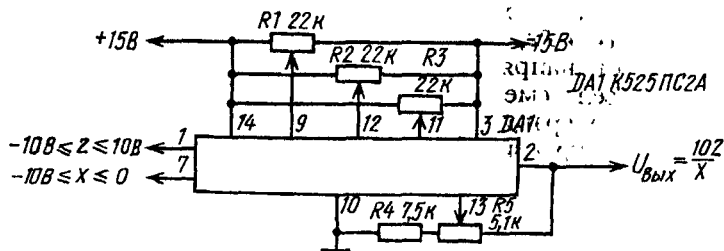


Рис. 4.49 б. Схема деления на ИМС К525ПС2

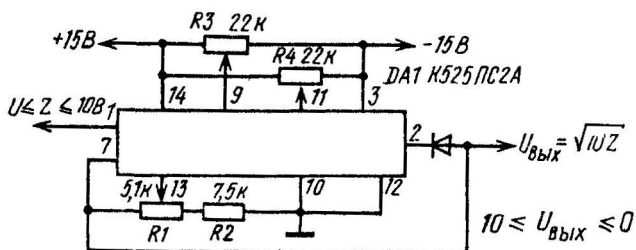


Рис. 4.49 в. Схема извлечения квадратного корня на ИМС K525PC2

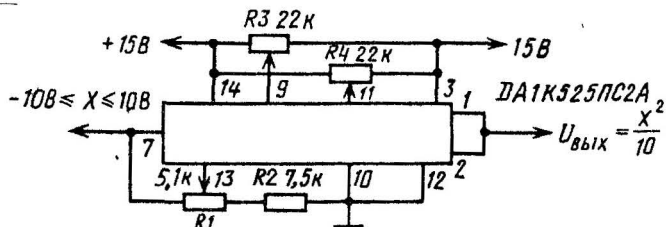


Рис. 4.49 г. Схема возведения в квадрат на ИМС K525PC2

4.6. СЕРИЯ КР1005

ИМС серии КР1005 представляет собой комплект усилителей, предназначенных для бытовой радиоаппаратуры. Микросхемы выполнены на биполярных транзисторах с изоляцией р-п переходом.

Состав серии

КР1005ХА8А,Б - многофункциональный универсальный узел системы фазовой автоподстройки частоты с разомкнутой цепью управления генератора управляемого напряжением.

Микросхемы выпускаются в прямоугольном полимерном корпусе 2120.24-6 с перпендикулярным расположением выводов. Основные эксплуатационные характеристики микросхемы приведены в табл. 4.6.

ИМС **КР1005ХА8А, КР1005ХА8Б** (рис. 4.50) представляют собой узел фазовой автоподстройки частоты и могут найти применение в различных устройствах, где требуется управление частотой. ИМС содержит пере-

множитель $U1$, операционный усилитель $A1$ и генератор управляемого напряжением $G1$.

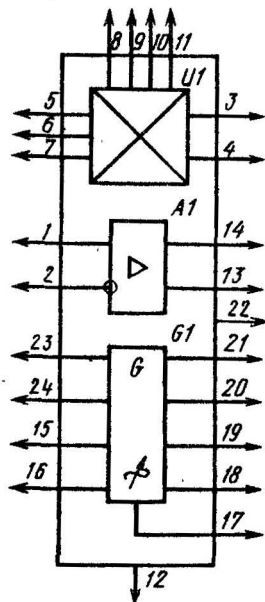


Рис. 4.50 а. Структурная схема ИМС КР1005ХА8А,Б

Микросхема	Номинальное напряжение питания, В	Рабочий диапазон температур, °С	Гарантированная наработка микросхемы на отказ, ч	Гарантированный срок хранения, лет	Номер чертежа корпуса
КР1005ХА8А,Б	20±2	-25...+70	15 000	10	30

Инвертирующий вход ОУ	1	24	Вход ГУН
Неинвертирующий вход ОУ	2	23	Вход ГУН
Выход перемножителя	3	22	U _{и.п}
Выход перемножителя	4	21	Выход ГУН
Вход перемножителя	5	20	Частотозадающий конденсатор
Вход перемножителя	6	19	Частотозадающий конденсатор
Вход перемножителя	7	18	Управление ГУН
Резистор обратной связи	8	17	Управление ГУН
Резистор обратной связи	9	16	Цифровое управление частотой ГУН
Резистор обратной связи	10	15	Цифровое управление частотой ГУН
Резистор обратной связи	11	14	Выход ОУ
Общий	12	13	Коррекция АЧХ ОУ

Рис. 4.50 б. Назначение выводов ИМС КР1005ХА8А,Б

множитель $U1$, операционный усилитель $A1$ и генератор управляемый напряжением $G1$.

Примеры использования ИМС в

различных режимах приведены рис. 4.51.

Зависимости основных параметров ИМС от режимов эксплуатации и введены на рис. 4.52.

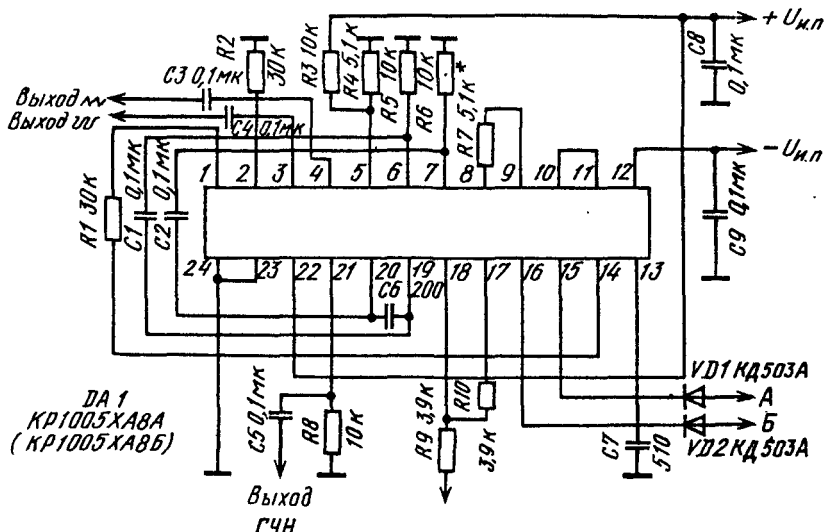


Рис. 4.51 а. Применение ИМС КР1005ХА8А,Б в режиме генератора функций

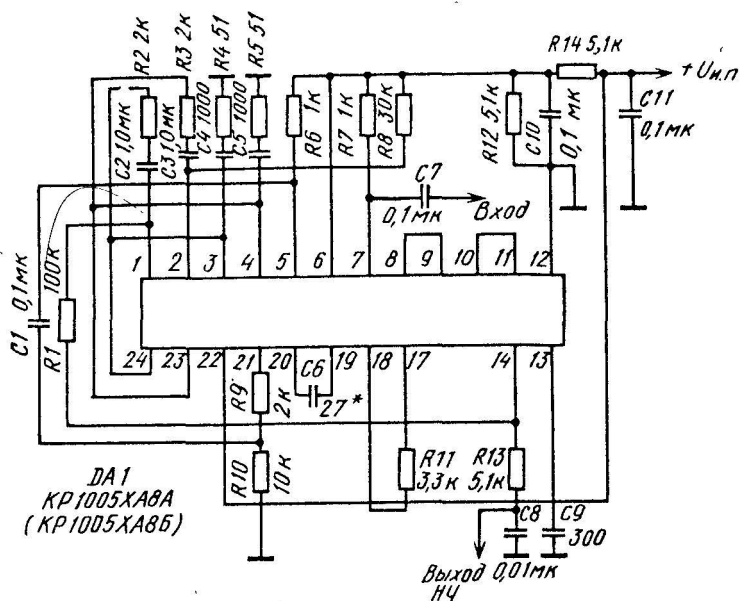


Рис. 4.51 б. Применение ИМС KP1005XA8 в режиме ЧМ детектора

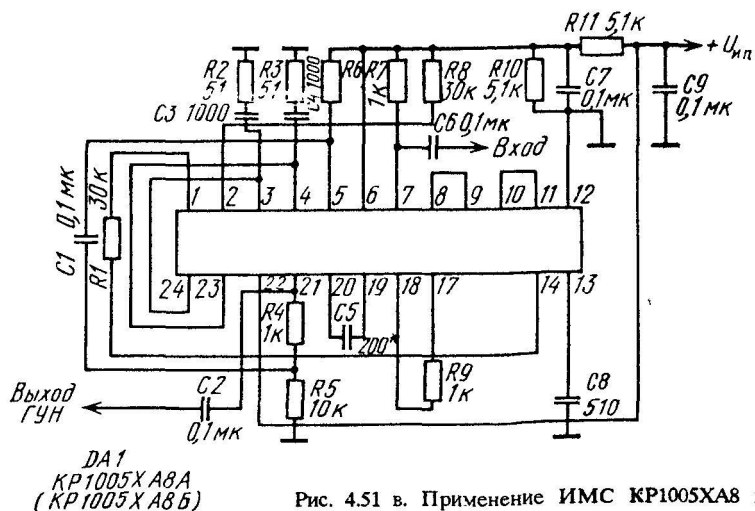


Рис. 4.51 в. Применение ИМС KP1005XA8 в режиме стационарного фильтра

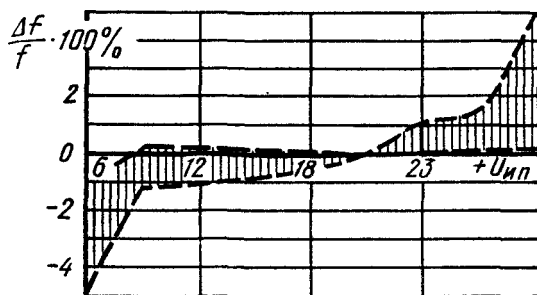


Рис. 4.52 а. Зависимость изменения частоты свободных колебаний ГУН от напряжения питания для ИМС КР1005ХА8 (--- границы 95-процентного разброса)

Рис. 4.52 б. Зависимость выходного напряжения ГУН от частоты для ИМС КР1005ХА8 (--- границы 95-процентного разброса)

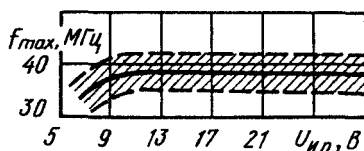
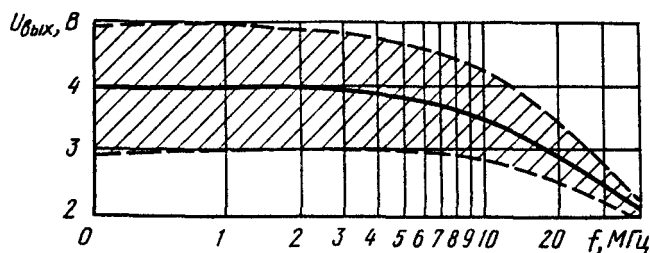


Рис. 4.52 в. Зависимость верхней граничной частоты от напряжения питания (однополярного) для ИМС КР1005ХА8 (--- границы 95-процентного разброса)

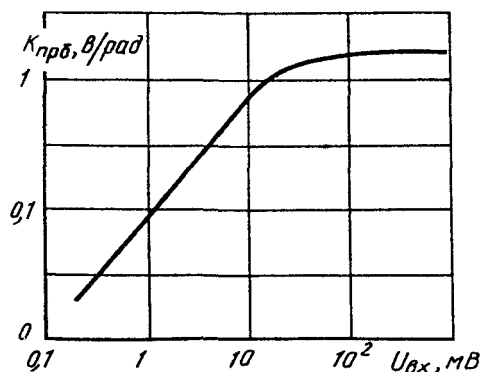


Рис. 4.52 г. Зависимость коэффициента преобразования фазового детектора от уровня

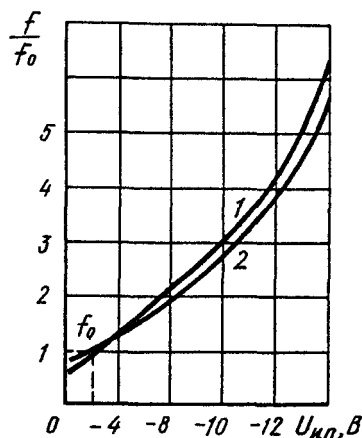


Рис. 4.52 д. Диапазон перестройки частоты ГУН в зависимости от напряжения питания (двухполярного) для ИМС КР1005ХА8:

1 - выводы 15, 16 через сопротивление 1 кОм заземлены
2 - выводы 15, 16 не подключены

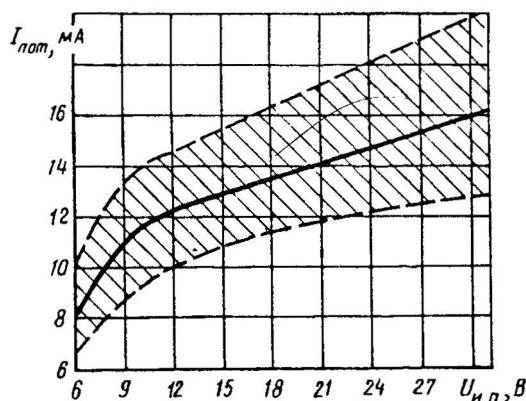


Рис. 4.52 е. Зависимость тока потребления от напряжения питания (однополярного) для ИМС КР1005ХА8 (— — — — — границы 95-процентного разброса)

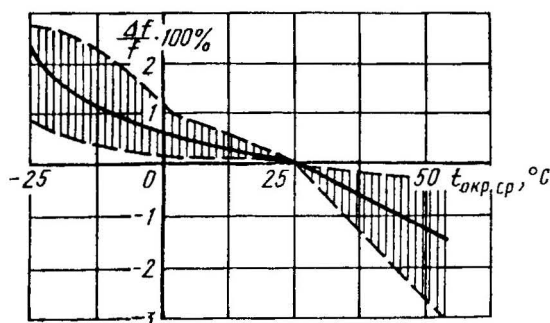


Рис. 4.52 ж. Зависимость частоты ГУН от температуры окружающей среды для ИМС КР1005ХА8 (— — — — — границы 95-процентного разброса)

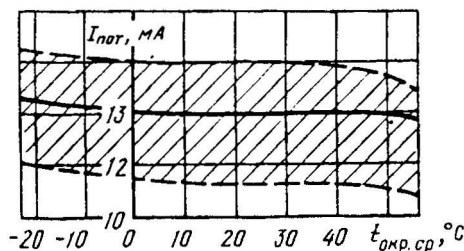


Рис. 4.52 з. Зависимость тока потребления от температуры окружающей среды для ИМС КР1005ХА8 (— — — — — границы 95-процентного разброса)

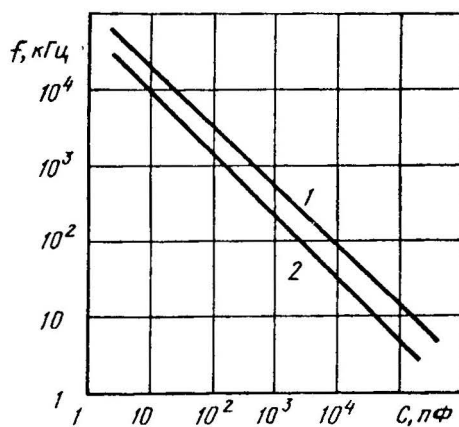


Рис. 4.52 и. Зависимость частоты свободных колебаний ГУН от значения частотозадающей емкости для ИМС КР1005ХА8: 1 — цифровое управление в положении "выключено"; 2 — "включено"

Электрические параметры ИМС
КР1005ХА8А,Б при $25 \pm 10^\circ\text{C}$ и $U_{н.п.ном} = 20 \text{ В}$

Ток потребления $I_{пот}$, мА, не более.....20
Амплитуда выходного напряжения ГУН

$U_{вых \text{ ГУН}}$, В, не менее:
КР1005ХА8А.....1,9
КР1005ХА8Б.....0,9

Выходное сопротивление фазового детектора (парафазный выход)
 $R_{вых}$, кОм.....8...16

Верхняя граничная частота $f_{гр}$, МГц,
не менее.....15

Предельные эксплуатационные параметры
ИМС КР1005ХА8А,Б

Однополярное напряжение питания
 $U_{н.п'}$, В:

минимальное.....
максимальное.....

Двухполярное напряжение питания
 $\pm U_{н.п'}$, В:

минимальное..... \pm
максимальное..... ± 1

Переменное напряжение входного сигнала на выводах 5, 7, $U_{вх 5'}$, $U_{вх 7'}$, В,
не более.....

Напряжение смещения на выводах 5, 6, 7, $U_{см 5}$, $U_{см 6}$, $U_{см 7}$, В, при напряжении питания 20 В.....	9...11
Постоянное напряжение на выводах 1, 2, U_p , U_2 , В, при напряжении питания 20 В.....	9...17
Постоянное напряжение на выводах 23, 24, U_{23} , U_{24} , В, при напряжении питания 20 В.....	10...17
Сопротивление нагрузки на выходе операционного усилителя R_n , кОм, не менее.....	2

4.7. СЕРИЯ КР1015

Серия КР1015 представляет собой комплект интегральных микросхем, предназначенных для бытовой радиоаппаратуры. Микросхемы выполнены по n -канальной МОП технологии.

Состав серии

КР1015ХК2А,Б – узел управления частотой настройки радиоприемных устройств.

Микросхемы выпускаются в прямоугольном полимерном корпусе 2104.18 – 3 с перпендикулярным расположением выводов. Основные эксплуатационные характеристики микросхемы приведены в табл. 4.7.

ИМС КР1015ХК2А, КР1015ХК2Б (рис. 4.53) представляет собой узел для цифровой настройки радиоаппаратуры и находит применение в различных классах устройств, где требуется управление частотой.

В ИМС входят приемный регистр А1, буферный регистр (БР) А2, поглощающий счетчик (ПС) А3, делитель с переменным коэффициентом деления (ДПКД) А7, логический блок управления (ЛБУ) А4, образцовый генератор (ОГ) Г1, делитель (ОД) А5, частотно-фазовый дискриминатор (ЧФД) У11.

Зависимости параметров ИМС от режимов эксплуатации приведены на рис. 4.54.

Электрические параметры ИМС
КР1015ХК2А,Б при $25 \pm 10^\circ\text{C}$ и $U_{и.п.ном} = 5$

Ток потребления $I_{пот}$, мА, не более:

КР1015ХК2А.....

КР1015ХК2Б.....

Выходное напряжение низкого уровня транзистора интегратора $U_{вых}^0$, В, не более.....

Выходное напряжение на выводах 1, 12, В:

высокого уровня $U_{1,12}^1$, не менее.....

низкого уровня $U_{1,12}^0$, не более.....

Ток выключенного состояния транзистора интегратора $I_{выкл}$, мкА, не более.....

Входной ток, мкА, на выводах 6...8, 13, 15:

низкого уровня $I_{вх}^0$, не более.....

высокого уровня $I_{вх}^1$, не более.....

Входной ток, мкА, на входе ДПКД, не более:

низкого уровня $I_{ДПКД}^0$

высокого уровня $I_{ДПКД}^1$

Выходной ток, мкА, на выходе ЧФД, не менее:

высокого уровня $I_{вых}^1$

низкого уровня $I_{вых}^0$

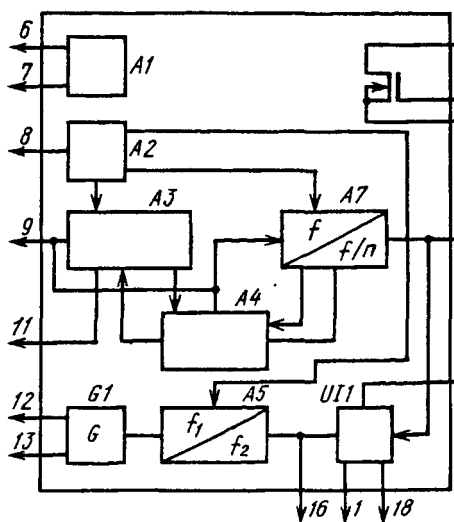


Рис. 4.53 а. Структурная схема ИМС КР1015ХК2А,Б

Микросхема	Номинальное напряжение питания, В	Рабочий диапазон температур, °С	Гарантированная наработка микросхемы на отказ, ч	Гарантированный срок хранения, лет	Число элементов	Номер чертежа корпуса
КР1015ХК2А,Б	$5 \pm 0,5$	$-25 \dots +70$	25 000 (высшая категория) 15 000 (первая категория)	12 (высшая категория) 10 (первая категория)	2472	25

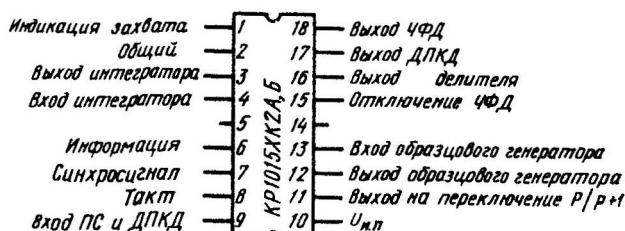


Рис. 4.53 б. Назначение выводов ИМС КР1015ХК2А,Б

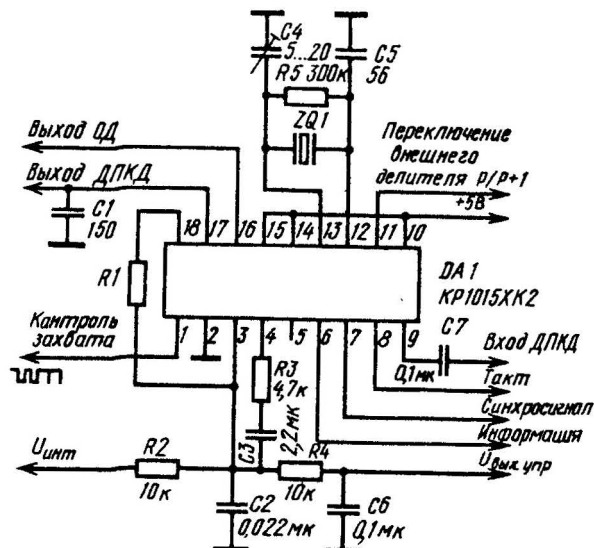


Рис. 4.53 в. Типовая схема включения ИМС КР1015ХК2

Выходной ток высокого уровня на выходе переключения внешнего делителя $I_{\text{дел}}^1$ мА, не менее 5
 Предельный коэффициент деления поглощающего счетчика с дискретностью 1 $K_{\text{дел.п.с}}$ 1.127
 Предельный коэффициент деления

ДПКД с дискретностью 1
 $K_{\text{дел ДПКД}}$ 16.409
 Фиксированный коэффициент деления делителя $K_{\text{дел}}$
 первый 1024
 второй 2560

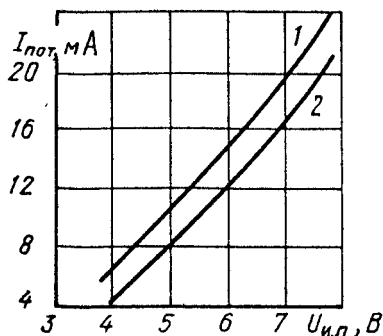


Рис. 4.54 а. Зависимость тока потребления от напряжения питания при частоте входного сигнала 6 МГц, входном напряжении низкого уровня 0,4 В, предельном коэффициенте деления ПС 127, частоте опорного генератора 6 МГц, предельных коэффициентах деления ДПКД 16 (1) и 4095 (2) для ИМС КР1015ХК2

Рис. 4.54 б. Зависимость тока потребления от входного напряжения при предельном коэффициенте деления, равном 16, предельном коэффициенте деления ПС 13, частоте входного сигнала 6 МГц, частоте опорного генератора 6 МГц, напряжения питания 5,5, 5 и 4,5 В для ИМС КР1015ХК2

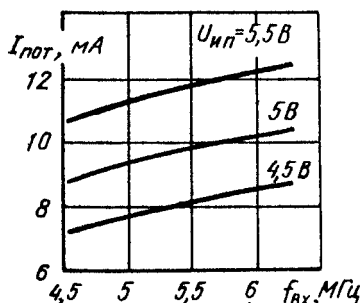
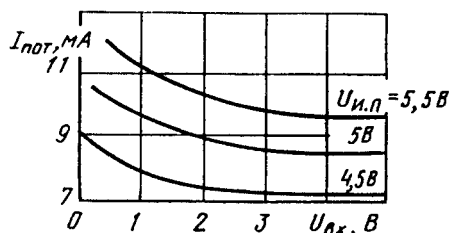


Рис. 4.54 в. Зависимость тока потребления от входной частоты при входном напряжении низкого уровня 0,4 В, предельном коэффициенте деления, равном 16, предельном коэффициенте деления ПС 13, частоте опорного сигнала 6 МГц, температуре 25°C для ИМС КР1015ХК2

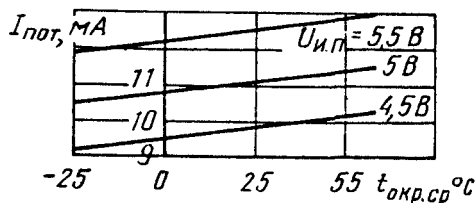


Рис. 4.54 г. Зависимость тока потребления от температуры при входном напряжении низкого уровня 0,4 В, частоте входного сигнала 6 МГц, частоте опорного генератора 6 МГц, предельном коэффициенте деления, равном 16, предельном коэффициенте деления ПС 14, напряжении питания 5,5, 5 и 4,5 для ИМС КР1015ХК2

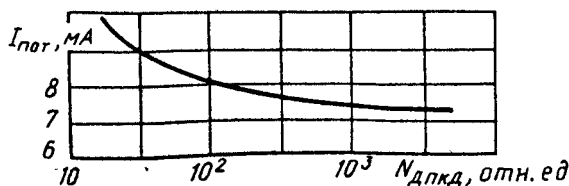


Рис. 4.54 д. Зависимость тока потребления от предельного коэффициента деления при напряжении питания 5 В, предельном коэффициенте деления ПС 127, частоте входного сигнала 6 МГц, входном напряжении низкого уровня 0,4 В, температуре $\pm 25^\circ C$, частоте опорного генератора 6 МГц для ИМС КР1015ХК2

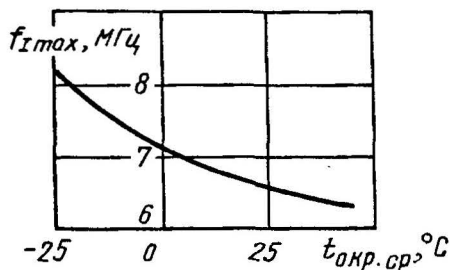


Рис. 4.54 е. Зависимость максимальной входной частоты от температуры окружающей среды при напряжении питания 5 В, входном напряжении низкого уровня 0,4 В для ИМС КР1015ХК2

Погрешность поддержания электрических режимов не должна превышать: $\pm 2\%$ для установки напряжения питания, $\pm 6\%$ для установки размаха синусоидального сигнала, $\pm 10\%$ для установки напряжения и частоты входного сигнала.

Предельные эксплуатационные параметры ИМС КР1015ХК2А,Б

Напряжение питания $U_{и.п.}$ В:

минимальное.....	4,5
максимальное.....	5,5

Размах сигнала на входе ДПКД (вывод 9) U_9 , В:

КР1015ХК2А.....	0,4...5,5
КР1015ХК2Б.....	0,8...5,5

Напряжение стока транзистора интегратора (вывод 3) U_3 , В.....

4,5...16,5

Входное напряжение, В, на выводах 6, 7, 8:

низкого уровня, U_6^0, U_7^0	
U_8^0	0...0,4
высокого уровня, U_6^1, U_7^1	
U_8^1	2,4...5,5

Выходной ток, мА, в цепи выводов, не менее:

11 $I_{вых 11}$	5
1, 12 $I_{вых 1}, I_{вых 12}$	1
16, 17 $I_{вых 16}, I_{вых 17}$	0,01
18 $I_{вых 18}$	2

Частота синхроимпульсов (вывод 7)

$f_{с.и'}$ кГц, не более.....	50
-------------------------------	----

Частота входного сигнала (на выводе

9) $f_{вх'}$ МГц:

КР1015ХК2А.....	0,05...0,4
КР1015ХК2Б.....	0,05...4,5

Глава 5

РЕКОМЕНДАЦИИ ПО ПРИМЕНЕНИЮ АНАЛОГОВЫХ ИНТЕГРАЛЬНЫХ МИКРОСХЕМ ДЛЯ БЫТОВОЙ РАДИОАППАРАТУРЫ

5.1. ОБЩИЕ ПОЛОЖЕНИЯ

Аналоговые ИМС становятся основной элементной базой современной бытовой радиоаппаратуры прежде всего благодаря своей высокой надежности и функциональной завершенности.

Изготовление десятков тысяч ИМС в едином технологическом цикле, строго контролируемые режимы и

технологические среды, минимальное использование ручного труда обеспечивают высокую надежность работы как всех кристаллов, так и элементов в каждом из них. Вакуумное напыление металлизации и термокомпрессионная сварка, используемые при изготовлении ИМС, обеспечивают более надежное (по сравнению с паяным) соединение элементов на молекулярном уровне. Отношение числа "внут-

ренних" соединений к "внешним" в современных ИМС — от 100 до 10 000. Следовательно, подавляющее число межсоединений выполняется без применения ручного труда — источника ненадежности.

Большинство ИМС различных типов имеют небольшую потребляемую мощность. При малой мощности рассеяния рабочая температура кристалла по сравнению с температурой окружающей среды повышается незначительно, что создает благоприятные условия для замедления физико-химических процессов, приводящих к отказам внутренних соединений.

Надежность радиоэлектронного блока, изготовленного с применением ИМС, оказывается существенно более высокой по сравнению с надежностью аналогичного устройства, выполненного на дискретных комплектующих изделиях.

Однако использование высоконадежных ИМС не всегда автоматически обеспечивает получение столь же надежной аппаратуры. Сохранение надежности ИМС в аппаратуре в значительной степени определяется правильностью ее применения на всех стадиях: разработки, производства и эксплуатации. Под правильностью применения ИМС подразумевается, что выполняются рекомендации по электрическим режимам и методике монтажа, отработан технологический процесс изготовления аппаратуры, используются средства защиты ИМС от статического электричества, тепловых и других воздействий.

В этой главе рассматриваются некоторые меры обеспечения высокой надежности РЭА, в которой используются аналоговые ИМС.

5.2. ДОПОЛНИТЕЛЬНЫЕ ИСПЫТАНИЯ ИМС ПРИ ИЗГОТОВЛЕНИИ РЭА

При производстве ИМС ведется 100-процентная проверка и отбраковка готовых изделий, чтобы выявить среди них имеющие как явные, так и, по возможности, скрытые дефекты.

Для этого установлены нормы и методы граничных испытаний, позволяющие определять запасы по электрическим и механическим свойствам ИМС. Отбраковочные испытания предусматривают ряд радикальных видов воздействий на ИМС, позволяющих исключить из всей продукции изделия с дефектами.

Однако выходной контроль на предприятии-изготовителе может оказаться недостаточным, и возникает необходимость проводить дополнительные испытания ИМС в технологическом процессе изготовления РЭА. Объем и продолжительность этих испытаний зависит от назначения РЭА.

Изготовители аппаратуры вводят дополнительные испытания, если интенсивность отказов ИМС при эксплуатации не удовлетворяет требованиям по надежности, предъявляемым к разрабатываемой аппаратуре. Обычно это возникает тогда, когда требования разработчиков РЭА превышают возможности изготовителей ИМС. При этом отбор компонентов потребителем становится единственным средством повышения надежности разрабатываемой аппаратуры.

Объем дополнительных испытаний определяется экономическим фактором. Изготовитель РЭА выбирает, как проще и дешевле выявить дефектную ИМС: испытанием перед установкой на печатную плату или позднее, испытывая модуль, блок либо всю систему.

По экспериментальным данным соотношение стоимости замены ИМС на входном контроле, после монтажа на печатную плату и при эксплуатации РЭА составляет 2:5:50 [3]. При массовом производстве РЭА капитальные вложения на испытательное оборудование ИМС достаточно быстро окупаются и в конечном счете приводят к резкому улучшению качества выпускаемой продукции.

В настоящее время предприятия, разрабатывающие и изготавливающие РЭА, чтобы повысить эксплуатационную надежность проводят, как прави-

ло, термотренировку, термоциклирование и электротермотренировку ИМС и ячеек с установленными элементами.

Статистика показывает [3], что от 50 до 70 % отказов ИМС (причем почти все они связаны со старением приборов во времени) приходится на те из них, которые не подвергались перегрузкам в процессе испытаний. Чтобы уменьшить число таких отказов, проводят термостарение ИМС в течение четырех суток и термоциклирование (до 10 циклов). Последний процесс позволяет выявить несогласование коэффициентов теплового расширения отдельных частей ИМС. Для нахождения скрытых дефектов достаточно провести пять термоциклов. Если же увеличить их число (особенно более 10), то может произойти "расшатывание" конструкции и отказ ИМС, или превращение надежного изделия в имеющее скрытые дефекты.

Анализ статистического материала показывает, что технологические испытания должны состоять из электротермотренировки (ускоряющей проявление скрытых дефектов), термовыдержки (для некоторых типов ИМС), контроля статических параметров в интервале температур и динамических параметров в нормальных условиях (это результирующие испытания, определяющие годность ИМС), а также проверки на герметичность.

Электротермотренировку необходимо проводить при максимальной температуре и предельных электрических режимах, разрешенных в технических условиях на конкретную ИМС. Обычно ее продолжительность 96 ч или три последовательных цикла по 96 ч каждый. Данные, полученные по результатам подобных испытаний показывают, что ИМС со скрытыми дефектами до испытаний составляли 0,3 %, после первого цикла - 0,1 %, после второго - 0,03 %, третьего - 0,007 %, что говорит о высокой эффективности "процедуры".

5.3 ВНЕШНИЕ ВОЗДЕЙСТВИЯ НА ИМС ПРИ ПРОИЗВОДСТВЕ РЭА

В технологическом процессе изготовления РЭА с применением ИМС каждая из них в процессе формовки и обрезки выводов; лужения выводов; комплектования для конкретного изделия; обрезки незадействованных выводов; установки на плату; пайки; очистки плат от флюса; настройки; покрытия лаком; проверки на функционирование и контроля параметров подвергается различным факторам внешнего воздействия (механическим, температурным, химическим, электрическим).

Механические усилия прикладываются к ИМС во время комплектации, формовки и обрезки выводов, установки и приклеивания к печатной плате. Усилия, воздействующие на выводы и их изоляцию, могут нарушить герметичность корпуса. Температурные воздействия связаны с лужением, пайкой, демонтажом. При этих операциях тепло проходит через выводы к кристаллу или подложке и вызывает нагрев элементов конструкции ИМС. Химические воздействия оказывают влияние на материал покрытия корпуса и маркировку ИМС при флюсовании, очистке печатных плат от остатков флюса, влагозащита и демонтаже. И, наконец, электрические воздействия связаны с разрядами статического электричества через ИМС. Эти воздействия имеют место при всех технологических операциях, если не принять мер по уменьшению зарядов статического электричества в производственных помещениях. В процессе сборки изделия ИМС многократно, хотя и в разной степени, подвергаются воздействиям разных внешних факторов среды. Наиболее опасный из них - воздействие оператора, так как оно в большей степени зависит от его индивидуальной подготовки и наиболее трудно контролируется. Поэтому профессиональной подготовке оператора, монтажника и регулировщика должно

Таблица 5.1

Объект воздействия	Технологическая операция	Воздействующий фактор	Возможные нарушения и отказы
Выводы	Рихтовка, формовка и обрезка	Растягивающее усилие. Прижатие вывода	Растрескивание изолятора, вызывающее нарушение герметичности корпуса; деформация выводов (пережатие, скручивание, излом)
Изолятор, основание корпуса, гибкие соединения, кристалл или подложка	Установка и приклейка ИМС на плату, демонтаж	Статическое усилие прижатия корпуса к плате	Растрескивание изолятора, вызывающее нарушение герметичности. Деформация дна корпуса, вызывающая растрескивание и отрыв гибких проводников. Разрушение корпуса
Покрытие выводов	Входной контроль, рихтовка, формовка и обрезка	Усилие прижатия вывода	Вмятины и царапины на выводах, приводящие к коррозии
Изолятор выводов, кристалл, подложка, активные элементы и гибкие выводы	Лужение, пайка, демонтаж, сушка	Перегрев выводов от припоя	Растрескивание изолятора, вызывающее нарушение герметичности. Отслаивание подложки или кристалла (в случае их приклейки) от монтажной зоны корпуса, приводящее к обрыву гибких выводов
		Повышенная температура	Термодеформация защитных покрытий кристаллов, приводящая к обрыву гибких выводов
Покрытие, маркировка	Флюсование, очистка, влагозащита, демонтаж	Химическая активность	Коррозия покрытия или основного материала выводов и корпуса, нарушение целостности (растворение) маркировочных обозначений и лакокрасочных покрытий
Пассивные и активные элементы ИМС, металлизация, <i>p-n</i> переходы, защитный оксид	Все технологические операции	Электрический заряд (количество воздействий, емкость и сопротивление в цепи разряда, разность потенциалов)	Пробой оксида, деградация параметров ИМС из-за пробоя в полупроводниковой структуре

быть уделено самое тщательное внимание.

Основные виды возможных отказов ИМС при различных воздействиях приведены в табл. 5.1.

5.4. ФОРМОВКА И ОБРЕЗКА ВЫВОДОВ ИМС

Корпус ИМС должен обеспечивать сохранение внутри него относительно сухой атмосферы в течение всего срока службы микросхемы. Поэтому любые внешние воздействия не должны нарушать герметичность корпуса.

Любая поверхность веществ при нормальных условиях покрыта тонкой пленкой влаги толщиной от 0,01 до 0,001 мкм. Из-за малых размеров молекулы ($2,7 \cdot 10^{-10}$ м) и малой вязкости воды влага способна проникать даже в молекулярные промежутки сложных неорганических соединений. При этом происходят механическое разрушение материалов, изменение электрических свойств поверхностей, коррозия металлов и их сплавов. Чтобы избежать этого, герметизацию корпусов ИМС обычно проводят в атмосфере сухого азота, где содержание воды не превышает 10^{-5} .

Металлы, стекло и керамика, используемые для изготовления корпусов ИМС, практически газо- и влагонепроницаемы. Большинство пластмасс в той или иной степени гигроскопично. Чтобы сохранить сухую инертную атмосферу внутри корпуса, его швы между разнородными материалами должны быть максимально герметичными. Согласно принятым нормам через спай с хорошей герметичностью при разности давления 10^5 Па в течение 30 лет натекает не более 1 см^3 газообразного гелия (практически это означает абсолютную воздухонепроницаемость).

Металлы между собой соединяют пайкой мягкими или твердыми припоями, горячей или холодной сваркой или их комбинациями. Спаи стекла со стеклом или керамикой

осуществляют либо плавлением их при высоких температурах, либо склеиванием более легкоплавким стеклом. Герметизация металло-стеклянных спаев, с помощью которых от корпуса ИМС электрически изолируют выводы, представляет сложную техническую задачу. Это связано с тем, что большинство обычных стекол имеет низкие температурные коэффициенты линейного расширения (ТКР) и теплопроводности, тогда как в своем большинстве металлы хорошо проводят тепло и имеют большие коэффициенты линейного расширения. Различие в скоростях нагрева и остывания стеклянных и металлических частей спаев и несоответствие коэффициентов линейного расширения приводит к механическим напряжениям и повреждению спаев. Применительно к условиям эксплуатации ИМС стекло и металл считаются совместимыми, если разность их ТКР не превышает $4 \cdot 10^{-7} \text{ } 1/^{\circ}\text{C}$.

Существенная особенность большинства типов корпусов ИМС заключается в том, что некоторая часть длины вывода находится под напылом стекла (или керамики). При формовке выводов повреждать его нельзя.

К корпусу ИМС предъявляются противоречивые требования. Так, корпус должен обладать достаточной механической прочностью, что бы выдерживать нагрузки, возникающие при производстве аппаратуры и ее эксплуатации, и в то же время должен иметь минимальные размеры, причем его форма должна способствовать получению наибольшего выигрыша по плотности монтажа РЭА. С этим противоречием необходимо считаться, обеспечивая комплекс технических мероприятий, направленных на сохранение надежности ИМС при конструировании и производстве аппаратуры.

При выполнении технологических операций по подготовке ИМС к монтажу на печатную плату (рихтовка,

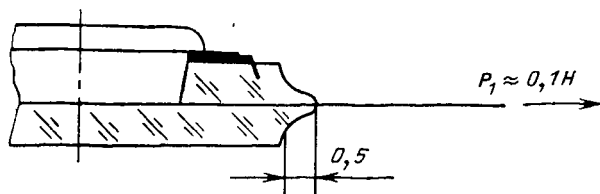


Рис. 5.1. Направление растягивающего усилия при формовке и обрезке выводов

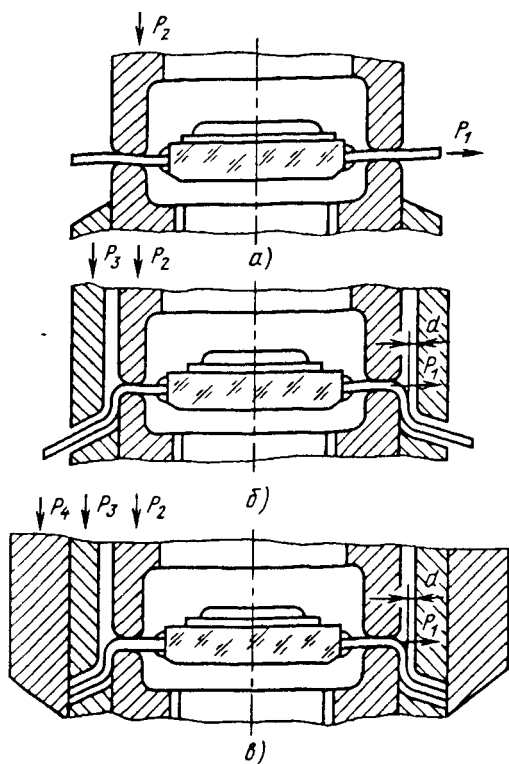


Рис. 5.2. Формовка и обрезка выводов микросхем

формовка и обрезка выводов) выводы подвергают растяжению, изгибу и сжатию. При этом растягивающее усилие P_1 приложено к наиболее чувствительной к механическим воздействиям зоне корпуса — гермовводу (рис. 5.1). Если растягивающее усилие будет чрезмерным, в месте заделки выводов в корпус могут возникнуть трещины по стеклу или керамике тела корпуса, приводящие к немедленной или, что еще хуже, постепенной разгерметизации корпуса.

Рис. 5.3. Правильная и неправильная форма выводов планарного корпуса

Конструкция штампа для формовки и обрезки выводов (рис. 5.2) должна обеспечивать создание независимых и последовательных усилий прижатия P_2 , формовки P_3 и обрезки P_4 . Эти усилия подбирают таким образом, чтобы обеспечить целостность гальванического покрытия выводов, приложить минимальное растягивающее усилие вдоль оси вывода и получить заданную конфигурацию формовки. При формовке и обрезке выводов допускаются следы (отпечатки) от инструментов на них, не приводящие к нарушению гальванического покрытия.

Штамп должен обеспечивать жесткое крепление каждого вывода и вне зоны наплыва стекла или керамики. Участок вывода на расстоянии 1 мм от тела корпуса не должен подвергаться изгибающим и крутящим деформациям. При формовке должны быть соблюдены допустимые

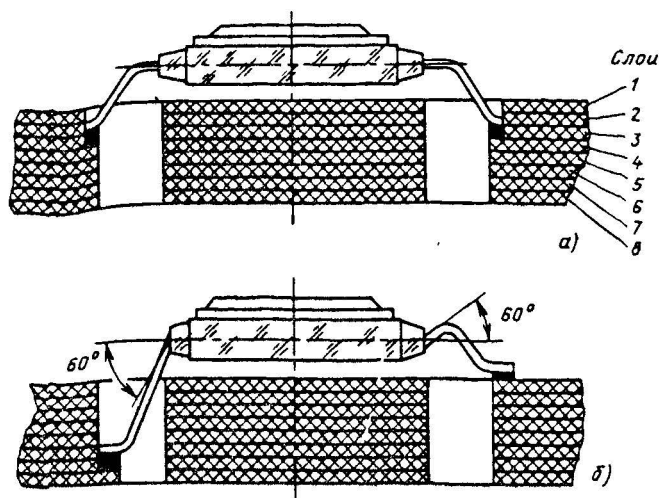


Рис. 5.4. Правильная и неправильная установка планарных корпусов на многослойную печатную плату с открытыми контактными площадками

радиусы изгиба. Если выводы прямоугольного поперечного сечения, то радиус изгиба — не менее двух толщин вывода, если круглого — не менее двух диаметров. Обрезать незадействованные внутри корпуса выводы ИМС или выводы, которые не используются в данном включении и не влияют на работоспособность устройства, можно на расстоянии 1 мм от тела корпуса, однако следует учесть, что по выводам от ИМС (особенно малого размера) отводится значительная часть тепла.

В типично неправильной конструкции технологического приспособления формовки выводов корпусов типа 4 (рис. 5.3) не оставлен зазор (не менее 0,5 мм от тела корпуса), необходимый для сохранения в целостности керамики. Штамп такой конструкции может нарушать герметичность корпуса ИМС.

На рис. 5.4 показано происхождение типовой ошибки при монтаже. Предположим, что формовка выводов ИМС, предназначенных для установки на многослойную печатную плату с открытыми контактными площадками, произведена под второй-третий слой (рис. 5.4 а). Фактически ИМС

распаивается на контактные площадки других слоев. При монтаже выводы подогнуты вручную у самого гермоввода (угол загиба в вертикальной плоскости может достигать $\pm 60^\circ$). Подрихтовка выводов, проведенная без жесткого закрепления зоны вывода на участке длиной 1 мм от тела корпуса (т. е. без применения технологического приспособления), может привести к нарушению герметичности вывода у корпуса. При таком способе установки потеря герметичности ИМС может произойти во время последующих механических воздействий при эксплуатации аппаратуры, так как деформированные выводы находятся в напряженном состоянии (см. рис. 5.4 б).

5.5. ЛУЖЕНИЕ И ПАЙКА ВЫВОДОВ ИМС

Режимы операций лужения и пайки выводов ИМС (температура расплавленного припоя с выводами, площадь зоны контакта вывода с припоем) обычно выбирают с учетом характеристик теплопередачи конкретных типов корпусов ИМС. В противном случае тепловые удары

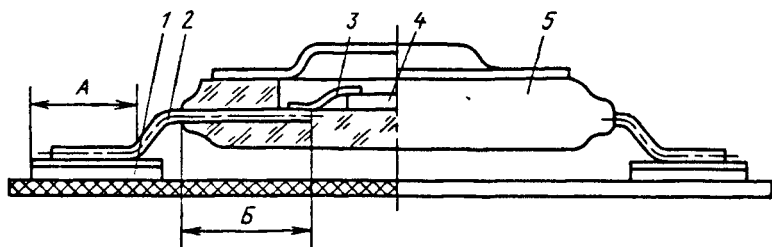


Рис. 5.5. Схема теплообмена между внешними выводами и кристаллом при лужении и пайке микросхем

могут привести к необратимому разрушению ИМС.

На рис. 5.5 схематично показаны отдельные элементы конструкции ИМС, которые подвергаются тепловому воздействию и участвуют в передаче тепла. При контакте с расплавленным припоем 1 вдоль вывода создается перепад температуры, вызывающий передачу тепла. Теплообмен осуществляется от зоны пайки (зона А) через металлический вывод 2 к керамической основе тела корпуса 5 и далее к кристаллу 4. Тепловой поток передается к кристаллу также от внутренней части вывода (зона Б) через внутренний соединительный проводник 3. Скорость передачи тепла зависит от разности температур, теплопроводности материала и конфигурации элементов конструкции ИМС.

При производстве РЭА с использованием микросхем широко используются лужение выводов ИМС способом "окунания в расплавленный припой" и пайки методом "волны".

Учитывая допустимые температуры нагрева элементов конструкции корпусов ИМС, определены следующие условия лужения с помощью погружения в расплавленный припой.

Предельная температура, °С.....	250±5
Предельное время нахождения выводов в расплавленном припое, с.....	2,0
Минимальное расстояние от тела корпуса до границы припоя по длине вывода, мм.....	1,3
Предельно допустимое число погружений одних и тех же выводов в припой.....	2

Минимальный интервал времени между двумя погружениями одних и тех же выводов в припой, мин.....5

При лужении нельзя касаться припоем гермовыводов. Припой не должен также попадать на стеклянные и керамические части корпуса. Граница растекания припоя по выводам должна быть не ближе, чем на расстоянии 1 мм от тела корпуса ИМС, при этом допускается некоторая неравномерность лужения по длине выводов. Необходимо исключить образование перемычки между выводами, поверхность припоя на выводах должна быть сплошной, без трещин, пор, необлуженных участков.

Паяные соединения должны иметь светлую или светло-серую поверхность, без темных пятен и посторонних включений. Через припой должны проявляться контуры входящих в соединение выводов элементов.

Примеры лужения и пайки выводов планарного корпуса приведены на рис. 5.6 а — г.

При пайке ИМС в корпусе с планарными выводами допускаются заливная форма пайки, при которой контуры отдельных выводов полностью скрыты под припоем со стороны пайки соединения (рис. 5.6 д, е), неполное покрытие припоем поверхности контактной площадки по периметру пайки, но не более чем в двух местах, не превышающих 15 % общей площади (рис. 5.6 ж), наплывы припоя конусообразной (рис. 5.6 з) и скругленной (рис. 5.6 и) формы в месте отрыва паяльника, небольшое

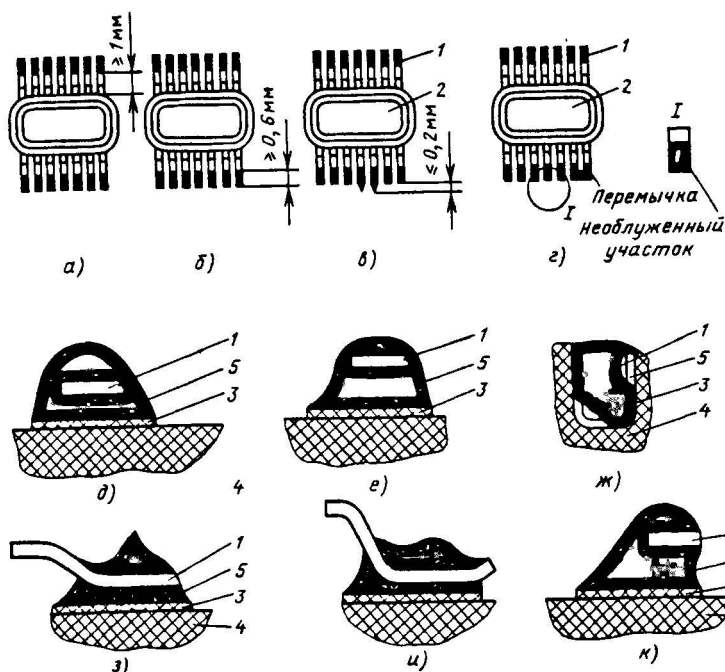


Рис. 5.6. Примеры лужения и пайки выводов планарного корпуса

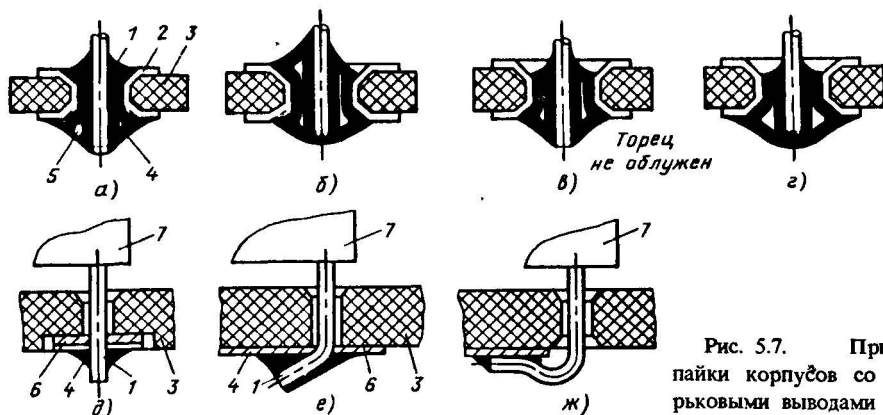


Рис. 5.7. Примеры пайки корпусов со штырьковыми выводами

смещение вывода в пределах контактной площади (рис. 5.6 к), растекание припоя (рис. 5.6 а) (только в пределах длины выводов, пригодной для монтажа).

Форма соединения при запайке выводов ИМС в металлизированные отверстия должна соответствовать эскизам, приведенным на рис. 5.7 а-г. Припой со стороны корпусов не дол-

жен растекаться за пределы контактных площадок. Конец вывода может быть нелуженым. Монтажные металлизированные отверстия должны быть заполнены припоем на высоту не менее 2/3 толщины платы. Исправление дефектных соединений со стороны установки ИМС на плату нежелательно.

Формы паяного соединения при

Таблица 5.

Параметр	Пайка ИМС с планарными выводами		Пайка ИМС со штырьковыми выводами	
	одножальным паяльником	групповым способом	одножальным паяльником	групповым способом
Максимальная температура стержня паяльника, °С	265	—	280	—
Максимальное время касания каждого вывода, с	3	—	3	—
Минимальный интервал времени между пайками соседних выводов, с	3	—	3	—
Максимальная температура расплавленного припоя, °С	—	265	—	265
Максимальное время соприкосновения каждого вывода с припоем, с	—	2	—	3
Максимальное расстояние от тела корпуса до границы припоя по длине вывода, мм	1	1	1	1
Минимальный интервал времени между двумя повторными пайками одних и тех же выводов, мин	5	5	5	5

пайке выводов ИМС на контактные площадки печатных плат с неметаллизированными отверстиями приведены на рис. 5.7 д-ж. Растекание припоя по выводам ИМС не должно уменьшать минимального расстояния от корпуса до места пайки, т. е. быть в пределах зоны, пригодной для монтажа и оговоренной в технической документации. На торцах выводов допускается отсутствие припоя.

Оборудование и оснастка, применяемые при пайке, должны обеспечивать автоматическое поддержание и контроль температуры расплавленного припоя с погрешностью $\pm 5^\circ\text{C}$ при выполнении операции "волной припоя", поддержание и периодический контроль (через 1-2 ч) температуры жала паяльника с погрешностью $\pm 5^\circ\text{C}$ при индивидуальном способе выполнения операции пайки ИМС, контроль времени, контактирования выводов ИМС с жалом паяльника или с расплавленным припоем при групповых методах пайки, а также контроль расстояния от тела корпуса до границы припоя по длине выводов. Жало паяльника должно быть заземлено (переходное сопротивление

заземления не более 5 Ом). табл. 5.2 приведены рекомендуемые режимы пайки ИМС одножальным и групповым способами.

5.6. ОСОБЕННОСТИ УСТАНОВКИ ИМС НА ПЕЧАТНУЮ ПЛАТУ

При установке ИМС на печатную плату должны быть приняты все меры предосторожности, чтобы защитить ее корпус от недопустимых деформаций. С одной стороны должна быть обеспечена механическая прочность, гарантирующая устойчивость к механическим нагрузкам, возможным при эксплуатации изделия, с другой — определенная "гибкость" крепления, чтобы деформация печатной платы не привела к заметным механическим нагрузкам на корпус ИМС. Например, "жесткое" крепление ИМС на печатную плату, имеющую стрелу всего в несколько десятых миллиметра может вызвать растрескивание герметизирующих швов корпуса, либо деформацию дна (толщина которого 0,1...0,2 мм) и отрыв от него подложки или кристалла.

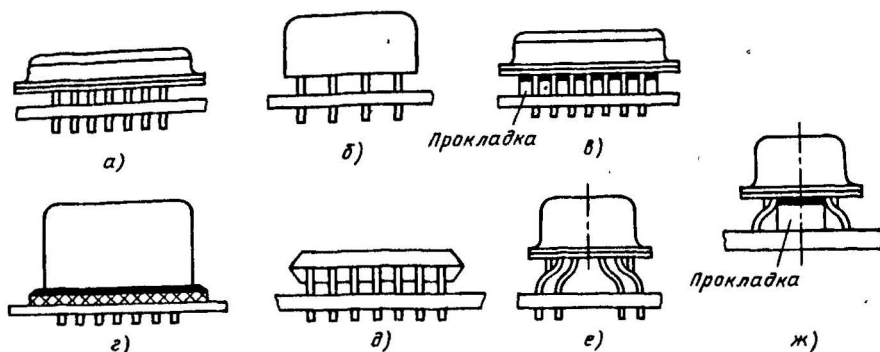


Рис. 5.8. Варианты установки различных корпусов на печатную плату с металлизированными отверстиями

В большинстве случаев применения ИМС механическая устойчивость обеспечивается лишь распайкой всех выводов на контактные площадки. Необходимость и способы дополнительного крепления ИМС на плате определяются жесткостью условий эксплуатации аппаратуры, а также массой и габаритами корпуса ИМС.

Конструкция платы и компоновка элементов на ней должна обеспечивать эффективный отвод тепла за счет конвекции воздуха или с помощью теплоотводов. Конвекцию обеспечивают установкой корпусов с максимально допустимыми зазорами между плоскостью платы и дном корпуса. Размещение корпусов на печатной плате должно обеспечить возможность покрытия влагозащитным лаком без попадания его на места, не подлежащие покрытию, и свободный доступ к любой ИМС для ее монтажа. С учетом требований обеспечения целостности корпуса и отвода тепла можно предложить следующие рекомендации по установке на печатную плату различных типов ИМС.

1. ИМС со штырьковыми выводами (корпуса 151.15 - 4 и 151.15 - 6) целесообразно устанавливать непосредственно на металлизированные отверстия с высотой над платой $1^{+0,5}$ мм. Выводы ИМС формовать не следует. Дополнительные крепления не требуются.

2. Более крупные ИМС со штырьковыми выводами (корпуса 151.15 - 2, 151.15 - 3 и "Акация") требуют дополнительного крепления. Их приклеивают на изоляционные прокладки, например, из материала ДСВ-2-Р-2М или АГ-4. Прокладки необходимо жестко закрепить на печатной плате, например, мастикой ЛН. Размеры изоляционных прокладок должны быть максимально приближены к размерам основания ИМС с сохранением целостности гермовыводов (рис. 5.8 в, г).

3. ИМС в пластмассовых корпусах с прямоугольными выводами (корпуса 201.14 - 3, 201.16 - 6) устанавливают на печатные платы с односторонним или двухсторонним расположением печатных проводников в металлизированные отверстия с зазором, который обеспечивается конструкцией выводов (рис. 5.8 д).

4. ИМС в круглых корпусах (корпуса 301.8 - 1, 301.12 - 1) устанавливают с отформованными выводами с зазором от печатной платы $3^{+0,5}$ мм (рис. 5.8 е). Если аппаратура подвергается повышенным механическим воздействиям при эксплуатации, то под ИМС необходимо устанавливать прокладку из электроизоляционного материала (рис. 5.8 ж). Прокладка должна быть приклеена к плате и основанию ИМС. В простейшем случае ИМС в круглых корпусах можно устанавливать непосредственно на ме-

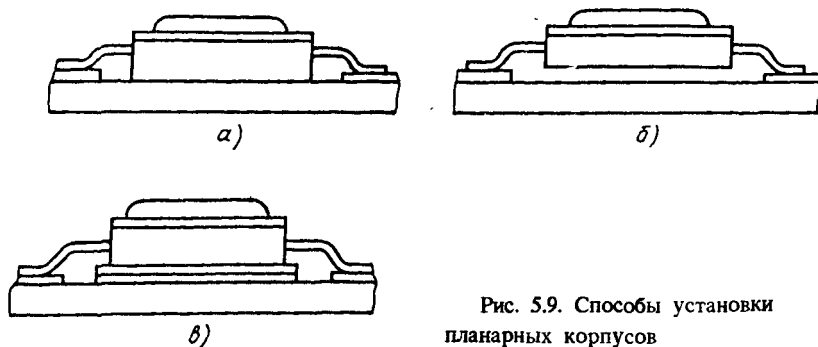


Рис. 5.9. Способы установки планарных корпусов

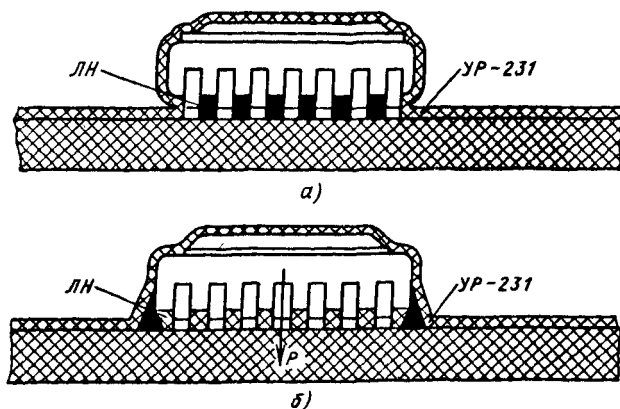


Рис. 5.10. Правильная и неправильная установка планарного корпуса на печатную плату

таллизируемые отверстия без формовки выводов с зазором от поверхности платы $1^{+0,5}$ мм.

5. ИМС с планарными корпусами и отформованными выводами (корпуса 401.14-3, 4118.24-1) можно устанавливать на платы с односторонним или двусторонним расположением проводников следующим способом: вплотную на печатную плату (рис. 5.9 а), с зазором 0,3 мм (рис. 5.9 б) или вплотную на прокладку (рис. 5.9 в). Последующее обволакивание лаком обеспечивает дополнительное крепление ИМС. При установке ИМС в планарных корпусах допускается смещение свободных концов в горизонтальной плоскости в пределах $\pm 0,2$ мм для их совмещения с контактными площадками. В вертикальной плоскости свободные

концы выводов можно перемещать в пределах $\pm 0,4$ мм от положения выводов после формовки.

6. Приклеивать ИМС к печатным платам рекомендуется клеями ВК-9 (ШИО.026.400 ТУ), АК-20 (ТУ6-10-1293-72) или мастикой ЛН (ТУ МКЛ.3052-55). Оптимальная температура сушки $65 \pm 5^\circ\text{C}$.

При приклеивании ИМС к печатной плате усилие прижатия не должно превышать 0,08 мкПа. Не допускается приклеивать ИМС клеем или мастикой, нанесенными отдельными точками на ее основание или торцы корпуса.

7. Недопустимо попадание влагозащитного лака УР-231 в зазор между корпусом ИМС и платой (рис. 5.10), так как при полимеризации он спо-

пуска, отклеивание кристалла или обрыв внутренних соединений ИМС.

8. Во всех случаях при установке ИМС на печатную плату нельзя прикладывать усилия, приводящие к их деформации.

5.7. СПОСОБЫ ЗАЩИТЫ ИМС ОТ ЭЛЕКТРИЧЕСКИХ ВОЗДЕЙСТВИЙ

По мере совершенствования технологии изготовления ИМС увеличивается плотность компоновки элементов на поверхности пластины, что улучшает электрические и функциональные характеристики ИМС, но одновременно вызывает снижение допустимых электрических нагрузок и увеличивает чувствительность микросхем к разрядам статического электричества.

Анализ отказов ИМС, вышедших из строя в процессе производства и испытаний, показывает, что причиной 40...50 % из них являются электрические перегрузки. Для таких ИМС характерны оплавление, разбрызгивание алюминия и образование короткозамкнутых соседних участков металлизаций. Разрывы чаще всего случаются в наиболее слабых местах токоведущих дорожек, имеющих уменьшение площади поперечного сечения.

Причинами электрических перегрузок являются воздействие на ИМС разрядов статического электричества, возникающих при выполнении различных технологических операций, или значительные сетевые наводки (из-за плохого заземления корпусов приборов и технологического инструмента). Появление статических зарядов обусловлено несколькими механизмами генерации и значение этих зарядов зависит от многих факторов.

Статические потенциалы ($U_{ст}$) на поверхности диэлектриков независимо от механизма их генерации всегда оказываются пропорциональными удельным поверхностным сопротивлениям материалов (ρ_s). В этом легко убедиться, анализируя эксперимен-

тальные данные о статических потенциалах, возникающих на поверхности некоторых материалов при относительной влажности 50 % (табл. 5.3).

На рис. 5.11 представлена зависимость статических потенциалов лавсана и хлопчатобумажной ткани, широко используемых для спецодежды производственного персонала, от относительной влажности воздуха. Анализ данных графиков позволяет сделать выводы, что статические потенциалы при низкой относительной влажности воздуха (40...50 %) достигают 3...10 кВ, статический потенциал лавсана выше, чем хлопчатобумажной ткани, и сильно зависит от относительной влажности воздуха (при влажности 65 % потенциал хлопчатобумажной ткани равен нулю, лавсана — превышает 3 кВ).

При разработке способов защиты ИМС от воздействия разрядов статического электричества необходимо учитывать и способность изоляционных материалов сохранять в течение определенного времени накопленные на их поверхности заряды. За время

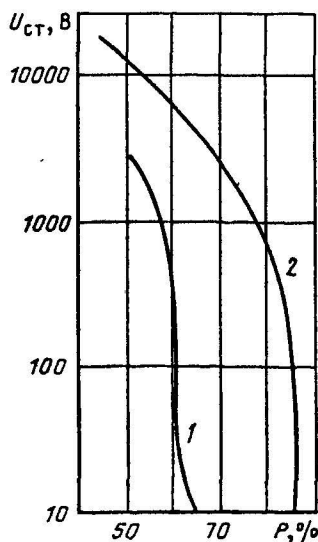


Рис. 5.11. Зависимость статического потенциала от относительной влажности воздуха для хлопчатобумажной ткани и ткани из лавсана

удержания заряда (τ_y) принято время, в течение которого накопленный статический потенциал уменьшается в 2...3 раза.

В табл. 5.4 приведены экспериментальные данные об удержании заряда при относительной влажности воздуха 65 %. Время удержания зарядов на поверхности синтетического линолеума измерялось при меньшей влажности - 60 %.

Из экспериментальной зависимости, показанной на рис. 5.12, можно сделать вывод, что при увеличении влажности от 40 до 83 % удельное поверхностное сопротивление поливинилхлорида уменьшается на пять порядков.

При организации производства аппаратуры с применением ИМС необходимо помнить, что на руках операторов при выполнении различных технологических операций создаются значительные статические потенциалы - от сотен до нескольких тысяч

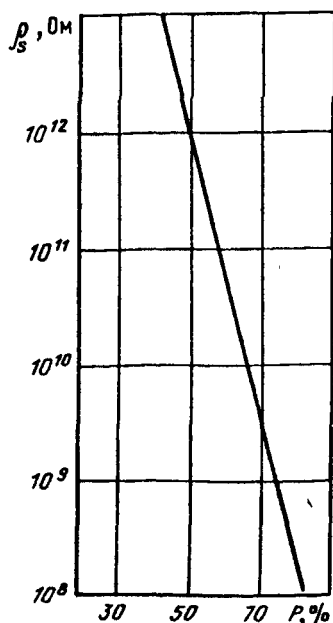


Рис. 5.12. Зависимость удельного поверхностного сопротивления поливинилхлорида от относительной влажности воздуха

Таблица 5.3

Материал	$U_{ст}$, кВ	ρ_s , МОм
Винипласт	1,3...2,8	$1,0 \cdot 10^8$
Дерево	0,7	$1,4 \cdot 10^7$
Стекло	0,6...0,8	$9,6 \cdot 10^6$
Гетинакс	0,45	$4,3 \cdot 10^6$

Таблица 5.4

Материал	τ_y , с	ρ_s , Ом
Бумага	25	$(3,3...9,8) \cdot 10^{11}$
Лакированное дерево	1200	$1,4 \cdot 10^3$
Полихлорвинилхлорид	7800	$1,0 \cdot 10^{14}$
Органическое стекло	9000	$2,2 \cdot 10^{15}$
Синтетический линолеум	12 000	$4,0 \cdot 10^{14}$

вольт. Значение и полярность этих потенциалов зависит от множества факторов, в числе которых относительная влажность воздуха в помещении, материалы одежды, покрытия стола, стула, технологического и испытательного оборудования, степень изоляции оператора от "земли" (материал обуви и пола) (рис. 5.13).

Анализ данных рис. 5.13 показывает, что при работе в обуви на резиновой подошве (кривые 2) статический потенциал на руке операторов в 2...2,5 раза выше, чем при работе в кожаной обуви (кривые 1). Это связано с тем, что сопротивление утечки обуви на резиновой и кожаной подошве различаются почти на два порядка (сопротивление утечки обуви на резиновой подошве равно $1,8 \cdot 10^8 \dots 2,8 \cdot 10^9$ Ом, на кожаной - $5,6 \cdot 10^6 \dots 1,9 \cdot 10^7$ Ом). Существенно и то, что большие значения статических потенциалов на руке оператора соответствуют случаю использования на рабочем месте диэлектриков с повышенным удельным поверхностным сопротивлением.

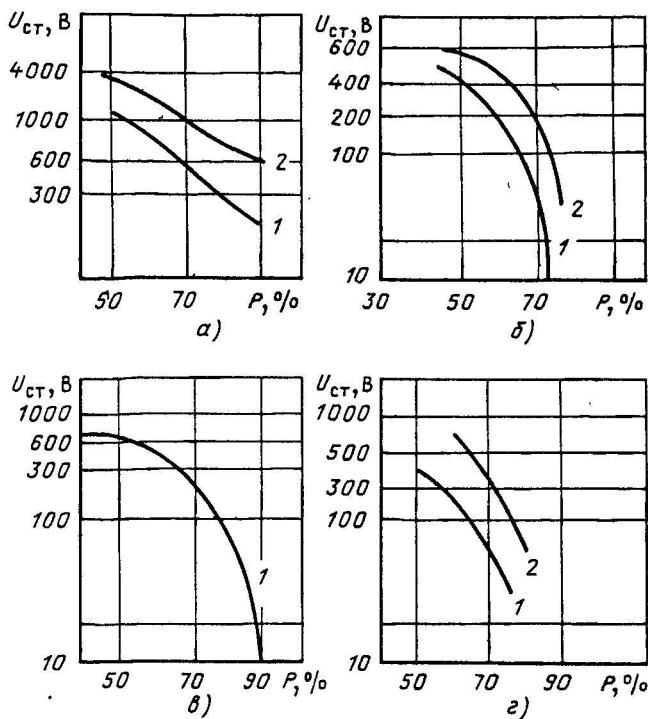


Рис. 5.13. Зависимость статического потенциала, возникающего на руке оператора при трении о различные материалы, от относительной влажности воздуха при поливинилхлоридной поверхности (а), деревянной, покрытой лаком (б), текстолитовой (в), покрытой стеклом (г). Обувь оператора на кожаной 1 и резиновой 2 подошве

Когда оператор ходит по полу, покрытому синтетическим линолеумом, на нем также накапливаются заряды (с. 5.14). Борьба с зарядами статического электричества в производственном процессе должна идти по двум направлениям: во-первых, необходимо уменьшать возможности для генерации зарядов статического электричества и, во-вторых, обеспечивать отвод накопленных зарядов с производственного и технологического оборудования и операторов.

При организации участков производства аппаратуры, в которой используются ИМС, не рекомендуется изменять отделочные материалы с низким удельным поверхностным сопротивлением. Использование для отделки поверхностей производственной мебели, полов, испытательного и технологического оборудования мате-

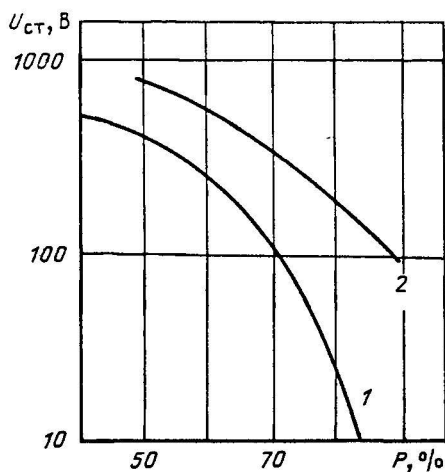


Рис. 5.14. Зависимость статического потенциала на операторе при различной относительной влажности и изоляции от пола. Обувь оператора на кожаной (1) и резиновой (2) подошве

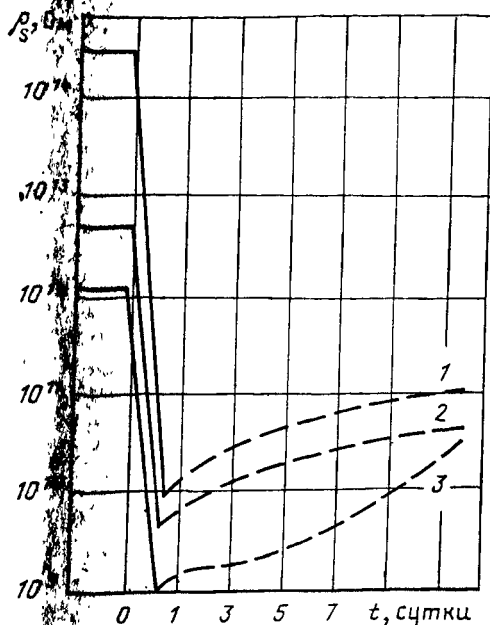


Рис. 5.15. Зависимость удельного поверхностного сопротивления различных материалов от времени до и после обработки их антистатиком

риалов с малым ρ_s — не более $(1..5) \cdot 10^9$ Ом — обеспечивает необходимые условия для быстрого стекания зарядов статического электричества. Для покрытия поверхностей может быть рекомендован специальный антистатический линолеум. Сравнительные электрические параметры — удельное поверхностное (ρ_s) и объемное (ρ_v) сопротивление и время удержания заряда (τ_y) — обычного и антистатического линолеума приведены в табл. 5.5.

Применение антистатического линолеума исключает возможность накопления статических зарядов на операторе: контакт руки оператора до выполнения очередной технологической операции с поверхностью, покрытой антистатическим линолеумом, обеспечивает стекание заряда за 1 с. Синтетическое покрытие 11.2.9—С.5 обладает еще лучшими антистатическими свойствами. Удельное поверхностное сопротивление материала

Таблица 5.5

Параметр	Обычный линолеум	Антистатический линолеум
Удельное поверхностное сопротивление ρ_s , Ом	$4,0 \cdot 10^{14}$	$5,0 \cdot 10^9$
Объемное сопротивление ρ_v , Ом·см	$5,9 \cdot 10^{17}$	$2,4 \cdot 10^9$
Время удержания заряда τ_y	12 000	0,5

равно 10^6 Ом. Применение такого материала обеспечивает полное снятие статических зарядов, так как время стекания зарядов с человека составит всего $2 \cdot 10^{-4}$ с.

В качестве одного из методов снижения удельного поверхностного сопротивления покрытий рекомендуется применять поверхностно-активные вещества, например, антистатическую пасту "Чародейка" (ТУ 6.15.604—71), которую наносят тонким слоем на рабочие диэлектрические поверхности столов, испытательного и технологического оборудования и приспособлений, тары для хранения ИМС и сборочных единиц и используют для протирки полов и при стирке хлопчатобумажных чехлов для производственной мебели. Антистатические свойства пасты во времени характеризуются экспериментальными данными (рис. 5.15). Сплошной линией на рисунке показаны зависимость до обработки материалов пастой "Чародейка", штриховой — после.

Возрастание поверхностного сопротивления обработанной поверхности во времени объясняется естественным высыханием и старением пасты, а также стиранием ее при работе. Сопротивление возрастает на порядок за 10...15 дней, поэтому периодичность нанесения пасты должна определяться из конкретных условий производства. Как в случае применения антистатического линолеума, так и поверхностно-активных веществ для стекания зарядов необходимо обеспе-

чить хороший электрический контакт одной-двух точек обработанной поверхности (площадь контакта не менее 1 см^2) с "землей".

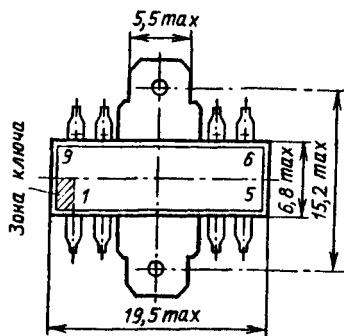
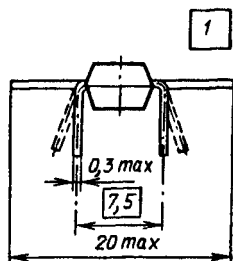
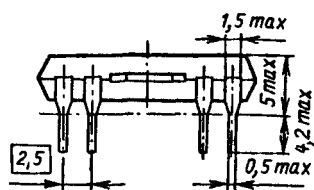
Чтобы снизить поверхностное сопротивление покрытий на рабочем месте операторов, рекомендуется обеспечивать максимально возможную относительную влажность в производственных помещениях (удовлетворительный результат может быть достигнут при влажности 65...70 %).

Для изготовления межоперационной тары рекомендуется использовать материалы с поверхностным сопротивлением $10^6 \dots 10^8 \text{ Ом}$. Материал тары может быть покрыт токопроводящей алюминиевой краской. Слой ее не препятствует стеканию зарядов, так как имеет невысокое ρ_s .

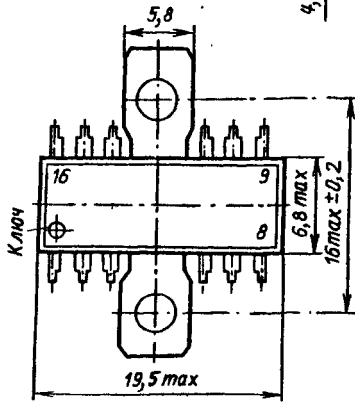
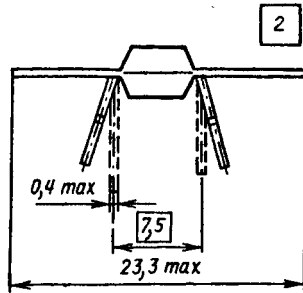
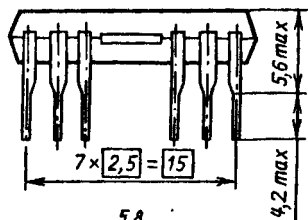
Должен быть обеспечен непрерывный контакт оператора с "землей" с помощью специального антистатического браслета, соединенного через высоковольтный резистор (например,

типа КЛВ на 10 кВ). Однако надо учесть, что применение антистатического браслета эффективно лишь в том случае, если рабочее место, тара и приспособления выполнены с применением материалов с малым поверхностным сопротивлением, исключаящим накопление на них зарядов статического электричества (с учетом отвода заряда с помощью заземления). В противном случае вероятность повреждения ИМС велика. Действительно, заряды статического электричества, накопленные на высокоомной поверхности, например, на межоперационной таре, могут создать потенциал до нескольких тысяч вольт как на самой таре, так и на находящейся в ней ИМС. В момент контакта оператора с ИМС при наличии цепи прохождения тока ИМС - оператор - "земля" импульс разрядного тока может вызвать отказ микросхемы.

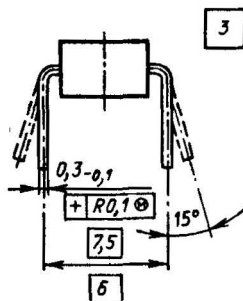
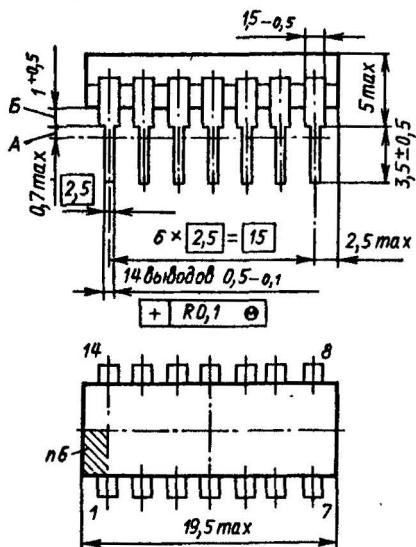
Приложение 1. Конструкции и чертежи корпусов аналогов интегральных микросхем для бытовой радиоаппаратуры



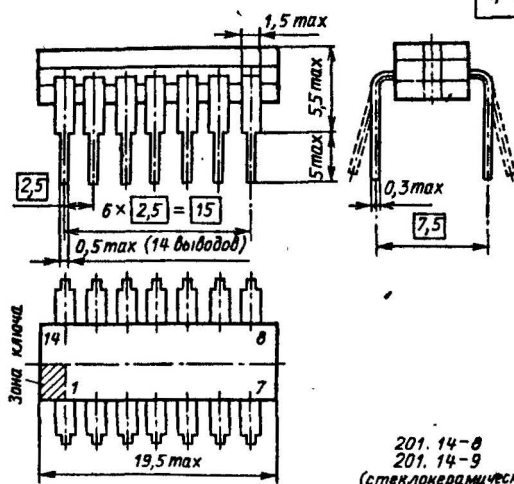
201.9-1
(полимерный)



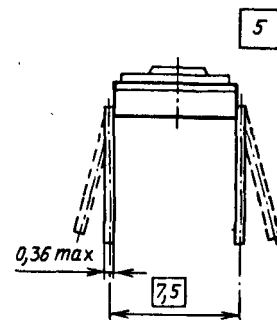
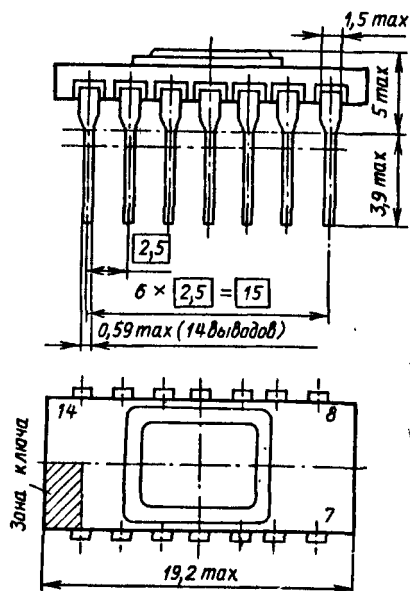
201.12-1
(полимерный)



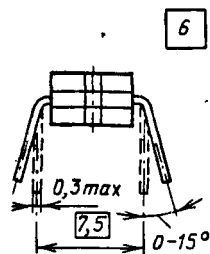
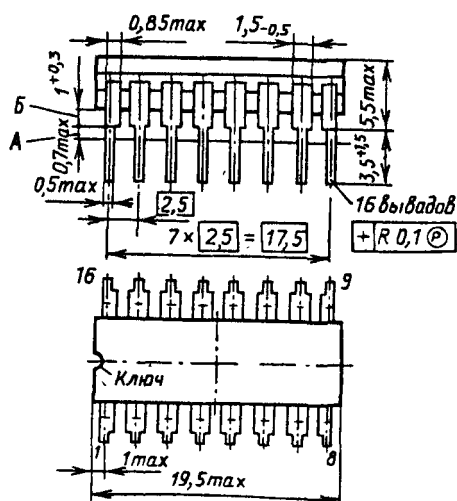
201. 14-1
201. 14-12
(полимерный)



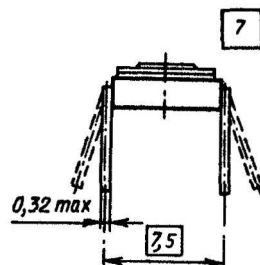
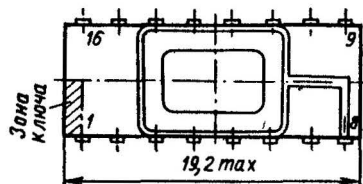
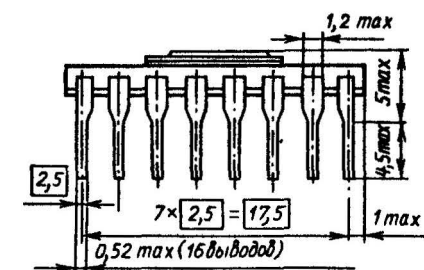
201. 14-8
201. 14-9
(стеклокерамический)



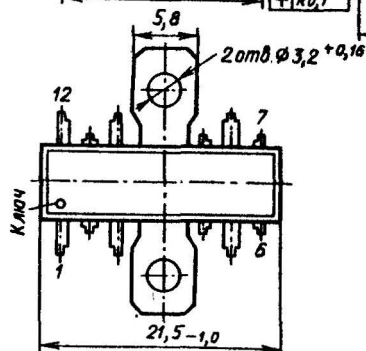
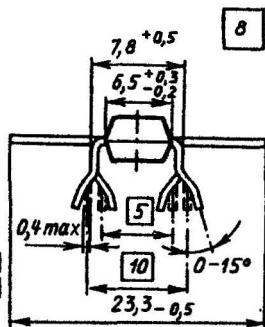
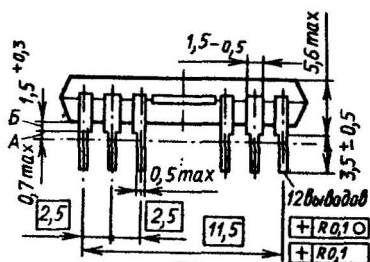
201.14-10
(металлокерамический)



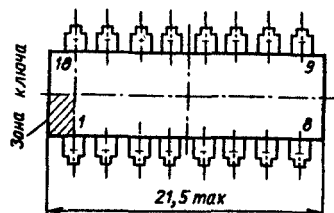
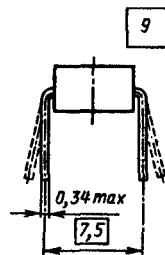
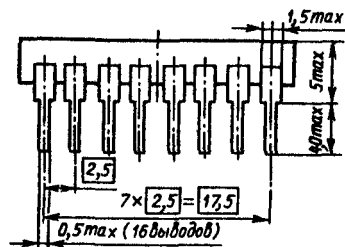
201.16-6



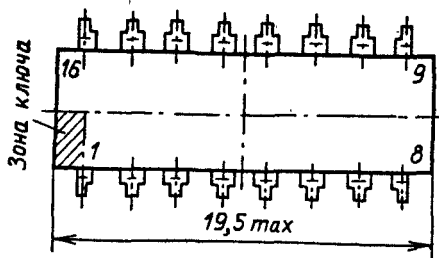
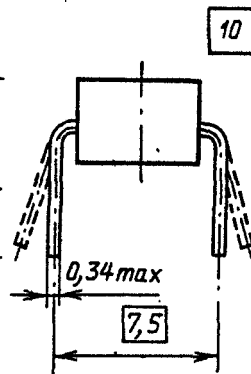
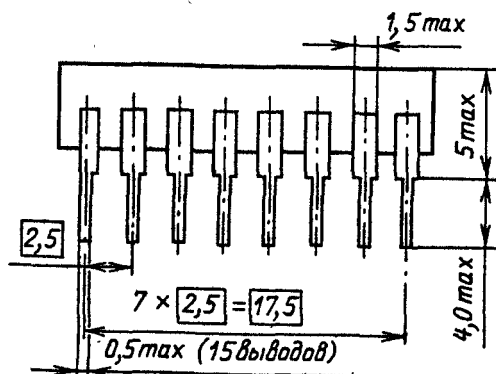
201. 16 - 13
(металлокерамический)



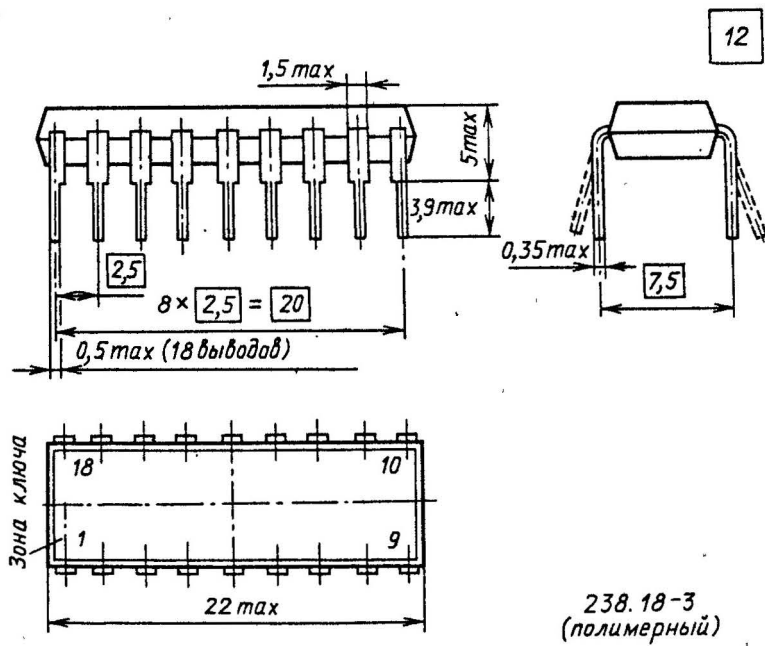
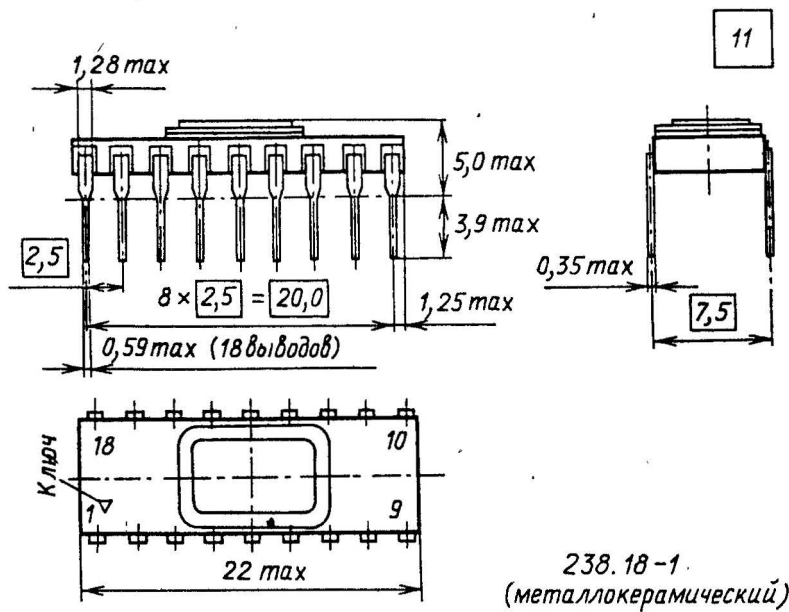
238. 12 - 1

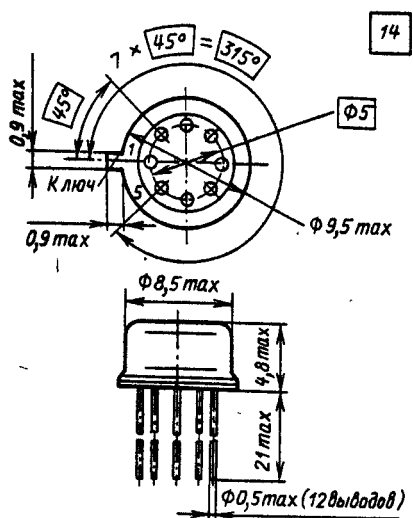
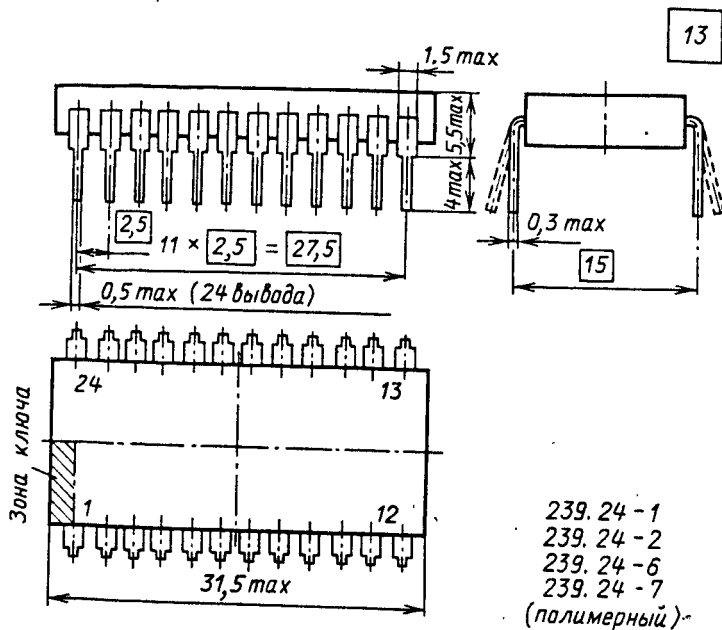


238. 16-1
238. 16-2
(полимерный)

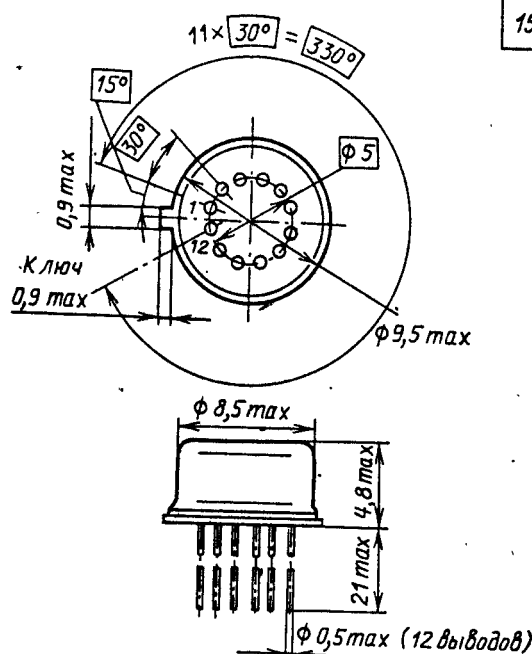


238. 16-5
(полимерный)

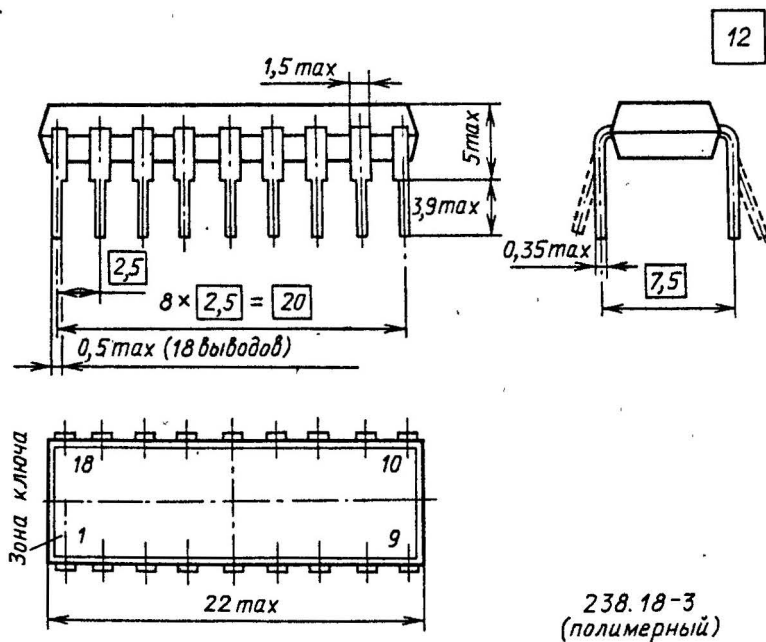
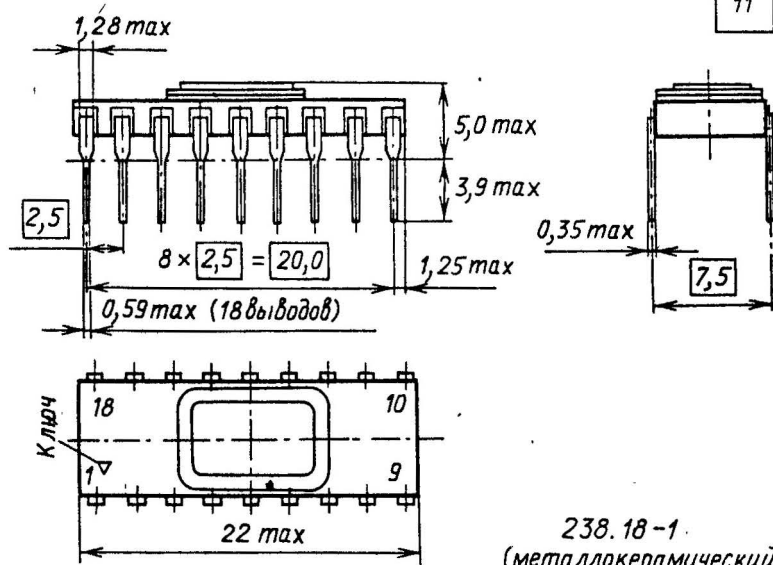


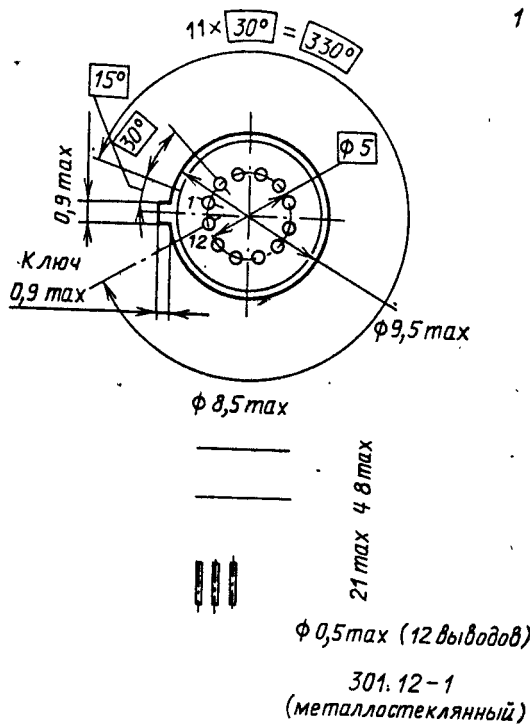
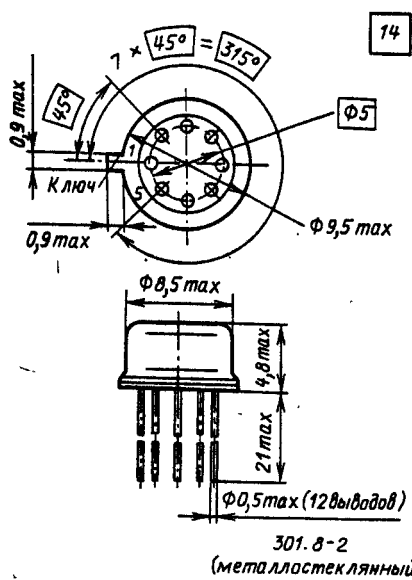
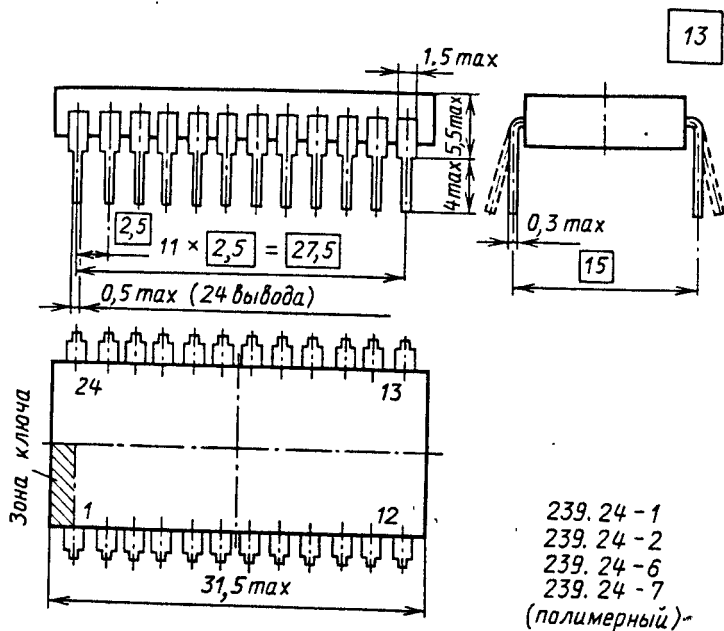


301. 8 - 2
(металлостеклянный)

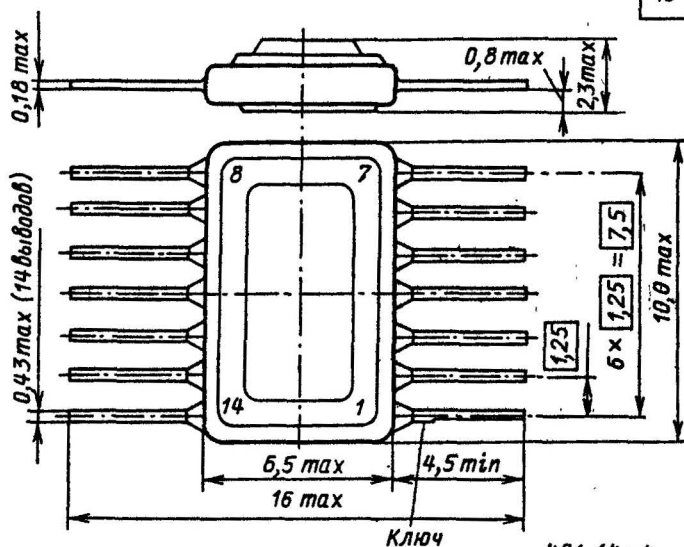


301. 12 - 1
(металлостеклянный)

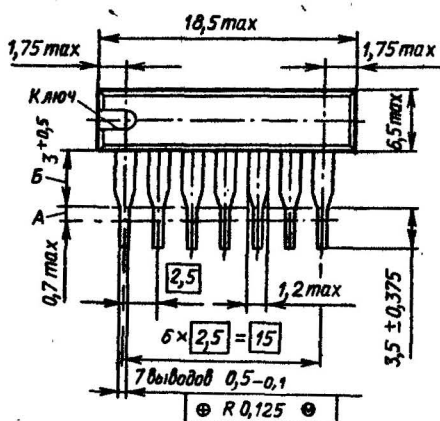




16

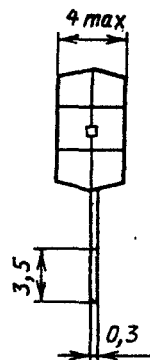


401. 14-4
(металлостеклянный)

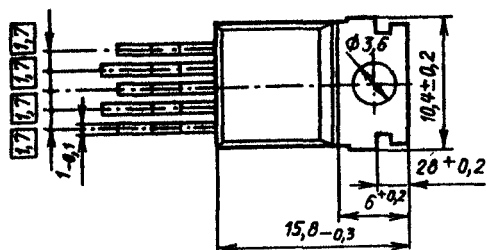
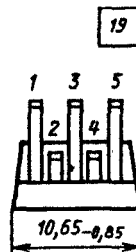
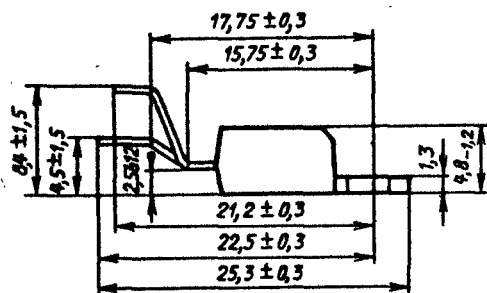


1101Ю. 7-1

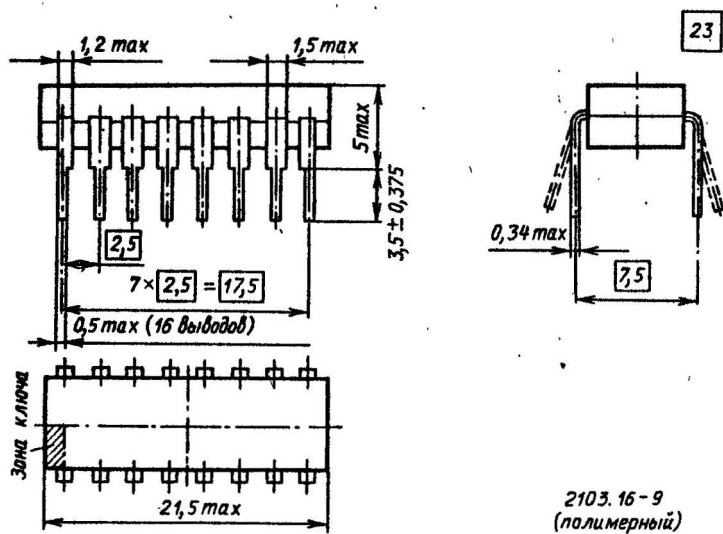
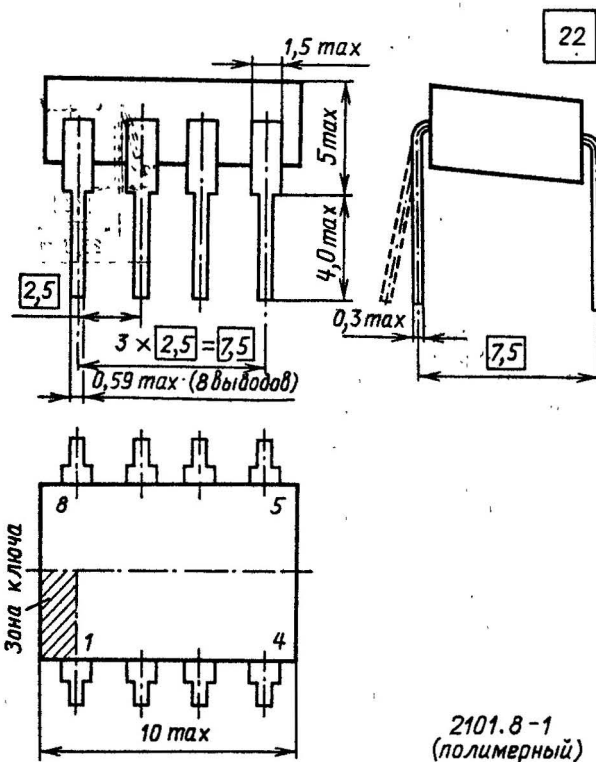
Technical drawing of a mechanical part, likely a valve or actuator, showing dimensions and assembly details. The drawing includes a top view and a side view. The top view shows a rectangular body with a central slot and a flange. The side view shows the profile of the body with a central slot and a flange. Dimensions are given in millimeters. Key dimensions include: overall width 21,5 max; overall height 6,8; central slot width 1,5-0,2; central slot depth 0,5-0,12; flange thickness 0,7 max; and a central slot length of 7 x 2,5 = 17,5. A label "Ключ" (Key) points to a feature on the side view.

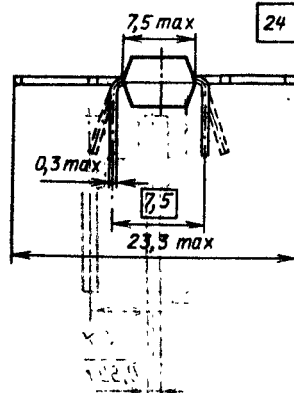
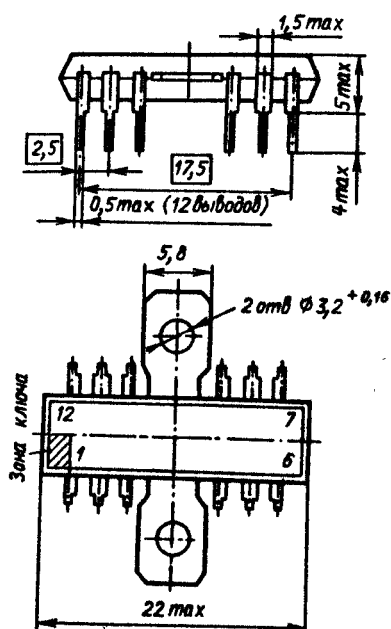


1102.8-1

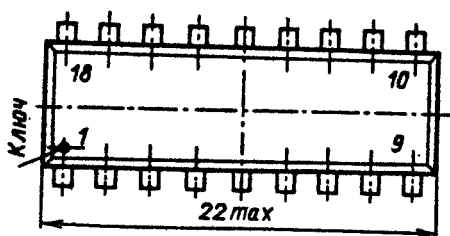
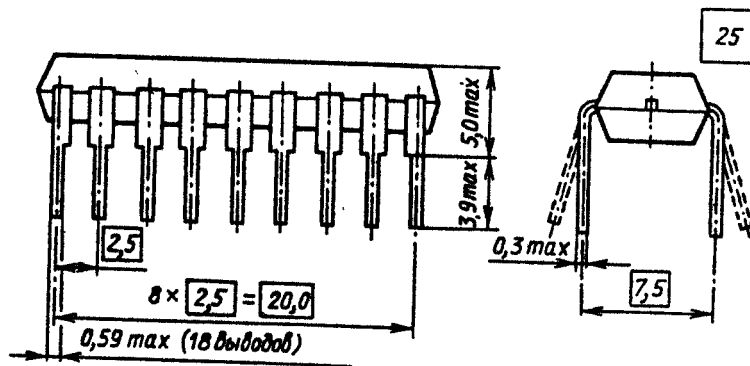


1501HO.5-1

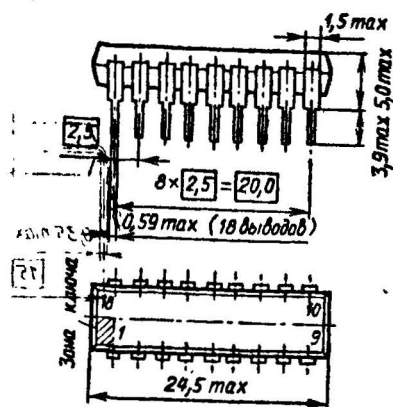




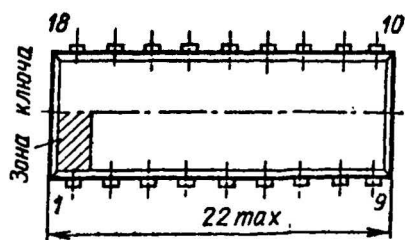
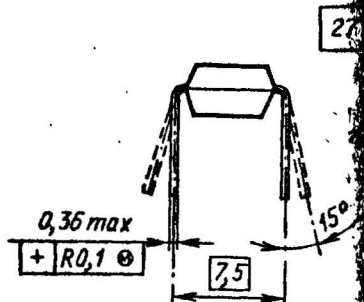
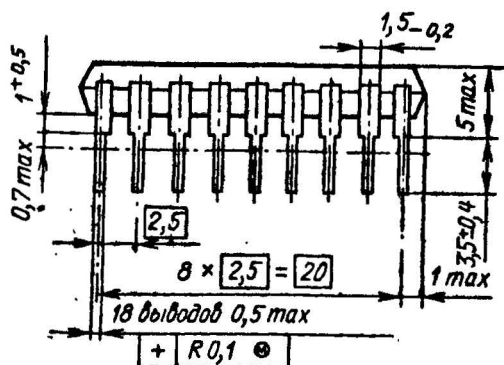
2104.12-1
(полимерный)



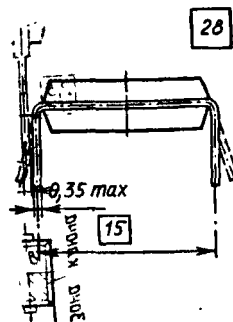
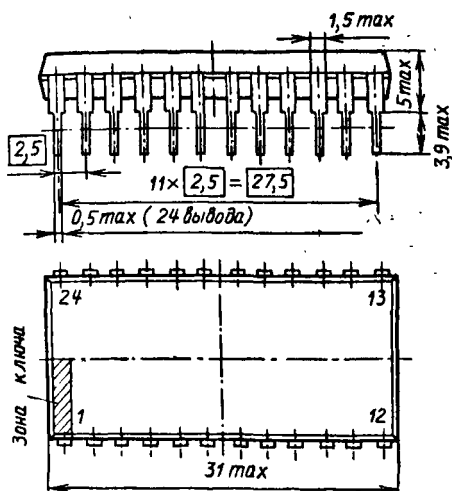
2104.18-3
(полимерный)



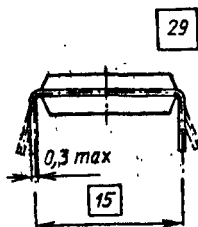
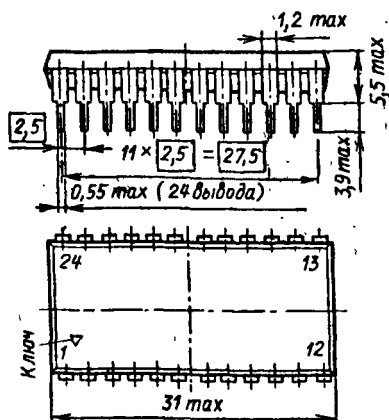
2104. 18-4
(полимерный)



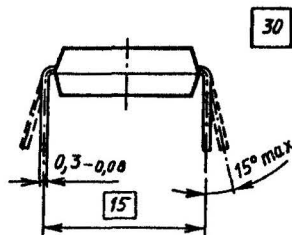
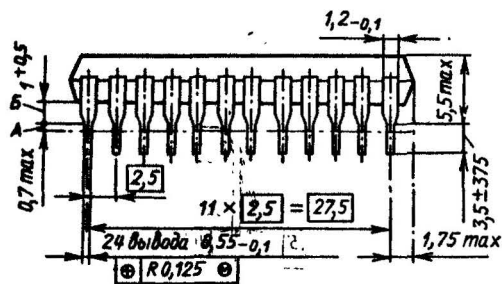
2104. 18-6



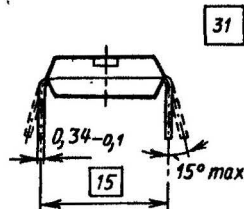
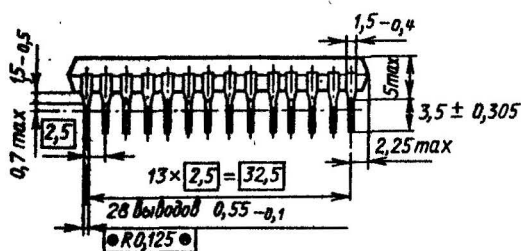
2120. 24-3
(полимерный)



2120. 24-5
(полимерный)

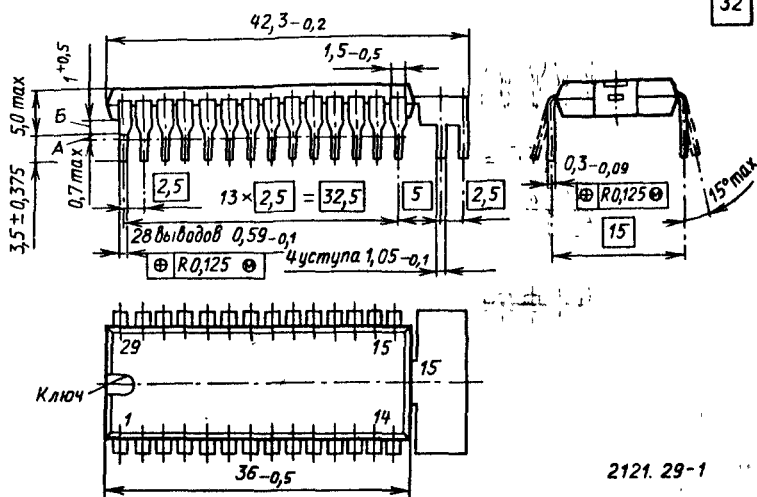


2120.24-6

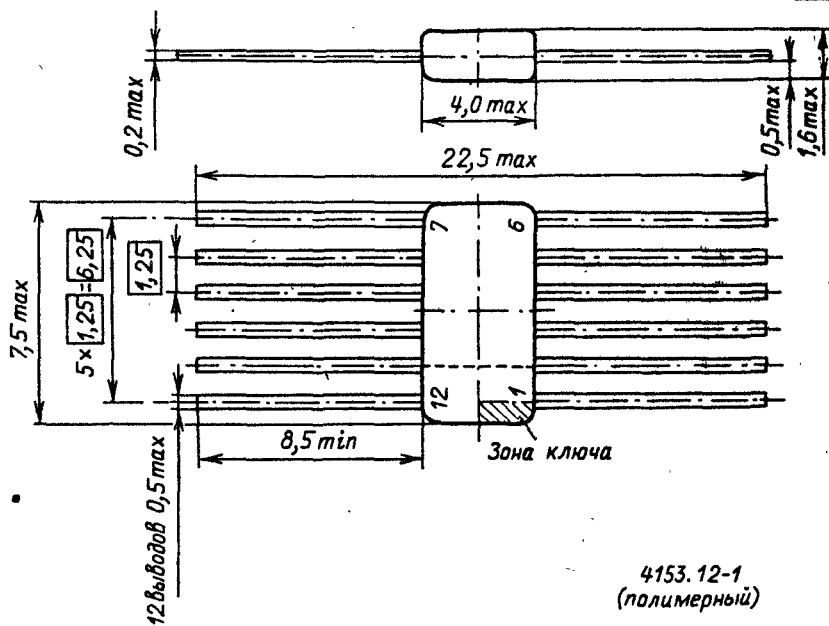


2121.28-12

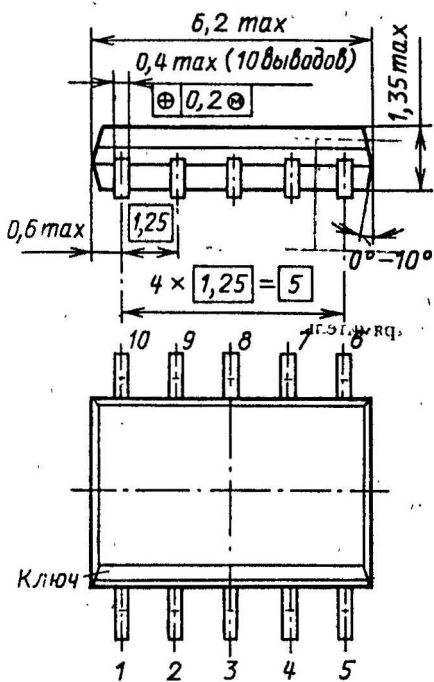
32



33

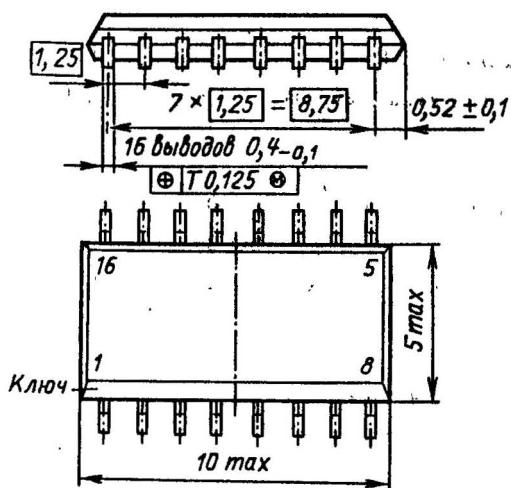


34



M04.10-1

35

Ф08.16-1
(полимерный)

Приложение 2. Указатель аналоговых интегральных микросхем и их зарубежных аналогов

Таблица П2.1

Условное обозначение микросхемы	Функциональное назначение	Зарубежный аналог	Номер чертежа корпуса (страница справочника)
<i>Серия K157</i>			
ИМС K157ДА1	Двухканальный двухполупериодный выпрямитель среднего значения сигналов	-	3 (с. 90)
ИМС K157УД1	Операционный усилитель средней мощности	-	1 (с. 74)
ИМС K157УД2	Двухканальный операционный усилитель	-	3 (с. 77)
ИМС 157УП1А.Б	Двухканальный микрофонный усилитель с двухканальным предварительным усилителем записи	-	3 (с. 84)
ИМС K157УП2А.Б	Двухканальный микрофонный усилитель с двухканальным предварительным усилителем записи	-	3 (с. 84)
ИМС K157УН1А.Б	Усилитель низкой частоты	-	3 (с. 88)
ИМС K157УЛ1А.Б	Двухканальный предварительный усилитель воспроизведения	-	3 (с. 81)
ИМС K157ХП1	Двухканальное пороговое устройство управления приборами индикации пиковых уровней записи с выпрямителем для системы АРУЗ	-	3 (с. 94)
ИМС K157ХП2	Стабилизатор напряжения с электронным управлением и элементы генератора токов стирания и подмагничивания	-	3 (с. 98)
ИМС K157ХП3	Динамический шумопонижающий фильтр	-	28 (с. 101)
ИМС K157ХА1А.Б	Усилитель высокой частоты с преобразователем	-	3 (с. 117)
ИМС K157ХА2	Усилитель промежуточной частоты с АРУ	-	3 (с. 119)
ИМС K157ХА3	Схема управления бесконтактным двигателем для кассетных магнитофонов	-	13 (с. 1)

Серия K171

ИМС K171УВ1А.Б	Широкополосный регулируемый усилитель	SL610	15 (с. 121)
ИМС K171УВ2	Видеоусилитель	MA733	15 (с. 122)
ИМС K171УР1	Усилитель промежуточной частоты с электронной регулировкой усиления	SL501	15 (с. 123)

Серия K174

ИМС K174УН3	Предварительный усилитель низкой частоты	-	8 (с. 18)
ИМС K174УН4А.Б	Усилитель низкой частоты с выходной мощностью 1,4 Вт	-	1 (с. 20)
ИМС K174УН5	Усилитель низкой частоты с выходной мощностью 2 Вт	-	8 (с. 24)

Условное обозначение микросхемы	Функциональное назначение	Зарубежный аналог	Номер чертежа корпуса (страница справочника)
ИМС K174УН7	Усилитель низкой частоты с выходной мощностью 4,5 Вт	A210K, TBA-810 TBA-810S	2, 8 (с. 25)
ИМС K174УН8	Усилитель низкой частоты с выходной мощностью 2 Вт	-	1 (с. 28)
ИМС K174УН9А,Б	Усилитель низкой частоты с выходной мощностью 5 Вт	TCA-940	24 (с. 30)
ИМС K174УН10А,Б	Двухканальный электронный регулятор тембра	TCA-740A	9 (с. 33)
ИМС K174УН11	Усилитель низкой частоты с выходной мощностью 15 Вт	TDA-2020	3 (с. 38)
ИМС K174УН12	Двухканальный электронный регулятор громкости и баланса	TCA-730A	9 (с. 42)
ИМС K174УН13	Усиление записи с АРУ и предварительное усиление воспроизведения звука	TDA-1002	9 (с. 107)
ИМС K174УН14	Усилитель низкой частоты с тепловой и токовой защитой	TDA-2003	19 (с. 45)
ИМС K174УН15	Двухканальный усилитель низкой частоты с выходной мощностью на канал 9 Вт	TDA-2004	20 (с. 47)
ИМС KФ174УН17	Двухканальный усилитель низкой частоты с выходом на стереотелефоны	TDA-7688	35 (с. 51)
ИМС K174УН18	Двухканальный усилитель низкой частоты для переносной аппаратуры	AN-7145 (AN-7146)	21 (с. 53)
ИМС K174УН19	Усилитель низкой частоты с номинальной выходной мощностью 15 Вт	TDA-2030	19 (с. 56)
ИМС K174КП1	Аналоговый двухканальный переключатель на четыре входа и один выход в каждом канале	TDA-1029	9 (с. 59)
ИМС K174УР3	Усилитель промежуточной частоты звука, частотный детектор, предварительный усилитель низкой частоты	-	3 (с. 124)
ИМС K174УР7	Микросхема для усилителя-ограничителя и частотного ЧМ сигнала	TCA-770	9 (с. 129)
ИМС K174АХ2	Интегральная микросхема трактов АМ приемников	TCA-440	9 (с. 135)
ИМС K174ХАЗА,Б	Компандерный шумоподавител	NE-545B	9 (с. 111)
ИМС K174ХА4	Интегральная микросхема фазовой автоподстройки частоты	NE-561	7 (с. 150)
ИМС K174ХА5	Интегральная микросхема для ЧМ тракта радиовещания	TDA-1047	11 (с. 153)
ИМС K174ХА6	Интегральная микросхема для усиления, ограничения и детектирования ЧМ сигнала	TDA-1047	12 (с. 157)

Номер черте- жа корпуса микросхемы	Условное обозначение микросхемы	Функциональное назначение	Зарубежный аналог	Номер черте- жа корпуса (страница справочника)
(с. 25)	ИМС К174ХА7	Многофазный перемножитель сигналов для выде- ления одной боковой полосы	-	7 (с. 159)
28)	ИМС К174ХА10	Однокристалльный радиоприемник IV класса	TDA-1083	9 (с. 160)
(с. 30)	ИМС К174ХА12	Интегральная микросхема фазовой автоподстрой- ки частоты с замкнутым контуром обратной свя- зи	NE-561	9 (с. 165)
33)	ИМС К174ХА14	Стереодекoder системы с полярной модуляцией ИС	-	30 (с. 170)
38)	ИМС К174ХА15	Интегральная микросхема для УКВ-блока	TDA-1062	9 (с. 173)
42)	ИМС К174ХА19	Стабилизатор управляющего напряжения настрой- ки	-	23 (с. 178)
107)	ИМС К174ПС1	Двойной балансный смеситель до 200 МГц	S042	3 (с. 130)
	ИМС КФ174ПС1	Двойной балансный смеситель до 200 МГц	S042	34 (с. 130)
(с. 45)	<i>Серия К175</i>			
	ИМС К175УВ1А.Б	Широкополосный усилитель	-	16 (с. 184)
47)	ИМС К175УВ2А.Б	Универсальная усилительная схема	-	16 (с. 181)
(с. 51)	ИМС К175УВ3А.Б	Экономичная усилительная схема	-	16 (с. 183)
	ИМС К175УВ4	Усилитель-преобразователь высокой частоты	CA-3028	16 (с. 184)
53)	ИМС К175ДА1	Детектор АМ сигналов и детектор АРУ с УПТ	-	16 (с. 184)
	ИМС К175ПК1	Регенеративный аналоговый делитель частоты	-	16 (с. 184)
(с. 56)	<i>Серия К525</i>			
59)	ИМС К525ПС1А.Б	Аналоговый перемножитель сигналов среднего класса точности (преобразователь спектров)	MC-1595	3 (с. 187)
124)	ИМС К525ПС2А.Б	Четырехквadrантный аналоговый перемножитель сигналов	530	3 (с. 190)
	<i>Серия К538</i>			
129)	ИМС К538УН1А.Б	Малозумящий предварительный усилитель низ- кой частоты	LM-382	14 (с. 61)
135)	ИМС К538УН3 ИМС К538УН3А.Б	Малозумящий предварительный усилитель низ- кой частоты с напряжением шумов на входе 5 мВ/Гц	-	22 (с. 61)
111)	<i>Серия К547</i>			
150)	ИМС К547КП1	Переключатель аналоговых сигналов	-	3 (с. 111)
(с. 153)	<i>Серия К548</i>			
	ИМС К548УН1А.Б	Сдвоенный малозумящий предварительный уси- литель низкой частоты	LM-381	3 (с. 66)
157)	ИМС К548УН3	Специализированная интегральная микросхема для высококачественных слуховых аппаратов	LC-506	33 (с. 71)

Условное обозначение микросхемы	Функциональное назначение	Зарубежный аналог	Номер чертежа корпуса (страница справочника)
Серия KP1005			
ИМС KP1005XA8A,B	Многофункциональная микросхема фазовой автоподстройки частоты с разомкнутой цепью управления ГУН	XR-200	30 (с. 192)
Серия KP1015			
ИМС KP1015XK2	Интегральная микросхема управления частотой настройки радиоприемных устройств	MP02819c	25 (с. 197)

СПИСОК ЛИТЕРАТУРЫ

1. Атаеа Д. И., Болотников В. А. Функциональные узлы усилителей высококачественного звуковоспроизведения. М.: Радио и связь, 1989. 144 с.: ил. (Массовая радиобиблиотека. Вып. 1140).

2. Аналоговые интегральные микросхемы: Справочник /Б. П. Кудряшов, Ю. В. Назаров, Б. В. Тарабрин, В. А. Ушибышев. М.: Радио и связь, 1981.

3. Аналоговые и цифровые интегральные микросхемы. Справочное пособие /С. В. Якубовский, Н. А. Барканов, Л. И. Ниссельсон и др.; Под ред. С. В. Якубовского. 2-е изд., перераб. и доп. М.: Радио и связь, 1985. 432 с.

4. Горошков Б. И. Элементы радиоэлектронных устройств: Справочник. М.: Радио и связь, 1988.

5. Интегральные схемы. Каталог. М.: ЦНИИ Электроника. Вып. 1-6.

6. ГОСТ 17021-75. Микросхемы интегральные. Термины и определения.

7. ОСТ 11.073.915-80. Микросхемы интегральные. Классификация и система условных обозначений.

8. ГОСТ 19480-74. Микросхемы интегральные. Термины, определения и буквенные обозначения.

9. ГОСТ 17467-79. Микросхемы интегральные. Основные размеры.

10. Радиоежегодник-86 / Сост. А. В. Гороховский. М.: ДОСААФ, 1986. 144 с. С. 119-143.

11. Лукьянов Д. Измерители уровня сигнала на ИС K157ДА1 // Радио. 1985. № 12. С. 31-33.

12. Все о микросхеме K157ХПЗ /В. В. Андрианов, Г. П. Апреленко, А. И. Рыбалко, О. Ф. Тагона // Радио. 1985. № 11. С. 33-36.

13. Бурмистров Ю., Шадров А. Применение микросхемы K548УН1 // Радио. 1981. № 9. С. 34-35.

ОГЛАВЛЕНИЕ

Предисловие.....	3
Глава 1. Общие сведения об аналоговых интегральных микросхемах.....	4
1.1. Аналоговая интегральная микросхема — основа заверщенного функционального узла бытовой радиоэлектронной аппаратуры.....	4
1.2. Классификация аналоговых интегральных микросхем.....	6
1.3. Система условных обозначений аналоговых интегральных микросхем.....	7
1.4. Типовые корпуса аналоговых интегральных микросхем.....	9
1.5. Условия эксплуатации аналоговых интегральных микросхем.....	17

Глава 2. Интегральные микросхемы для звуковоспроизводящей аппаратуры.....	18
2.1. Серия K174.....	18
2.2. Серии K538, KP538.....	61
2.3. Серия K548.....	66

Глава 3. Интегральные микросхемы для аппаратуры магнитной записи.....	73
3.1. Серия K157.....	73
3.2. Серия K174.....	107
3.3. Серия K547.....	111

Глава 4. Интегральные микросхемы для радиоприемной аппаратуры.....	117
4.1. Серия K157.....	117
4.2. Серия K171.....	121
4.3. Серия K174.....	123
4.4. Серия K175.....	180
4.5. Серия K525.....	187
4.6. Серия KP1005.....	192
4.7. Серия KP1015.....	197

Глава 5. Рекомендации по применению аналоговых интегральных микросхем для бытовой радиоаппаратуры.....	200
5.1. Общие положения.....	200
5.2. Дополнительные испытания ИМС при изготовлении РЭА.....	201
5.3. Внешние воздействия на ИМС при производстве РЭА.....	202
5.4. Формовка и обрезка выводов ИМС.....	204
5.5. Лужение и пайка выводов ИМС.....	206
5.6. Особенности установки ИМС на печатную плату.....	209
5.7. Способы защиты ИМС от электрических воздействий.....	212

Приложение 1. Конструкции и чертежи корпусов аналоговых интегральных микросхем для бытовой радиоаппаратуры.....	217
---	-----

Приложение 2. Указатель аналоговых интегральных микросхем и их зарубежных аналогов.....	235
Список литературы.....	238

Справочник

Атаев Джаваншир Исмаил Оглы

Болотников Владимир Александрович

Аналоговые интегральные микросхемы для
бытовой радиоаппаратуры

Редактор А.А. Ципленко

Художник А.Ю. Землеруб

Художественный редактор Е. Н. Венедиктова

Технический редактор Н. Н. Хопулеева

Корректор В. В. Сомова

ИБ № 23

Набор и верстка выполнены на компьютерак
издательства МЭИ

Операторы М. С. Новикова, Е. Б. Ухловская

Подписано в печать с оригинал-макета 20.03.91
Формат 70×100/16 Бумага офсетная № 2 Гарнитура Таймс
Печать офсетная Усл. печ. л. 49,35 Усл. кр.-отт. 19,52
Уч.-изд. л. 15,68 Доп. тираж 80 000 экз. Заказ 926. Цена 11 р.
Издательство МЭИ
105835, Москва, ГСП, Е-205, Красноказарменная ул., д. 14

Типография № 4 Государственной ассоциации предприятий,
организаций и объединений полиграфической промышленности
«АСПОЛ»
129041, Москва, Б. Парославская ул., 46

"СОЦИННОВАЦИЯ"

ОСУЩЕСТВЛЯЕТ	*поиск, разработку и внедрение авангардных систем и форм работы по естественному оздоровлению человека, здоровому образу жизни, педагогике и воспитанию, охране окружающей среды, социальному проектированию, технологиям производства строительных материалов, машины, механизмов и приборов
РАСПОЛАГАЕТ	*по всем направлениям деятельности информационно-методическими материалами, технологиями, оборудованием
ПРОВОДИТ	*практические занятия, консультации, лекции
ПРЕДЛАГАЕТ	*сотрудничество со всеми, кто стремится к счастливой жизни!

ФИРМА "СОЦИННОВАЦИЯ"

ДЛЯ МАЛЫХ ПРЕДПРИЯТИЙ	*оказание практической, методической и научной помощи в работе *организация эффективного и рационального хозяйствования *подготовка кадров специалистов
----------------------------------	---

ФИРМА "СОЦИННОВАЦИЯ"

РЕКЛАМИРУЕТ	*фонд идей и технологий: презентация новых разработок на ВДНХ, телевидении, в средствах массовой информации
ГАРАНТИРУЕТ	*поиск, отбор, экспертизу и аукцион идей, выставки, семинары
ВНЕДРЯЕТ	*Вашу максимальную прибыль при минимальных затратах *оригинальные технологические чистые технологии и оборудование по производству строительных материалов из отходов *социальные технологии по тематике здорового образа жизни *афрентный и почти уникальный путь рекламы Вашей продукции и разработок - кратчайший путь к установлению прямых связей с советскими и зарубежными партнерами

**ЕСЛИ ВЫ ЖЕЛАЕТЕ ЗАНЯТЬСЯ НЕ ТОЛЬКО БИЗНЕСОМ,
НО И РЕАЛИЗАЦИЕЙ НОВЫХ ИДЕЙ,
МЫ ЖДЕМ ВАС!**



"СОЦИННОВАЦИЯ"

Обращаться просим по адресу:

**129223, Москва, ВДНХ СССР,
павильон "Юные техники"
фирма "Социнновация"**

МА

тест-

оошн-

мнм

мала-

внзс-

по

нн

нн

COM.